

MINISTERUL EDUCATIEI SI INVATAMINTULUI
INSTITUTUL POLITEHNIC "TRAIAN VUIA" - TIMISOARA -
FACULTATEA DE MECANICA

Ing. DUMITRU DAMIAN

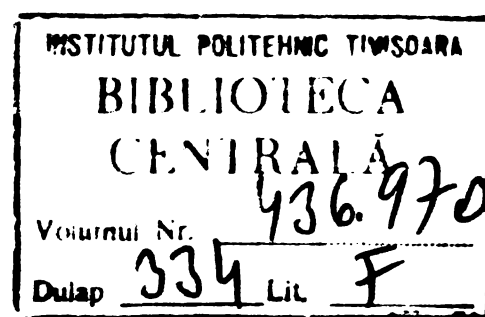
CERCETARI PRIVIND CONDITIILE DE TRANSFER MAXIM
DE ENERGIE CATRE SARCINA, LA GENERATOARELE DE ULTRA-
SUNETE DE UZ INDUSTRIAL

- Teză de doctorat -

BIBLIOTeca CENTRALĂ
UNIVERSITATEA "POLITEHNICA"
TIMIŞOARA

CONDUCATOR STIINTIFIC
Prof.em.dr.ing. GHEORGHE SAVII

- TIMISOARA -
1982



C U P R I N S

1. INTRODUCERE
2. PRELUCRAREA ULTRASONICA A MATERIALELOR
 - 2.1. Echipamentul prelucrării ultrasonice.
 - 2.2. Generatoare de ultrasunete, tipuri, performanțe, parametri energetici.
3. CONDITII IMPUSE GENERATOARELOR DE ULTRASUNETE.
 - 3.1. Condiții de frecvență.
 - 3.2. Condiții de putere.
 - 3.3. Condiții de randament.
 - 3.4. Condiții de fiabilitate.
4. OBIECTUL SI METODICA CERCETARII.
 - 4.1. Considerațiuni privind optimizarea parametrilor generatoarelor de ultrasunete...
 - 4.2. Obiective propuse și modalități de rezolvare.
5. CERCETARI PRIVIND STABILITATEA FRECVENTEI GENERATOARELOR DE ULTRASUNETE.
 - 5.1. Analiza condițiilor de stabilitate.
 - 5.2. Factori perturbatori ai frecvenței și procedee de mărire a stabilității.
 - 5.3. Influența sarcinii generatorului asupra stabilității frecvenței.
 - 5.4. Metode de reglare automată a frecvenței (RAF). Scheme RAF.
6. STUDIU ASUPRA PUTERII DE IESIRE LA GENERATOARELE DE ULTRASUNETE
 - 6.1. Regimuri de lucru ale etajelor finale
 - 6.1.1. Regimul sinusoidal
 - 6.1.2. Regimul de undă dreptunghiulară
 - 6.1.3. Regimul de comutacic și impuls
 - 6.2. Semiconductoare de putere utilizate în construcția generatoarelor de ultrasunete
 - 6.2.1. Etaje finale echipate cu tranzistoare
 - 6.2.2. Generatoare de ultrasunete cu tiristoare
 - 6.3. Cercetări privind posibilitățile de mărire a puterii utile și randamentului generatoarelor de ultrasunete
7. CERCETARI TEORETICE SI EXPERIMENTALE PRIVIND CONDITIILE DE ADAPTARE A GENERATOARELOR CU SARCINA
 - 7.1. Relația generator-sarcină
 - 7.1.1. Dependența regimului generatorului de sarcină
 - 7.1.2. Particularitățile sarcinii generatorului
 - 7.2. Metode de adaptare a generatorului cu sarcina
 - 7.2.1. Adaptarea în cazul transductoarelor magnetostrictive
 - 7.2.2. Adaptarea în cazul transductoarelor piezoelectrice
 - 7.2.3. Adaptarea generatoarelor de oscilații dreptunghiulare
 - 7.3. Procedee de adaptare a generatoarelor de ultrasunete cu sarcină variabilă
 - 7.3.1. Funcționarea generatorului pe sarcină radioactive
 - 7.3.2. Funcționarea generatorului pe sarcină rezistivă dar variabilă

8. CERCETARI EXPERIMENTALE PRIVIND POSIBILITATILE DE RIDICARE A PARAMETRILOR ENERGETICI AI ANSAMBLULUI GENERATOR-SARCINA
 - 8.1. Factori perturbatori în funcționarea ansamblului generator-sarcină
 - 8.2. Procedee de menținere a nivelului puterii de ieșire a generatorului
 - 8.2.1. Controlul puterii de ieșire
 - 8.2.2. Scheme de reglare automată a nivelului puterii de ieșire (R.A.P.)
 - 8.3. Mărirea puterii și randamentului generatorului pentru un ansamblu generator-transductor
 - 8.3.1. Adaptarea formei optime a semnalului de excitație a transductorului
9. STUDIUL FIABILITATII GENERATOARELOR DE ULTRASUNETE
 - 9.1. Analiza condițiilor de fiabilitate.
 - 9.2. Proiectarea optimă a generatoarelor de ultrasunete sub aspectul fiabilității
 - 9.3. Procedee de mărire a fiabilității.
10. REZULTATE EXPERIMENTALE
 - 10.1. Generator de ultrasunete de 300 W
 - 10.2. Generator de ultrasunete de 1000 W
11. CONCLUZII FINALE.

••

6

Autorul se gădăște cu profundă recunoștință la prof.em.dr.ing. Gheorghe Savii, care i-a îndrumat primii pași în acest domeniu, aducindu-o o contribuție esențială la apariția prezentei lucrări.

De asemenea, aduce calde mulțumiri con-dusorii catedrei de Tehnologie mecanică pentru sprijinul acordat în efectuarea cercetărilor, precum și șefului de lucrări, dr.ing. Iulian Tudor, cu care a colaborat îndeaproape și care i-a împărtășit cu generozitate din bogată sa experiență.

Autorul este recunoscător colegilor din colectivul în care își desfășoară activitatea, pentru înțelegerea manifestată și ajutorul acordat, precum și aceleia care în permanență i-a fost alături ca tact și căldură..-

CAPITOLUL 1

I N T R O D U C E R E

Dezvoltarea vertiginoasă a tehnicii în ultimii ani a fost posibilă grație punerii la punct și utilizării pe scară largă a unor tehnologii de vîrf în toate domeniile, din rîndul cărora, în procesul de prelucrare a metalelor, se detasează prin eficiență și noutate, procedeele neconvenționale. Apariția și dezvoltarea acestora a fost dictată de introducerea în industrie a unor materiale și piese greu de prelucrat prin metodele clasice, precum și de complexitatea proceselor și pretențiile mereu sporite privind precizia, eficiența și randamentul prelucrării.

Revoluția tehnico-științifică pe plan mondial și național a permis să se înțeleagă mai bine fenomenele electrice, chimice, magnetice și nucleare, care constituie în general baza tehnologiilor neconvenționale, acestea fiind utilizate sub formă de energii concentrate în procesul de prelucrare a materialelor.

Cu toate că aceste tehnologii și-au confirmat viabilitatea și eficiența în majoritatea proceselor de prelucrare, asigurînd uneori productivitate, precizie și randament superioare tehnologiilor clasice, aria lor de aplicabilitate nu s-a extins pe măsura previziunilor decît în țările dezvoltate economic, datorită în special faptului că introducerea pe scară industrială a tehnologiilor neconvenționale solicită un volum de cunoștințe speciale, ca: electrotehnica curentilor mari, radiotehnica, teoria și utilizarea dispozitivelor semiconductoare, mecanica de precizie pentru realizarea avansului constant al sculei, automatica pentru echiparea mașinilor de prelucrat cu comenzi adaptive, chimia și metalurgia, în vederea obținerii unor materiale rezistente la agenți corozivi - cunoștințe ce reclamă mutații în pregătirea specialiștilor. La toate acestea se adaugă probleme privind poluarea ultrasonoră, precum și crearea unor condiții adecvate de lucru pentru mașinile de prelucrat și personalul care le deservește.

Toate aceste probleme pe care le ridică utilizarea pe scară industrială a tehnologiilor neconvenționale de prelucrare împun atenției introducerea intensă în producție a științelor fun-

damentale între care fizica, matematica, chimia, ridicîndu-se probleme noi în formarea inginerilor și a cadrelor de muncitori. Dacă din punct de vedere al procesului de lucru, prelucrarea prin proce deele neconvenționale nu reclamă o calificare deosebită, cu totul altfel se pune problema întreținerii utilajelor, asigurării parametrilor optimi ai procesului de prelucrare, pentru aceasta fiind nevoie de specialiști cu înaltă calificare.

Pe măsura dezvoltării economice, tot mai multe țări își introduc în procesul industrial aceste procedee de prelucrare, avîndu-se în vedere posibilitățile și performanțele practice ale lor, aşa cum reiese din tabelul 1.1.

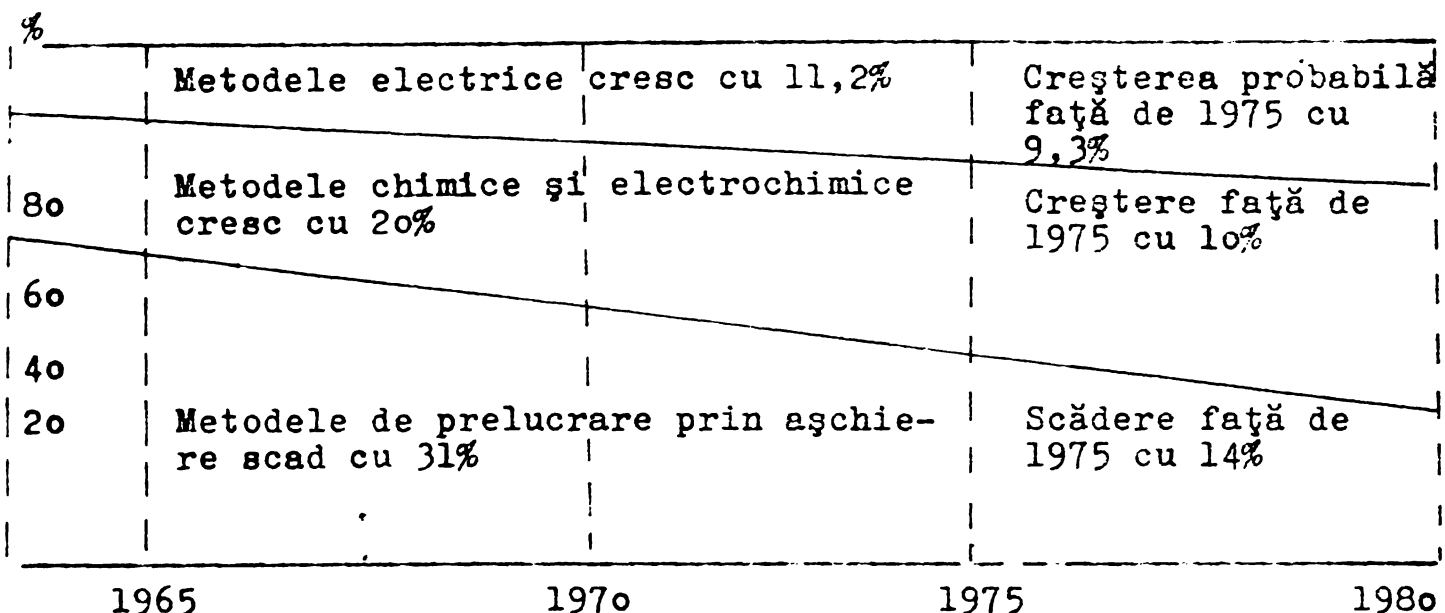
Tabelul 1.1.

Parametru	Unit. de măsură	Elec-tro-eroziune	Elec-tro-chimie	Ultra-sunete	Plasmă	Laser	Prelucrare clasică
	E.D.M.	E.C.M.	U.S.M.	P.A.N.	L.B.M.	Frezare	
Tensiune de lucru	V	60-250	6-18	-	100	-	-
Curentul	A	3-100 0,1-1	3000- 20000	-	250	-	-
Puterea (energia)	KW	1-8	75-500	0,2-10	50	0,002- 0,5	-
Intersticiul de lucru	mm.	0,1- 1 0,005- 0,5	0,001- 0,2	0,25	-	-	-
Mediul de lucru		lichid dielectric	elec-trolit	suspensie abra-zivă	argon	aer	-
Produs-tivitatea	cm ³ /h.	50	1.000	20	5.000	0,006	4,000
Precizia asigurată	± mm	0,015	0,1	0,008	1,5	0,025	0,05
Calitatea suprafetei		0,025- 12,5	0,12- 2,5	0,25- 2,5	gro-sola-nă	0,025- 1,25	0,5- 5
Uzura sculei	%	20-30	0	1-200	-	-	-

Din analiza tabelului se observă că precizia de prelucrare și calitatea suprafetei(cu excepția prelucrării cu plasmă) este apropiată pentru toate procedeele.

Evoluția tendințelor pe plan mondial demonstrează că există posibilități mari de dezvoltare a materialelor și tehnolo-

giilor specifice prelucrării neconvenționale. Dinamica și modificările de structură ale metodelor de prelucrare în perioada 1965-1980, pe plan mondial, sănt prezentate în figura 1.1.



- fig.1.1.- Prognoza dezvoltării metodelor de prelucrare dimensională.

Din datele obținute, se poate trage concluzie elocventă, privitoare la tendințele de dezvoltare a tehnologiilor neconvenționale. Astfel:

- în toate țările, procedeele de prelucrare neconvențională cunosc creșteri importante ;
- utilajele care folosesc aceste procedee sănt atât universale, cât și specializate, de capacitate și productivități tot mai mari; se insistă asupra îmbunătățirii preciziei de prelucrare ;
- se remarcă o preocupare continuă pentru perfecționarea utilajelor de prelucrare prin procedee neconvenționale, vizîndu-se echiparea acestora cu comandă program și reglare adaptivă ;
- se preconizează, datorită avantajelor pe care le oferă, utilizarea pe scară largă a procedeelor combinate (laser-ultrasunete, electroeroziune- electrochimie), în scopul obținerii unei productivități superioare și sporirii preciziei de prelucrare.

Alături de celelalte procedee neconvenționale, prelucrarea cu ultrasunete cîștigă tot mai mult teren, cercetările intense cu privire la efectele utile ale energiei ultrasonice asupra diferitelor materiale permitînd extinderea aplicării acestui procedeu la numeroase procese de prelucrare, ca: sudarea metalelor și a maselor

plastice, băi de spălare cu ultrasunete, prelucrări prin deformare, operații de îmbinare prin lipire, marcare, lustruire etc, locul principal ocupîndu-l însă sudarea cu ultrasunete- domeniu în care unele țări ca: S.U.A., U.R.S.S., Japonia, R.F.G. au obținut rezultate importante, reușind să producă utilaje de mare productivitate. La noi în țară, acest procedeu este aplicat doar în cîteva ramuri industriale, majoritatea covîrșitoare a instalațiilor fiind din import. Cu toate acestea, unele instituții de prestigiu ca: Institutul Politehnic "Traian Vuia"- Timișoara, Institutul Politehnic "Gheorghe Gheorghiu-Dej" București, Institutul de Cercetări Metalurgice București, au demarat cu destul succes cercetările în acest domeniu, atît sub aspectul unor studii teoretice asupra fenomenului, cît și a construcției unor instalații care să poată face față cu succes în industrie. Rezultatele acestor cercetări au fost materializate atît printr-un studiu privind posibilitățile de realizare în țară a utilajelor necesare introducerii pe scară largă a tehnologiilor neconvenționale, cît și prin perfectarea unor contracte cu întreprinderi industriale, privind realizarea unor mașini de prelucrat cu ultrasunete. Aceste cercetări au fost stimulate și de documentele Congresului al XII-lea al Partidului Comunist Român, în care se prevăd, în viitorul cincinal, dezvoltarea procedeelor neconvenționale de prelucrat, în special cele cu ultrasunete, dovedindu-se încă odată grija deosebită a conducerii superioare de partid față de introducerea în industrie a celor mai noi procedee pe plan mondial.

In cadrul acestor obiective generale, se înscriu și cercetările care fac obiectul prezentei teze de doctorat, autorul propunîndu-și să elucideze unele aspecte privind construcția, proiectarea și ridicarea parametrilor energetici ai generatoarelor de ultrasunete, surse primare de energie pentru orice instalație de prelucrare cu ultrasunete.

Prin problemele pe care le abordează, tema de cercetare se dovedește actuală, deoarece consecințele interacțiunii generator-mașină de prelucrat au fost destul de sumar tratate în literatura de specialitate, chiar și pe plan mondial, generatorul fiind privit ca un element separat, distinct, al "complexului tehnicologic" ce-l reprezintă instalația de prelucrat cu ultrasunete și nu ca o verigă intrisecă a acestei instalații, cu legături biunivoce între el și celealte componente, generatorul influențând hotărîtor parametrii instalației de prelucrat, dar fiind și el afectat sub aspectul fiabilității, randamentului și duratei de funcționare, de către factorii perturbatori ce intervin în procesul de prelucrare.

CAPITOLUL 2

PRELUCRAREA ULTRASONICA A MATERIALELOR

Acest procedeu are la bază transformarea unor oscilații electrice cu parametrii determinați, în unde mecanice de frecvență ultrasonoră (20-200 KHz.) care activează scula ce va vibra cu frecvența acestor unde. După modul în care undele ultrasonore intervin în diferite procese, aplicațiile lor pot fi grupate în două categorii:

- aplicații active, în care energia acustică debitată este suficient de mare pentru a produce modificări în mediul în care se propagă undele, în acest caz ultrasunetele având rolul unei scule care efectuează un lucru mechanic, ele intervenind activ în procesul de prelucrare ;
- aplicații pasive, în care ultrasunetele având intensitate mică, nu au capacitatea de a produce modificări în structura mediului, ele rezumîndu-se la rolul de agent fizic colector de informații referitoare la proprietățiile sau dimensiunile piesei examineate.

In cuprinsul prezentei lucrări, toate referirile la aplicațiile ultrasunetelor vizează doar prima categorie.

2.1. ECHIPAMENTUL PRELUCRARII ULTRASONICE

In vederea transformării oscilațiilor electrice în unde mecanice și transmiterii energiei acestor unde către scula care realizează prelucrarea propriu-zisă, orice instalație de prelucrat cu ultrasunete este formată dintr-un ansamblu de componente, aşa cum rezultă din figura 2.1.

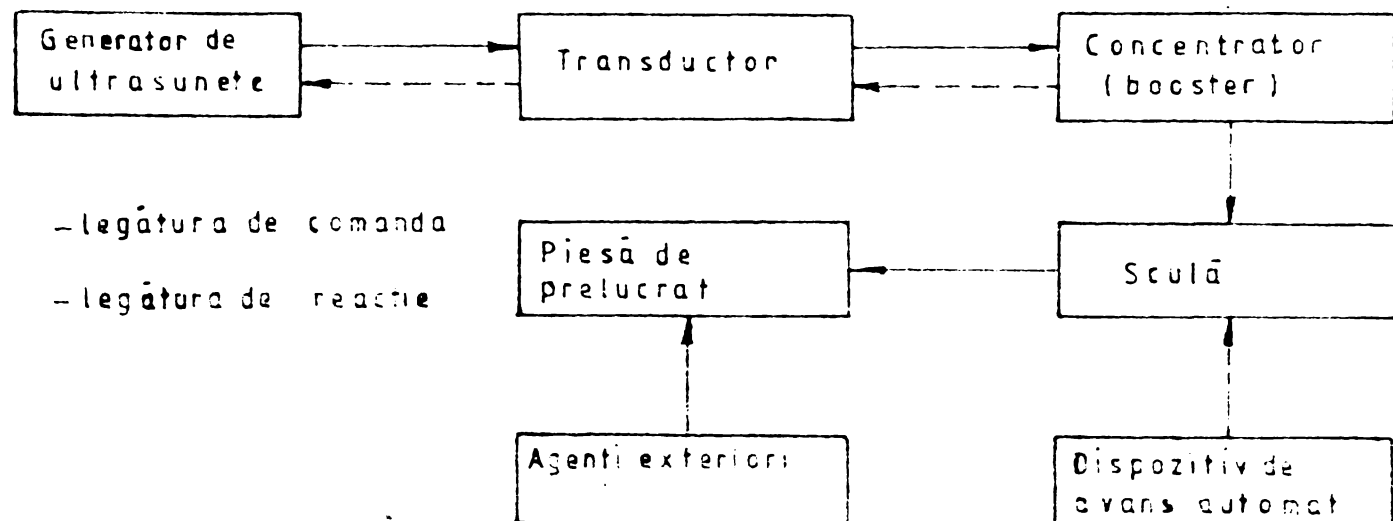


Fig 2.1 Schema bloc a instalatiei de prelucrat cu ultrasunete
Generatorul de ultrasunete al instalației are rolul de a

crea oscilații electrice a căror formă, frecvență și putere sînt dictate, în general, de parametrii procesului de prelucrare.

Ca sarcină pe care debitează generatorul, servește un transductor magnetostriktiv sau piezoelectric, care sub influența oscilațiilor electrice începe să vibreze mecanic, realizînd astfel transformarea acestor oscilații în unde mecanice de frecvență ultrasonoră. Deoarece amplitudinea oscilațiilor este insuficientă pentru realizarea procesului de prelucrare, ele sînt "amplificate" de către un transformator de amplitudine (concentrator) și aduse la valoarea impusă de procesul de prelucrare.

La capătul concentratorului este cuplată scula care are rolul de a dirija oscilațiile ultrasonore către piesa de prelucrat. Pe lîngă aceste ansamble principale, instalațiile de prelucrat cu ultrasunete, funcție de destinația lor, pot fi echipate și cu alte sisteme (de avans a sculei, de alimentare cu suspensie abrazivă, de răcire a blocurilor ultrasonice pe bază de nichel, de comandă automată etc.)

• •

2.2. GENERATOARE DE ULTRASUNETE. TIPURI SI PERFORMANTE. PARAMETRII ENERGETICI.

Așa cum s-a arătat, generatoarele de ultrasunete sînt sursele primare de energie pentru orice instalație de prelucrat de acest gen, parametrii lor energetici fiind stabiliți funcție de cerințele procesului de prelucrare, motiv pentru care preocupările firmelor constructoare de generatoare s-au axat pe ridicarea indicilor energetici: putere, coeficient de utilizare, randament.

Evoluția performanțelor generatoarelor de ultrasunete a urmărit, în general, dezvoltarea ramurilor industriale de vîrf: electronica și automatica. Astfel, dezvoltarea deosebit de spectaculoasă-în ultimul deceniu- a tehnologiei de fabricație a dispozitivelor semiconductoare a făcut posibilă apariția unor tranzistoare capabile să furnizeze puteri pînă la 200 W, la tensiuni cuprinse între 100- 1.200 V și curenți de 10-15 A, a tiristoarelor și diodelor de putere, fapt ce a permis ca și în domeniul generatoarelor de puteri relativ mari (2-5 KW) să se abandoneze schemele cu tuburi, voluminoase și complicate și să se treacă la echiparea masivă a acestora cu dispozitive semiconductoare.

Apariția feritelor a facilitat utilizarea pe scară largă a transformatoarelor cu miez de ferită, acestea avînd parametrii superioiri și gabarit redus. Toate aceste progrese tehnolo-

gice au făcut posibil ca, în condițiile unor scheme date, să crească puterea de ieșire și siguranța în funcționare a generatoarelor. În această idee, datele din tabelul 2.1. pot fi elocvente în ceea ce privește performanțele obținute de unele firme producătoare de generatoare de ultrasunete, în special pe seama micșorării gabaritelor și a prețului de cost în condițiile menținerii unor puteri de ieșire și randamente ridicate.

Tabelul 2.1.

Tipul genera-torului	Tara	Puterea de ieși-re (KW)	Frecv. de lucru (KHz.)	Greuta-te (Kg)	Obs.
U.Z.G.-0,4	U.R.S.S.	0,4	22	70	
U.Z.G.-1,6	U.R.S.S.	1,6	22	260	
U.L.G.-2	U.R.S.S.	1,6	400	208	
L.G.Z.-10	U.R.S.S.	8	30	460	
L.G.P.-60	U.R.S.S.	60	200	690	cu tu-buri
L.G.Z.-100	U.R.S.S.	100	225	960	"
T.G.- 250.M	AUSTRIA	0,25	18	20	tran-zist.
T.G.- 1000.M.	AUSTRIA	1	18	36	"
T.G.- 6000.M.	AUSTRIA	6	18	80	"
T.G.-10000.M.	AUSTRIA	10	18	105	"
B.M.- 400	S.U.A. R.F.G.	0,4	22	30	cu R.A.F.
B.M.- 490	S.U.A. R.F.G.	0,9	22	35	"
B.M.- 4120	S.U.A. R.F.G.	1,3	22	40	"
B.M.- 4170	S.U.A. R.F.G.	1,7	22	50	"
A.H.P.-7	S.U.A. R.F.G.	0,7	25	30	"
B.K.-101	R.F.G.	1	18-40	35	-

Pe lîngă parametrii evidențiați în acest tabel, în literatura de specialitate se consideră ca principaliii parametrii funcționali ai generatoarelor de ultrasunete, următorii:

1. Frecvența de lucru (f_g)

Frecvența de lucru sau gama de frecvențe se determină în funcție de tipul transductoarelor utilizate și de destinația generatorului. Pînă recent, generatoarele de ultrasunete erau concepute să funcționeze pe o frecvență fixă, deoarece în majoritatea

cazurilor erau destinate unei singure utilizări a instalației (sudură, curățire, prelucrare etc). Tendința actuală fiind aceea de a crea generatoare care să echipzeze mai multe tipuri de mașini, reclamă din partea acestora funcționarea nu pe o frecvență fixă, ci într-o gamă de frecvențe în care parametrii de ieșire a generatorului să rămână aproximativ constanti.

2. Puterea de ieșire (P_u)

Este definită ca puterea electrică activă debitată în sarcină. În majoritatea cazurilor, această putere este reglabilă într-o plajă largă, în scopul utilizării generatoarelor în diferite regimuri de prelucrare și cu mai multe tipuri de transducatoare.

3. Randamentul (η)

Este definit ca raportul dintre puterea utilă a generatorului (P_u) debitată pe sarcină și puterea totală consumată (P_c).
• •

$$\eta = \frac{P_u}{P_c} \quad (2.1.)$$

Valoarea acestui coeficient depinde de puterea generatorului, tipul și regimul de lucru al etajelor finale, el caracterizând de fapt economicitatea generatorului.

4. Stabilitatea frecvenței

Este determinată de caracterul sarcinii (transductorului) care, aşa cum se cunoaște, reprezintă în sine un sistem rezonant.

Cerințele de stabilitate a frecvenței sunt dictate, în primul rînd, de etalonarea acestui sistem, adică de dependența cât mai mică a rezonanței sale de acțiunile mediului înconjurător, de variațiile de temperatură create de pierderi, precum și de calitatea sistemului. Coeficientul de stabilitate a frecvenței este impus și de procedeele de prelucrare; astfel, la spălarea cu ultrasunete se admite un coeficient de $\pm 5 \cdot 10^{-3}$, pe cînd la sudură, valoarea acestuia trebuie să fie de cel puțin $\pm 3 \cdot 10^{-4}$.

In același timp, apar cazuri în care stabilitatea frecvenței devine un factor secundar. Astfel, în prelucrări mecanice, la suduri cu legături laterale, în procesul de trefila-

re cu ultrasunete, datorită variației permanente a parametrilor spațiului de prelucrare, frecvența de rezonanță a transductorului se modifică, fapt ce provoacă micșorarea bruscă a amplitudinii oscilațiilor la capătul concentratorului.

In asemenea cazuri, de la generator nu se mai pretinde o stabilitate ridicată a frecvenței, ci asigurarea unei amplitudini constante a oscilațiilor la capătul concentratorului - deziderat care poate fi realizat doar prin introducerea în construcția generatorului a unui sistem de reglare automată a frecvenței (R.A.F.), sistem ce modifică frecvența de lucru a generatorului funcție de variația frecvenței de rezonanță a transductorului, astfel că pe axa frecvențelor, generatorul "urmărește" comportarea transductorului, în așa fel că ansamblul generator-transductor este permanent la rezonanță, realizându-se transferul maxim de putere către sarcină.

In acest caz, generatorul de ultrasunete trebuie să prezinte o precizie ridicată de urmărire a frecvenței de rezonanță a transductorului, precizie dată de relația :

$$\frac{\Delta f}{f_0} = \frac{f_0 - f_g}{f_0} \quad (2.2.)$$

unde:

- Δf - diferența dintre valorile instantanee ale frecvenței de lucru a generatorului (f_g) și frecvenței de rezonanță a transductorului (f_0). In majoritatea cazurilor, se pretinde ca acest raport să fie de 10^{-3} - 10^{-4} .

In afara acestor parametrii principali, în proiectarea și construcția generatoarelor de ultrasunete, trebuie să se țină cont și de o serie de alți parametrii, ca: prețul de cost, fiabilitatea, nivelul perturbațiilor industriale, parametrii care, funcție de condițiile concrete de utilizare a generatoarelor, capătă la un moment dat caracter prioritar.

CAPITOLUL 3

CONDITII IMPUSE GENERATOARELOR DE ULTRASUNETE

Datorită multiplelor domenii de aplicabilitate a ultrasunetelor în procesele de prelucrări industriale, generatoarelor de ultrasunete li se impun o serie de condiții restrictive privitoare la frecvența de lucru, puterea de ieșire, stabilitatea frecvenței, randament, fiabilitate etc.

Astfel, la generatoarele de laborator și cele cu destinație universală, se pretinde funcționarea într-o bandă largă de frecvențe și posibilitatea reglării continue a puterii de ieșire. Este de dorit ca aceste generatoare să poată furniza la ieșire diferite forme de semnal: sinusoidal, meandre, pachete de impulsuri, în vederea studierii răspunsului transductorului, permitînd astfel alegerea formei optime de semnal pentru anumite operațiuni.

La generatoarele destinate proceselor de spălări cu ultrasunete, unde impedanța sarcinii rămîne aproximativ constantă, se cere doar o putere de ieșire adecvată și o bună stabilitate a frecvenței, pe cînd în procesele de sudură, aşchiere, trefilare, impedanța de sarcină modificîndu-se permanent, este necesar ca generatoarele să dispună de scheme de reglare automată a frecvenței și puterii, în scopul menținerii în rezonanță a ansamblului generator-transductor - concentrator.

Condițiile principale care reclamă soluții constructive moderne în echiparea generatoarelor de uz industrial, se pot clasifica în :

3.1. CONDITII DE FRECVENTA

Frecvența generatoarelor de ultrasunete este impusă de natura procesului de prelucrare, regimul de lucru al generatorului, precum și protecția personalului. În practică, s-a constatat că la mărirea frecvenței oscilațiilor electrice, apare un prag, peste care, dacă se trece, randamentul generatorului începe să scadă – fenomen datorat pierderilor suplimentare ce apar în diferite componente pasive sau active odată cu creșterea frecvenței (în cazul unor tehnologii normale de fabricație), așa cum se poate observa și din figura 3.1. a.b.c.

Acest prag fiind cuprins în gama 15- 25 KHz., pentru obținerea unui randament ridicat, este preferabil să se aleagă o

frecvență de lucru mai mică de 15 KHz., soluție ce nu poate fi acceptată la generatoarele de uz industrial din considerente de protecție acustică a personalului, motiv pentru care - la majoritatea generatoarelor - se alege o frecvență cît mai joasă, dar care să depășească pragul acustic inconvenabil (19-22 KHz.)

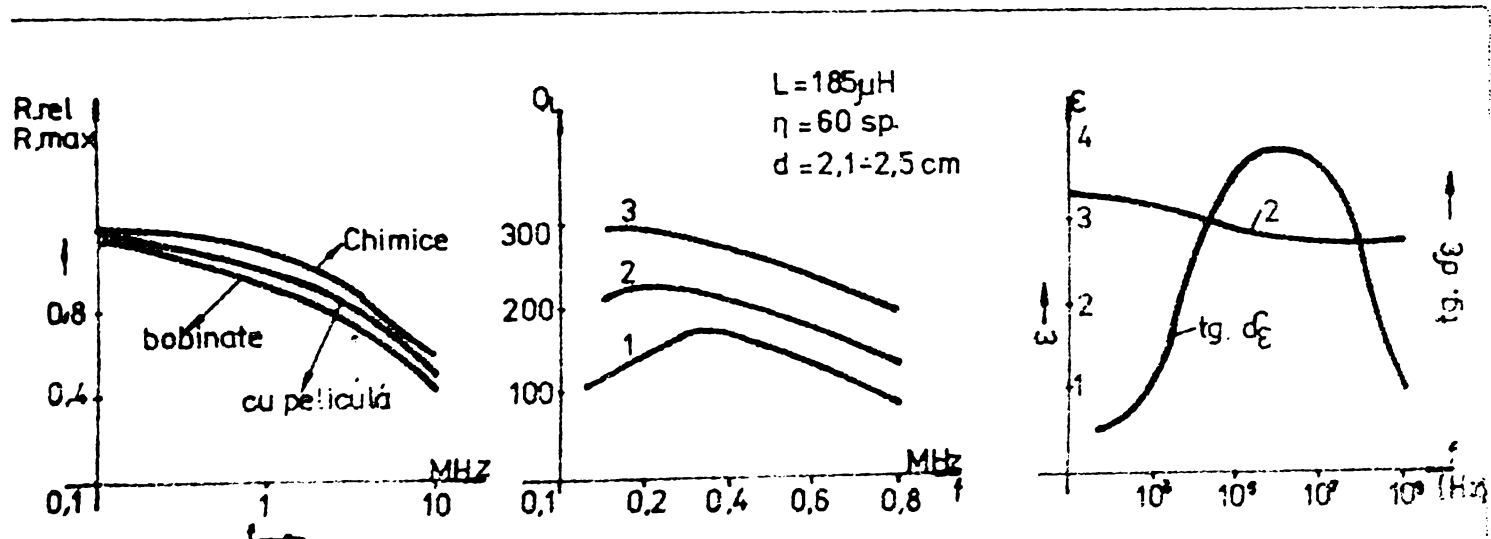


fig 3.1 Cresterea pierderilor în rezistențe, bobine și condensatoare funcție de frecvență

Frecvența maximă de lucru este limitată și ea, în special la generatoarele tranzistorizate, unde timpii de stocare ai tranzistoarelor provoacă o inertie în variația curentului de colector I_c , la frecvențe joase, iar pe măsura creșterii frecvenței, acești timpi produc un defazaj între semnalul de intrare și cel de ieșire. În figurile 3.2. și 3.3. sunt prezentate rezultatele experimentelor efectuate cu tranzistoarele de putere (2N 3055) produse în țară.

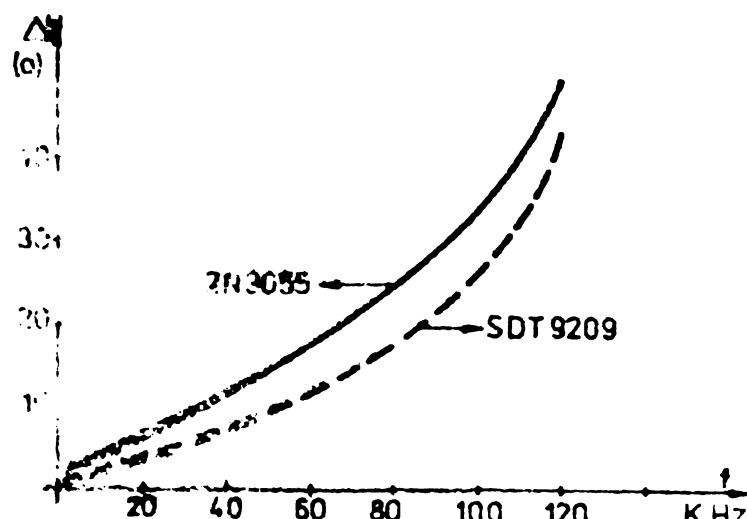


fig 3.2 Dependenta defazajului dintre I_c și I_b functie de frecvență la tranzistorul 2N 3055 și SDT9209

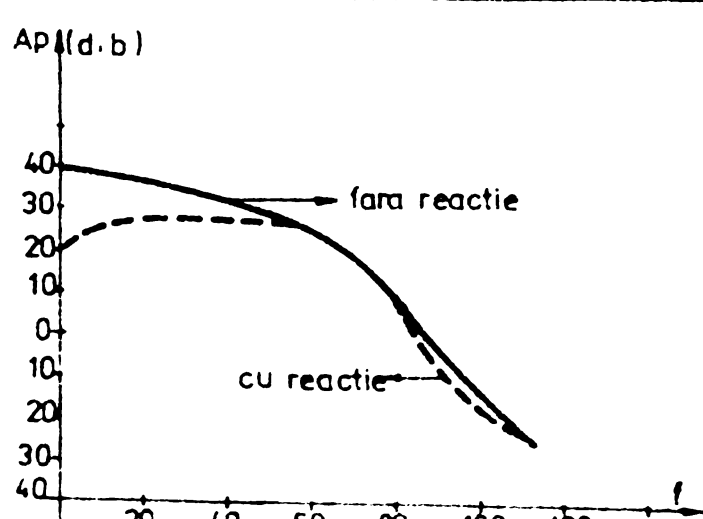


fig 3.3 Variatia amplificarii functie de frecvență pentru un tranzistor 2N3055 în montaj E.C.

Se observă că în apropierea frecvenței de 70 KHz.,

acest defazaj devine inacceptabil, deoarece provoacă o scădere apreciabilă a amplificării etajelor finale ale generatoarelor.

Atât studiile teoretice, cât și experimentele efectuate au relevat faptul că la toate tipurile de prelucrări, parametrii procesului depind și de frecvența oscilațiilor. Astfel, la prelucrarea materialelor cu suspensie abrazivă, viteza de prelucrare depinde de frecvență, în sensul că odată cu creșterea frecvenței oscilațiilor, se măreste și frecvența de impact a particulelor abrazive cu materialul.

Conform teoriei lui Miller / 78 /, în procesele de prelucrări dimensionale cu ultrasunete, viteza de lucru (V) este legată de amplitudinea oscilațiilor (A) și frecvență, prin relația:

$$V = F (A^2 \cdot f) \quad (3.1.)$$

asa cum se poate observa și din graficele prezentate în figura 3.4. a și b:

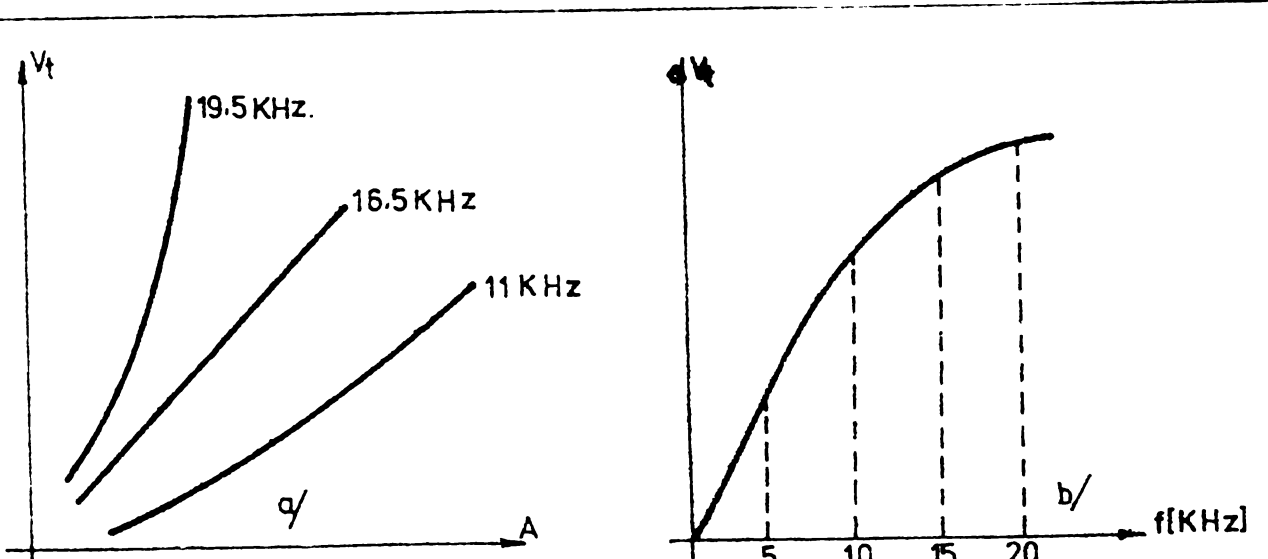


fig.3.4 Dependenta vitezei de prelucrare cu substanta abraziva functie de amplitudinea si frecventa oscilațiilor.

Tinând cont de faptul că propagarea vibrațiilor ultrasu-nore într-un mediu se face printr-o serie succesivă de comprimări și destinderi ale materiei, rezultă că amplitudinea acestor comprimări și destinderi, deci a oscilațiilor, scade odată cu creșterea frecvenței, motiv pentru care în procesele de prelucrări de înaltă precizie, se impune o frecvență ridicată, iar acolo unde se urmărește o productivitate mare a prelucrării, este necesar să se utilizeze generatoare cu frecvență joasă de lucru, deoarece pentru o putere dată, amplitudinea oscilațiilor ultrasonore este invers proporțională cu frecvența.

O frecvență ridicată a oscilațiilor (peste 30 KHz.) se impune și în acele procese de prelucrare unde se caută să se evite fenomenul de cavităție, cunoscut fiind faptul că acesta se mani-

festă cu pregnanță la frecvențe mai joase, intensitatea lui scăzând odată cu creșterea frecvenței și ajungînd să dispare complet la aproximativ 100 KHz.

3.2. CONDITII DE PUTERE

Puterea de ieșire a generatoarelor de ultrasunete este dictată de doi factori: tipul transductoarelor utilizate și natura procesului de prelucrare.

Astfel, în cazul transductoarelor cu ferită, ținînd cont de faptul că încărcarea acestora nu poate fi mai mare de 20W. cm^{-2} , puterea de ieșire nu trebuie să depășească 3-400 W, chiar în cazul unui transductor format dintr-un mozaic de 4-6 ferite. În procesele de prelucrări dimensionale, trefilări, acest nivel de putere este insuficient, energia oscilațiilor neputînd să provoace modificări structurale în mediul de propagare al ultrasunetelor. În cazul utilizării transductoarelor de nichel, puterea debitată de generator trebuie să depășească 4-600 W, aceasta constituind pragul inferior la care, pentru nichel, apare fenomenul de magnetostricție.

În procesul de tragere a barelor și trefilarea sîrmei cu ajutorul ultrasunetelor, s-a constatat că reducerea forței de tragere este proporțională cu puterea (energia) cu care este excitată filiera, fapt evidențiat în graficele din figurile 3.5. și 3.6. / 90/

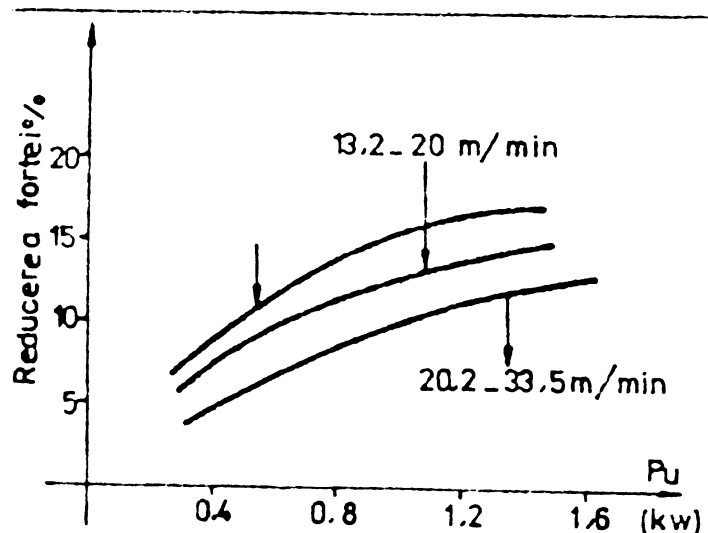


fig. 3.5 Efectul energiei acustice resimtite la tragerea barelor de aluminiu

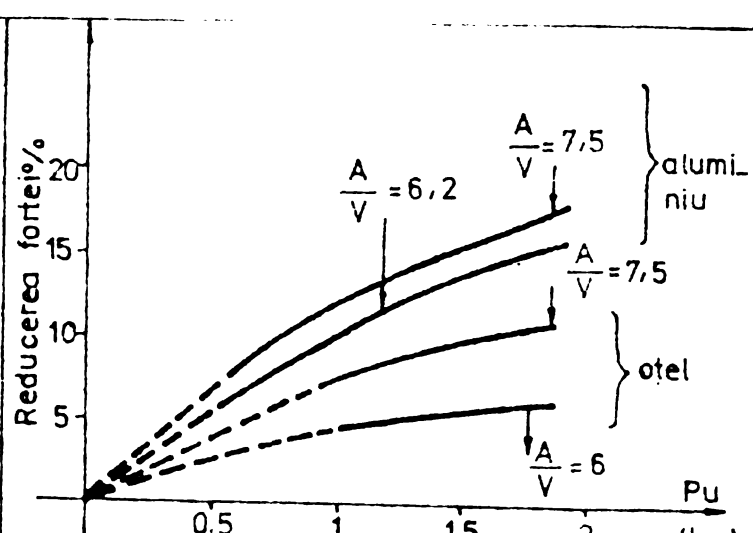


fig. 3.6 Efectul produs de raportul A/V la tragerea barelor cu ultrasunete

Din primul grafic se observă că reducerea forței de tragere crește odată cu puterea de excitare a transductorului pentru

fiecare din intervalele de viteză. Cel de-al doilea grafic scoate în evidență faptul că activitatea filierei cu ultrasunete duce și ea la reduceri de forță, care, pentru rapoarte "aria suprafeței / volum supus la deformare (A/V)" constante este funcție de energia electrică furnizată în filieră, energie proporțională cu puterea generatorului.

In mod analog, în procesele de sudură cu ultrasunete, cu cît puterea de excitare a transductorului este mai mare, cu atât trebuie redusă forța de apăsare.

O problemă deosebit de importantă o constituie menținerea nivelului stabilit al puterii de ieșire, indiferent de variațiile sarcinii. Este cunoscut că orice variație a impedanței mecanice a mediului de prelucrat este preluată de transductor și reflectată în circuitele de ieșire ale generatorului, acest fapt având ca rezultat compromiterea adaptării dintre generator și transductor, iar în final, scăderea puterii utile și a randamentului. Pentru a nu se deteriora parametrii procesului de prelucrare, nivelul puterii de ieșire trebuie redus automat la valoarea stabilită anterior. Schema bloc a unui posibil sistem de reglare automată a puterii (R.A.P.) este redată în figura 3.7.

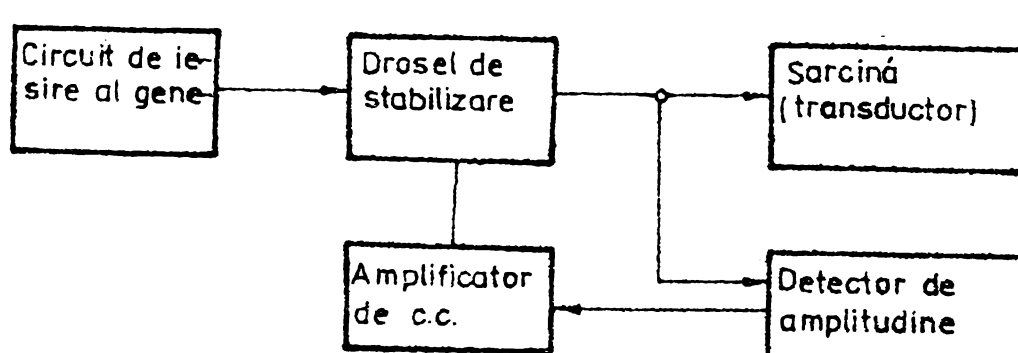


fig. 3.7_Schema bloc a unui sistem de R.A.P

La acest sistem, menținerea constantă a nivelului puterii de ieșire se realizează prin reglarea tensiunii pe sarcină, cu ajutorul unui drosel (sau amplificator magnetic) cuplat în circuitul de ieșire a generatorului, în serie cu sarcina. Comanda drozelului se face cu un curent continuu, a cărui valoare depinde de variațiile sarcinii.

3.3. CONDITII DE RANDAMENT

Acestea se impun în scopul asigurării unei eficiențe maxime a generatorului în condițiile unei scheme date.

Valoarea randamentului depinde de tipul de schemă ales, de calitatea componentelor active și pasive ale schemei, de regimul de lucru.

Astfel, la generatoarele sinusoidale, randamentul teoretic nu depășește 78 % (60-65 % în practică). Utilizarea regimului de comutație pentru etajele finale permite să se obțină un randament de 85-90 %, datorită micșorării de două-trei ori a pierderilor în tranzistoare. Valori asemănătoare ale randamentului se pot obține la schemele de generatoare cu invertoare electronice, fapt ce rezidă din însuși principiul de funcționare a acestora. Strîns legată de obținerea unui randament ridicat, este și adaptarea generatoarelor cu sarcina, deoarece în cazul compromiterii acesteia, pe lângă utilizarea nerățională a generatorului, apar pierderi în transductor, se mărește timpul de prelucrare, cresc erorile, iar în cazuri extreme, nu se pot obține nici măcar parametrii minimi pentru a se putea continua procesul de prelucrare.

Tinând cont că la limita zonei de adaptare, puterea utilă și randamentul prezintă oarecum variații de sens contrar, în stabilirea parametrilor optimi ai generatorului, trebuie să se aibă în vedere această situație, în sensul că obținerea unui randament maxim se realizează pe seama unei micșorări a puterii utile și, funcție de particularitățile de utilizare a generatorului, în proiectare trebuie să se stabilească parametrul care este considerat priorităț.

Astfel, în prelucrări care reclamă puteri mici (1-200 W), ușor de obținut cu scheme simple, se va adopta soluția care permite obținerea unui randament maxim, aceasta conducind și la micșorarea prețului de cost. Acolo unde sunt necesare puteri mari, proiectarea se va realiza în vederea îndeplinirii acestui deziderat, randamentul devenind un parametru secundar.

3.4. CONDITII DE FIABILITATE

Riabilitatea, sau siguranța în funcționare, reprezentând capacitatea generatorului de a-și păstra parametrii între limitele date, în condiții de exploatare determinate, încă din faza de proiectare, se impune ca aceasta să fie cât mai ridicată, dar, pe cât posibil, acest deziderat să se realizeze fără o majorare prea mare

ă prețului de cost.

Pe lîngă aceste considerente, generatoarelor de ultrasu-nete li se cere o bună fiabilitate și datorită faptului că apari-ția unor deranjamente repetitive, deriva puternică a parametrilor față de valorile optime duc la compromiterea procesului de producere, datorită scăderii randamentului și preciziei de prelucrare.

Imbunătățirea fiabilității este strîns legată și de cali-tatea componentelor active și pasive ce echipază schema electri-că, care se poate observa și din tabelul 3.1. / 46 / , de unde se

Tabelul 3.1.

Tipul elementului	Rezistoare chimice	Rezistoare bobinate	Condensat. obișnuite	Condensat. electrolitice	Bobine	Tuburi electronice	Diode semi-conductoare	Tranzistoare	Circuite integrate	Relee	Transformator	Intrerupătoare
$\lambda \cdot 10^{-6}$ def./ oră	1,5 3,5	12,5 3,5	1,4 3,5	4- 9	0,2 4	15- 80	3- 40	5- 40	0,01 1	0,8- 60	0,02- 64	1,5- 28

poate trage concluzia că semiconductoarele, circuitele integrate și celelalte componente obținute cu tehnologii avansate oferă fiabilitatea cea mai mare. Siguranța în funcționare a acestor ele-mente depinde în cea mai mare măsură de solicitarea electrică, precum și de o serie de factori exteriori, ca: temperatura, presiunea, umiditatea, radiații etc. Pentru exemplificare, în figura 3.8. și tabelul 3.2. se arată influența temperaturii și solicitărilor electrice asupra tranzistoarelor. / 55 /

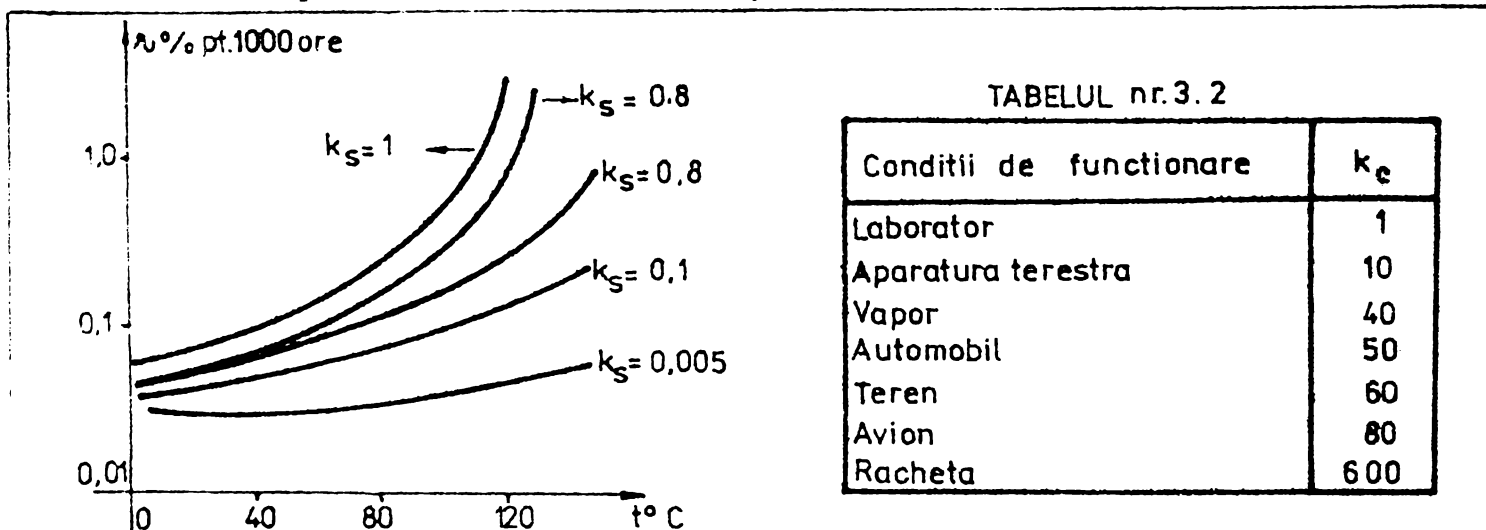


fig. 3.8 Influenta temperaturii și a sarcinii asupra intensității de defectare

Intensitatea defectiunilor este cu atât mai mică, cu cît

încărcarea componentelor (materializată prin coeficientul de sollicitare K_s) este mai redusă. Funcționarea rezistoarelor în alte condiții decât cele de laborator (materializată prin coeficientul de corecție K_c) contribuie la creșterea intensității de defectare a acestora.

In vederea măririi siguranței în funcționare, toate firmele constructoare sănătate obligate să adopte o serie de procedee care pot fi împărțite în :

- procedee constructive, utilizate în etapa proiectării aparatului și care constă în folosirea unor elemente cu fiabilitate ridicată, asigurarea unor regimuri lejere de funcționare, în special pentru componente active, dotarea generatorului cu scheme de protecție ;
- procedee de producție, care se referă la controlul executării operațiunilor, reglarea optimă a parametrilor, testarea funcționării în diferite regimuri de lucru ;
- procedee de exploatare, care includ operațiuni de prognoză a defecțiunilor, întreținerea profilactică, asigurarea calificării necesare pentru personalul ce exploatează generatorul.

Toate aceste cerințe de fiabilitate duc, în mod inevitabil, la creșterea prețului de cost, motiv pentru care, de multe ori, se construiesc generatoare mai simple, destinate doar executării unui anumit gen de operațiuni, însă la un preț de cost mai scăzut. Spre exemplificare, în tabelul 3.3. este dat timpul mediu între două devenrjamente ale unor generatoare construite de principalele firme din lume. /50/

Tabelul 3.3.

Tipul generato- rului	Tara	Puterea de ieșire (W)	Tipul schemei	T mediu (ore)	Obs.
UZG - 04	U.R.S.S.	400	cu tuburi	185	
UQ - 05	U.R.S.S.	500	cu tranzistoare	360	
BM - 400	S.U.A.	400	cu tranzistoare	290	cu RAF
BM - 490	S.U.A.	900	cu tranzistoare	275	cu RAF
KLN - 07	R.F.G.	700	cu tranzistoare	280	cu RAF
TA - 250.M.	AUSTRIA	250	cu tranzistoare	300	
TG-1000.M.	AUSTRIA	1000	cu tranzistoare	370	

Se observă că schemele tranzistorizate și generatoarele fără sisteme auxiliare (R.A.F., R.A.P.) au o fiabilitate ridicată în comparație cu celelalte.

4369 FO 334 F

CAPITOLUL 4

OBJEKTUL SI METODICA CERCETARII

4.1. CONSIDERATII PRIVIND OPTIMIZAREA PARAMETRILOR GENERATOARELOR DE ULTRASUNETE

Din scurta trecere în revistă a aspectelor legate de utilizarea generatoarelor de ultrasunete în diferite procese de prelucrare, precum și din datele - destul de sumare - oferite de literatură de specialitate, se pot desprinde o serie de concluzii :

- majoritatea firmelor producătoare oferă instalații de prelucrat destinate efectuării unui singur gen de operații, de aici decurgînd unele condiții mai lejere pentru generatoare: frecvență fixă, putere reglabilă în trepte, valoare constantă a sarcinii etc.;
- se dezvoltă tot mai mult construcția de generatoare echipate cu scheme simple, care să îndeplinească doar dezideratul asigurării unei puteri cît mai ridicate la ieșire. În acest scop, ceilalți parametrii capătă un caracter subordonat;
- debitarea energiei generatorului nu se face în mod continuu, ci doar pe o durată strict limitată la timpul efectiv de prelucrare ;
- s-a trecut masiv la înlocuirea generatoarelor de putere echipate cu tuburi electronice, cu generatoare echipate cu tiristoare, tranzistoare în regim de comutație etc., reușind să se obțină puteri (în impuls) de ordinul a 5-30 KW, în condițiile unor puteri medii acceptabile.

In afara acestor concluzii rezultate din construcția practică, literatura de specialitate oferă extrem de puține date sau considerente teoretice, deoarece, în majoritatea lucrărilor, generatoarele de ultrasunete sunt privite ca niște elemente anexă ale instalațiilor de prelucrat, autorii analizînd în special mecanismul intim al prelucrării și soluțiile constructive ale instalației.

In acest context, ținînd cont și de posibilitățile industrii noastre privind asimilarea semiconductoarelor de putere, obiectivul major al tezei - aşa cum reiese și din titlu- îl constituie analiza condițiilor care influențează principalii parame-

trii energetici ai generatoarelor (putere, randament), a posibilităților ca în condițiile unor scheme date, generatorul să poată furniza sarcinii o putere maximă, cu scopul de a contribui la creșterea randamentului general al instalației de prelucrat cu ultrasunete, care la ora actuală nu depășește 30-35 %.

La noi în țară, aceste preocupări sunt abordate pentru prima oară, finalizarea lor permitînd elaborarea unor criterii de proiectare și construcție optime a generatoarelor de ultrasunete de uz industrial. În acest cadru, autorul și-a propus următoarele obiective :

1. Cunoașterea realizărilor din țară și străinătate, în vederea asimilării performanțelor de vîrf în construcția generatoarelor de uz industrial.
2. Analiza posibilităților de echipare a generatoarelor cu scheme de reglaj automat al frecvenței și puterii de ieșire, în vederea realizării unei adaptări optime a generatorului cu sarcina.
3. Fundamentarea teoretică a construcției și realizarea practică a unor blocuri de adaptare, în scopul utilizării unui singur generator cu mai multe tipuri de transductoare și la diferite procese de prelucrare.
4. Cercetarea soluțiilor teoretice și elaborarea unor metode și procedee practice de ridicare a parametrilor energetic ai generatoarelor.
5. Analiza factorilor perturbatori în funcționarea ansamblului generator - transductor și stabilirea unor procedee de înlăturare sau diminuare a influenței acestora.
6. Studierea răspunsului sarcinii la excitarea cu diferite forme de semnal, în vederea alegerii formei optime a semnalului de ieșire al generatorului, care să permită obținerea parametrilor stabiliți ai procesului de prelucrare, în condițiile unor regimuri de lucru cît mai lejere pentru generator.
7. Realizarea practică a unui generator de laborator de 350W și a unui generator de uz industrial de 1000 W, care să poată fi utilizat în echiparea unor mașini de prelucrat cu ultrasunete.

CAPITOLUL 5
CERCETARI PRIVIND STABILITATEA FRECVENTEI GENERATOARELOR DE ULTRASUNETE

Așa cum s-a arătat, stabilitatea frecvenței generatoarelor de ultrasunete este impusă de o serie de factori, ea având influență directă atât asupra parametrilor energetici ai generatorului, cît și asupra calității procesului de prelucrare. Conform teoriei lui Iahimovici /60/, modificarea productivității prelucrării ultrasunore la variația frecvenței generatorului față de valoarea de rezonanță f_o , poate fi calculată cu relația :

$$\frac{M}{M_o} = \left(\frac{6Q}{\pi} \cdot \frac{\Delta f}{f_o} \right)^2 + 1 \quad (5.1.)$$

unde:

Q = factorul de calitate al sistemului ;

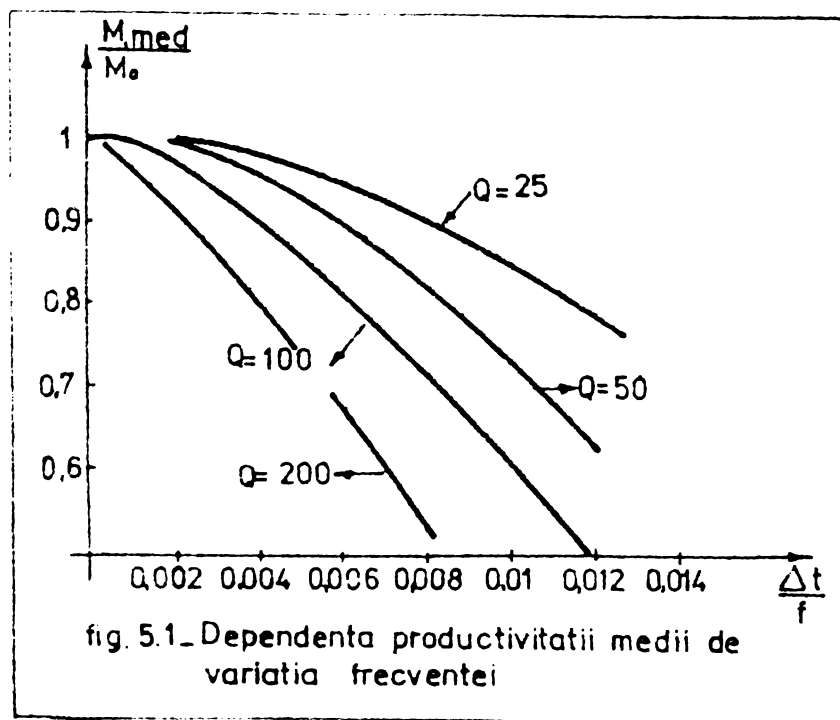
M_o = valoarea productivității prelucrării la rezonanță;

M = valoarea productivității prelucrării la frecvența $f_o + \Delta f$.

Considerind o variație medie a frecvenței Δf_m , căreia îi corespunde o valoare a productivității M_m și admitind că această variație Δf_m se poate reprezenta printr-un sir trigonometric, relația (5.1.), după calcule succesive, se transformă în :

$$\frac{M_{med}}{M_o} = \frac{\operatorname{arc} \operatorname{tg} \left(\frac{6Q}{\pi} \cdot \frac{\Delta f_m}{f_o} \right)}{\frac{6Q}{\pi} \cdot \frac{\Delta f_m}{f_o}} \quad (5.2.)$$

care, reprezentată grafic, are alura curbelor din fig.5.1.



Deoarece pentru transductoarele magnetostriuctive, în practică, avem :

$$Q = 15 - 80,$$

$$\frac{\Delta f_m}{f_o} = 0,01.$$

relația (5.2) poate fi simplificată, deoarece :

$$\frac{6Q}{\pi} \cdot \frac{\Delta f_m}{f_o} \ll 1,$$

ea transformîndu-se în :

$$\frac{M_{med}}{M_o} = 1 - \frac{1}{3} \left(\frac{6Q}{\pi} \cdot \frac{\Delta f_m}{f_o} \right)^2$$

Conform acestei relații, s-a calculat că pentru o mașină de prelucrat cu ultrasunete, la care $f_0 = 22 \text{ KHz}$, $Q = 25$, o abatere $f_m = 50 \text{ Hz}$. conduce la scăderea productivității prelucrării cu 2,41 - 3,64 %, iar dacă abaterea este de 700 Hz., această scădere se apropie de 10 % /60/, procent care începe să devină inacceptabil, motiv pentru care stabilitatea frecvenței generatoarelor de ultrasunete este impusă chiar din faza de proiectare.

5.1. ANALIZA CONDIȚIILOR DE STABILITATE

Deoarece stabilitatea frecvenței generatorului este dată în special de oscilatorul pilot, vom lua în considerare doar factorii care duc la variația frecvenței oscilatorului.

Cunoscând că un sistem oscilator poate fi prezentat sub forma unui amplificator (A) și a unei bucle de reacție (B), schema bloc de interacțiune și relațiile de fază dintre clementele acestui sistem sunt redată în figura 5.2., a și b. /122/.

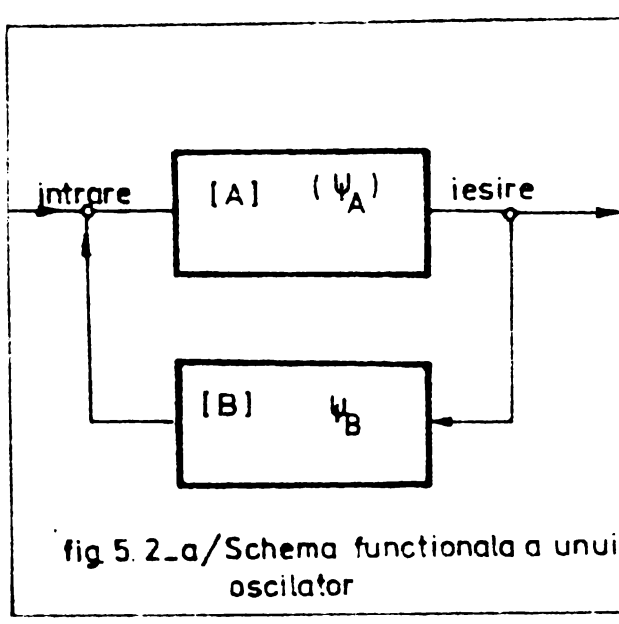


fig 5.2_a/Schema funcțională a unui oscilator

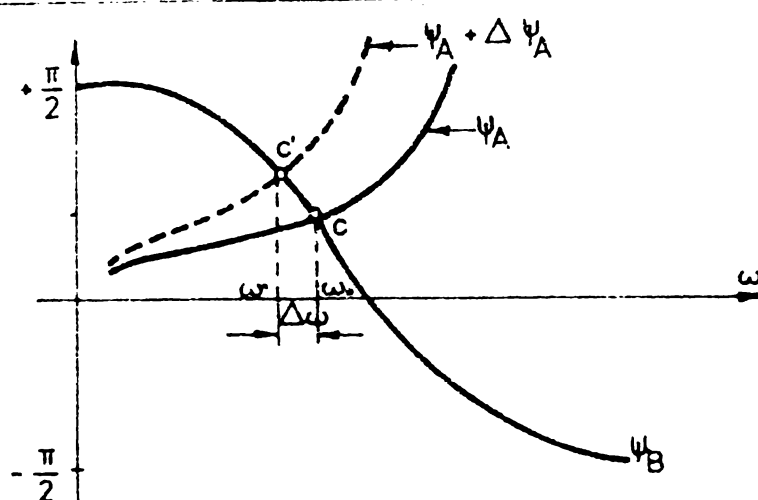


fig 5.2_b/Relațiile de fază într-un sistem oscilant

Pentru a se obține oscilații într-un astfel de sistem, trebuie să se îndeplinească simultan condițiile :

$$|A| \cdot |B| = 1 \quad \text{condiția de amplitudine}$$

$$\varphi_A + \varphi_B = 2k\pi \quad \text{condiția de fază} \quad (5.4.)$$

unde A și B reprezintă amplificările celor două brațe, iar φ_A și φ_B sint unghiurile de fază, date de relațiile :

$$\varphi_A = \text{arc tg.} \frac{x_{\text{circ.ampl.}}}{r_{\text{circ.ampl.}}} ; \varphi_B = \text{arc tg.} \frac{x_{\text{circ.reacție}}}{r_{\text{circ.reacție}}}$$

Prin reactanțele circuitelor respective (X_{ca} , X_{cr}) cele două unghiuri depind de frecvență, astfel că din relația (5.4) se poate scrie :

$$\varphi_A + \varphi_B = F(\omega) = 2K\pi \quad (5.5.)$$

Din graficul reprezentat în figura 5.2.b., se observă că relațiile (5.4) sunt îndeplinite doar în punctul C. Dacă din cauza variației unui parametru oarecare al sistemului, relația (5.5) nu mai este satisfăcută, atunci și funcția $F(\omega)$ va înregistra o variație $\Delta\varphi$, care presupunând că va îndeplini condiții-le

$$\Delta\varphi > 0 \text{ și } \Delta\varphi \ll 2K \quad (5.6.)$$

va transforma relația (5.5) în :

$$F(\omega) = 2K\pi + \Delta\varphi$$

Deoarece condiția de fază nu mai este îndeplinită (pct. c' de pe grafic), frecvența oscilațiilor se va modifica cu $\Delta\omega$, astfel încât noua frecvență ω' să îndeplinească și ea condiția de fază a oscilațiilor, care acum va deveni :

$$F(\omega + \Delta\omega) = 2K\pi \quad (5.7.)$$

Desvoltând în serie de puteri întregi și reținând doar primii doi termeni, relația (5.7.) devine :

$$F(\omega) = \frac{\partial F(\omega)}{\partial \omega} \cdot \Delta\omega = 2K\pi \quad (5.8.)$$

dar

$$F(\omega) = 2K\pi + \Delta\varphi, \text{ deci va rezulta:}$$

$$\Delta\varphi + \frac{\partial F(\omega)}{\partial \omega} \cdot \Delta\omega = 0, \text{ de unde:}$$

$$\Delta\omega = \frac{-\Delta\varphi}{\partial F(\omega)/\partial \omega}$$

și pentru a afla variația relativă a frecvenței, împărțind cu ω , vom avea :

$$\frac{\Delta\omega}{\omega} = -\frac{\Delta\varphi}{\omega \partial F(\omega)/\partial \omega} \quad (5.9.)$$

Deoarece $\Delta\omega/\omega < 0$, (am presupus că $\Delta\omega$ descrește), iar pentru $\Delta\varphi > 0$, ca relația (5.9) să fie îndeplinită, este necesar ca :

$$\frac{\partial F(\omega)}{\partial \omega} > 0 \quad (5.10.)$$

Această relație reprezintă condiția de stabilitate a

oscilatorului. Deoarece instabilitatea relativă a frecvenței variază proporțional cu mărimea :

$$S(\omega) = -\omega \frac{\partial F(\omega)}{\partial \omega}, \quad (5.11.)$$

aceasta este denumită factor de stabilizare a frecvenței și reprezintă parametrul cel mai important al oscilatorului.

Considerațiile făcute pînă în prezent au presupus că în circuitul oscilant apare doar fundamentala frecvenței de oscilație. Se poate demonstra /54/ că prezența armonicelor frecvenței fundamentale duce la o variație de frecvență :

$$\frac{\Delta\omega}{\omega} = -\frac{1}{2} \sum_{K=2}^{\infty} (K^2 - 1) \cdot m_K^2 \text{ pentru un circuit derivativ} \quad (5.12.)$$

și

$$\frac{\Delta\omega}{\omega} = -\frac{1}{2} \sum_{K=2}^{\infty} (K^2 - 1) \cdot n_K^2 \text{ pentru un circuit serie}$$

unde:

m_K = distorsiunea de ordinul k a tensiunii

n_K = distorsiunea de ordinul k a curentului.

5.2. FACTORII PERTURATORI AI FRECVENTEI.

PROCEDEE DE MARIRE A STABILITATII

Analizînd condițiile de stabilitate a frecvenței oscilatorului, se observă că $F(\omega)$ variază direct proporțional cu φ_A și φ_B care, conform relațiilor de definiție, depind de reactanță și rezistență de pierderi din circuitul oscilant al oscilatorului și al buclei de reacție. Pe de altă parte, relațiile (5.12) relevă faptul că instabilitatea frecvenței depinde și de apariția armonicelor frecvenței fundamentale, armonici care, la rîndul lor, sunt determinate de regimul de lucru al elementului activ din oscilator și de caracterul sarcinii. Lăsînd la o parte factorii de ordin mecanic, fizic, climatic, cu influențe negative asupra stabilității frecvenței și împotriva cărora se iau măsuri de ordin general, din cele relatate rezultă că instabilitatea frecvenței generatorului este determinată în special de :

5.2.1. Variatia frecvenței proprii de oscilație (f_0) a circuitului oscilant

Considerînd circuitul oscilant cu un factor de calitate Q suficient de mare, frecvența de rezonanță a acestuia poate fi

definită de relația :

$$f_o = \frac{1}{\sqrt{L \cdot C}} = (L \cdot C)^{-\frac{1}{2}}$$

Variatia acestei frecvențe este determinată în special de modificarea valorilor parametrilor L și C, precum și de instabilitatea tensiunii de alimentare. Prin modificarea parametrilor L și C, se produce o variație de frecvență :

$$\frac{\Delta f_o}{f_o} = - \frac{1}{2} \left(\frac{\Delta L}{L} + \frac{\Delta C}{C} \right)$$

Deriva valorilor lui L și C este în cel mai înalt grad determinată de variația temperaturii, a cărei influență este definită de coeficienții de temperatură ai inductanței (α_L) și capacitatii (α_C), corespunzători variației cu 1°C a temperaturii, adică :

$$\alpha_L = \frac{1}{L} \left(\frac{\delta L}{\delta T} \right) ; \quad \alpha_C = \frac{1}{C} \left(\frac{\delta C}{\delta T} \right)$$

Aceștia determină, la rîndul lor, un coeficient de temperatură al frecvenței circuitului oscilant (α_ω) :

$$\alpha_\omega = \frac{1}{2} (\alpha_L + \alpha_C) \quad (5.13)$$

care va produce o variație a frecvenței :

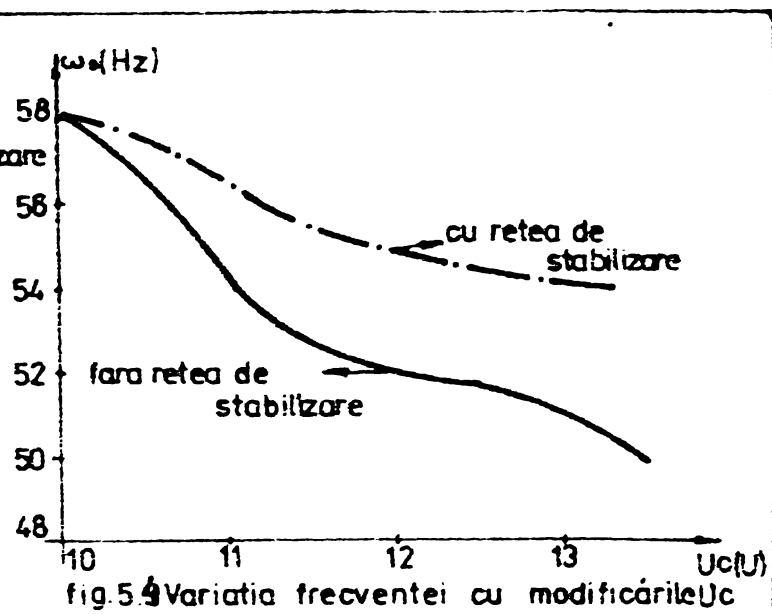
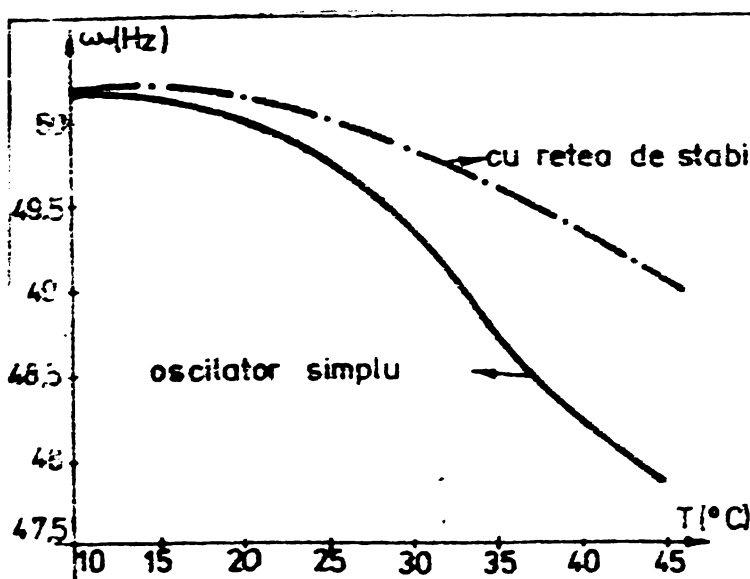
$$\Delta f_o = f_o \cdot \alpha_\omega \cdot \delta T = - \frac{1}{2} \cdot f_o \cdot (\alpha_L + \alpha_C) \cdot \delta T \quad (5.14.)$$

Instabilitatea tensiunii de alimentare duce la variația frecvenței f_o , în special datorită faptului că la variația tensiunii se modifică amplitudinea oscilațiilor, aceasta determinând modificarea spectrului armonicelor. Experiențele efectuate au demonstrat că pentru un oscilator simplu, la care nu s-au luat măsuri speciale de stabilizare, variația frecvenței oscilațiilor datorată modificării temperaturii și tensiunii de alimentare se înscrie în limita graficelor din figura 5.3. și 5.4.

Din relația (5.14) se poate observa că independența frecvenței f_o de variațiile temperaturii se poate obține prin :

- menținerea constantă a temperaturii circuitului oscilant ($\delta T = 0$) ;
- aducerea la zero a coeficienților α_L și α_C ;
- compensarea reciprocă a coeficienților α_L și α_C , conform condiției $\alpha_L + \alpha_C = 0$.

Acste metode se utilizează separat sau simultan, în funcție de abaterile admisibile ale lui f_0 .



Folosirea cuplurilor capacitive termocompensate (condensatoare cu coeficienți α_C de semn contrar), a botinelor termostabile și a termostatelor permite obținerea unui circuit oscilant a cărui frecvență proprie de oscilație nu depinde de condițiile atmosferice, mecanice și structurale.

Instabilitatea frecvenței datorită variațiilor tensiunii de alimentare poate fi eliminată sau diminuată, prin utilizarea unor surse bine stabilizate, cu atit mai mult cu cît tehnologiile moderne permit construirea unor dispozitive de stabilizare cu un coeficient mai mic de 0,5 % .

5.2.2. Regimul de lucru al elementului activ al oscilatorului

Din analiza relației (5.12), se poate observa că îndeplinește condițiile

$$m_K(n_K) \Big|_{K=2}^{\infty} = 0 \quad \text{caracterizează funcționarea fără armonici}$$

$$m_K(n_K) \Big|_{K=2}^{\infty} = \text{cst.} \quad \text{caracterizează funcționarea cu un spectru de armonici constant.}$$

Prima condiție exprimă lipsa armonicelor de tensiune la bornele circuitului oscilant, situație posibilă atunci cind elementul activ (tubul, tranzistorul) lucrează în domeniul liniar al caracteristicilor

teristicilor de excitație, sau cînd există posibilități de suprimate eficientă a armonicilor. Acest deziderat poate fi îndeplinit prin:

- funcționarea la limita de amorsare a oscilațiilor ;
- utilizarea unor circuite oscilante de foarte bună calitate ;
- folosirea filtrelor de suprimare a armonicilor.

Funcționarea la limita de amorsare a oscilațiilor se realizează prin stabilirea punctului de funcționare a tranzistorului în vecinătatea zonei de inflexiune a caracteristicilor și aducînd regimul de lucru al întregului sistem (prin alegerea adecvată a rezistențelor circuitului oscilant, utilizarea unei reacții negative sau a negativării automate), la cel limită. Același lucru se poate obține și prin conectarea unei rezistențe suficiente de mari, în serie cu sistemul de excitație. Experiența a dovedit că o asemenea rezistență, de ordinul (zeci-sute) $K\Omega$, micșorează cădereea de tensiune la bornele circuitului oscilant paralel, pentru toate armonicile față de care reactanța circuitului nu este mare și modifică relativ puțin tensiunea de frecvență fundamentală, pentru care reactanța circuitului este suficient de mare, prin aceasta, amplitudinile relative ale armonicilor superioare se micșorează mult, scăzînd influența lor asupra frecvenței f_o .

Frecvența de oscilație poate fi adusă într-o stare de cvasiindependență față de parametrii tranzistorului, prin conectarea unor reactanțe de compensare, în serie cu baza sau colectorul tranzistorului, așa cum se poate observa și din figura 5.5. și 5.6.

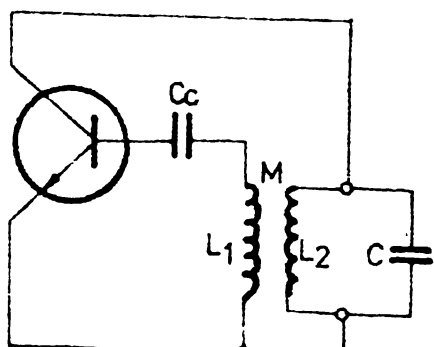


fig.5.5 Oscilator cu capacitate de compensare în bază

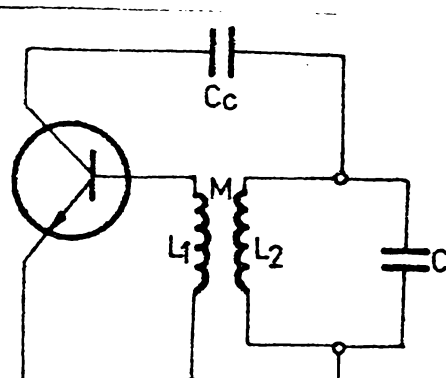


fig.5.6 Oscilator cu capacitate de compensare în colector

Deoarece impedanțele de intrare și ieșire mici, capacitațile para-

zite ale tranzistorului influențează asupra circuitului oscilant, producind amortizarea acestuia, pentru evitarea fenomenului, se impun o serie de măsuri ca :

- utilizarea circuitelor oscilante cu factori de calitate ridicați (rezistențe de pierderi mici);
- alegerea unui raport C/L mare ;
- realizarea unui cuplaj cât mai slab între tranzistor și circuitul oscilant, cu ajutorul prizelor pe bobină, sau prin introducerea unui divizor capacativ, avându-se însă grijă ca acest cuplaj să nu compromită condiția de oscilație.

O îmbunătățire simțitoare a stabilității frecvenței oscilatorului poate fi obținută și prin utilizarea unor filtre cu circuite oscilante serie, acordate pe diferite armonici, cuplate în paralel cu circuitul oscilant al oscillatorului (fig.5.7).

Dacă filtrele sunt suficient de selective și în număr destul de mare, ne putem apropia de condiția:

$$\frac{m_K}{2} / \infty = 0$$

De obicei, se utilizează un filtru cu 4-6 celule pentru armonicile mai joase, a căror influență asupra frecvenței este mai puternică.

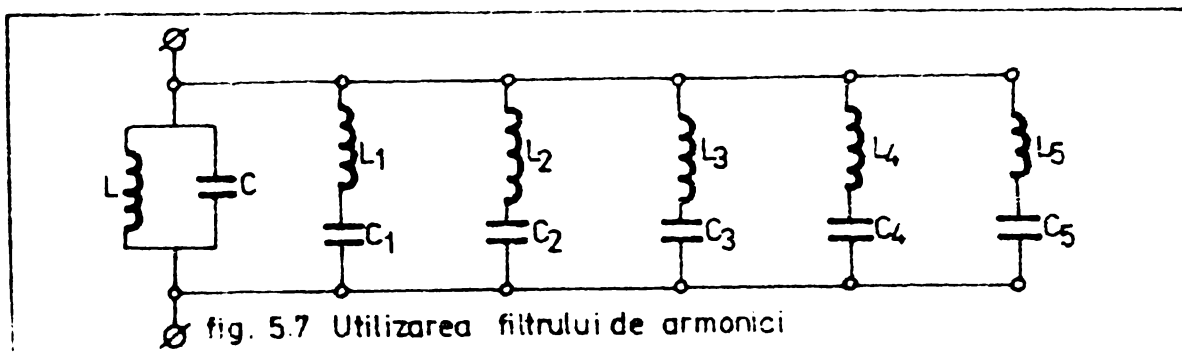


fig. 5.7 Utilizarea filtrului de armonici

Metoda prezintă dezavantajul că poate fi utilizată doar la oscilatoarele cu frecvență fixă de oscilație și reclamă, totodată, un reglaj pretențios.

A doua condiție - funcționarea cu spectru de armonici constant impune o amplitudine stabilă a oscilațiilor, prin aceasta asigurîndu-se ca factorul de distorsiuni al armonicilor superioare să nu varieze.

Așa cum s-a relatat, variația amplitudinii oscilațiilor es-

te determinată în special de modificarea tensiunilor de alimentare, fapt ilustrat și de graficul din figura 5.8.

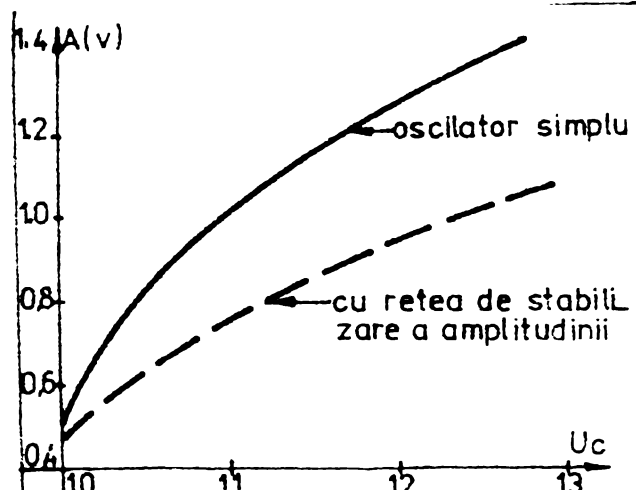


fig. 5.8 Variatia amplitudinii oscilațiilor la modificarile tensiunii de alimentare

Pentru a se obține o amplitudine constantă a oscilațiilor, pe lîngă stabilizarea riguroasă a surselor de alimentare, se caută să se realizeze și o limitare a amplitudinii, fie prin alegerea corespunzătoare a punctului de funcționare a tranzistorului, încît acesta să lucreze în clasă A, fie prin elemente sensibile la variațiile de amplitudine (fig. 5.9. a,b,c,d.)

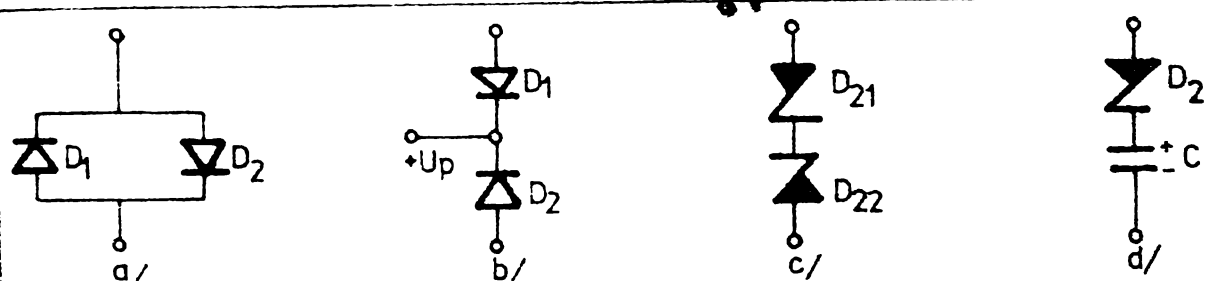


fig. 5.9 Dispozitivul de limitare a amplitudinii
a/_ cu diode nepolarizate; b/_ cu diode polarizate;
c/_ cu diode zehner d/_ cu diode zehner polarizate

La dipolul din fig. 5.9. a, tensiunea de limitare depinde de temperatură, dependență ce poate fi înălțată prin polarizarea diodelor cu o tensiune U_p . Tensiunea de polarizare poate fi evitată prin utilizarea a două diode Zehner, limitarea făcîndu-se la o amplitudine a oscilațiilor egală cu tensiunea Zehner (U_z). Prin conectarea în serie a unei diode Zehner și a unui condensator ($1-10 \mu F$), amplitudinea oscilațiilor va fi limitată simetric la valoarea $U_z/2$.

Prin utilizarea diodelor Zehner, se obține o bună stabilitate a amplitudinii cu temperatura, o limitare foarte netă, armonicele de ordin superior fiind ușor filtrate.

Pentru a se evita deformarea semnalului de către diode, acestea se vor conecta la bobina circuitului oscilant, astfel ca scădereea factorului de calitate Q să fie tolerabilă.

5.2.3. Caracterul sarcinii

In relația (5.12), îndeplinirea condiției $(K^2 - 1) \frac{m^2}{K} \Big|_{\infty} = 0$ caracterizează funcționarea pe o sarcină rezistivă.

Pentru îndeplinirea acestei condiții, este necesar ca circuitul oscilant al oscilatorului să constituie atât pentru fundamentală, cât și pentru eventualele armonici, o sarcină pur ohmică, prin anularea componentei reactive care produce variații de frecvență. Acest fapt se poate realiza doar cu circuite oscilante de foarte bună calitate. Cu toate acestea, sarcina oscilatorului-care este constituită din impedanța de intrare a etajului următor-variază datorită modificării regimului de lucru al acestui etaj, cuplajului parazit dintre circuite etc.

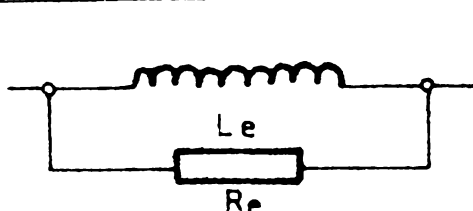
In vederea atenuării acestor influențe, este necesar ca etajul de sarcină al oscilatorului să funcționeze cu un curent de excitație mic, prin aceasta asigurîndu-se oscilatorului un regim de încărcare mai lejer.

Influența sarcinii asupra oscilatorului se poate diminua sau atenua complet, fie prin alegerea unui cuplaj adecvat care trebuie realizat, pe cît posibil, cu acel braț al circuitului oscilant care nu este cuplat direct la baza tranzistorului oscilator, fie prin introducerea unui etaj intermediar (tampon) destinat să preia el variațiile sarcinii, asigurînd astfel pentru oscilator un regim constant de funcționare. In concluzie, pentru asigurarea unei bune stabilități a frecvenței generatorului, încă din faza de proiectare și apoi în construcție, trebuie să se adopte următoarele măsuri :

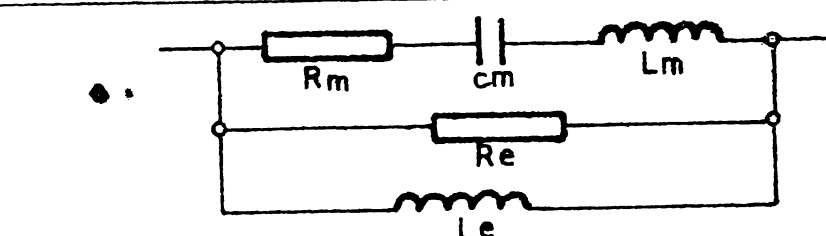
- stabilizarea riguroasă a surselor de alimentare ;
- utilizarea unor circuite oscilante cu Q cît mai mare ;
- elementul activ al oscilatorului să funcționeze în zona liniară a caracteristicilor ;
- componentele pasive ale montajului (R,L,C) să fie de foarte bună calitate, cu coeficiență mici de temperatură;
- menținerea constantă a amplitudinii oscilațiilor;
- eliminarea influenței sarcinii oscilatorului asupra regimului de funcționare a acestuia.
- eliminarea sau diminuarea prin orice mijloc a influenței armonicelor superioare asupra elementului oscilant.

5.3. INFLUENTA SARCINII GENERATORULUI ASUPRA STABILITATII FRECVENTEI

Toate considerațiile de pînă acum s-au referit la ~~generatorii~~ "internați" ai generatorului, care provoacă variația ~~proprietății~~ proprii de oscilație, fără a lua în considerare sarcina ~~acustică~~ care, în cadrul instalațiilor de prelucrat cu ultrasunete, este constituită din transductoare magnetostriuctive sau piezoelectric, acestea din punct de vedere electric reprezentînd sisteme rezonante ce absorb de la generator maximum de putere pe frecvența lor de rezonanță, ele comportîndu-se ca o sarcină complexă (X_C , X_L , R), ale cărei mărimi variază cu frecvența, temperatură, presiunea etc. Schema electrică echivalentă a unui transductor magnetostriктив este reprezentată în fig. 5.10. a, b /86/, unde



a./_ Schema electrică echivalentă a transd. magnetostriктив.



b./_ Schema electrică echivalentă a unui transd. magnetostriктив cuplat cu concentratorul

fig 5.10

R_e = rezistență electrică a înfășurării transductorului;

L_e = inductanță înfășurării ;

R_m = rezistență activă condiționată de oscilațiile acustice în concentrator, precum și de pierderile mecanice din ansamblul transductor-concentrator ;

C_m = capacitatea condiționată de oscilațiile libere ale ansamblului transductor-concentrator;

L_m = inductanță condiționată de masa în mișcare a ansamblului.

Din schema echivalentă se poate observa că ansamblul format din elementul magnetostriктив (transductorul) și cel mecanic (concentratoare) are atît proprietăți electrice cît și mecanice, motiv pentru care, în funcționare, sistemul electromecanic

transductor-concentrator prezintă mai multe frecvențe de rezonanță

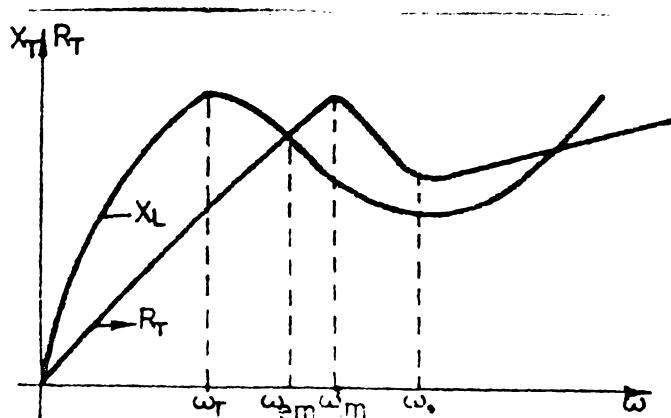


fig.5.11_Dispunerea frecvențelor de rezonanță pentru un transductor magnetostrictiv

ω_{em} = frecvență de rezonanță electromagnetică. În acest caz, transductorul este la rezonanță cu generatorul și absoarbe de la acesta maximum de putere (adaptare optimă).

ω_m = frecvență de rezonanță mecanică (amplitudinea oscilațiilor ansamblului este maximă).

ω_e = frecvența ce caracterizează rezonanța dintre sistemul electric și cel mecanic.

ω_a = frecvență de antirezonanță (sistemul prezintă o impedanță minimă).

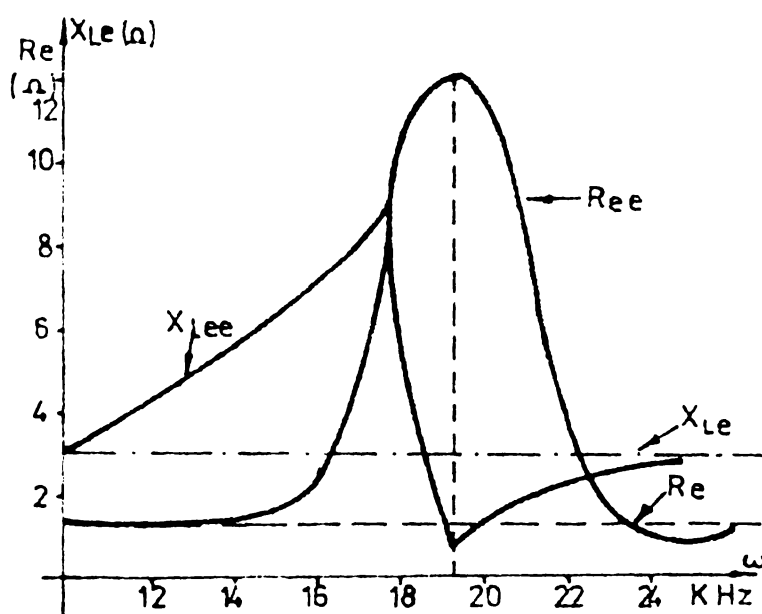


fig. 5.12 - Variatia parametrilor X_{Lee} si R_{ee} functie de frecventa

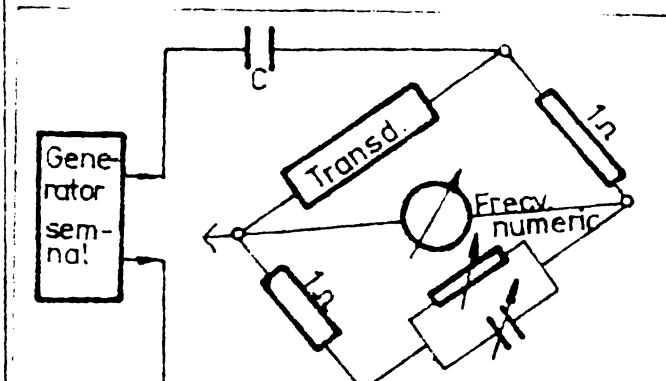


fig. 5.13 Montaj experimental pentru ridicarea curbelor $Re X_{le} = f(\omega)$

Față de aceste puncte, variația mărimilor $X_t = X_e + X_m$ și $R_t = R_e + R_m$ este cea din fig. 5.11.

Variatia parametrilor electrici ai transductorului, fara concentrator, este redata in graficul din fig.5.12. ridicat experimental pentru un transductor de ferita cu parametrii $R_e = 1,12\Omega$, $X_{Le} = 2,8\Omega$, utilizand montajul din fig.5.13, format dintr-un generator, un frecventmetru numeric si o punte tip Maxwell, adaptata scopurilor propuse. Tot cu acest prilej, s-a putut determina si

frecvența proprie de rezonanță a feritei transductorului: $f_0 = 19,22$ KHz.

Analizînd graficul din fig. 5.12., se observă că X_{Lee} crește aproape liniar cu frecvența ($X_{Lee} = \omega L$), pînă în apropierea zonei de rezonanță. La rezonanță, ea scade brusc pînă aproape de zero, iar R_{ee} atinge valoarea maximă. În această zonă, pierderile de putere reactivă sunt aproape nule ($X_{Lee} \approx 0$), iar puterea absorbită de la generator este maximă.

Măsurînd valorile lui R_{ee} și L_{ee} la diferite frecvențe discrete, pentru un transductor ce oscilează liber, cît și pentru ansamblul transductor-concentrator, avînd $R_e = 1,2 \Omega$, $L_e = 1,8 \Omega$, a rezultat diagrama circulară din fig. 5.14.

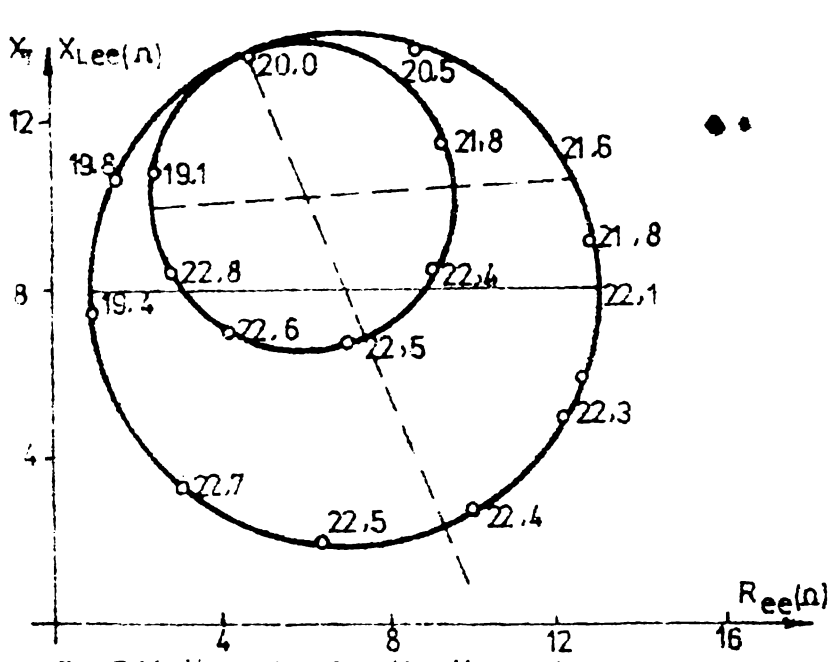


fig. 5.14. Variatia functiei $X_{Lee} = F(R_{ee})$
la diferite frecvențe

$$R_{ee} = 12,4 \Omega$$

$$X_{Lee \max} = 14,2 \Omega$$

Din configurația celor două diagrame circulare, se observă că la frecvențe joase R_{ee} este mică, ea crescînd odată cu frecvența. Pentru transductorul ales, în jurul frecvenței $f_0 = 22$ KHz, apar proprietățile de rezonanță mecanică și electrică, curba lui X descriind un cerc al cărui diametru este cu atît mai mare, cu cît factorul de calitate Q al înfășurărilor transductorului este mai bun. Dispunerea înclinată a diametrului cercului, în cazul diagramei corespunzătoare ansamblului transductor-concentrator, indică prezența pierderilor

în sistem, datorită încălzirii concentratorului, apariției oscilațiilor transversale etc. Se observă că diagrama se situează în zona pozitivă pentru întregul interval de frecvență, ceea ce denotă un caracter inductiv-activ al rezistenței totale a transductorului chiar și la rezonanță (din cauza faptului că rezonanța mecanică a transductorului diferă de cea electrică). Acest fapt a fost ilustrat și de rezultatele experiențelor efectuate privind variația puterilor absorbite de transductor, cu și fără concentrator cu-

Graficul din fig.5.15. scoate în evidență diferența dintre cele două frecvențe de rezonanță, această diferență creând complicații în procesul de adaptare a generatorului cu transductorul.

Existența unei puteri medii consumate, ce crește odată cu frecvența, confirmă pierderile din ansamblul transductor-concentrator, care sunt cauzate de acțiunea convergentă a unor factori cum ar fi : curenții turbionari, fenomenul de histerezis, temperatură, oscilațiile transversale etc. În concluzie, pe baza datelor

experimentale, a calculelor teoretice, se poate afirma că sarcina generatorului este variabilă cu frecvența, că nici la frecvența de rezonanță nu are un caracter pur activ, fapt cu implicații și asupra stabilității frecvenței generatorului, prin aceea că toate variațiile sarcinii sunt "reflectate" prin circuitele de ieșire ale generatorului spre etajele finale, modificîndu-le regimul de funcționare, iar de aici spre oscilator.

In cazul în care generatorul de ultrasunete este conceput pe schema unui oscilator de putere fără etaj pilot, aceasta variație a sarcinii generatorului influențează în mod direct asupra stabilității frecvenței. Așa cum s-a arătat, deși stabilitatea frecvenței generatorului poate fi bună, frecvența de rezonanță a transductorului este influențată de o serie de factori ca: temperatura concentratorului, presiunea din spațiul de lucru etc.

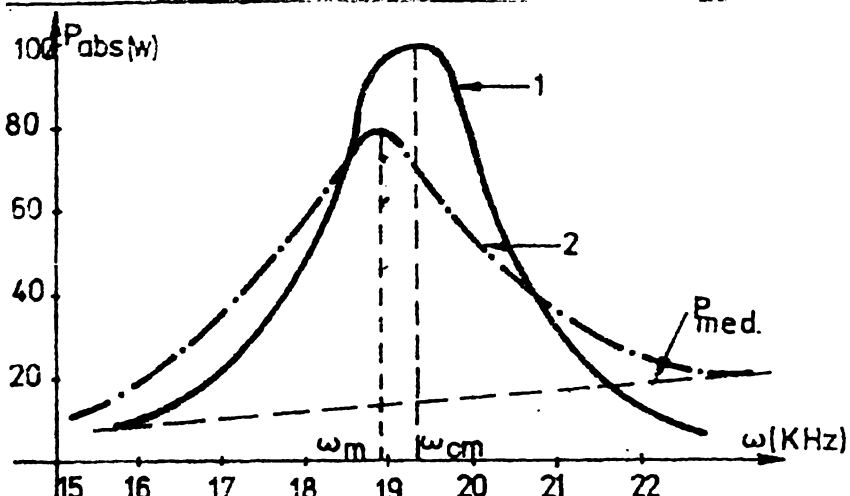


fig. 5.15. Variatia puterii absorbite de transductor
1_fara concentrator; 2_cu concentrator

$$P_{abs_1} = 100,5 \text{ W}$$

$$P_{abs_2} = 73 \text{ W}$$

$$\Delta\omega = \omega_{em} - \omega_m = 325 \text{ Hz}$$

Pentru diferite tipuri de transductoare supuse experimentării, variația frecvenței de rezonanță funcție de temperatură este dată în tabelul 5.1., datele din acest tabel fiind rezultatul experimentărilor efectuate pe 6 tipuri de transductoare cu ferită, fără a avea concentratoare cuplate la ele, eliminîndu-se astfel influența sistemului mecanic.

Pentru diferite tipuri de transductoare supuse experimentării, variația frecvenței de rezonanță funcție de temperatură este dată în tabelul 5.1., datele din acest tabel fiind rezultatul experimentărilor efectuate pe 6 tipuri de transductoare cu ferită, fără a avea concentratoare cuplate la ele, eliminîndu-se astfel influența sistemului mecanic.

Tabel 5.1.

f_0 (Hz.)	Variația frecvenței de rezonanță f_0 (Hz.)							
Frecvența de rezonanță initială f_0	10	20	30	40	50	60	65	70
$f_0 = 19,22$ KHz.	55	90	130	170	195	228	292	325
$f_0 = 21,5$ KHz.	70	115	163	207	242	286	369	400
$f_0 = 25,54$ KHz.	85	133	195	240	285	319	422	485
$f_0 = 30,21$ KHz.	97	150	208	265	342	395	509	567
$f_0 = 49,15$ KHz.	108	186	235	315	406	485	610	685

Se observă că încălzirea concentratorului pînă la temperatură de 70°C poate provoca o variație a frecvenței de rezonanță a transductorului cu 400-700 Hz., în sensul scăderii acesteia, fenomen care are la bază faptul că la creșterea temperaturii, blocul ultrasonic (transductor + concentrator) se dilată și, deci, frecvența lui de rezonanță scade. În această situație, generatorul și transductorul nu mai oscilează pe aceeași frecvență, puterea absorbită de la generator scade, iar amplitudinea oscilațiilor la capătul concentratorului se micșorează brusc. În acest caz, stabilitatea frecvenței generatorului își pierde sensul; acestuia (pentru a se menține la rezonanță cu transductorul) îi se cere să-și poată modifica frecvența în scopul de a urmări permanent frecvența de rezonanță a transductorului, deziderat ce poate fi îndeplinit doar cu ajutorul schemelor de reglare automată a frecvenței.

5.4. CERCETARI PRIVIND POSIBILITATEA DE REGLARE AUTOMATA A FRECVENTEI (R.A.F.)

Experiențele efectuate au scos în evidență faptul că la conceperea unei scheme de R.A.F., cel mai important lucru îl constituie alegerea corectă a parametrului căruia modificarea valorii inițiale îi corespunde o variație a frecvenței generatorului.

S-a arătat că într-un transductor magnetostriictiv real există în practică trei frecvențe de rezonanță diferite. Deoarece puterea acustică a transductorului este maximă pe frecvența de rezonanță mecanică, care diferă puțin de cea electrică (cînd I și U din transductor sunt maximi), este de dorit ca aceste două rezonanțe să fie aproape și să se diferențieze numai prin valoarea rezonanță mecanică.

nante să coincidă sau în cel mai rău caz, să fie foarte apropiate. Montarea în paralel cu transductorul a unei capacitați adecvate permite să se reducă la minimum diferența $\omega_{em} - \omega_m$, prin aceasta, la rezonanță transductorul prezentând o rezistență activă, caracterul inductiv dispărind aproape complet.

Compensarea transductorului cu o capacitate permite ca factorii de natură mecanică care duc la modificarea frecvenței de rezonanță a transductorului, să poată fi analizați din punct de vedere electric, facilitând astfel alegerea unor scheme R.A.F. cît mai eficiente.

La alegerea oricărei scheme R.A.F., trebuie să se țină seamă și de faptul că generatorul să lucreze stabil, fără să-și modifice frecvența în salturi. Aceasta impune o asemenea caracteristică de fază a întregului sistem generator-transductor-schemă R.A.F., care să asigure ca defazajul dintre semnalul de intrare și cel de ieșire să fie pozitiv în zona $0 - \omega_{rez}$ și negativ în zona $\omega_{rez} - \infty$. În vederea acestui fapt, majoritatea schemelor R.A.F. utilizează o reacție inversă transductor-generator, astfel că la intrarea sistemului apar semnale electrice purtătoare de informații privitoare la variația frecvenței de rezonanță a transductorului.

5.4.1. Schemă R.A.F. cu reacție inversă de curent

Un asemenea tip de schemă este redat principal în figura 5.16.

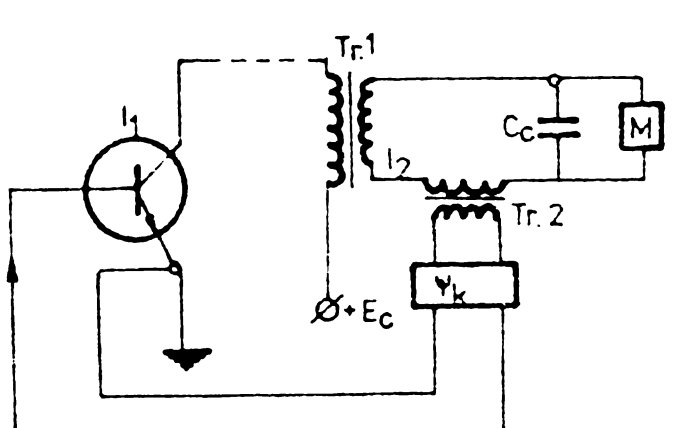


fig. 5.16 - Schema RAF cu reacție inversă de curent

T_1 = oscilatorul generatorului
 T_{rl} = transformatorul de ieșire a generatorului
 T_{r2} = transformator pentru reacția de curent
 C_c = condensator de compensare
 M = transductor magnetostrictiv.

Analizînd schema echivalentă a transductorului (fig.5.10.b), introducînd în calcul și capacitatea de compensare, la rezonanță vom avea: $L_m C_m = L_e C_e$, iar rezistența circuitului oscilant fiind foarte mare, curentul prin transductor va fi determinat de parametrii circuitului $R_m L_m C_m$, deci variația curentului I_2 ce străbate transformatorul T_{r2} , va urmări abaterea frecvenței de rezonanță. Caracte-

ristica de fază a unui astfel de sistem este reprezentată în figura 5.17.a.,

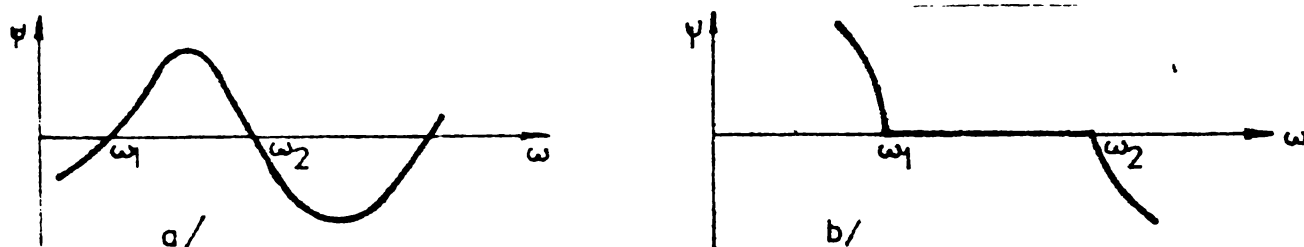


fig. 5.17. Caracteristica de fază a unui sistem cu reacție inversă de curent

și unde se poate observa că, în acest caz, sistemul nu se excită, deoarece nu îndeplinește una din condițiile (5.4.). Pentru a se reuși excitarea sistemului, cu ajutorul filtrului φ_K , se introduce o corecție de fază de genul celei din fig. 5.17.b., prin care se permite excitarea și reglarea automată a frecvenței generatorului în limitele $\omega_1 - \omega_2$. Dacă se consideră că ω_1 și ω_2 reprezintă frecvențele de rezonanță mecanică și electrică, putem spune că filtrul asigură o reacție cu o astfel de fază, încât să poată face posibilă excitarea oscillatorului și reglarea automată a frecvenței în limitele : rezonanță mecanică - rezonanță electrică.

Dezavantajul schemei :

- odată reglajul făcut, generatorul nu poate debita decât pe un singur transductor ;
- reglajul pretențios al filtrului, ținând cont că acesta are un dublu rol: asigură condiția de oscilație și stabilește banda în care se asigură reglajul automat al frecvenței. Utilizarea filtrelor numerice elimină aceste inconveniente, dar duce la mărirea prețului de cost.

5.4.2. Schemă R.A.F. cu reacție acustică inversă

Acest tip de schemă presupune utilizarea sesizoarelor de rezonanță, tensiunea de reacție inversă aplicându-se la generator ca și în cazul precedent.

Pentru un transductor magnetostriktiv, reacția acustică se poate obține prin atașarea la concentrator a unui transductor suplimentar (fig. 5.18.a.), schema echivalentă a blocului ultra-

sonic (transductor- concentrator) fiind în acest caz cea din fig. 5.18.b.

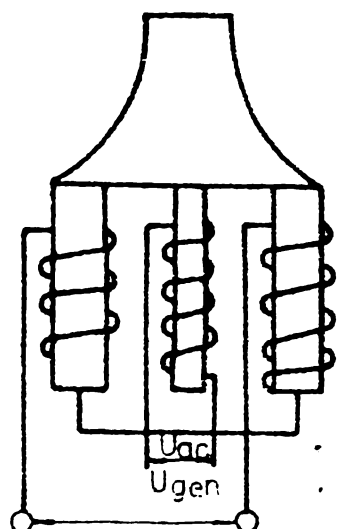


fig. 5.18

fig. a/_modul de obtinere a reactiei acustice inversă

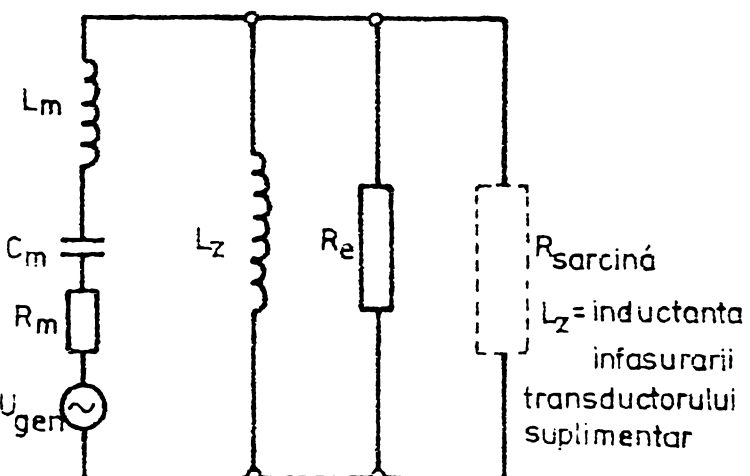


fig. b/_ Schema electrica echivalentă a sistemului

In această schemă, doi transductori servesc la transformarea energiei electrice în oscilații ultrasonore, iar al treilea, cu secțiune mai mică, însă cu aceeași frecvență f_0 ca ceilalți doi, transformă oscilațiile mecanice ale transductorului în oscilații electrice, el jucând rol de receptor al energiei acustice și funcționează pe principiul efectului magnetostriictiv invers, astfel că amplitudinea U_{ac} a oscilațiilor culese de pe înfășurarea sa va fi proporțională cu mărimea oscilațiilor mecanice de la capătul concentratorului. Pentru a putea servi ca tensiune de excitație, este necesar ca faza acesteia să corespundă cu faza tensiunii de ieșire a generatorului U_{gen} . Din schema echivalentă se observă că la rezonanță, cînd $L_m - 1/\omega C_m = 0$, diferența de fază între U_{ac} și U_{gen} va fi nulă doar dacă se scurtcircuitează înfășurarea L_2 , condiție îndeplinită aproape total doar dacă:

$$\frac{R_s \cdot R_e}{R_s + R_e} \ll \omega L_2 \quad (5.15.)$$

Prin aceasta, rezistența pur activă, care nu introduce defazaj, va sunta componenta reactivă a impedanței echivalente a transductorului receptor.

Experiențele efectuate cu un asemenea sistem au relevat faptul că :

- se impune o alegere riguroasă a celor trei transductoare, pentru a avea aceeași f_0 , o abateră de \pm (50-100) Hz. a frecvenței de rezonanță, duce la ieșirea schemei

din funcțiune ;

- pe lîngă diferența de fază dintre U_{ac} și U_{gen} , analizată, mai apare o întîrziere și datorită principiului însuși de funcționare a schemei (timpul de transmite-re a oscilațiilor prin material), întîrziere ce poate fi compensată prin introducerea unei capacitați variabile care reglează cu un ușor avans faza oscila-țiilor din bucla de reacție ;
- la puteri de excitare mici (20-40 W), amplitudinea oscilațiilor este insuficientă pentru îndeplinirea condițiilor (5.4.), impunîndu-se introducerea unui amplificator în bucla de reacție.

Pe lîngă aceste scheme, în literatura de specialitate se mai prezintă unele exemple, care, fie datorită complexității și deci a prețului de cost ridicat, fie performanțelor reduse, nu sînt utilizate la generatoarele de uz industrial.

Pe parcursul experiențelor efectuate pe un generator de medie putere de concepție proprie, au fost experimentate și două tipuri de scheme R.A.F. originale, cu rezultate promițătoare.

5.4.3. Schemă R.A.F. cu reacție inversă de tensiune

Datorită dezavantajelor prezentate de schemele analizate anterior, s-a căutat să se realizeze un sistem de reglare automată a frecvenței, care să nu conțină trăductoare mecanice, elemente de defazaj și, în plus, să poată fi utilizat la orice tip de transductor. Schema principală a unui sistem care poate realiza acest deziderat este prezentată în fig. 5.19.

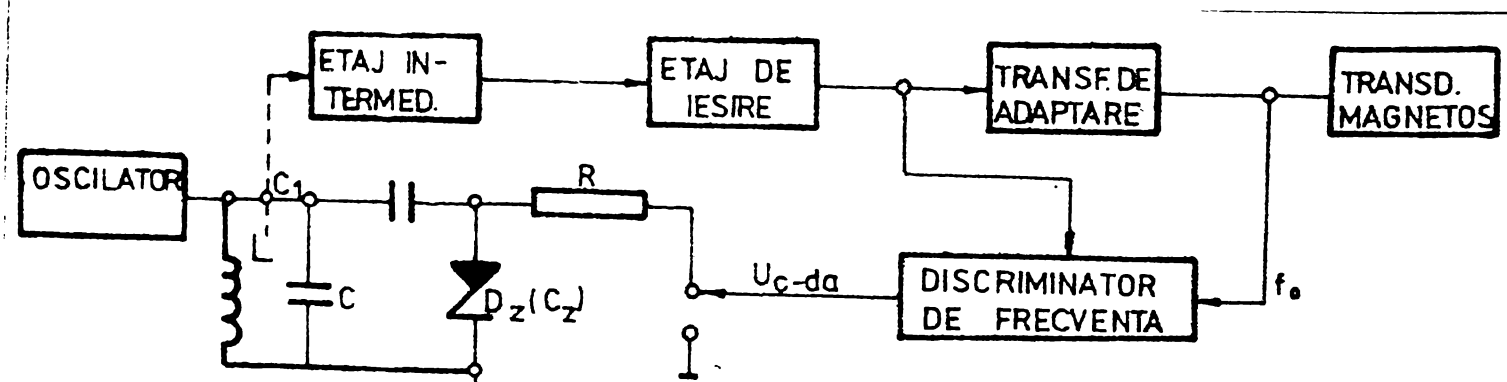


fig. 5.19_ Schemă R.A.F. cu reacție inversă de tensiune

Funcționarea schemei se bazează pe proprietatea diodelor Zehner de

a se comporta ca și capacitate variabile, cînd sînt polarizate invers, adică $C_z = f(U_{cdă})$. În cazul de față discriminatorul de frecvență fiind comandat atît de oscilațiile cu frecvență f_g a generatorului, cît și de cele cu frecvență de rezonanță f_o a transductorului, la ieșirea sa, tensiunea $U_{cdă}$ va fi egală cu zero atîta timp cît $f_g = f_o$. Dacă f_g diferă de f_o , la ieșirea discriminatorului va apărea o tensiune $U_{cdă}$, a cărei mărime este proporțională cu dezacordul $f = f_g - f_o$ și care va polariza dioda Zehner, capacitatea acesteia montată în paralel cu circuitul oscilant al oscillatorului se va modifica ducînd la variația frecvenței f_g pînă cînd ajunge din nou la situația $f_g = f_o$ și deci, $U_{cdă} = 0$. Schema poate fi reglată pentru a acționa indiferent de semnul lui Δf (+ sau -), deși în decursul experiențelor s-a constatat că în aproximativ 90-95% din cazuri, frecvența f_o variază în sensul micșorării ei, deoarece majoritatea cauzelor provoacă încălzirea transductorului și concentratorului, fapt ce conduce la scăderea frecvenței de rezonanță.

In vederea calculului elementelor schemei, presupunîndu-se cunoscute L , C , C_1 și f_g , dacă se impune Δf pînă la care schema să acționeze, se procedează astfel:

- pentru tipul de diodă Zehner ales, se va ridica curba $C_z = f(U_{inv})$, cu ajutorul unui montaj de tipul celui din fig. 5.20. De pe aceste curbe va rezulta valoarea lui C_z (fig. 5.21.)

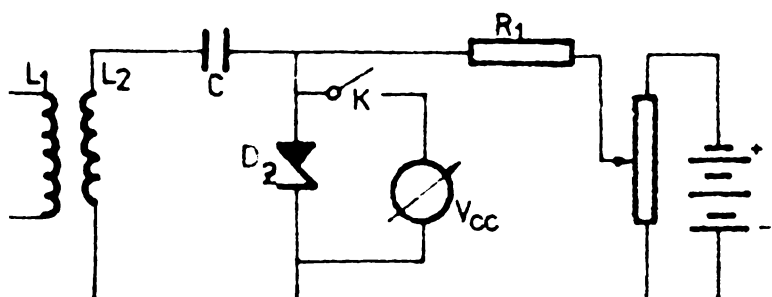


fig. 5.20 Montaj pentru ridicarea curbelor $C_z = f(U_{inv})$

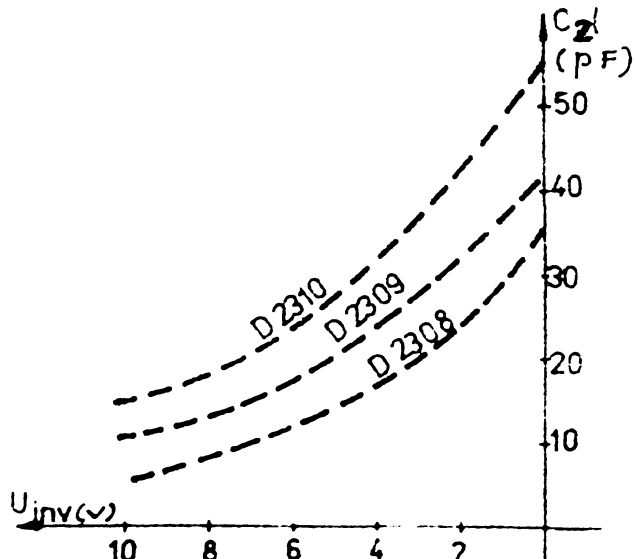


fig. 5.21 - Curbele $C_z = f(U_{inv})$ pentru tipuri de diode zehner.

Variații mai mari s-au obținut pentru capacitatea jonaționilor unui tranzistor, funcție de polarizare. Astfel, pentru tranzistorul

E F T 313 (323, 333) cu același tip de montaj, au rezultat curbele din fig.5.22.

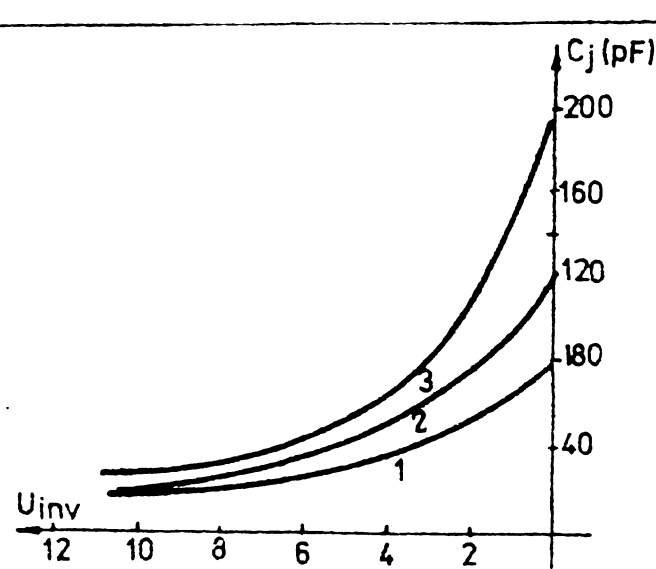


fig. 5.22 Variatia capacitatii jonctiunilor functie de tensiunea inversa

- Curba 1 - pentru o polarizare inversă aplicată jonctiunii emitor-bază.
Curba 2 - pentru tensiunea de polarizare inversă aplicată jonctiunii bază-colector.
Curba 3 - prin polarizarea ambelor jonctiuni legate în paralel (fig. 5.23.)

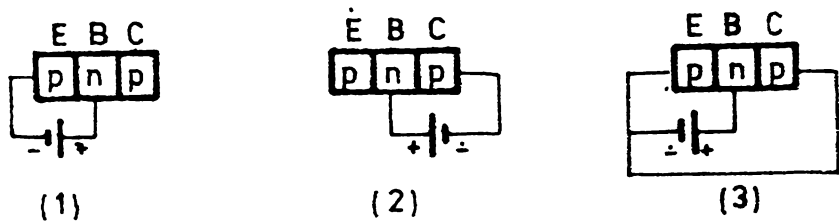


fig. 5.23_ Procedee de polarizare a jonctiunilor

Din relațiile:

$$f_g = \frac{1}{2\pi \sqrt{L(C + C_z)}}$$

și $\frac{\Delta f}{f_0} = \frac{\Delta C_z}{2(C + C_z)}$

va rezulta ΔC_z , celelalte elemente fiind cunoscute.

Se obține, astfel, valoarea între care trebuie să varieze capacitatea diodei Zehner pentru a se realiza o deviație a frecvenței oscillatorului cu Δf . În cazul că valoarea ΔC_z nu este suficientă pentru a se asigura variația Δf , se pot monta mai multe diode Zehner în paralel, sau mai multe jonctiuni ale tranzistoarelor, polarizate invers.

Din experiențe, a rezultat că pentru un transductor cu frecvență $f_0 = 20$ KHz., în cazul unui dezacord $\Delta f = 100-600$ Hz., valoarea maximă a capacității C_z , necesară restabilirii acordului (tabelul 5.2.) este, funcție de valoarea inductanței circuitului oscilant, cuprinsă între 560 și 3.300 pF.

Tabelul 5.2.

f (Hz.)	C _z (pF)					
	L= 1mH	L= 2mH	L= 3mH	L= 4mH	L= 5mH	L= 10mH
100	300	150	100	80	60	30
200	910	455	316	241	182	91
300	1600	800	580	400	320	160
400	2200	1100	710	550	440	220
500	2800	1400	1020	700	560	280
1000	5600	2800	2000	1400	1120	560

Considerind $L = 5 \text{ mH}$ valoarea la care aportul capacității în stabilirea frecvenței circuitului oscilant este suficient de mare, schema propusă asigură un R.A.F. eficace cu 6-8 diode în paralel, acoperindu-se astfel gama de variație a frecvenței f_o pentru majoritatea tipurilor de transductoare magnetostriuctive, ținându-se cont de faptul că încălzirea concentratorului, din diferite cauze, la 70°C provoacă o derivă a frecvenței f_o de $500-600 \text{ Hz}$. /51/

Avantajul schemei constă în faptul că, odată efectuat reglajul discriminatorului, adică stabilită corespondență $U_{cd} = F(\Delta f)$ (Δf), schema poate fi utilizată la oricare alt tip de transductor, cu condiția ca generatorul să poată lucra într-o gamă de frecvențe adecvată.

5.4.4. Schemă R.A.F. cu prelucrarea informației

Principiul de funcționare al schemei se bazează pe faptul că orice perturbație apărută în funcționarea ansamblului generator-transductor provoacă automat o micșorare a amplitudinii oscilațiilor la ieșirea generatorului. Cu ajutorul schemei se poate stabili:

- dacă perturbația se datorează unei cauze interne a generatorului ;
- dacă transductorul a deviat de la frecvența f_o cu o valoare mai mare decât cea admisă.

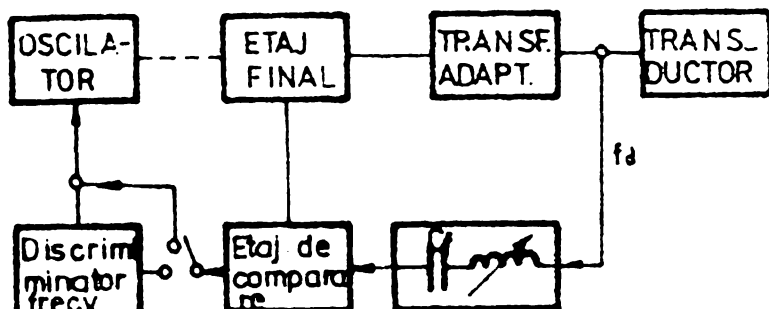


fig.5.24_Schemă R.A.F. cu prelucrarea informației

Astfel, la intrarea filtrului $L_f C_f$ sosesc oscilații cu frecvența f_o . Filtrul este astfel acordat, încît să blocheze trecerea frecvenței $f_o \pm (0,1 - 0,5 \%)$, deoarece, în cursul experimentelor, a reieșit că pentru un transductor cu $f_o = 20 \text{ KHz}$, o abatere a frecvenței cu $50-80 \text{ Hz}$ provoacă o scădere a puterii absorbite doar cu 5% , fapt ce nu influențează hotărîtor asupra funcționării ansamblului la parametrii stabiliți, fiind deci acceptabilă această deviație și putîndu-se considera $f_o \pm 0,1 \%$ ca "zonă de rezonanță" a transductorului.

nu influențează hotărîtor asupra funcționării ansamblului la parametrii stabiliți, fiind deci acceptabilă această deviație și putîndu-se considera $f_o \pm 0,1 \%$ ca "zonă de rezonanță" a transductorului.

In cazul că scăderea amplitudinii oscilațiilor este provocată de o deviație a frecvenței f_o mai mare ca banda de trecere a filtrului, oscilațiile cu frecvența $f_o + \Delta f$ trec prin filtru, etajul de comparare și ajung la oscilatorul pilot fie direct - în cazul cînd acesta este un circuit basculant astabil, și-l sincronizează cu noua frecvență-, fie prin discriminatorul de frecvență (în cazul oscilatoarelor sinusoidale), reglajul automat al frecvenței realizîndu-se în acest caz după modelul schemei din figura 5.19.

Dacă scăderea amplitudinii oscilațiilor este cauzată de generator, transductorul menținîndu-se pe frecvența f_o , la ieșirea filtrului amplitudinea oscilațiilor va fi nulă, etajul de comparare care pe o intrare primește un semnal proporțional cu curentul I_c al etajelor finale transmite, în acest caz, spre oscilator, un semnal cu frecvența $f_g = f_o$.

Pe parcursul experimentărilor considerîndu-se o frecvență centrală de 20,4 KHz., filtrul a putut fi reglat să acționeze în limitele 16,9 - 24,5 KHz., blocînd banda $f_o \pm 100$ Hz.

Avantajul celor două tipuri de scheme R.A.F. rezidă atât din principiul lor de funcționare prin eliminarea elementelor mecanice din sistemul de prelucrare a informației, cît și vitezei de reacție mărită, datorită faptului că nu mai apar defazaje în bucla de reacție datorită timpului de parcurgere a oscilațiilor prin material. In plus, cele două scheme oferă informații despre comportarea atât a transductorului, cît și a generatorului.

CAPITOLUL 6

STUDIU PRIVIND PUTEREA DE IEȘIRE A GENERATOARELOR DE ULTRASUNETE

Așa cum s-a arătat, puterea utilă de ieșire reprezintă unul din parametrii energetici fundamentali ai generatoarelor de ultrasunete, ea determinând destinația generatorului, tipul transducto-rului utilizat, precum și indicii calitativi ai procesului de pre-lucrare.

Pornind de la acest fapt, în proiectarea și construcția ge-neratoarelor se caută să se obțină puterea necesară, dar nu oricum, ci în condițiile unui randament și fiabilități ridicate, la un preț de cost acceptabil, din aceste cerințe derivând echiparea, schemele și regimurile de lucru ale etajelor finale- amplificatoarele de pu-tere ale generatorului.

6.1. REGIMURI DE LUCRU PENTRU ETAJELE FINALE

Din cerința de bază impusă unui amplificator final- aceea de a debita puterea necesară în sarcină în condițiile unui randament cît mai ridicat și distorsiuni minime- rezultă și alegerea regimu-lui de lucru al acestuia. Astfel, dacă puterea de ieșire necesară nu depășește 1 KW și randamentul nu este prioritar, dar se impun condiții severe privind distorsiunile formei semnalului (legate de o finală precizie în unele procese de prelucrare), se recomandă re-gimul sinusoidal. Obținerea unor randamente ridicate în condițiile unei puteri mari la ieșire, reclamă funcționarea etajelor finale în regim de comutație, forma semnalului de ieșire fiind în acest caz dreptunghiulară, fapt ce duce la apariția unor pierderi suplementare în transductor, datorită armonicilor superioare ale semnalului de excitație. Aceste pierderi pot fi eliminate prin intercalarea unor filtre între generator și transductor, care să extragă doar armonica fundamentală a semnalului.

6.1.1. Regimul sinusoidal de funcționare

Este regimul preferat pentru generatoarele de mică și medie putere ($P_u = 50 - 400 \text{ W}$), deoarece prezintă avantajul că forma sinu-soidală a semnalului de excitație a transductorului coincide cu for-ma oscilațiilor libere ale acestuia și, deci, nu apar în el pierderi suplementare de putere datorate spectrelor energetice diferite ale celor două oscilații.

Deoarece particularitățile sarcinii generatoarelor de ultra-

sunete impun - în majoritatea cazurilor - realizarea unei adaptări cu ajutorul transformatoarelor, în toate tipurile de scheme ce se vor analiza, legătura generator - sarcină se va subînțelege în acest mod; în plus, acest procedeu de cuplare conferă și avantajul eliminării din sarcină a componentei continue a semnalului, de obicei dăunătoare. De asemenea, toate referirile se vor face numai la schema de montaj de tip E.C. (emitor comun), care realizează cea mai mare amplificare în putere. Din punct de vedere al schemei lor funcționale, amplificatoarele finale ale generatoarelor pot fi clasificate :

6.1.1. Clasă A de funcționare

Este utilizată doar pentru puteri mici (sub 100W) și cînd se impune o formă a semnalului cu distorsiuni minime. În figura 6.1. este prezentată schema tipică a unui astfel de etaj.

'Utilizînd ca notații :

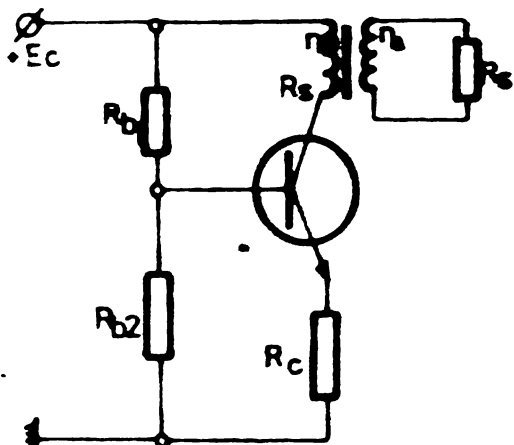


fig. 6.1 Schema amplificatorului în clasa A

- P_u = puterea utilă ;
- P_c = puterea consumată de la sursă ;
- P_d = puterea disipată de tranzistoare ;
- U_e, I_e = amplitudinea tensiunii și curentului de ieșire ;

și considerînd căderile de tensiune pe primarul transformatorului și rezistența R_e neglijabilă, relațiile energetice fundamentale care definesc funcționarea acestei scheme sunt :

- puterea medie consumată de la sursă :

$$P_c = \frac{1}{T} \int_0^T E_c \cdot i_c \cdot dt = \frac{E_c}{T} \int_0^T (I_c + i) \cdot dt = E_c \cdot I_c$$

- puterea utilă de ieșire :

$$P_u = \frac{1}{2} U_e \cdot I_e \quad (6.2.)$$

Tinînd cont că datorită limitărilor schemei, semnalul de ieșire nu atinge amplitudinea sa maximă teoretică, ($I_e < I_c$; $U_e < U_c$), se de-

finește ca "factor de utilizare a tensiunii de alimentare" mări-
mea:

$$K = \frac{U_o}{U_c} = \frac{I_e}{I_c} \leq 1 \quad (6.3.)$$

In acest caz, relația (6.2.) va deveni:

$$P_u = \frac{1}{2} \cdot U_e \cdot I_e = \frac{1}{2} K^2 \cdot U_c \cdot I_c = \frac{1}{2} K^2 \cdot P_c, \quad (6.4.)$$

iar puterea medie disipată :

$$P_d = P_c - P_u = P_c \left(1 - \frac{K^2}{2} \right) \quad (6.5.)$$

și randamentul :

$$\eta = \frac{P_u}{P_c} = \frac{K^2 \cdot P_c}{2 P_c} = 0,5 K^2 \quad (6.6.)$$

Cum mărimea K definește, de fapt, amplitudinea semnalului de ieșire, care la rîndul ei depinde de semnalul de atac, din relațiile stabilite se poate observa că toți parametrii energetici depind de mărimea semnalului de atac, fapt ce este pus în evidență și de graficul din figura 6.2.

Analiza relațiilor energetice ale etajului clasă A arată că :

- puterea utilă maximă se obține pentru $K = 1$ și are valoarea

$$P_{u,\max} = 0,5 P_c;$$

- pentru $K = 0$ (lipsa semnalului), întreaga putere consumată este disipată pe colectorul tranzistorului ;

- valoarea teoretică a randamentului este de 50%. Cum în practică, la tranzistoarele moderne, tensiunea de saturare și currentul minim de colector (I_{CER}) au valori mici, pentru K rezultă valori de ordinul

$K_{\max} = 0,92 - 0,97$, ceea ce conduce la un randament $\eta = 42-47\%$.

Tinând cont și de randamentul transformatorului de ieșire, care se poate estima la 85-95%, se poate aprecia că randamentul real al unui etaj clasă A, cu sarcina cuplată prin transformator, este :

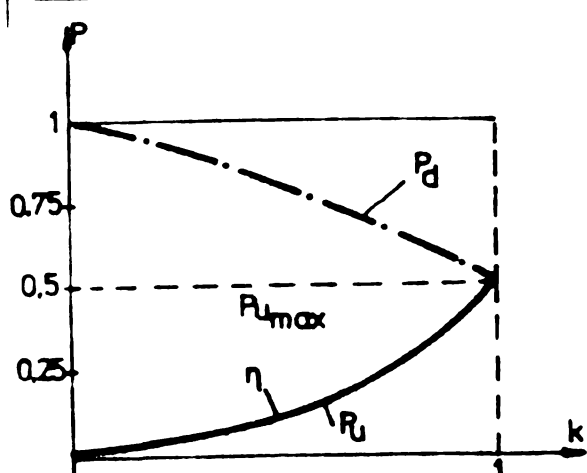


fig. 6.2 - Variatia puterilor in regim clasa A
functie de semnal

- pentru montajul echipat cu tuburi, $\gamma = 37 - 42 \%$;
- pentru montajul cu tranzistoare, $\gamma = 40 - 45 \%$.

Dacă sarcina ar fi cuplată direct și nu prin transformator, se poate demonstra că /121/ randamentul scade pînă la 25%, restul de putere absorbită de la sursă fiind disipată pe rezistența de sarcină.

Din considerentele făcute pînă în prezent, se poate observa că acest tip de montaj prezintă o serie de dezavantaje :

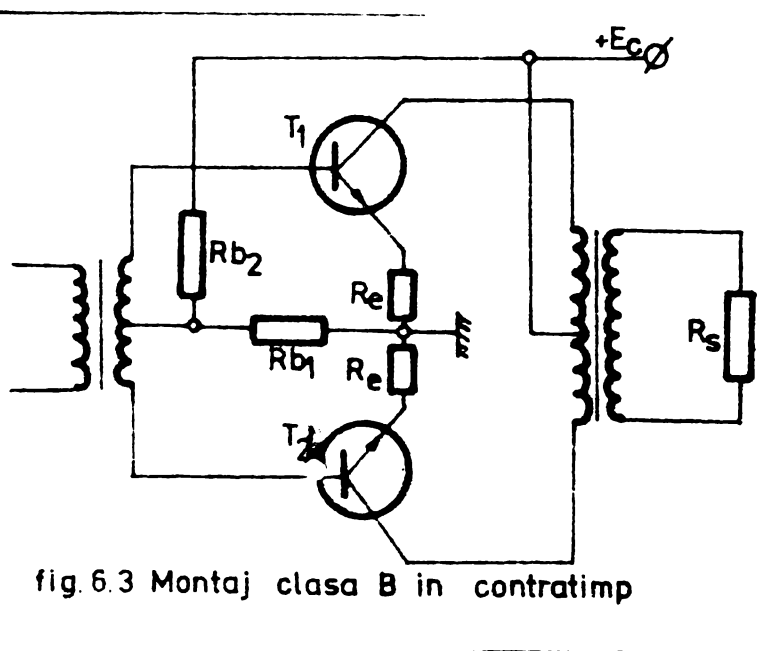
- consum mare în absența semnalului ;
- putere disipată mare, care reclamă radiatoare voluminoase, sau utilizarea neratională a tranzistoarelor dacă radiatorul este mic ;
- curentul de repaus I_{co} este mare, ceea ce impune un transformator de ieșire cu gabarit, capabil să lucreze departe de saturatie.

Datorită acestor dezavantaje, în schemele moderne, acest tip este evitat, preferîndu-se în locul lui amplificatorul în contratimp clasa B.

•

6.1.1.2. Clasa B de funcționare

In generatoarele de ultrasunete, această clasă este utilizată la etajele finale, funcționînd în contratimp (fig.6.3.)



In condițiile enunțate la punctul anterior, relațiile energetice ale acestui montaj devin :

$$P_u = \frac{U_e I_e}{2} = \frac{U_e^2}{2R_s} = K^2 \frac{E_c^2}{2R_s} \quad (6.7)$$

$$P_c = I_c \cdot E_c = \frac{K}{2} \cdot \frac{2E_c^2}{R_s} \quad (6.8)$$

$$\gamma = \frac{P_u}{P_c} = \frac{\tilde{I}}{4} K = 0,785 K$$

iar puterea disipată

$$P_d = P_c - P_u = \frac{E_c^2}{2R_s} \left(\frac{4 \cdot K}{\tilde{I}} - K^2 \right), \quad (6.9)$$

unde $I_c = 2 I_e \cdot \tilde{I}^{-1}$ reprezintă valoarea medie a celor două semiunde de curent I_e , absorbite la momentul maxim de cele două colecțoare.

Dependența puterilor de coeficientul K (amplitudinea semnalului de atac de fapt) este ilustrată și de graficul din figura 6.4.

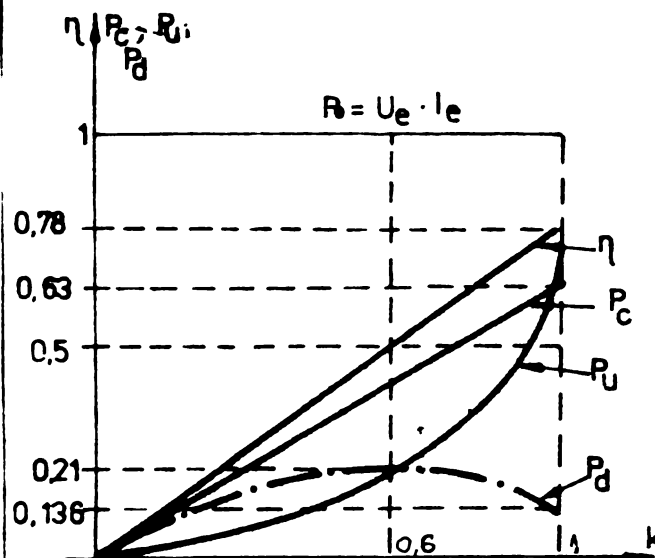


Fig. 6.4. Variatia puterilor randamentului la un montaj clasa B in contratimp

Analizînd acest grafic, se pot trage o serie de concluzii privitoare la bilanțul puterilor în circuitul de ieșire al generatorului. Astfel :

- puterea absorbită de la sur să variază liniar cu K, fiind zero în absența semnalului ;
- puterea disipată variază funcție de semnal, după o lege parabolică, fiind maximă la un nivel destul de scăzut al puterii de ieșire ;
- din relația (6.9.), derivînd expresia lui P_d în raport cu K, rezultă că $P_{d,max.}$ se obține

pentru $K = 0,64$ și are valoarea :

$$P_{d,max.} = 0,4 P_{u,max.} = 0,21 P_u \quad (6.10.)$$

- puterea utilă maximă se obține pentru $K = 1$. Din experiențe a reieșit că dacă semnalul are o frecvență suficient de mare pentru ca perioada sa să fie neglijabilă în raport cu constanța termică a tranzistorului, valoarea maximă a puterii disipate poate atinge puterea disipată admisibilă a tranzistoarelor, adică :

$P_{d,max.} = P_{d,adm.}$ și conform relației (6.10.), va rezulta:

$$P_{u,max.} = \frac{\gamma^2}{4} \cdot P_{d,adm.} = 2,5 P_{d,adm.}, \quad (6.11.)$$

unde $P_{d,adm.}$ se consideră puterea disipată admisibilă a celor două tranzistoare luate împreună. Cum în realitate $K = 0,92-0,97$, randamentul tranzistorului este $\gamma_T = 0,75 - 0,95$, rezultă :

$$P_u = \gamma_T \cdot K^2 \cdot 2,5 P_{d,adm.} \approx (1,2-1,8) \cdot P_{d,adm.} \quad (6.12.)$$

Lăsîndu-se în considerare și randamentul transformatorului, pierderile în elementele pasive ale schemei, în practică, pentru tranzistoarele de tip 2N 3055 și SDT 9209, s-a obținut la o frecvență $f = 23$ KHz. o putere utilă în sarcină :

$$P_u = (0,62-1,2) P_d, \quad (6.13.)$$

asumîndu-se însă riscul distrugerii tranzistoarelor.

In relațiile energetice ale acestui montaj, considerindu-se ca parametru variabil puterea utilă, derivînd în raport cu ea , funcție de valoarea lui K, se obțin curbele din graficul redat în fig. 6.5.

Pentru K=1, rezultă:

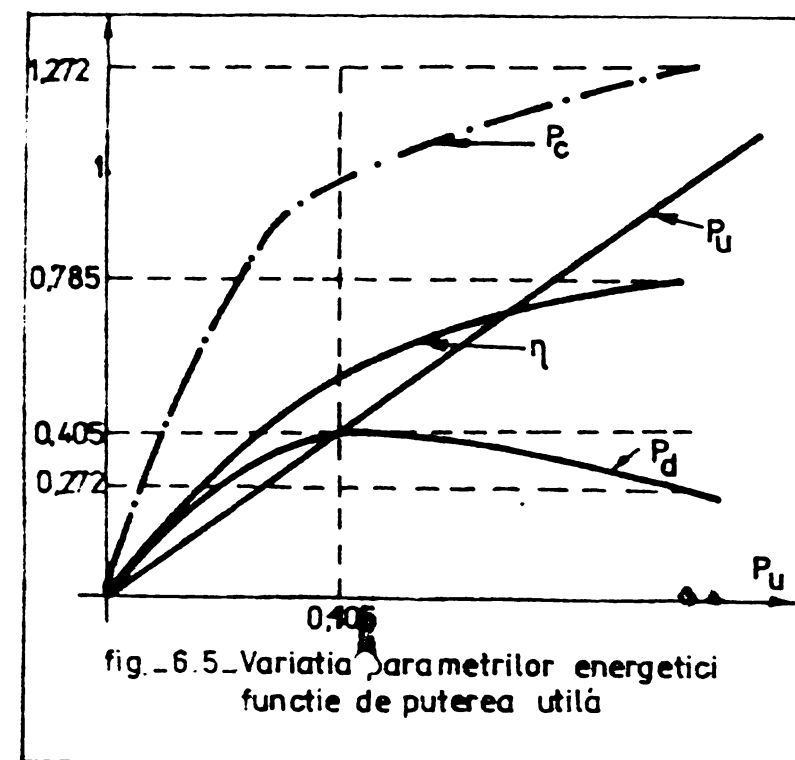
$$P_c = 1,272 \cdot P_{u.\max.}, \text{ la valoarea } P_{u.\max.}$$

$$P_{d.\max.} = 0,405 \cdot P_{u.\max.},$$

$$P_d = 0,272 \cdot P_{u.\max.} \text{ la valoarea } P_{u.\max.}$$

Pe lîngă superioritatea a - cestui montaj față de cel clasă A, privind puterea maximă de ieșire și randamentul, din analiza graficelor și relațiilor ce definesc funcționarea, se observă că:

- randamentul maxim nu se obține la o putere utilă maximă, de aici rezultînd necesitatea unui compromis



între acești parametri ;

- funcționarea tranzistoarelor este mai lejeră la puteri cît mai apropiate de $P_{u.\max.}$, unde puterea disipată este mai mică.

S-a arătat că frecvența semnalului influențează asupra regimului termic al tranzistoarelor și că, sub acest aspect, frecvențele inferioare sănătate periculoase, deoarece chiar dacă puterea disipată medie nu depășește pe cea admisibilă, tranzistorul se poate distruge printr-o încălzire de scurtă durată pe anumite porțiuni ale perioadei semnalului. Datorită acestui fapt, în scopul măririi fiabilității montajului, pentru a nu se impune o limită inferioară semnalului, este necesară o astfel de proiectare a schemei, încît nici măcar puterea disipată instantanee să nu depășească pe cea admisibilă. În aceste condiții, puterea utilă maximă pe care o pot dezvolta tranzistoarele este :

$$P_{u.\max.} = \frac{E_c^2}{2R_s} = P_{d.adm.}, \text{ respectiv cu rezervele amintite,}$$

$$P_u = \eta \cdot K^2 \cdot P_{d.adm.} \approx (0,65-0,9) P_{d.adm.} \quad (6.14.)$$

In practică, respectîndu-se aceste indicații, s-a reușit cu o pe-

reche de tranzistoare 2N 3055 să se obțină o putere de 80-100 W, într-o plajă de frecvență de (18-30) KHz.

6.1.2. Regimul de unde dreptunghiulară

In acest caz, semnalul de atac este o undă dreptunghiulară de tip "meandră" (factor de umplere 1/2) și pentru același tip de etaj ca în regim sinusoidal clasă B, în contratimp, se pot stabili următoarele relații, luând ca valoare de calcul mărimea :

$$P_o = E_c \cdot I_{c.\max.}$$

$$P_c = 2 \cdot E_c \cdot I_{c.med.} = 2 \cdot E_c \frac{K \cdot I_{c.\max.}}{2} = K \cdot P_o \quad (6.15.)$$

$$P_u = U_e \cdot I_e = I_e^2 \cdot R_s = R_s (K \cdot I_{c.\max.})^2 = K \cdot P_o \quad (6.16.)$$

$$P_d = P_c - P_u = K \cdot P_o - K^2 \cdot P_o = K \cdot P_o (1-K) \quad (6.17.)$$

$$\eta = \frac{P_u}{P_c} = \frac{K^2 P_o}{K P_o} = K \quad (6.18.)$$

Reprezentarea grafică a acestor relații, luând ca variabilă pe K, este cea din figura 6...6.

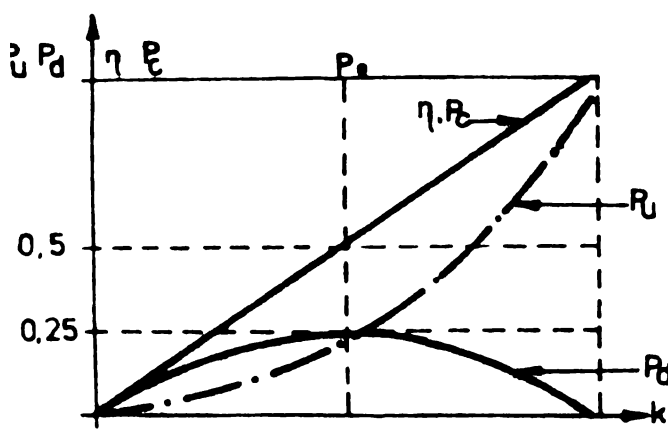


fig. 6.6 Variatia puterilor si randamentului functie de coeficientul de utilizare k .

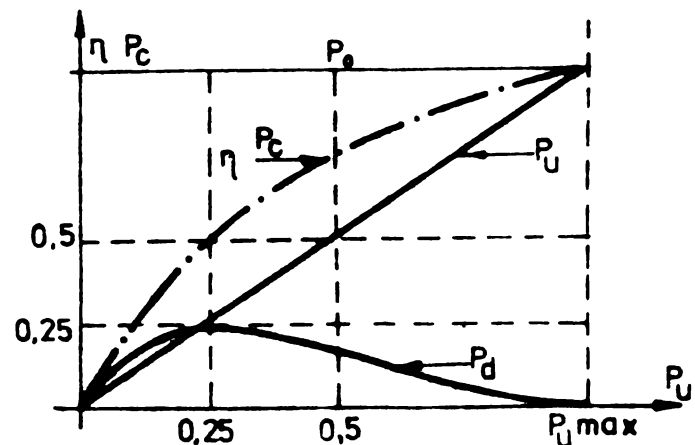


fig. 6.7 Variatia parametrilor energetici functie de puterea utilă

Transformînd relațiile în raport cu P_u , vom avea :

$$P_o = P_{u.\max.}; \quad P_c = (P_u \cdot P_{u.\max.})^{1/2}$$

$$\eta = \left(\frac{P_u}{P_{u.\max.}} \right)^{1/2} \quad P_d = (P_u \cdot P_{u.\max.})^{1/2} P_u$$

și dacă vom deriva, rezultă :

$$\frac{dP_d}{dP_u} = \frac{1}{2} \cdot \left(\frac{P_{u.\max.}}{P_u} \right)^{1/2} - 1 = 0 \text{ și } P_d = 0,25 P_{u.\max.} \quad (6.19)$$

derivind și relația (6.17) în raport cu K (și înlocuind K = 0,5), vom avea:

$$P_{d.\max.} = 0,25 P_0$$

Comparând cele două regimuri de lucru, se poate observa că :

$$P_{d.\max.\text{drept}} = 1,2 \cdot P_{d.\max.\text{sin.}}$$

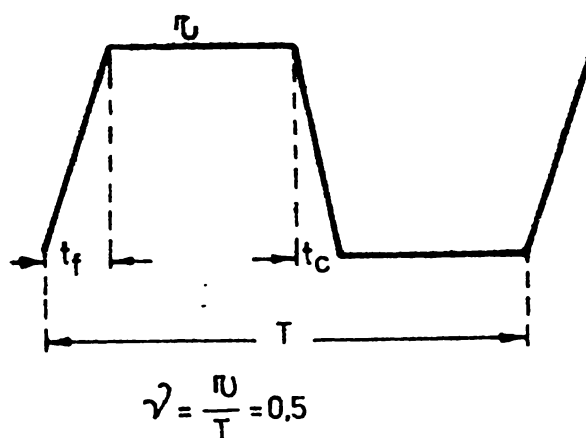
deci, din punct de vedere al solicitării tranzistoarelor finale, regimul de undă dreptunghiulară este mai sever.

Analiza celor două grafice scoate în evidență faptul că și în acest regim:

- puterea utilă este maximă pentru $K = 1$;
- randamentul etajului depinde de coeficientul de umplere, fiind și el maxim pentru $K = 1$;
- puterea utilă maximă este dublă față de cea în regim sinusoidal ;
- pentru $P_u = \text{maxim}$, teoretic, puterea disipată este nulă, dar în cazurile reale trebuie să se ia în considerare valoarea adevărată a factorului de utilizare, care conduce la un surplus de putere disipată, precum și de aportul timpului finit în care punctul de funcționare traversează caracteristicile statice. În plus, forma semnalului care nu este perfect dreptunghiulară, provoacă și ea pierderi suplimentare, așa cum reiese și din tabelul 6.1 ridicat pe baza experiențelor efectuate cu tranzistoare 2N 3055 fixate pe radiatoare simple, din aluminiu, 100 x 100 mm.

Tabelul 6.1.

t_f (μs)	t_c (μs)	P_u (W)	P_d (W)	T_{radiat} (°C)
2,4	2,2	45	65	70
2,0	1,9	55	55	58
1,7	1,6	62	48	47
1,4	1,3	78	32	40
1,2	1,0	105	5	36



Se observă că îmbunătățirea formei impulsurilor de atac permite utilizarea tranzistoarelor finale la performanțele lor maxime, în condițiile unor regimuri termice lejere.

6.1.3. Regimul de comutare și impuls

Forma semnalului de atac este tot o succesiune de impulsuri dreptunghiulare, care însă pot avea un coeficient de umplere variabil. Spre deosebire de regimul de undă dreptunghiulară, în acest caz, tranzistoarele finale au doar două stări distincte: complet blocate sau deschise la saturare.

Adoptarea acestui regim, la majoritatea generatoarelor de ultrasunete moderne, se datorează în principal faptului că se pot obține puteri mari, cu scheme relativ simple. Astfel, pentru un montaj ca cel din fig. 6.3., echipat cu tranzistoare ce au $P_d = 100-150 \text{ W}$, rezultă la ieșire o putere utilă de ordinul $200-300 \text{ W}$ /67/. Pe parcursul experiențelor efectuate cu tranzistoare 2N 3055 și SDT 9209, s-a reușit să se obțină la ieșire o putere de $250-300 \text{ W}$, la o temperatură a radiatorului pe care au fost montați tranzistorii, de $40-45^\circ\text{C}$.

Trecind peste fenomenele intime ale procesului de comutare, vom aminti că obținerea unor puteri mari la ieșire este condiționată de realizarea unor tempi de comutare foarte mici, fapt ce conduce la puteri disipate neglijabile.

Cunoscîndu-se că puterea $P_{d.\max}$, ce poate fi disipată de un singur tranzistor în regim staționar, este /45/

$$P_{d.\max} = \frac{t_{j\max} - t_{amb}}{\theta_{jamb}}, \text{ unde} \quad (6.20.)$$

$t_{j\max}$ = temperatura maximă admisibilă a joncțiunii ;

$t_{amb.}$ = temperatura mediului ambiant ;

$\theta_{jamb.}$ = rezistență termică joncțiune-mediu,

la comutarea ideală puterea medie disipată de un tranzistor va fi:

$$P_{do} = \frac{1}{T} \int_0^T U_{ce}(t) \cdot i_c(t) \cdot dt, \text{ iar prin rezolvare, va rezulta:} \quad (6.21.)$$

$$P_{do} = \frac{U_{cesat} \cdot I_{c.\max} \cdot T_c + E_c \cdot I_{co} \cdot T_b}{T}$$

în care:

T = perioada comutării

$U_{cesat}, I_{c.\max}, T_c$ = tensiunea, curentul și durata corespunzătoare a stării de conducție;

E_c, I_{co}, T_b = aceiași parametrii pentru starea de blocare.

In cazul real, puterea disipată este mai mare decât cea dată de relația (6.21.), datorită:

- puterii disipate pe timpul proceselor tranzitorii de trecere în timp finit de la o stare la alta ;
- deplasării punctelor de funcționare corespunzătoare stărilor de blocare și conductie, ca urmare a încălzirii tranzistoarelor.

Considerind t_f durata de creștere a impulsului de atac, puterea reală disipată va fi :

$$P_d = P_{do} + E_c \cdot I_{c,max} \cdot \frac{t_f}{T} = P_{do} + P_s \cdot \frac{t_f}{T} \quad (6.22.)$$

unde P_{do} este dată de relația (6.21), iar componenta $P_s \cdot t_f \cdot T^{-1}$ reprezintă pierderile datorate proceselor tranzistorii.

Pornind de la aceste considerente teoretice, în decursul experiențelor s-au încercat diferite variante de scheme, care să reducă timpul de comutare, încercându-se o optimizare a comenzi pe bază, deoarece o comandă necorespunzătoare poate duce la degradarea performanțelor tranzistoarelor, condamnând adesea etajele finale la o fiabilitate scăzută.

Se cunoaște că scurtarea timpului de comutare a unui tranzistor se poate realiza prin mărirea curentului de blocare al bazei. La un I_b mare, va crește însă și gradul de saturatie al tranzistorului, fapt ce va duce la mărirea timpului de trecere din stare de saturatie în cea de blocare, cu efecte nedorite asupra formei semnalului de ieșire și a puterii disipate.

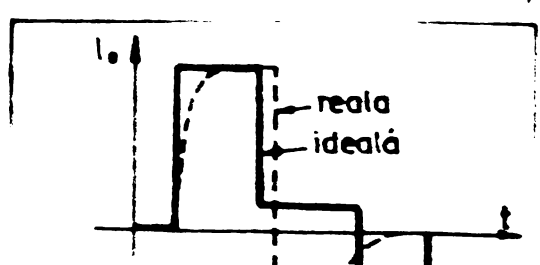


fig.6.8 - Forma recomandată a semnalului de atac pe bază

In aceste condiții, se consideră că forma optimă a semnalului de atac pe bază este cea din fig.6.8., iar schema clasica de obținere a acestei forme de semnal de atac este ilustrată în fig.6.9., unde tranzistorul T_1 este cel ce comută.

Schema rezolvă, în principal, problema, adică trecerea în conductie este destul de rapidă, însă prezintă o serie de dezavantaje, cum ar fi: timp de stocare mare, consum de putere în timpul fazei de conductie a tranzistorilor finali și nu dă rezultate bune decât în cazul tranzistoarelor destinate special proceselor de comutare, iar consumul de putere din faza de conductie poate solicita etajul de atac. În condiții obisnuite, schema dă rezultate

În condiții obisnuite, schema dă rezultate

satisfăcătoare pentru impulsuri cu factori de umplere mici.

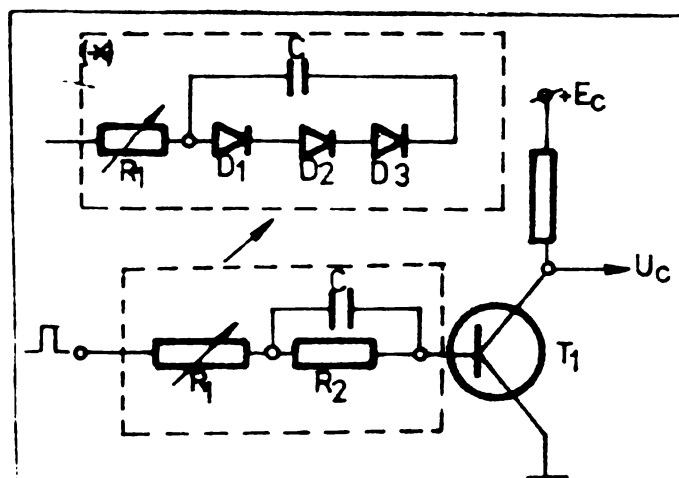


fig. 6.9_ Schema de formare a semnalului de atac

In vederea utilizării schemei și pentru comenzi cu impulsuri scurte, rezistența R_2 se înlocuiește cu un montaj de forma (x) constituit dintr-o rețea de diode și condensatoare, menită să îmbunătățească forma impulsului de atac și să accelereze comutația.

Tinând cont de dezavantajele schemei prezentate, s-au experimentat două tipuri de scheme, la care s-a urmărit obținerea unui curent de bază proporțional cu I_c și B , consum redus și posibilitatea utilizării acestora la impulsuri de comandă cu coeficienti de umplere variabili (fig.6.10. a, b.).

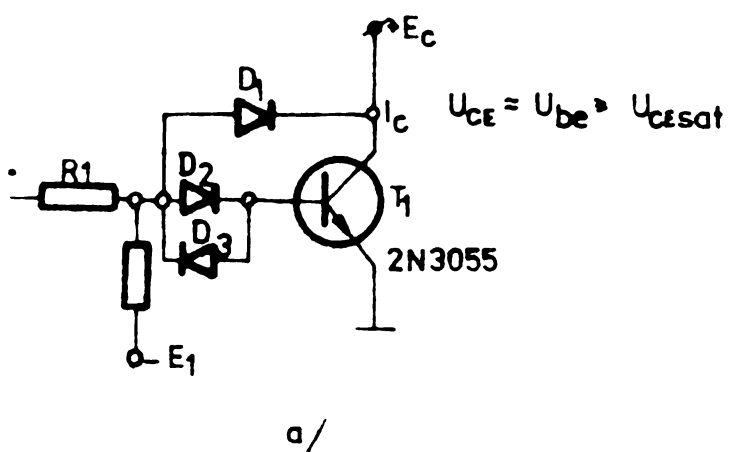
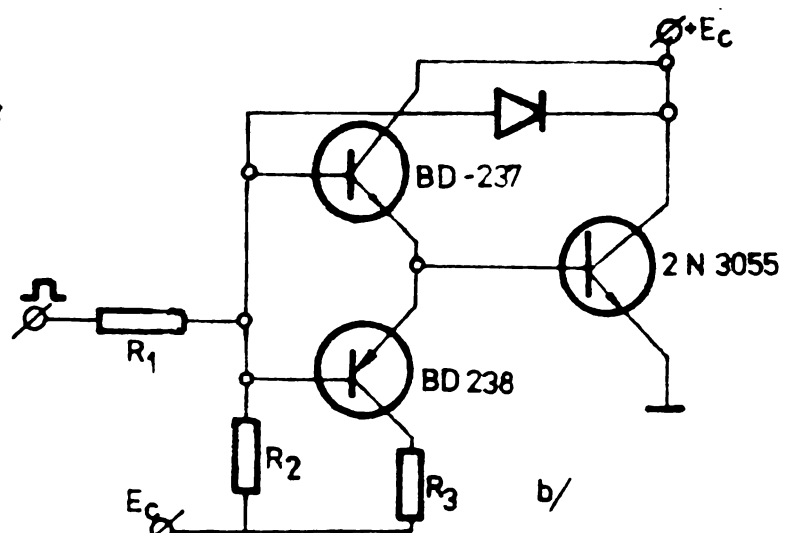


fig. 6.10_Scheme de atac cu performante ridicate



In prima schemă, curentul de bază I_b al tranzistorului de putere se reglează permanent la valoarea $I_b = I_c \cdot \beta^{-1}$, surplusul de curent fiind derivat spre masă prin D_1 și tranzistor, care este astfel menținut în cvasisaturatie. Timpul de stocare este mic indiferent de variațiile sarcinii. In timpul conductionei există, totuși, un consum de putere, dar mai mic decât la schema clasică.

La varianta "b", toate tranzistoarele lucrează în regim de comutație nesaturată, motiv pentru care defazajul între semnalul de atac și I_c nu depășește 1,5 μ s. Cu aceste scheme s-au obținut forme de semnal ca cele din fig.6.11, pentru curenți de colector de 3 și 8A, în plus, timpii de comutație sunt foarte puțin influențați

de variațiile tensiunii de alimentare, sau a sarcinii. Regimul de comutație clasic prezintă două dezavantaje care, uneori, îl fac greu utilizabil în unele scheme de generație de ultrasunete cu destinații multiple. Astfel,

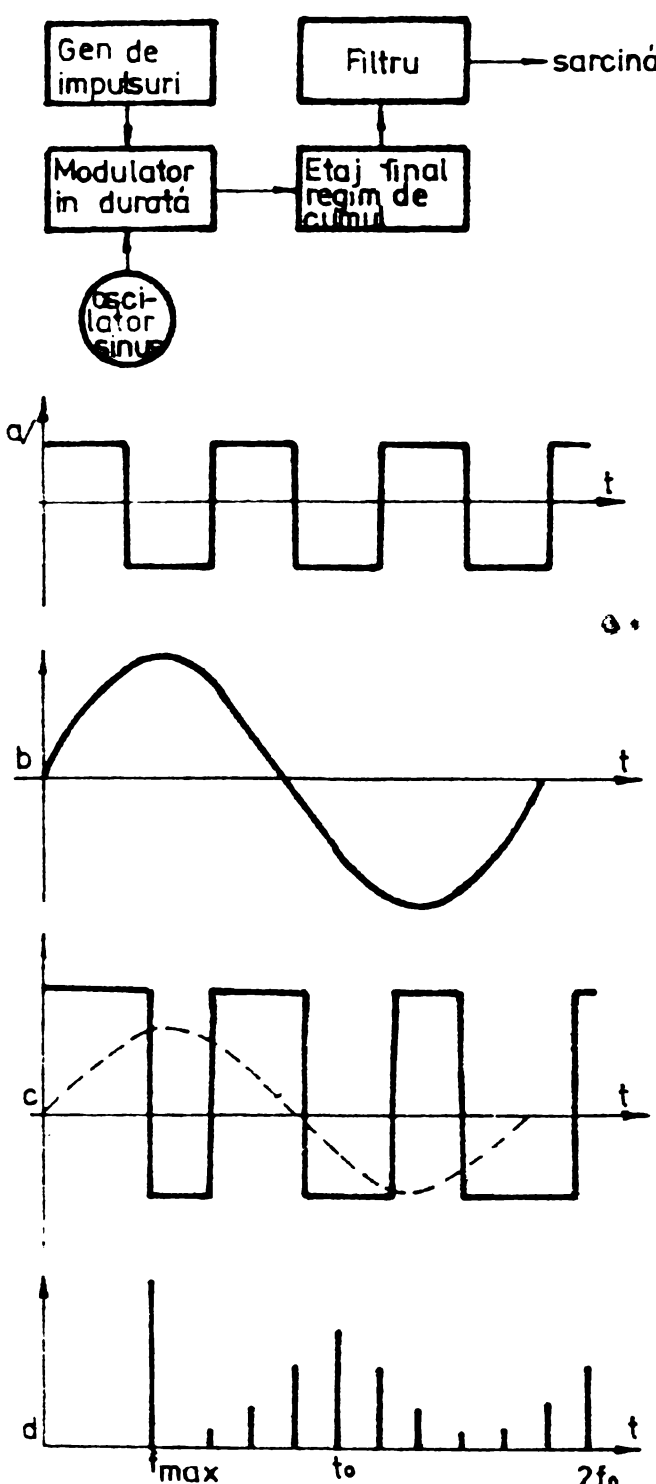


fig.6.12 _Principiul de functionare al unui amplificator clasa A

posibilitatea unui reglaj fin al puterii de ieșire.

Pentru a elimina aceste inconveniente, se utilizează aşa-numitul "regim clasă D". Schema bloc și diagramele de funcționare ale unui asemenea amplificator sunt cele din fig.6.12. Deși mai complex ca funcționare, acest regim dă rezultate excelente în special în cazul

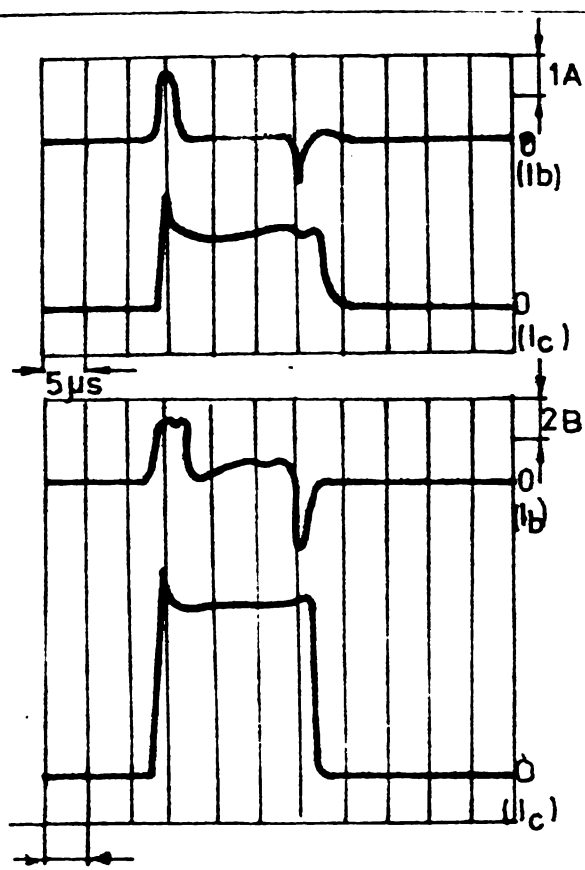


fig.6.11_Forme ale impulsului de curent la comutarea unui tranzistor 2N 3055

forma semnalului de ieșire fiind dreptunghiulară, apar armonici de ordin superior, care provoacă pierderi suplimentare în transductor. Pentru eliminarea acestora, sunt necesare filtre de extragere a frecvenței fundamentale, în care însă se pierde aproximativ 30- 35% din P_u .

Un al doilea dezavantaj îl constituie faptul că tranzistoarele finale odată intrate în saturare, nu mai pot fi controlate și deci nu există

în care caracterul sarcinii este inductiv, în plus randamentul trece de 90%. În esență, un amplificator clasă D constă dintr-un generator de impulsuri, un modulator în durată a impulsurilor, amplificatorul final în regim de comutație și un filtru "trece jos", care poate fi constituit chiar de înfășurarea transductorului. Semnalul sinusoidal util va modula în durată impulsurile a căror componentă medie nu va mai fi acum zero, ci variabilă, în concordanță cu valoarea instantanee a semnalului sinusoidal. Alegindu-se un raport convenabil între frecvența de comutare și cea a semnalului sinusoidal (de regulă 4-8:1), filtrul de la ieșire va separa foarte ușor componentele utile, de frecvență joasă, ale semnalului sinusoidal ($f_{max.}$) de frecvența purtătoare de comutare (f_0) și armonicile acesteia, pe sarcină regăsindu-se doar semnalul util.

Cu notațiile adoptate, puterea de ieșire va fi:

$$P_u \approx \frac{E_c^2}{R_s} \cdot \frac{\gamma^2}{T} \quad (6.23.)$$

Un avantaj însemnat al acestor amplificatoare îl constituie faptul că permit o utilizare eficientă a semiconductoarelor etajului final, deoarece punctul de funcționare se găsește un timp mai îndelungat fie în zona de blocare, fie în cea de saturare, iar trecerea prin regiunea de disipație mare se face rapid. În acest fel, se pot comuta curenti și tensiuni mari, dreapta de sarcină putând chiar să intersecteze hiperbola de disipație, fără ca tranzistoarele să se distrugă.

Un caz particular al regimului de comutație îl poate constitui funcționarea etajelor finale în impuls, transductorul în acest caz fiind excitat cu un impuls singular sau cu pachete de impulsuri. Schema de principiu a unui astfel de generator este redată în figura 6.13.

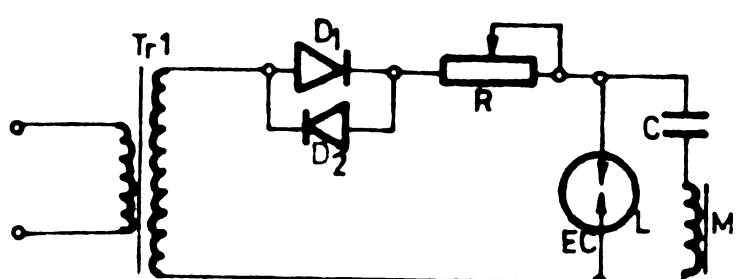


fig. 6.13. Schema principala a unui gen de impuls

Tensiunea de rețea aplicată primarului transformatorului T_{rl} este ridicată în secundar la 500-2000 v și redresată de celula D. Încărcarea condensatorului C se face prin rezistență reducătoare R. În momentul când tensiunea de la bornele condensatorului atinge valoarea necesară amorsării elementului de comutare EC, acesta se deschide, permitând descărcarea condensatorului, prin el și transductorul M. Impulsul de curenț

elementului de comutare EC, acesta se deschide, permitând descărcarea condensatorului, prin el și transductorul M. Impulsul de curenț

sau tensiune excită în transductor oscilației ultrasonore cu frecvența proprie de oscilație a transductorului.

Ca elemente de comutare se utilizează tranzistoare, sau mai ușual, tiristoare de putere. Parametrii comutatorului se aleg funcție de parametrii de bază ai generatorului (F_r , P_u). Notând:

$U_{apr.}$ = tensiunea de amorsare a descărcătorului ;

$U_{st.}$ = tensiunea de stingere;

K_t = coeficientul de utilizare a transductorului;

Z = impedanța sarcinii ;

L = inductanța transductorului ;

S = suprafața transductorului ;

I_{inc} = curentul de încărcare a condensatorului;

E = tensiunea la ieșire a celulei redresoare ;

vom avea ca relații de calcul / 25/ :

- intensitatea în impuls:

$$I_{imp.} = \frac{U_{apr}^2 - U_{st}^2}{2 S Z \ln \frac{U_{ap}}{U_{st}}} \cdot K_t \quad (6.24.)$$

- valoarea capacității de încărcare (C):

$$C = \frac{\frac{t_{desc.}}{U_{ap}}}{Z \ln \frac{U_{ap}}{U_{st}}}$$

unde $t_{desc.}$ se alege, de obicei, egal cu durata unei perioade a oscilațiilor proprii ale transductorului, iar $U_{apr.}$ și U_{st} sunt date în cataloge. Dacă pentru un transductor $X_L \gg R$ (rezistență ohmică a infășurării), atunci C se poate calcula cu relația:

$C = \frac{t_{desc.}^2}{4 \pi L (F)}$, iar timpul de încărcare:

$$t_{inc.} = R \cdot C \cdot \ln \frac{E - U_{st}}{E - U_{apr.}} \quad (s)$$

Dacă nu se impun restricții privitoare la numărul de impulsuri pe secundă, acesta poate fi calculat cu relația:

$$n = \frac{1}{t_{inc.} + t_{desc.}}$$

Avantajul acestor scheme, în special în procesele care nu reclamă o precizie deosebită de ridicată (suduri, aşchieri, frezări) este

acela că se pot obține puteri în impuls ridicate, în condițiile unor puteri medii relativ scăzute, fapt ilustrat și de graficul din fig.6.14., unde este dat raportul dintre puterea disipată maximă ($P_{d.\max.}$) și puterea maximă în impuls ($P_{imp.}$), funcție de constantă termică θ_{js} , durata impulsului τ_i și factorul de umplere $t_u = \tau_i \cdot f_r$ (f_r = frecvența de repetiție).

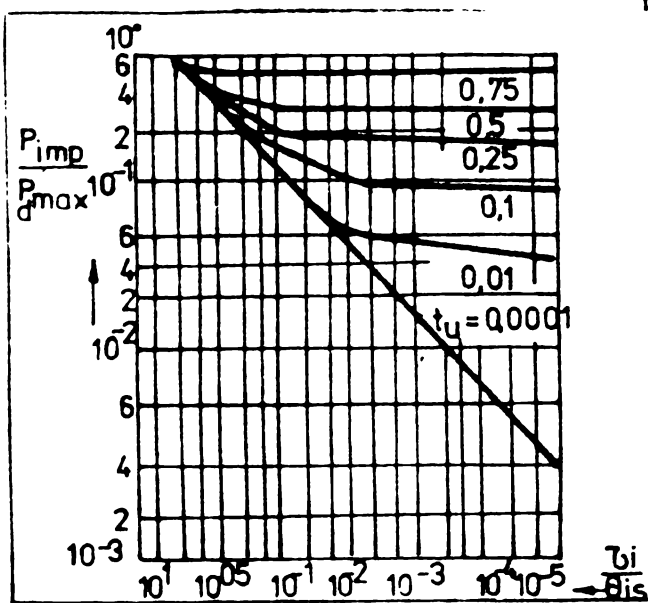


fig 6.14 Dependenta puterii de impuls de raportul τ_i / θ_{js}

Pentru tranzistorul 2N 3055 care are

$$P_{d.\max.} = 117W; t_j = 1,5^\circ C \cdot W^{-1}$$

$\theta_{js} = 70$ ms, dacă este comandat cu impulsul cu durată $\tau_i = 25 \mu s$, $t_u = 0,5$ ($f_r = 20$ KHz), va rezulta:

$$\tau_i \cdot \theta_{js}^{-1} = 25 \cdot 10^{-6} / 70 \cdot 10^{-3} = 3,5 \cdot 10^{-4}$$

In această situație, din grafic va rezulta:

$$\frac{P_{d.\max.}}{P_{imp.\max.}} = 5,2 \cdot 10^{-1} \text{ și înlocuind} \\ \text{vom avea:}$$

$$P_{imp.\max.} = \frac{117}{5,2 \cdot 10^{-1}} \approx 225 W,$$

deci tranzistorul poate dezvolta la ieșire, în aceste condiții, impulsuri

cu o putere de 225 W, fără pericolul de a se distrugă.

Echiparea generatoarelor de impulsuri cu tranzistoare, în loc de elemente de comutație, oferă avantajul obținerii unor impulsuri mai "curate" ca formă și a posibilității de reglare în limite largi a numărului de impulsuri. In fig.6.15. este redată schema bloc a unui astfel de generator.

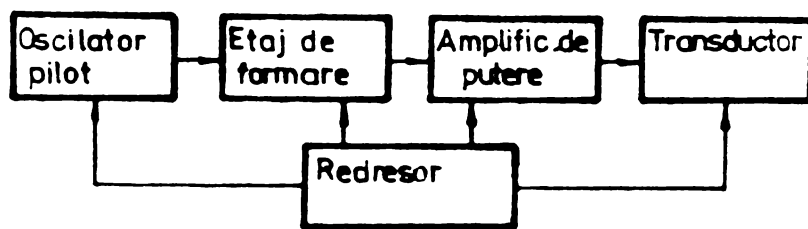


fig. 6.15. Generator de impulsuri ultrasunore cu tranzistoare

In calitate de oscilator pilot, se utilizează un circuit basculant astabil, la ieșirea căruia se obține o succesiune de impulsuri care, în etajul de formare, sunt transformate în "pachete" cu durată bine determinată. Frecvența

acestor pachete care, amplificate de etajul final, excită transductorul, poate fi reglată în limitele $5-100 \text{ imp. } s^{-1}$.

In cadrul experiențelor, utilizându-se ca oscilator pilot un generator de tipul G5-15, un generator autoblocat ca etaj forma-

tor și 4 celule de putere echipate cu tranzistoare 2N 3055 în regim de comutație, s-a reușit să se excite un transductor de nichel cu o putere în impuls $P_i = 1,6 \text{ KW}$, impulsul de curent $I_{imp.} = 12\text{A}$, iar durata $\tau = 2,4 - 3,6 \mu\text{s}$.

Concluzionând asupra regimurilor de lucru ale etajelor finale, se poate afirma că :

- regimul sinusoidal clasă B în contratimp se recomandă a fi utilizat la puteri relativ mici ($P_u \leq 300\text{W}$), acesta preindu-se unor reglări automate ale nivelului puterii de ieșire. În decursul experiențelor, pentru acest regim nu s-a reușit să se obțină un randament mai mare de 68 % ;
- regimul de undă dreptunghiulară realizează o putere și un randament mai mare, dar reclamă măsuri de protecție a tranzistoarelor împotriva ambalării termice precum și filtre de atenuare a armonicilor impare;
- regimul de comutație și impuls asigură obținerea unor puteri mari în condiții ușoare pentru etajele finale, dacă se realizează o comandă adecvată. Randamentul etajului este în jur de 90%, iar semiconductoarele sunt utilizate aproape de performanțele maxime.

6.2. SEMICONDUCTOARE DE PUTERE UTILIZATE ÎN CONSTRUCȚIA GENERATOARELOR DE ULTRASUNETE

Generatoarele de ultrasunete echipate cu dispozitive semiconductoare (tranzistoare, tiristoare) s-au impus tot mai mult datorită avantajelor pe care le prezintă față de tuburi, în sensul unor indici energetici mai buni, gabarit mai mic, iar durata de funcționare de 3-4 ori mai mare.

Utilizarea dispozitivelor semiconductoare în construcția generatoarelor de ultrasunete prezintă o serie de particularități, care trebuie luate neapărat în considerare. Astfel:

- la dispozitivele semiconductoare există o puternică dependență a parametrilor de temperatură, motiv pentru care se impun măsuri speciale de stabilizare termică a punctului de funcționare ;

- la amplificatoarele cu tranzistoare, caracterul neli- niar al dependenței lui I_c de I_b influențează asupra amplificării, în sensul că, datorită timpilor de stocare, creșterea și descreșterea lui I_c se face treptat și apare o diferență de fază între

semnalul de intrare și cel de ieșire, în special la regimul de comutăție, diferență ce duce în final la scăderea puterii utile și a randamentului. Acești timpi de stocare cresc cu frecvența de lucru a tranzistoarelor, constatindu-se că la frecvențe mai mari de 80-100 KHz. pentru tranzistoarele obișnuite, ei devin deja inacceptabili provocînd un defazaj apreciabil între cele două semnale;

- tensiunea, în general mică, de alimentare a tranzistoarelor constituie un factor ce limitează funcționarea schemelor cu tranzistoare, deoarece la aceste tensiuni, pentru obținerea unor puteri convenabile, sunt necesari curenti mari care împun redresorul de gabarit. În ultimii ani, acest impediment este pe cale de a fi înălăturat, deoarece unele firme printre care și I.P.R.S. BANEASA au reușit să asimileze în producție de serie tranzistoare ce permit o tensiune de colector de 300-1200 V ;

- tiristoarele ce echipează unele scheme de generatoare pot fi folosite doar în regim de comutăție, deci este nevoie de filtre pentru eliminarea armonicilor de ordin superior ;

- la etajele cu tranzistoare este obligatoriu să fie luate în considerare caracteristicile de intrare. Datorită neliniarității acestora, rezistența sursei de semnal are o mare influență asupra distorsiunilor semnalului.

6.2.1. Etaje finale echipate cu tranzistoare

Fiind destinate etajelor finale ale generatoarelor, la ieșirea cărora se obține unul din cei mai importanți parametrii - puterea utilă-, stabilirea regimului adecvat de funcționare pentru tranzistoarele de putere constituie o cerință esențială în alegerea oricărei scheme, deoarece de acest regim depind: puterea de ieșire, randamentul, gabaritul și siguranta în funcționare a schemei.

In realizarea tranzistoarelor de putere, intervin trei limitări esențiale:

- tensiunea de străpungere prin avalanșă ;
- descreșterea factorului de amplificare β , odată cu creșterea curentului I_c , datorită scăderii eficienței emitorului proporțional cu creșterea densității de curent;
- eliminarea căldurii datorită puterii disipate în joncțiuni.

Primele două limitări sunt de natură tehnologică și pot fi rezolvate prin construcție. Dacă valoarea tensiunii de străpungere este dată în cataloge, acestea, în special pentru tranzistoarele

de putere, nu oferă graficul funcției $B = f(I_c)$. Pentru tranzistoarele 2N 3055, acesta a fost ridicat experimental (fig.6.16.) și se poate observa că pentru curenții intenși nu se poate conta pe valoarea factorului de amplificare oferit de cataloge, motiv pentru care în încercările în regim sinusoidal s-a căutat să nu se

depășească valoarea $I_c = 1-2,5$ A, la o frecvență de 20-30 KHz., deoarece experiențele au scos în evidență faptul că la o frecvență mai mare de 50 KHz. proprietățile de amplificare scad mult. În ceea ce privește cea de-a treia limitare, deoarece puterea dissipată pe emitor este neglijabilă față de cea pe colector, problema care se pune este răcirea adecvată a acestuia.

Puterea dissipată maximă admisă este un parametru ce se calculează cu ajutorul "rezistenței termice"- o mărime măsurabilă care împiedică eliminarea căldurii (R_{tj}). Cu cât ea crește, cu atât căldura trece mai greu în mediul ambiant și puterea dissipată P_d scade.

In general, catalogele moderne dă valoarea acestei mărimi la care se presupune menținerea capsulei la o anumită temperatură pentru care încă se mai garantează conservarea parametrilor principali ai tranzistorului.

De exemplu, pentru tranzistorul 2N 3055, se dă $P_d=115W$, în condițiile în care $R_{tj} = 1,5^{\circ}\text{C} \cdot \text{W}^{-1}$, la o temperatură a capsulei $T_c = 25^{\circ}\text{C}$.

Din experiență a reieșit că, la creșterea temperaturii capsulei la $45 - 50^{\circ}\text{C}$, puterea dissipată scade la $70 - 75 \text{ W}$.

In vederea micșorării lui R_{tj} , tranzistoarele trebuie montate pe radiatoare de aluminiu, a căror formă, dimensiune și culoare influențează foarte mult asupra puterii disipate.

Nerespectarea condițiilor impuse de forma și dimensiunea acestor radiatoare, pe lîngă faptul că poate conduce la distrugerea tranzistoarelor și diminuarea puterii de ieșire a etajelor.

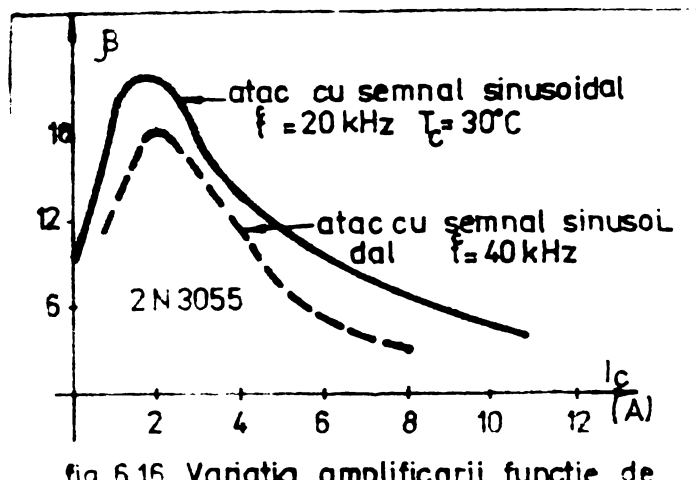


fig 6.16_Variatia amplificarii functie de curentul colectorului

lor finale, aşa cum reiese și din graficele din fig.6.17.

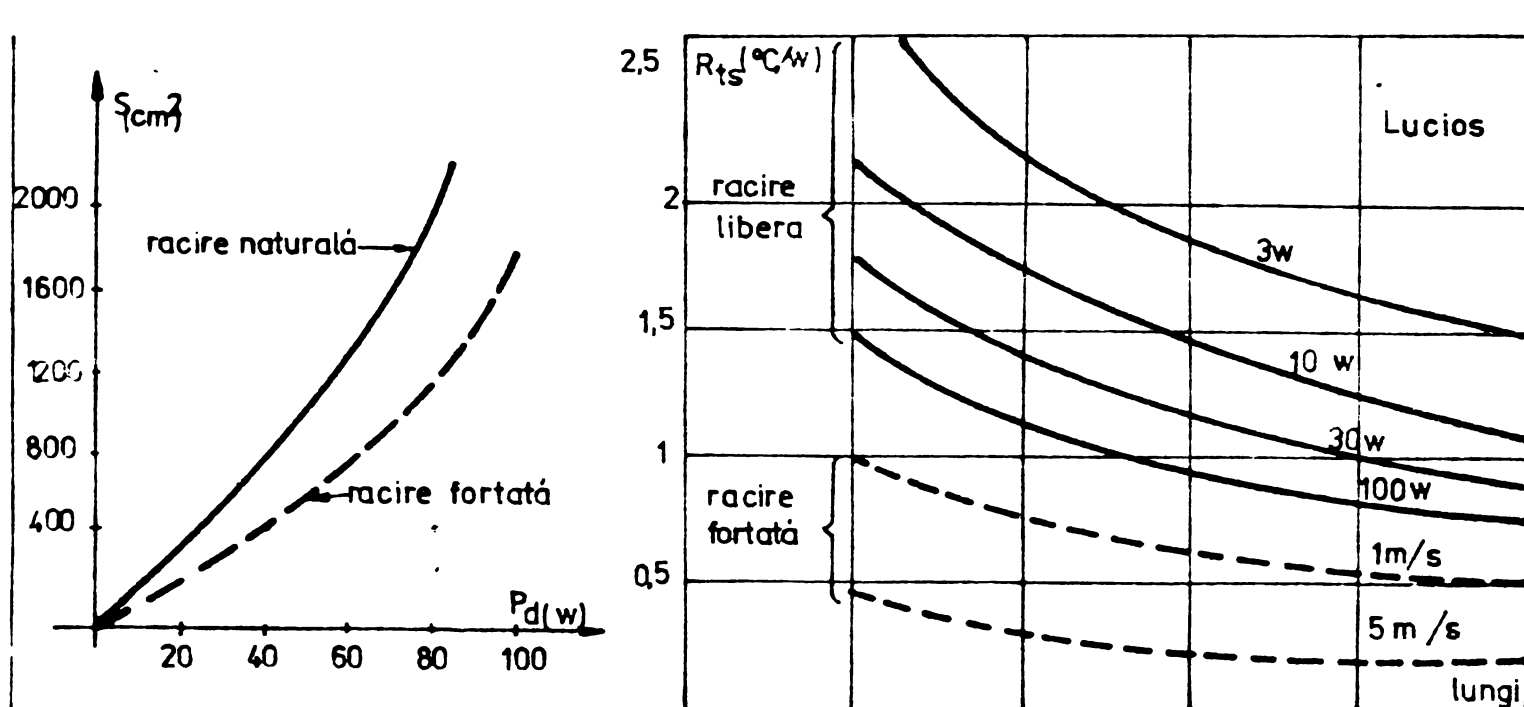


fig. 6.17_ Dependenta puterii disipate de proprietatile radiatorului

S-a constatat că înnegrirea radiatoarelor reduce valoarea lui R_{tj} cu aproximativ 10-15 %. Nu se recomandă vopsirea acestora în negru deoarece prin aceasta, lacul termoizolant introduce o rezistență între radiator și mediu, ci eloxarea în negru a radiatoarelor-operăriune care favorizează schimbul de căldură prin radiații. Pe lîngă considerentele de ordin termic, alegerea regimului de funcționare a tranzistoarelor de putere ce echipează generatoarele de ultrasunete este condiționată și de caracterul sarcinii generatorului. Astfel, dacă sarcina este inductivă (situație ce apare cînd generatorul lucrează în gol sau în afara zonei de rezonanță a transductorului magnetostriictiv), chiar dacă curenții ce străbat etajele finale sănt mici, datorită valorii inductanței, tensiunile ce apar pe colector pot depăși valoarea maximă admisibilă ($U_{ce,max}$) și provoacă străpungerea joncțiunilor.

In cazul că sarcina prezintă un caracter rezistiv-inductiv sau rezistiv-capacitiv (funcționarea generatorului la frecvența de rezonanță a transductorului), mărimea susceptibilă a fi depășită este $I_{c,max.}$, dar limitarea lui poate fi realizată prin dispozitive de protecție care pot facilita funcționarea tranzistoarelor în apropierea zonei de avalansă, cu condiția să nu fie depășită puterea disipată și să nu apară ambalarea termică.

Există situații cînd, deși nu se depășește puterea disipată, tranzistorul se distrugă datorită fenomenului de "străpungere secundară", ce apare în cazul funcționării generatorului pe sarcini reactive, fenomen datorat energiei reactive care se transferă între sarcină și etajul final, în mod alternativ.

In vederea protejării tranzistoarelor de putere, catalogele moderne oferă uneori graficul "ariei maxime de siguranță", care delimită zona sigură de lucru (safe area). În această zonă, este permisă orice combinație I_c , U_{CE} , cu condiția ca $P_{d,max}$ să nu fie depășit. Pentru tranzistorul 2N 3055, această arie ridicată experimental este redată în fig.6.18.

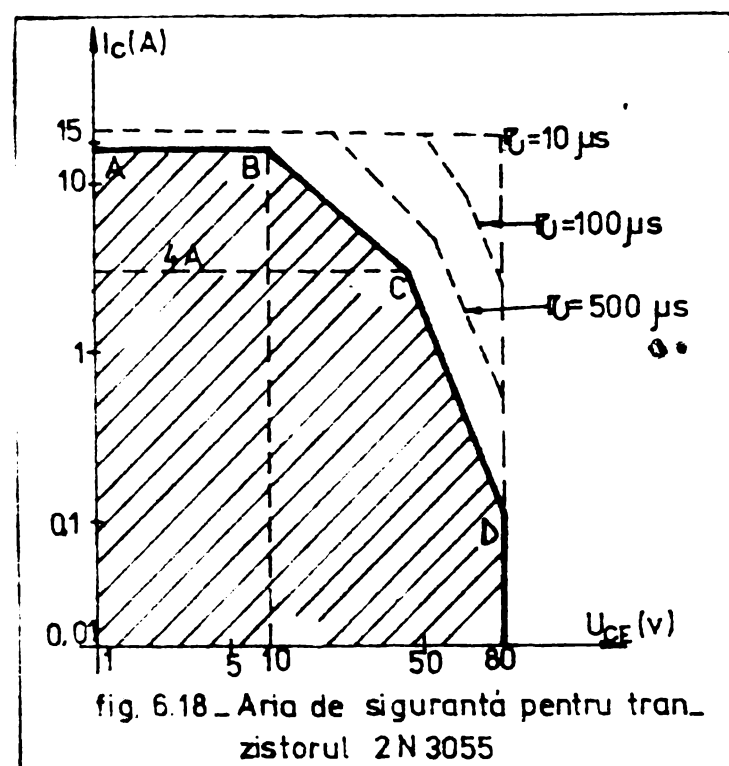


fig. 6.18_Aria de siguranță pentru tranzistorul 2N 3055

Încercările s-au efectuat atât cu semnal continuu, cât și cu impulsuri de durate diferite. Se observă că zona AB este limitată de curentul I_c maxim, zona BC de hiperbola de disipație, zona CD de străpungerea secundară, iar DE de tensiunea colector-emitor maximă.

In paragrafele anterioare s-au tratat principalele regimuri de lucru ale etajelor finale. La unele tipuri de generatoare, acolo unde sarcina rămîne

aproximativ constantă sau sînt

destinate unui singur gen de operații, se utilizează pentru etajele finale scheme fără transformator sau în punte (fig.6.19.a,b.)

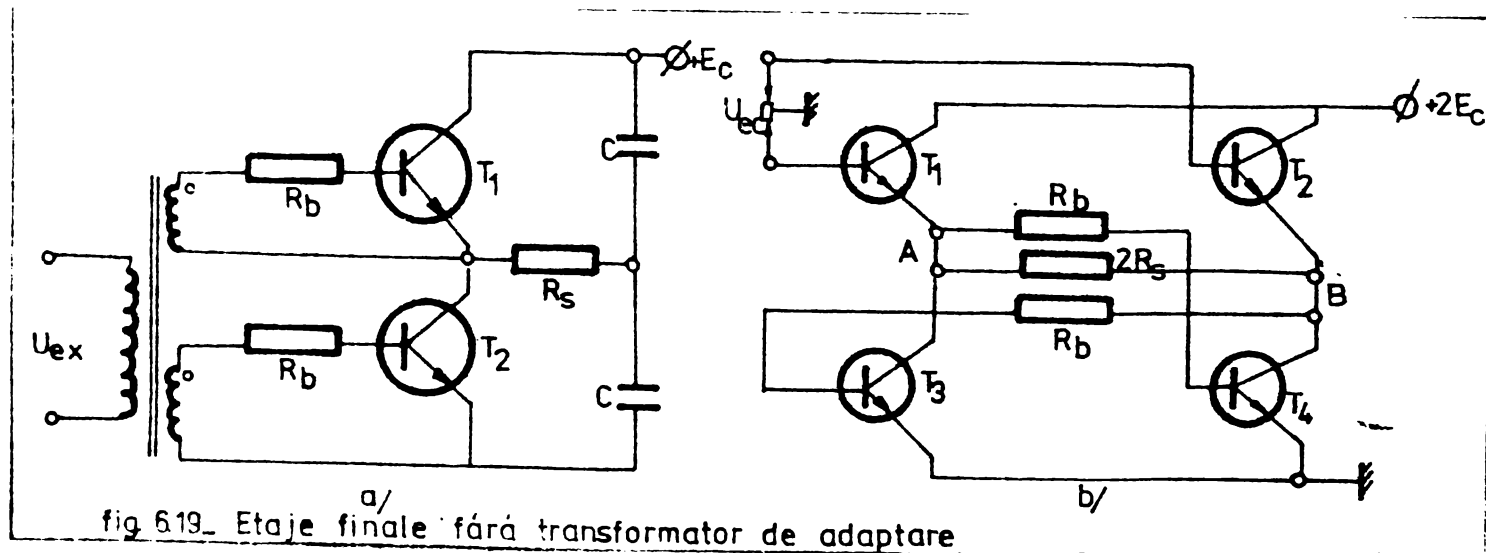


fig. 6.19_a/b_Etaje finale fără transformator de adaptare

Evitarea transformatorului de ieșire în asemenea cazuri permite o

reducere a prețului de cost, largirea benzii de frecvență și mărirea randamentului global al etajului, în urma eliminării pierderilor de putere în transformator, dar presupune o adaptare strictă a generatorului cu sarcina.

La varianta "a", pe tranzistorul blocat cade întreaga tensiune a sursei, deci avantajul față de schema din fig.6.3. este că tensiunea de alimentare poate fi luată $E_c \leq U_{c,max}$, rezultând că pentru a obține aceeași putere, componenta continuă a curentului de colector I_c poate fi de două ori mai mică, simplificindu-se astfel schema redresorului. Schema din fig."b" reprezintă în sine o punte compusă din 4 tranzistoare, sursa E_c fiind cuplată pe o diagonală, iar sarcina pe cealaltă diagonală. Tranzistoarele T_2 și T_3 sunt comandate în fază, iar T_1 și T_4 în antifază, pe sarcină adunându-se tensiunile astfel că, teoretic, puterea pe sarcină este dublă față de varianta "a". Schema poate lucra în clasă B sau comutație, prin ajustarea rezistențelor R_b la o valoare care să producă saturarea curentului I_c la tranzistoarele T_2 și T_4 , în semiperioadele pe care ele conduc.

Pentru obținerea unor puteri și mai mari, se utilizează scheme de adunare a puterilor prin construirea mai multor celule în contratimp, care debitează pe o sarcină comună. Excitarea fiecărei celule se poate face independent (soluție neeconomică) sau de la un excitator comun care permite ca tranzistorii pari să fie excitați în antifază față de cei impari.

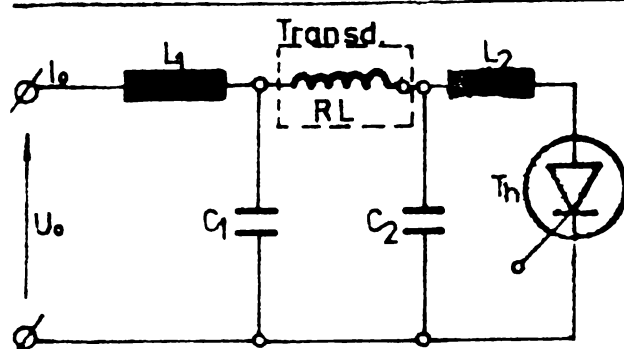
Experimental, cu două celule echipate cu tranzistoare 2N3055, s-a obținut o putere de 300 W, în regim sinusoidal, cu un coeficient de distorsiune mai mic de 5 %.

6.2.2. Generatoare de ultrasunete cu tiristoare

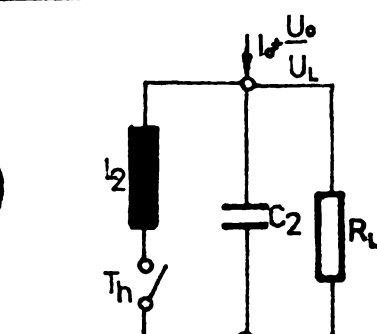
Utilizarea tiristoarelor în construcția generatoarelor de ultrasunete oferă o serie de avantaje, cum ar fi : construcția simplă, număr redus de piese ce determină frecvența. o bună adaptare chiar și la variația sarcinii, reglarea simplă a frecvenței, randament ridicat.

Funcționarea tiristorului la parametrii optimi ridică aproximativ aceleași probleme ca și tranzistoarele de putere, în sensul stabilirii unui regim termic adecvat, respectării condițiilor impuse de valoarea maximă a curentului comutat și tensiunii maxime de blocare. Din variantele de scheme cu tiristoare se remarcă genera-

torul comandat funcție de sarcină, datorită construcției simple și economice.(fig.6.20.)



a/ Schema de principiu



b/ Schema echivalentă

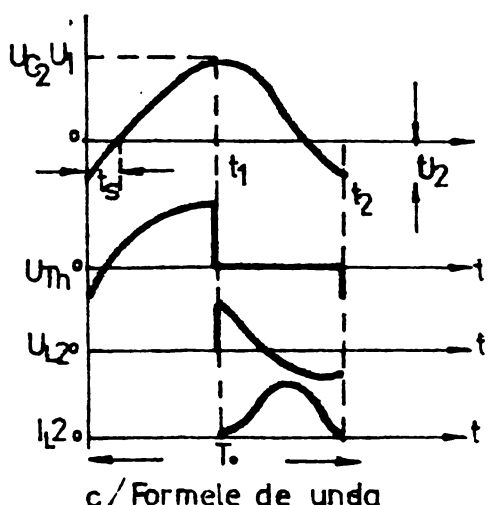


fig. 6.20_Prinzipiul de functionare a unui generator de ultrasunete cu tiristoare

Cu notatiile din Fig. 5.10, referitoare la transductor și presupunând că $L_1 \gg L_s$ (inductanța înfășurărilor transductorului) $L_s \gg L_2$, $C_1 \gg C_2$, variațiile de curent și tensiune pe transductor nu influențează asupra tensiunii de intrare U_o și a curentului de intrare I_o .

In stare de oscilație se încarcă C_2 prin L_1 și transductor. La o anumită tensiune U_1 , tiristorul se deschide permitînd descărcarea lui C_2 prin L_2 pînă la o tensiune $U_2 < 0$.

Odată cu blocarea tiristorului, ciclul se repetă. Durata t_s după care tensiunea pe tiristor atinge din nou valori pozitive trebuie să fie mai mare ca durata t_f de eliberare a tiristorului. Curentul I_o ce străbate transductorul depinde de C_2 , U_o și $\omega_o = 2\pi f_o$.

Pentru calculul schemei, se admite că :

- transductorul este la rezonanță ($\omega_o = \omega_m$) și constituie o sarcină complexă pentru circuitul oscilant L_2C_2 . Componenta inductivă X_L a transductorului este compensată de C_1 ;
- pentru $C_1 \gg C_2$ și $L_1 \gg L_2$, mărimele U_o și I_o sunt constante ;
- toate tensiunile se raportează la $U_o + I_o \cdot R_2$;
- toți curentii se raportează la $I_o + U_o \cdot R_L^{-1}$, considerante pe baza cărora este valabilă și schema echivalentă.

Pentru perioadele $0 - t_1$ (tiristorul deblocat) și $t_1 - t_2$ (tiristor blocat), funcționarea schemei este descrisă de ecuațiile

diferențiale din tabelul nr. 6.2./25/.

Tabel 6.2.

Durata în timp	Ecuăriile diferențiale	Condiții limită	Soluții
0-t ₁	$\frac{U_o}{R_L} + I_o = C_2 \frac{dU_{c2}(t)}{dt} + i_{R_L}(t)$	$U_{c2}(0) = U_2$ $U_{c2}(t_s) = 0$ $U_{c2}(t_1) = U_1$	$U_1^x = 1 - e^{-2\tilde{\omega}(t_1-t_s)}$ $U_2^x = 1 - e^{2\tilde{\omega}t_s}$
	$U_{c2}(t) = R_L \cdot i_{R_L}(t)$		
t ₁ -t ₂	$\frac{U_o}{R_L} + I_o = C_2 \frac{dU_{c2}(t)}{dt} +$ $+ i_{R_L}(t) + i_{L_2}(t)$	$U_{c2}(t_1) = U_1$ $U_{c2}(t_2) = U_2$ $U_{L_2}(t_1) =$ $= i_{L_2}(t_2) = 0$	$U_1^x = \frac{2\tilde{\omega}}{\omega} \left(\frac{e^{\tilde{\omega}t_2}}{\sin \omega t_2} + \right. \left. \cot \omega t_2 + \frac{\tilde{\omega}}{\omega} \right)$ $U_2^x = \frac{2\tilde{\omega}}{\omega} \left(\frac{e^{-\tilde{\omega}t_2}}{\sin \omega t_2} + \right. \left. \cot \omega t_2 + \frac{\tilde{\omega}}{\omega} \right)$
	$U_{c2}(t) = i_{R_L}(t) \cdot R_L =$ $= L_2 \frac{di_{L_2}(t)}{dt}$		

Considerind mărimele raportate

$$U^x(t) = \frac{U_{c2}(t)}{U_o + I_o R_L} \quad \text{și} \quad i^x(t) = \frac{i(t)}{I_o + U_o / R_L}$$

precum și

$$2\tilde{\omega} = \frac{1}{C_2 R_L} (\tilde{\omega} \cdot \omega^{-1})^2 \ll 1,$$

acestea, acceptînd condițiiile limită ale ecuațiilor diferențiale, dau următoarele soluții:

$$U_1^x = 1 - e^{-\frac{2\tilde{\omega}}{\omega} (V_1 - V_s)} \quad \text{pentru } 0 - t_1,$$

$$U_1^x = \frac{2\tilde{\omega}}{\omega} \left(\frac{e^{-\frac{\tilde{\omega}}{\omega} \cdot V_2}}{\sin V_2} + \cot V_2 + \frac{\tilde{\omega}}{\omega} \right) \quad \text{pentru } t_1 - t_2$$

$$U_2^x = 1 - e^{-\frac{2V_1}{\omega}} \cdot V_2 \quad \text{pentru } 0 - t_1$$

$$U_2^x = \frac{2\omega}{\omega} \left(\frac{e^{-\frac{\omega}{\omega} \cdot V_2}}{\sin. V_2} - \cot. V_2 + \frac{\omega}{\omega} \right) \quad \text{pentru } t_1 - t_2$$

unde $V = \omega t$.

Valoarea medie a puterii debitată pe sarcina R_L este:

$$P^x = \frac{1}{T_0} \int_0^{t_2} \left[i_{L_2}(t) \right]^2 \cdot R_L \cdot dt, \text{ obținându-se}$$

$$P^x = \frac{P}{\left(I_0 + \frac{U_0}{R_L} \right)^2 \cdot R_L} = \frac{U_1^x}{2} \left(\frac{1 - \frac{U_2^x}{U_1^x}}{2} \right)^2 \quad (6.26)$$

Datorită faptului că V_1 și V_2 variază funcție de ω/ω , un calcul analitic devine complicat, de aceea, dimensionarea se face pe bază reprezentărilor grafice ale funcțiilor:

$$U_1^x = f(V_1, V_2 - V_s \cdot \omega \cdot \omega^{-1}) \text{ și } U_2^x = f(V_1, V_2, V_s \cdot \omega \cdot \omega^{-1})$$

reprezentate în figura 6.21.

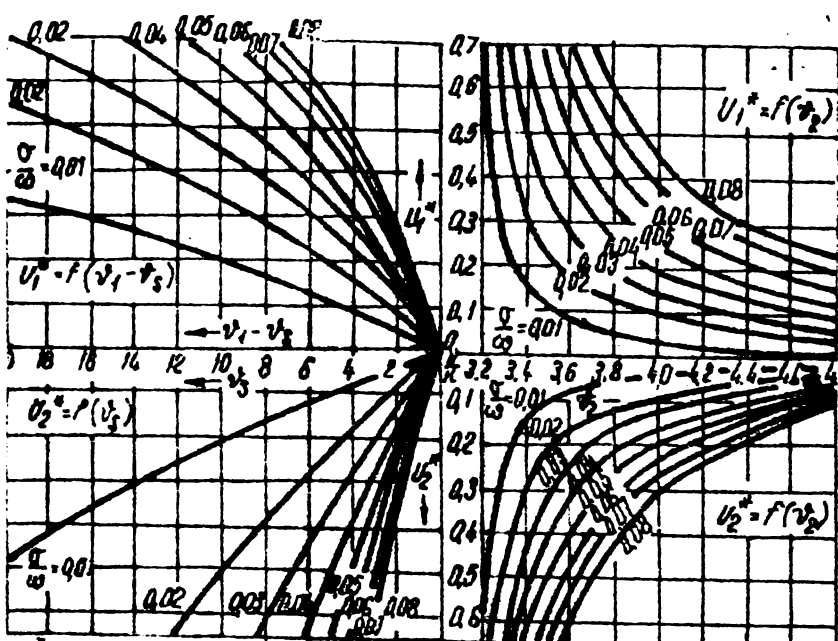


fig. 6.21 - Graficul funcțiilor U_1 și U_2

Din grafic se observă că obținerea unor valori cît mai bune pentru mărimele U_1 și U_2 în perioadele de blocare și conducție ale tiristorului este condiționată atît de parametrii transductorului, cît și de rezonanța sistemului. O mare influență o au și timpii t_1 și t_2 .

Alegerea corectă a acestor timpi contribuie atît la obținerea unor parametri optimi cît și la fiabilitatea elementelor semiconductoare

In acest caz, cunoscîndu-se pentru transductor R_L și $T_0 = 1 \cdot f_0^{-1}$,

pentru o anumită valoare a lui U_1 și pentru rapoarte t_s/T_o cunoscute, se pot determina celelalte mărimi: C_2 , L_2 , U_2 , t_1 și t_2 .

Pentru a se asigura o bună funcționare a generatorului, este deosebit de importantă alegerea corectă a tiristorului și regimului acestuia, în ceea ce privește solicitarea sa la curent și tensiune. Tensiunea maximă de blocare se poate calcula cu relația:

$U_{b,max.} = U_2^X (U_o + I_o R_L)$, iar pentru curent, valorile de vîrf efective și medii sănt:

$$I_{max.} = I_m^X (I_o + U_o \cdot R_L)^{-1}$$

$$I_{ef} = V_2^{1/2} \cdot 2 V_o^{-1} \cdot I_{max.}$$

$$I_{med.} = \frac{2}{\pi} \cdot \frac{V_2}{V_o} \cdot I_{max.}$$

Amorsarea tiristorului se poate obține printr-o dimensionare corespunzătoare a circuitului de reacție pozitivă $C_1 C_2$. Autoexercitarea generatorului permite ca transductorul să se mențină la rezonanță chiar și la modificarea parametrilor sarcinii.

Schema de principiu, detaliată, pentru un astfel de generator, este redată în fig.6.22.

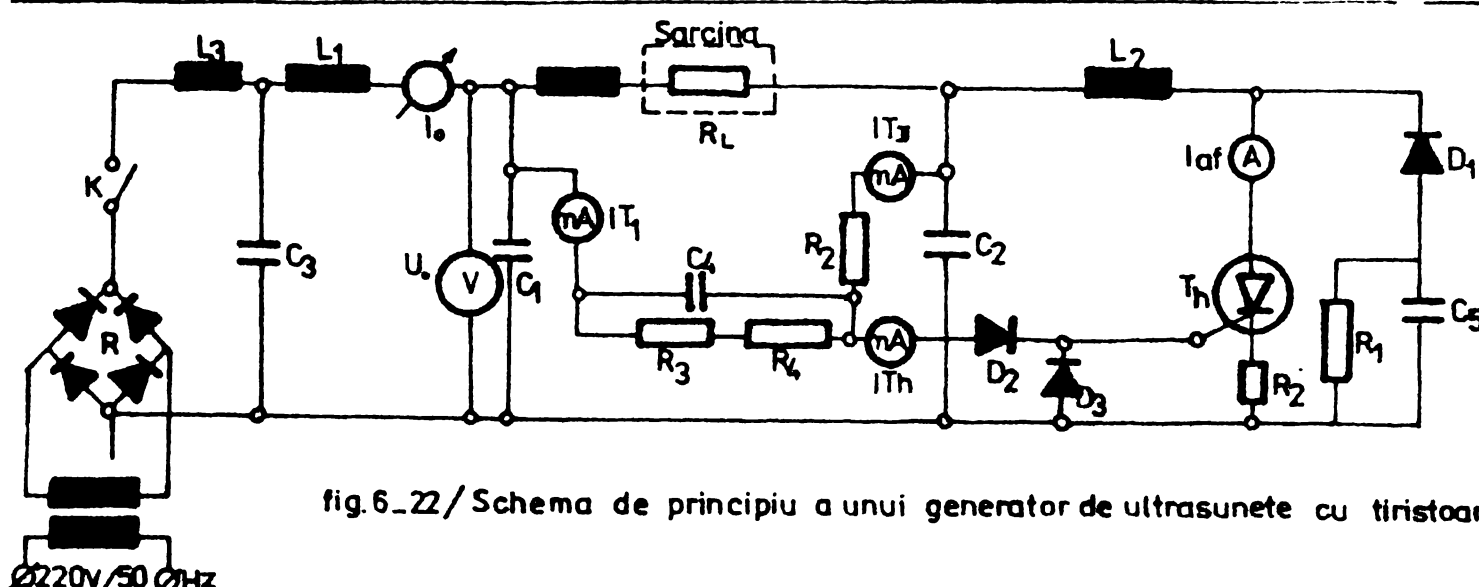


fig.6.22/Schema de principiu a unui generator de ultrasunete cu tiristoare

220V/50 Hz

Pentru duratele de blocare a tiristorului $t = 7,5 - 25 \mu s$, se pot obține frecvențe $f_o = 10 - 30$ KHz.

Puterea generatorului este funcție de datele limită ale tiristorului. Dezavantajul principal al schemei îl constituie faptul că la influențe mai mari ale sistemului mecanic (variații ale sarcinii transductorului mai mari de 10-15%), toate procesele de

încărcare și descărcare ale condensatorului C_1 sunt deformată și sinusoidal cu frecvență ω_o .

6.3. CERCETARI PRIVIND POSIBILITATEA MARIRII PUTERII UTILE SI RANDAMENTUL GENERATOARELOR DE ULTRASUNETE

Pe baza considerațiilor din paragrafele anterioare, se poate concluziona că puterea etajelor finale depinde de o serie de factori ca : alegerea corectă a regimului de funcționare static și dinamic, utilizarea semiconductoarelor la parametrii tehnologiei maximi, debitarea pe o sarcină constantă etc.

Din studiul relațiilor ce definesc regimurile de lucru pentru etajele finale, se observă că în toate cazurile, în expresia puterii utile apare și valoarea rezistenței de sarcină R_s . Scriind expresiile 6.2., 6.7. în funcție de R_s , înlocuind pe K din relația de definiție:

$$K = \frac{U_e}{E_c} = \frac{I_{c.\max.} \cdot R_{s\text{opt}}}{E_c}$$

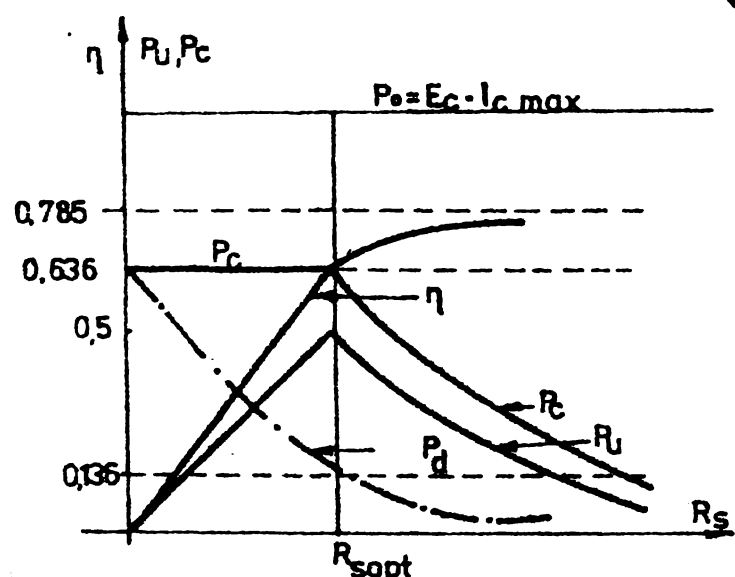


fig. 6.23_Variatia parametrilor energetici functie de R_s

Pt $R_s = R_{s\text{opt}}$ avem :

$$P_u = 0,486 \quad P_{u\text{ max}}$$

$$P_d = 0,136 \quad P_{u\text{ max}}$$

$$\eta = 0,636$$

zistorului, ci o mărime ce poate fi aleasă de proiectant după necesități. Experiențele efectuate cu un amplificator clasa B în contracimp, excitat în regim sinusoidal și dreptunghiular (fig.6.24) au scos în evidență faptul că $R_{s\text{opt}}$ nu este o valoare deosebită critică, în sensul că depășirea valorii $R_{s\text{opt}}$ cu 15-20% provoacă

va rezulta un sistem de ecuații cu variabila R_s . În acest fel, se va putea afla maximul pentru P_u , P_c și P_d , mărimi a căror variație este dată în fig.6.23, grafic valabil pentru un etaj funcționând în clasă B, regim sinusoidal sau de undă dreptunghiulară. Se observă că pentru $R_s = R_{s\text{optim.}}$, puterea utilă este maximă în condițiile unui randament mai scăzut. Pentru $R_s > R_{s\text{opt.}}$, în afară de randament care tinde spre valoarea lui teoretică, toate celelalte mărimi scad. Tinând cont că

$R_{s\text{opt.}}$ depinde de $U_{c.\max.}$ care în aproape toate cazurile este limitat cu dispozitive exterioare, rezultă că R_s nu este un parametru de fabricație al transzistorului, ci o mărime ce poate fi aleasă de proiectant după necesități. Experiențele efectuate cu un amplificator clasa B în contracimp, excitat în regim sinusoidal și dreptunghiular (fig.6.24) au scos în evidență faptul că $R_{s\text{opt}}$ nu este o valoare deosebită critică, în sensul că depășirea valorii $R_{s\text{opt}}$ cu 15-20% provoacă

o micșorare a puterii doar cu 5-10%, dar crește randamentul etajului cu aproximativ 10-15%. Pe baza măsurătorilor efectuate (tabelul 6.3) s-a ridicat graficul experimental din fig. 6.25.

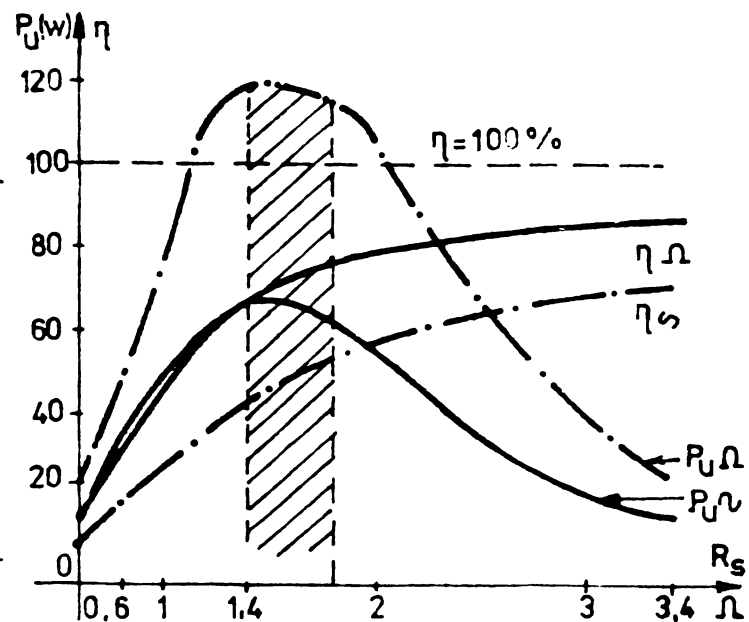
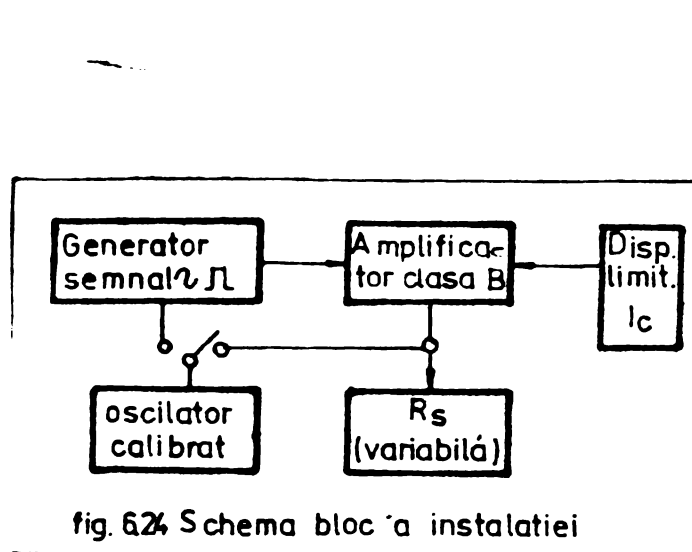


fig. 6.25 Variatia practica a parametrilor energetici functie de P_s

Tabel 6.3.

R_s	P_u (W)		P_c (W)		$\gamma = P_u / P_c$	
	sinus	drept	sinus	drept	sinus	drept
0,6	16	24	160	175	10	14
0,8	29	52	160	175	18	29
1,0	46	85	160	175	28	48
1,2	58	102	160	175	36	59
1,4	69	120	160	175	43	69
1,6	67	118	104	160	47	74
1,8	65	116	103	152	51	76
2,0	57	110	100	141	54	78
2,2	48	90	82	114	58	79
2,4	40	78	65	97	61	80
2,6	33	60	51	74	64	81
2,8	26	49	39	60	66	82
3,0	20	38	29	46	68	82,5
3,2	18	32	26	38	69	83
3,4	16	29	23	34	70	84
3,6	15	27	20	32	70,5	84
3,8	13	24	18	28	71,1	85
4,0	12	22	16	25	71,5	85

In plus, functionarea pe o rezistență de sarcină $R_s < R_{sopt}$ produce și o micșorare a distorsiunii formei semnalului.

Un alt procedeu de mărire a puterii utile pentru etajele clasă B în contratimp îl constituie alimentarea cu tensiune redresată, dar nefiltrată, deoarece în regimul static, variațiile curentului I_c fiind de semn contrar, prin primarul transformatorului de ieșire, creează pulsuri care se anulează reciproc. În acest caz, considerînd sarcina rezistivă în conformitate cu relațiile 6.7. și 6.9. vom avea :

$$P_u = \frac{U_e I_e}{2} = \frac{U_e^2}{2R_s} = K^2 \frac{E_c^2}{2R_s} = K^2 P_{u.\max}$$

$$P_c = \frac{I_c}{2} \frac{E_c^2}{2} = K \frac{E_c^2}{2R_s} = K P_{u.\max}$$

$$P_d = P_c - P_u = \frac{E_c^2}{2R_s} (K - K^2)$$

•

$$\eta = \frac{P_u}{P_c} = K$$

Puterea disipată este maximă cînd derivația în raport cu K se anulează, adică $1 - 2K = 0$; $K = 1/2$.

Pentru $K = 1/2$ rezultă :

$$P_{d.\max} = \frac{1}{4} \frac{E_c^2}{2R_s} = \frac{1}{4} P_{u.\max}$$

Reiese că o pereche de tranzistoare funcționînd în clasă B, alimentată cu tensiune redresată dar nefiltrată, dezvoltă teoretic o putere de ieșire de patru ori mai mare decît puterea admisibilă a celor două tranzistoare luate împreună. În practică, ținînd cont de valorile reale ale lui K, de pierderile pe circuit, se poate obține o putere de ieșire utilă,

$$P_u = (2 - 3) P_{d.admis.}$$

Dezavantajul procedeului:

- se poate aplica numai etajelor clasă B în contratimp;
- sarcina trebuie să aibă componente reactive neglijabile;
- este nevoie de un redresor în plus cu tensiune filtrată pentru celelalte etaje ale generatorului;
- tensiunea de ieșire este modulată în amplitudine cu frec-

vență de pulsație a vîrfurilor tensiunii redresate, fapt ce provoacă și o modulație a amplitudinii vibrațiilor la capătul concentratorului în momentul amorsării lor.

.. In afara elementelor analizate, un rol important în asigurarea puterii necesare în sarcină îl au transformatoarele de ieșire. Menirea lor fiind în special de a asigura adaptarea cu sarcina, ele pot contribui ca elemente reactive- la menținerea sau degradarea puterii de ieșire. Pe lîngă calculul corect al acestora în alegerea transformatoarelor de ieșire, trebuie să se țină seama că :

- utilizarea tolelor obișnuite duce la deformarea caracteristicii de frecvență și la pierderi de putere în limita superioară a benzii de frecvențe (20-40 KHz.);
- utilizarea transformatoarelor fără miez, pe lîngă mărirea gabaritului, duce la micșorarea randamentului în special spre capătul inferior al gamei de frecvență ;
- încercarea de micșorare a dimensiunilor transformatorului prin utilizarea unor materiale cu inducție mare, duce la limitarea puterii transformatorului (secțiunea miezului redusă), funcționarea la limita de saturatie(intrefier mic), valoarea mare a rezistenței și valoarea mică a inductanței înfășurărilor;
- un transformator de putere proiectat pentru funcționarea la semnal sinusoidal va produce distorsiuni mari ale formei impulsului la excitația în regim dreptunghiular sau impuls.

In vederea eliminării acestor dezavantaje, se recomandă construcția transformatoarelor cu miez de ferită sau tablă siliconică $B=12000-20000$), iar calculul să se facă pentru regim de excitație dreptunghiular, regimul sinusoidal fiind considerat ca un caz particular.

Din analiza condițiilor de funcționare a etajelor finale, particularitățile acestora, se poate trage concluzia că pentru mărirea puterii de ieșire a generatoarelor de ultrasunete se impune ca :

- să se aleagă o schemă adecvată funcție de destinația generatorului ;
- semnalul de atac al etajelor finale să fie mare, deoarece în toate cazurile puterea utilă maximă se obține în condițiile $K = 1$;

- cu aceleasi elemente, adoptind forma dreptunghulară pentru etajul de ieșire, puterea utilă crește considerabil (teoretic de 2 ori) ;
- puteri maxime în sarcină se obțin pentru o anumită valoare a acestuia, $R_{s,opt.}$; este recomandabil să se depășească puțin această valoare, în vederea creșterii randamentului etajului final ;
- tranzistoarele etajelor finale să fie solicitate aproape de valorile limită, deoarece puterea dissipată maximă se obține nu la puteri utile mari, ci mult sub nivelul acestora.
- tranzistoarele de putere să fie montate pe radiatoare adecvate. Ignorarea acestui fapt, pe lîngă faptul că nu permite utilizarea tranzistoarelor la performanțele maxime, poate conduce și la distrugerea acestora datorită fenomenului de ambalare termică.

CAPITOLUL 7

CERCETARI TEORETICE SI EXPERIMENTALE PRIVIND CONDIȚIILE DE ADAPTARE A GENERATOARELOR DE ULTRASUNETE CU SARCINA

7.1. RELATIA GENERATOR - SARCINA

In procesele de prelucrări industriale cu ultrasunete, adaptarea generatorului - sursă primară de energie - cu sarcina-transductorul magnetostRICTIV sau piezoelectric, se impune cu deosebită acuitate, deoarece de ea depinde atât utilizarea eficientă a generatorului, cît și randamentul și calitatea prelucrării, cunoscută fiind legătura biunivocă dintre generator și sarcină. Astfel, în cazul unei neadaptări între aceste două elemente, pe lîngă degădarea parametrilor energetici ai generatorului (P_u , η), apare o disipație de energie în transductor, se mărește timpul de prelucrare, iar în cazuri extreme, se poate compromite întregul proces de prelucrare.

Așa cum s-a arătat, sarcina generatorului de ultrasunete este constituită din transductori magnetostRICTIVI sau piezoelectrici, care reprezintă in sine sisteme oscilante dependente de frecvență, apărând deci o primă dificultate - caracterul complex al sarcinii - care poate fi inductiv sau capacativ, funcție de tipul transductorului. Pe de altă parte, chiar și la rezonanță transductorului (unde componenta reactivă este anulată), partea pur rezistivă a sarcinii se poate modifica, deoarece în procesele de sudură, găurire, trefilare, "impedanța" spațiului de lucru variază permanent.

In acest context, adaptarea generatorului cu sarcina devine o problemă complexă, prin adaptare înțelegîndu-se eliminarea caracterului reactiv al sarcinii și asigurarea unui regim optim de funcționare pentru generator, adică realizarea egalității dintre rezistență echivalentă a circuitului de ieșire al generatorului și rezistență de sarcină.

7.1.1. Dependența regimului generatorului de sarcină

Transductorul fiind cuplat în circuitul de ieșire al generatorului, reprezintă deci sarcina acestuia și influențează în mod direct asupra regimului de lucru al generatorului.

Considerind schema echivalentă a unui generator de ultra-

sunete cea din figura 7.1., unde:

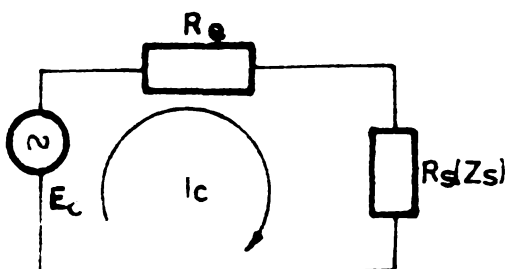


fig.7.1 Schema echivalentă a generatorului

E_c - tensiunea de alimentare;
 R_e - rezistență echivalentă de ieșire a generatorului ;
 R_s - rezistență de sarcină, în cazul nostru rezistență circuitului echivalent al transductorului aflat la rezonanță;
 I_c - componenta alternativă a curentului din etajele finale; parametrii regimului de lucru al generatorului vor fi:

- puterea debitată în sarcină P_u :

$$P_u = \frac{E_c^2 R_s}{(R_s + R_e)^2} = \frac{1}{2} I_c^2 \cdot R_s \quad (7.1.)$$

- puterea consumată și randamentul :

$$P_c = \frac{E_c^2}{R_s + R_e} ; \quad \eta = \frac{P_u}{P_c} = \frac{R_s}{R_s + R_e} \quad (7.2.)$$

Puterea maximă transmisă sarcinii se va obține în situația $R_s = R_e$, ceea ce reprezintă de fapt și condiția analitică a adaptării, situație în care randamentul nu depășește totuși 50%. Variația calitativă a parametrilor energetici ai generatorului (P_u , η , P_c), funcție de raportul R_s/R_e , este ilustrată în figura 7.2.

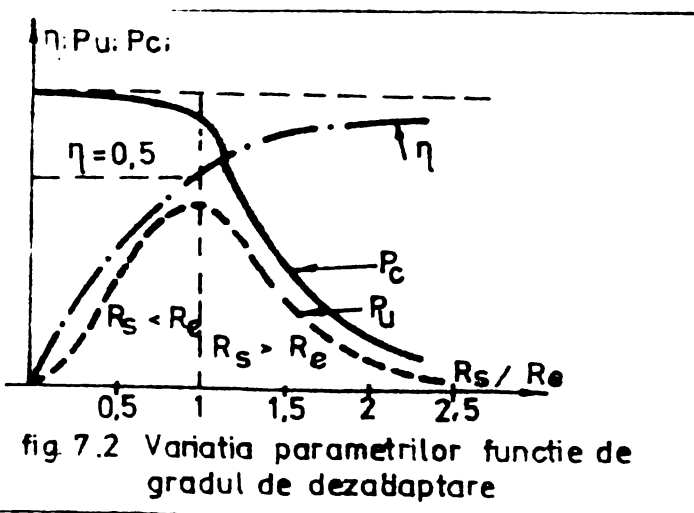


fig.7.2 Variatia parametrilor functie de gradul de dezadaptare

Se observă că pentru $R_s = 0$ toată puterea sursei se consumă prin disipație în etajele finale și $\eta = 0$. Până în apropierea zonei de adaptare ($R_s = R_e$), puterea utilă și randamentul sănătă proporcională cu R_s . După acest punct, puterea utilă începe să scăde (deoarece scade I_c), dar randamentul continuă să crească, deoarece P_u scade mai

încet decât P_c , creștere ce se micșorează pe măsura apropierea de valoarea maximă teoretică.

Deoarece R_s nu este constantă, ci variază cu frecvența (fig.5.12), menținându-se maximă într-o plajă destul de mică de

frecvență, pentru a se realiza o bună adaptare, este necesar ca în prealabil- generatorul să oscileze pe frecvență de rezonanță a transductorului, f_o .

Această situație ridică o serie de probleme privind atât siguranța în funcționare a generatorului, cît și eficiența acestuia. Astfel, în afara zonei de rezonanță a transductorului impedanța lui având un pronunțat caracter inductiv (capacitiv pentru transductoarele piezoelectrice), solicită foarte mult etajele finale, ducind chiar la distrugerea acestora. În concluzie, se poate aprecia că sarcina pe care debitează generatoarele de ultrasunete influențează aproape toți parametrii acestuia, P_u , γ , f_g , cu consecințe directe asupra calității procesului de prelucrare.

7.1.2. Particularitățile sarcinii generatoarelor de ultrasunete

Datorită rolului lor de a transforma energia electrică în energie ultrasonoră, transductoarele magnetostrictive sau piezoelectrice - sarcini ale generatoarelor de ultrasunete- prezintă o serie de caracteristici specifice. Astfel:

- caracterul rezistenței depinde de frecvență, fiind în general reactiv și numai la rezonanță sarcina devine activă, comportarea transductoarelor sub acest aspect fiind a unor circuite oscilante derivată. Acest fapt duce la pierderi suplimentare de energie în transductor, la scăderea puterii utile și randamentului ;
- însăși această frecvență de rezonanță, unde sarcina are un caracter rezistiv, nu rămîne constantă și variază datorită faptului că transductorul are și el, la rîndul lui, altă sarcină- ansamblul concentrator- sculă- material de prelucrat-, sarcină a cărei impedanță nu este constantă, ci se modifică odată cu avansarea procesului de prelucrare. În această situație, chiar și la rezonanță, rezistența echivalentă a întregii sarcini pe care debitează generatorul capătă un caracter inductiv- activ sau capacativ-activ (pentru transductoarele piezoelectrice);
- utilizarea transductoarelor magnetostrictive impune, prin însuși principiul lor de funcționare, generatoare care să furnizeze puterea de ieșire necesară pe seama unui curent ridicat, pe cînd pentru excitarea transductoarelor piezo-electrice este nevoie de o tensiune înaltă, condiții care fac aproape imposibilă folosirea aceluiasi generator pentru ambele tipuri de transductoare, cel mult echiparea a-

cestuia cu două canale de putere diferite, soluție costisitoare și neeficientă sub aspectul randamentului și fiabilității ;

- spre deosebire de alte instalații, legătura generator-sarcină fiind biunivocă, toate fluctuațiile circuitului de sarcină influențează funcționarea generatorului. Astfel, modificarea condițiilor initiale ale sarcinii (lungimea concentratorului, impedanța spațiului de lucru, valoarea rezistenței complexe a transductorului datorită încălzirii) duc la devierea frecvenței transductorului și deci, la scăderea puterii utile transmise sarcinii.

Aceste caracteristici ale sarcinii impun limitări în adaptare, în sensul că aceasta trebuie să fie cât mai bună nu pe o frecvență fixă ci într-un ecart de frecvențe în care variază f_0 . În plus, puterea de ieșire se impune să rămînă constantă indiferent de valoarea rezistenței echivalente a sarcinii - condiție ce poate fi îndeplinită doar cu ajutorul unor scheme de reglaj automat al puterii de ieșire a generatoarelor. ••

7.2. METODE DE ADAPTARE A GENERATOARELOR CU SARCINA

Indiferent de tipul generatoarelor de ultrasunete, de forma oscilațiilor de ieșire sau transductorul utilizat, legătura generator-sarcină nu se poate face direct, ci prin intermediul unui element de adaptare. Din acest punct de vedere, această legătură poate fi:

- a. - legătură simplă (fig.7.3.)

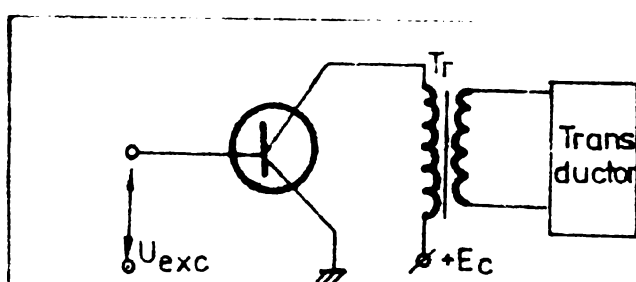


fig. 7.3_ Legatura simpla

In acest caz, sarcina fie că prezintă o parte componentă a circuitului de ieșire a etajelor finale, fie că îndeplinește rolul sistemului oscilant. Legătura se face printr-un transformator, toate elementele sarcinii fiind transferate în înfășurarea primă a acestuia.

In cazul că sarcina are o valoare fixă (spălarea cu ultrasunete), unde impedanța echivalentă a mediului de lucru rămîne aproximativ constantă, legătura se poate face printr-un condensator de separare a componentei continue.

b.- legătura complexă (fig.7.4.)

Comportă două sau mai multe circuite. În primul circuit lucrează etajul final, în celălalt sarcina. Utilizarea acestei legături permite să se mărească gradul de atenuare a armonicilor superioare și să se micșoreze influența variației sarcinii asupra regimului de funcționare a generatorului. În ambele cazuri, puterea transmisă sarcinii depinde de randamentul

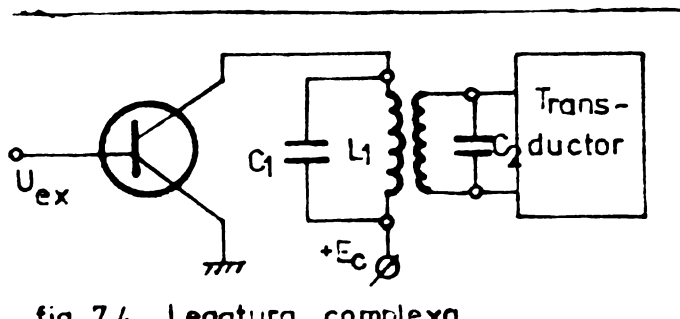


fig. 7.4. Legătura complexă

circuitului oscilant sau al transformatorului.

7.2.1. Adaptarea în cazul transductoarelor magnetostrictive

Așa cum s-a arătat, transductorul magnetostriktiv poate fi echivalat din punct de vedere electric cu un circuit oscilant care, în afara zonei de rezonanță, prezintă o impedanță inductivă, iar pe frecvența de rezonanță f_o , o rezistență activă. Cuplarea concentratorului la transductor are drept consecință faptul că și la rezonanță se pierde caracterul pur rezistiv al sarcinii, transformându-se în unul inductiv-activ. În acest fel, schema echivalentă a transductorului și legătura lui cu generatorul se prezintă ca în fig.7.5.

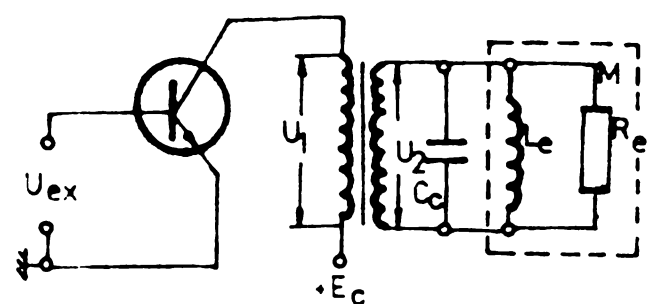


fig 7.5. Circuitul echivalent al transducto-
rului magnetostriktiv

din figura 7.5. În vederea eliminării caracterului inductiv al sarcinii, se introduce în paralel pe transductor un condensator de compensare C_c , care împreună cu L_e formează pe frecvența de rezonanță f_o un circuit oscilant derivatie ce prezintă pe această frecvență o rezistență pu-

ră. Prin introducerea capacității C_c se "abate" puțin frecvența de rezonanță electromagnetică a transductorului ω_{em} , apropiind-o foarte mult de cea mecanică ω_m , frecvență la care transductorul absoarbe maximul de putere de la generator.

Variația puterii debităte sarcinii funcție de C_c este redată în graficul din fig.7.6., iar forma semnalului de ieșire în fig. 7.8.a,b,c. Instalația cu care s-au efectuat experiențele este prezentată în fig.7.7. și este compusă din generator, frecventmetru

pentru măsurarea frecvenței de rezonanță f_o și menținerea acordului $f_g = f_o$, un oscilograf în vederea vizualizării formei semnalului de excitare a transductorului.

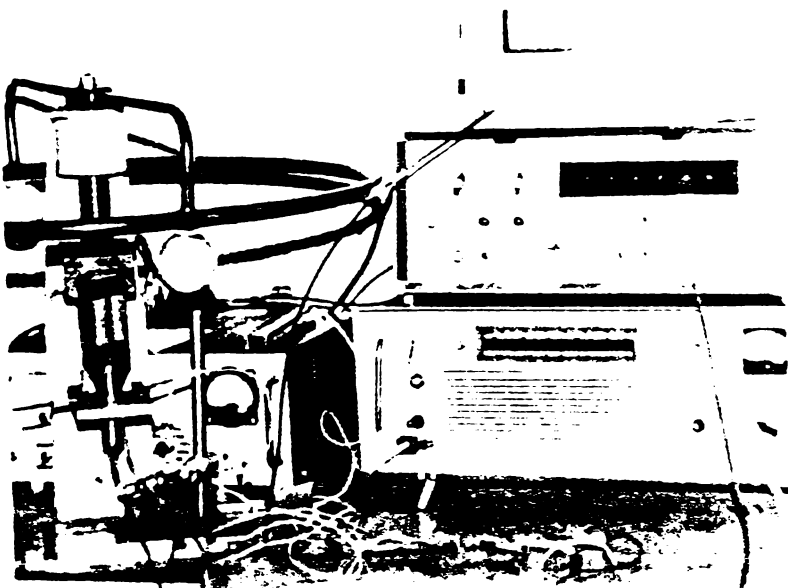
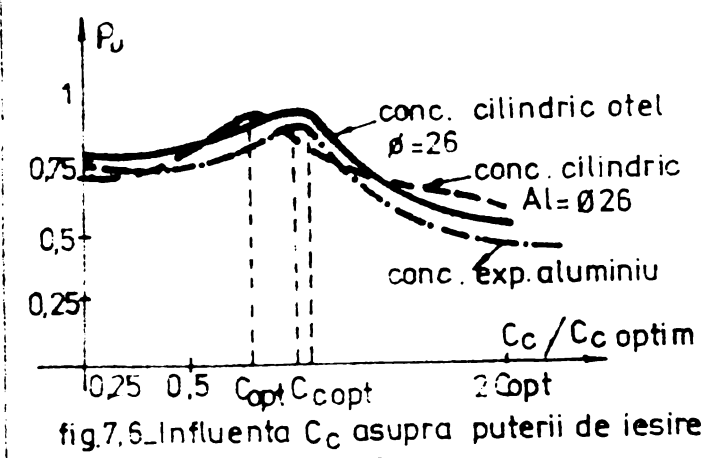


fig.7.7.-Instalația de verificare a influenței sarcinii asupra funcționării generatorului

- a. Analiza graficului scoate în evidență faptul că variația puterii nu este simetrică față de valoarea $C_c = C_{c \text{ optim}}$, în sensul că pentru $C_c > C_{c \text{ optim}}$ puterea scade mai rapid. Acest fapt se poate explica prin micșorarea valorii X_{cc} odată cu creșterea lui C_c și deci, săntarea mai puternică a lui R_e , situație ilustrată și de fig.7.8.
- b. Astfel, dacă pentru $C_c = C_{c \text{ optim}}$ forma semnalului este sinusoidală, cu o ușoară modulație datorată neidentității celor două frecvențe de rezonanță (fig.7.8.a), micșorarea lui C_c la jumătate din valoarea optimă provoacă distorsiuni de formă (fig.7.8.b) datorită defazajului dintre I_c și U_e pe care îl introduce X_c .
- c. Mărirea lui C_c de două ori peste valoarea optimă are efecte negative atât asupra formei, cât și amplitudinii semnalului (fig.7.8.c).

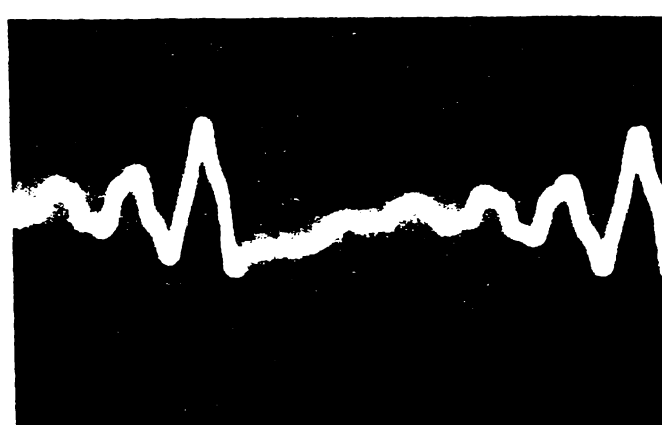
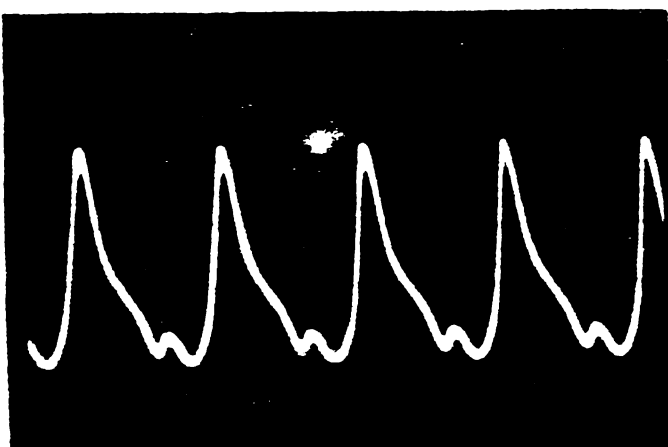
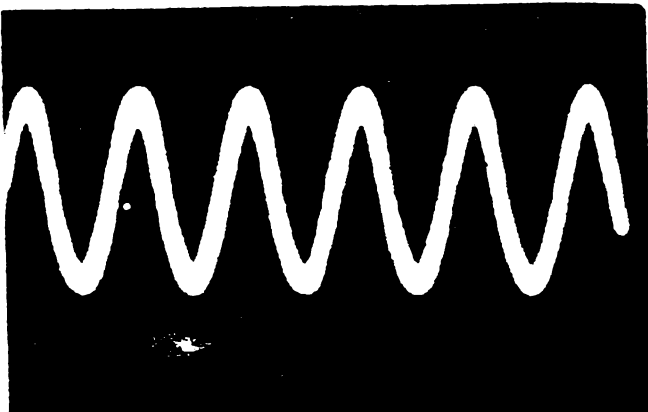


fig.7.8.-Forma semnalului de ieșire funcție de C_c .

Cele două frecvențe de rezonanță ω_{em} și ω_m sunt distincte, în plus mai apare o rezonanță a circuitului $C_c L_e$ diferită de f_o . În afara acestui punct, X_c șunteează rezistența echivalentă a transductorului, șuntare cu atât mai puternică cu cît f_o este mai mare.

A ieșit în evidență că C_{optim} pentru un generator dat și un transductor având aceeași f_o nu este același, ci depinde de tipul concentratorului, de impedanța echivalentă pe care o introduce el (graficele punctate fig.7.6.)

Cuplarea generatorului la transductorul magnetostriktiv se face în funcție de tipul acestuia, în sensul că pentru premagnetizare poate fi utilizat un singur bobinaj (fig.7.9) sau două (fig. 7.10).

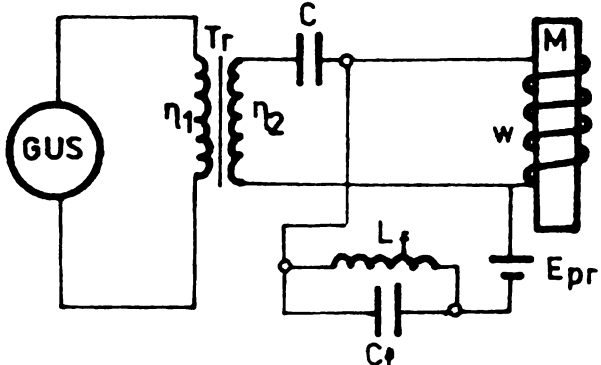


fig. 7.9_Legatura generator-transductor cu un singur bobinaj

In primul caz, se utilizează un singur bobinaj și pentru excitarea transducto- rului și pentru premagnetiza- re. Condensatorul C protejează ieșirea generatorului împotriva pătrunderii curentului continuu de premagne- tizare în circuitele acestuia.

In cel de-al doilea caz, cele două bobinaje sunt indepen- dente.

In ambele cazuri, filtrul $L_f C_f$ este conectat în paralel pe bobinajul transducto- rului, având menirea pe de o parte de a nu permite curentului de excitare să pă- trundă în circuitul sursei de premagnetizare, iar pe de altă parte, de a îmbunătăți

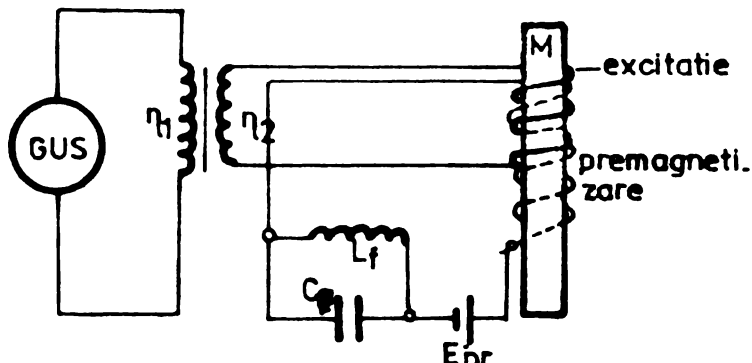


fig.7.10_Legatura generator-transductor cu două circuite

adaptarea, el constituind un sistem oscilant cuplat electric cu transductorul. Pentru calculul complet al elementelor de adaptare în general, se cunosc: f_o , n_1 , n_2 , aria S_c a unei coloane a trans- ductorului, lungimea medie l_m a unei linii de forță magnetice, permeabilitatea magnetică μ a materialului, tensiunea U_e , curentul I_e (de excitare a transductorului) și defazajul dintre ele, $\cos\varphi$.

Notînd:

Z_{ge} = impedanța de ieșire a generatorului ;

Z_{tr} = impedanța transductorului ;

Z_f = impedanța filtrului,

calculul adaptării se reduce la determinarea condițiilor pentru care este satisfăcută relația :

$$Z_{ge} = Z_{tr} + Z_f \quad (7.3.)$$

Impedanța transductorului este dată de relația:

$$Z_{tr} = \frac{X_c (R + X_L)}{R + X_L + X_c} = \frac{R + j\omega L}{1 - \omega^2 LC + j\omega RC} \quad (7.4.) \text{ unde:}$$

R = rezistență ohmică a bobinajului transductorului ()

L = impedanță bobinajului (H)

C = capacitatea parazită dintre spirele bobinajului transductorului (F)

$$\omega = 2\pi f_c$$

X_L , X_C = reactanțele inductive și capacitive ale transductorului

$$R = \frac{1}{S} \quad \text{și} \quad L = \frac{4\pi \mu_0 W^2 S_c \cdot 10^{-9}}{l_m} \quad (7.5.)$$

Valoarea capacității C dintre spire nu se calculează, ci în mod ușor se alege:

$$C = 10 - 20 \text{ pF}$$

funcție de cît de strîns este efectuat bobinajul (pasul dintre spire).

Valoarea impedanței filtrului este dată de relația :

$$Z_f = \frac{X_L' \cdot X_C'}{X_L' + X_C'} = \frac{j\omega L_f}{1 - \omega^2 L_f C_f} \quad (7.6.)$$

unde:

X_L' = $j\omega L_f$ = reactanță inductivă a filtrului ;

X_C' = $1/j\omega C_f$ = reactanță capacativă a filtrului

In mod obișnuit, se alege $L_f \approx (10-15) L_{transd.}$, iar valoarea lui C_f rezultă :

$$C_f = \frac{1}{\omega^2 L_f} \quad (7.6!)$$

relație valabilă doar la rezonanță.

Valorile obținute pentru Z_{tr} și Z_f permit determinarea impedanței de sarcină :

$$Z = \frac{Z_{tr} \cdot Z_f}{Z_{tr} + Z_f} \quad (7.6.'')$$

Cunoscindu-se valoarea lui Z , pentru schema din fig.7.5. rezultă imediat:

$$X_{Le} = Z \sin\varphi ; R_e = Z \cdot \cos\varphi \quad (7.7.)$$

Capacitatea de compensare C_c se determină din condiția ca pe frecvența de rezonanță să avem :

$$X_{Le} = X_{cc} \quad (7.8.)$$

Cunoscind din calculul electric al generatorului valoarea optimă a rezistenței de sarcină, $R_{sopt.}$, valoarea rezistenței echivalente de ieșire R_e , rezultă coeficientul de transfer :

$$\gamma = \frac{R_e^{1/2}}{(\eta_T \cdot R_{sopt})^{1/2}} \quad (7.9.)$$

$$\eta_T = \text{randamentul transformatorului} = 0,80-0,95.$$

Cu valorile reieseite din calcul se realizează o adaptare aproximativă doar, experiențele practice au scos în evidență faptul că funcționarea generatorului fără capacitate de compensare adecvată este echivalentă cu funcționarea pe sarcină dezacordată.

7.2.2. Adaptarea în cazul transductoarelor piezoelectrice

Si în acest caz, transductorul poate fi privit din punct de vedere electric ca un circuit oscilant a cărui impedanță în afară zonei de rezonanță prezintă un caracter capacativ, iar la rezonanță un caracter rezistiv. Prin cuplarea concentratorului la transductor, chiar și pe frecvența de rezonanță, caracterul sarcinii va rămâne capacativ-activ.

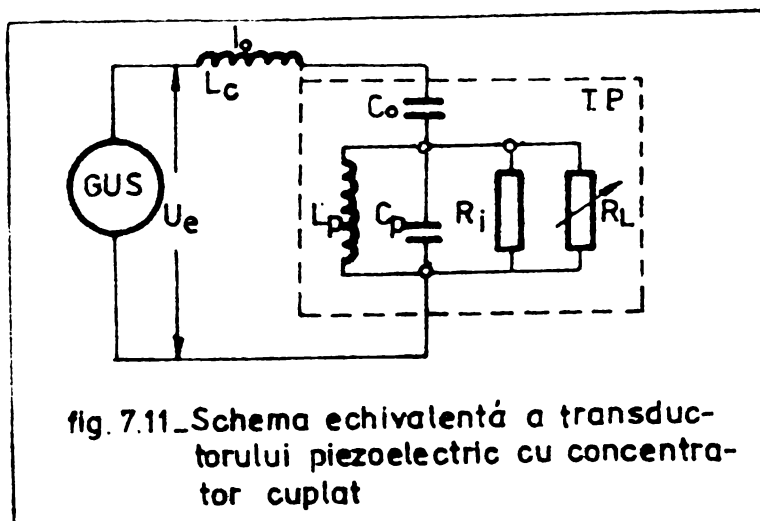
Schema echivalentă a transductorului piezoelectric este reprezentată în fig. 7.11., unde:

C_c = capacitatea parazită a legăturii generator-transductor ;

R_L = rezistența de sarcină a transductorului (variabilă)

$$R_L = (R_{mec.})^{-1},$$

deci ea este funcție de rezistență mecanică pe care o "vede" concentratorul.



L_p , C_p = constante mecanice ale ansamblului transductor-concentrator, transformate în capacități și inductanțe care la rezonanță mecanică ω_m a transductorului îndeplinesc condiția:

$$X_{L_p} = X_{C_p}$$

R_i = rezistență internă ohmică a transductorului și este constantă.

L_c = bobina de compensare

introdusă pentru eliminarea caracterului capacativ al impedanței totale a transductorului în punctul de rezonanță.

Calculul elementelor de adaptare se efectuează ca și în cazul precedent, avându-se în vedere faptul că la rezonanță avem:

$$X_{C_0} = X_{L_c} \text{ și } X_{L_p} = X_{C_p} \quad (7.10.)$$

deci impedanța filtrului L_c , C_0 se transformă într-o rezistență pură, constantă ca valoare, de asemenea și cea a circuitului oscilant L_p , C_p . Cum și R_i este constantă, la rezonanță impedanța sarcinii Z_{tr} va avea un caracter activ, dar variabil (R_L nu este constantă ci depinde de parametrii procesului de prelucrare). Deci, puterea debitată de generator pe transductor, în cazul că amplitudinea oscilațiilor este constantă, depinde de R_L , deoarece $I_o = U_e \cdot R_L^{-1}$.

Se poate trage concluzia că o adaptare perfectă nu se poate realiza nici la rezonanță, deoarece generatorul debitează pe sarcină variabilă. Metodele de adaptare în această situație vor fi tratate în paragrafele următoare.

7.2.3. Adaptarea generatoarelor de oscilații dreptunghiulare

Utilizarea acestor tipuri de generatoare s-a extins în special în domeniul puterilor medii și mari, deoarece se pot obține puterile necesare cu tranzistoare funcționând în regimuri termice lejere, mărindu-se astfel fiabilitatea generatoarelor.

Deoarece tensiunea la ieșire are o formă dreptunghiulară,

ea poate fi scrisă sub formă:

$$u(t) = U_e \cos \omega t - \frac{U_e}{3} \cos 3\omega t + \frac{U_e}{5} \cos 5\omega t + \dots \quad (7.11)$$

Apar deci armonici impare care produc pierderi suplimentare în transductor, impunându-se măsuri speciale de adaptare în scopul micșorării influenței acestor armonici.

O primă măsură în acest sens o constituie intercalarea unui filtru între generator și transductor, acordat pe fundamentală: schema echivalentă a ansamblului generator-sarcină este redată în fig.7.12.

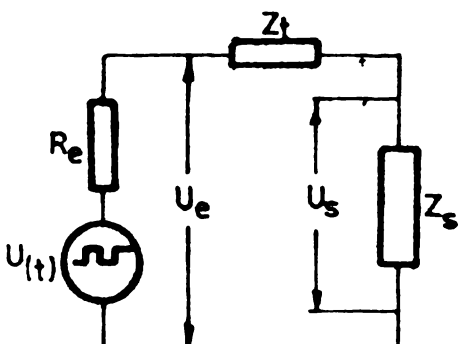


fig.7.12 - Schema principala a cupajului cu sarcină

$U_e(t)$ = sursa de tensiune sub formă dreptunghiulară ;
 R_e = rezistență echivalentă de ieșire a generatorului ;
 Z_f = impedanță filtrului de atenuare a armonicilor superioare ;
 Z_s = impedanță complexă a sarcinii.
 Din schema echivalentă se observă că pentru $Z_f = 0$ și o valoare mică a lui R_e , pe sarcină se va regăsi aproape în întregime tensiunea U_e de formă dreptunghiulară.

Influența armonicilor superioare poate fi apreciată cu ajutorul coeficientului tensiunii de ieșire a generatorului " γ ", mărime care arată cît din tensiunea U_e se aplică circuitului $Z = Z_s + Z_f$ și este definită de relația :

$$\gamma = \frac{\dot{Z}}{\dot{Z} + R_e}, \text{ unde: } \dot{Z} = Z_f + Z_s \quad \dot{Z} = |Z| \cdot e^{j\varphi} \\ \dot{Z}_s = |Z_s| \cdot e^{j\varphi_s}; \dot{Z}_f = |Z_f| \cdot e^{j\varphi_f}$$

iar φ_s = unghiul de fază al tensiunii pe sarcină
 φ = unghiul de fază al tensiunii pe impedanță Z .

Rezultă:

$$\gamma = \left(1 + \frac{R_e}{|Z|} \cdot e^{-j\varphi} \right)^{-1}$$

Fiind o valoare complexă, și γ are un unghi de fază, θ , dat de relația:

$$\operatorname{tg} \theta = \frac{R_e}{|Z|} \cdot \sin \varphi \left(1 + \frac{R_e}{|Z|} \cdot \cos \varphi \right)^{-1} \text{ și în modul vom avea:}$$

$$|\gamma| = \frac{1}{\left(1 + \frac{|Z|}{R_e} \cdot \cos \varphi + \frac{|Z|^2}{R_e^2} \right)^{1/2}}$$

Din faptul că $\varphi, \varphi_s, |Z|$, sunt funcții de frecvență, rezultă că și

μ și θ sunt funcții de frecvență și pentru fiecare armonică ele vor avea o valoare distinctă.

Dacă $Z_f \neq 0$, pe lîngă μ se introduce și noțiunea de "coefficient al tensiunii de pe sarcină", μ_s , care arată care parte a tensiunii se regăsește pe sarcină :

$$\mu_s = \frac{Z_s}{Z + R_e} = |Z_s| \cdot |Z|^{-1} \cdot |\mu| \cdot e^{j(\varphi_s - \varphi - \theta)}$$

iar în modul:

$$|\mu_s| = |Z_s| \cdot |Z|^{-1} \cdot |\mu|.$$

Se poate demonstra că puterea activă consumată pe transductor depinde nu numai de valoarea armonicii corespunzătoare, ci și de caracterul sarcinii pe această armonică. Pentru orice armonică (de exemplu cea de gradul n) puterea debitată de generator va fi :

$$P^{(n)} = \frac{[U^{(n)}]^2}{2 \cdot |Z_n|} \cdot \cos \varphi_n = \frac{8 U_e^2}{\pi^2 \cdot n^2 \cdot |Z_n|} \cdot |\mu_n|^2 \cdot \cos \varphi_n$$

(7.12.)

unde: $U^{(n)} = \frac{4}{\pi} \cdot U_e \cdot n^{-1} \cdot |\mu|$ este amplitudinea armonicii de ordinul n pe sarcină.

Puterea pierderilor pe elementul de cuplare se determină cu ajutorul rezistenței R_e pe care o considerăm independentă de frecvență:

$$P_c^{(n)} = \frac{8 U_e^2}{\pi^2 R_e^2 \cdot |Z_n|^2} \cdot R_e \cdot |\mu_n|^2.$$

In acest caz, rezultă:

randamentul generatorului

$$\eta = \sum P^{(n)} \cdot (\sum P^{(n)} + \sum P_c^{(n)})^{-1}$$

(7.13.)

In cazul cînd $Z_f = 0$, pentru transductoare reale vom avea:

$Z_s = R_{ee} + j \omega L_{ee}$ pentru transductoare magnetostriktive;

$Z_s = R_{ee} + (j \omega C_e)^{-1}$ pentru transductoare piezoelectrice.

Din analiza relațiilor ce determină pe μ , rezultă că el este minim pe fundamentală. Pe celelalte armonici crește puțin în cazul transductorului magnetostriktiv, ($X_L = j \omega L$). In acest caz, apar pierderi în transductor dar nu prea mari, deoarece dacă pe frecvență de bază $|\mu| = 0,93 - 0,98$, se ajunge ca pentru armonica a 6-a și mai sus să avem $|\mu| \approx 1$. In comparație cu cazul sinusoidal, randamentul scade cu 5-10 % .

La transductorul piezoelectric, μ este maxim pe fundamentală și scade pe celelalte armonici ($Z_s = 1/j\omega C$). Existența armonicilor duce în acest caz la pierderi mai mari și o scădere bruscă a rădamentului.

Rezultă că pentru regimul dreptunghiular, este preferabil să se utilizeze transductoare magnetostriuctive.

Pentru a înlătura pierderile ce apar în sarcină și în elementele de cuplaj ale generatorului cu sarcina, este necesar să se reducă la minimum rezistențele elementelor de adaptare pe frecvență de bază (f_0) și să se mărească pe cît posibil valoarea rezistențelor pe frecvența armonicelor, prin aceasta micșorând curentii acestor armonici, deci și pierderile datorate lor.

Acest deziderat poate fi îndeplinit doar de circuite oscilante montate ca filtre, ele putînd îndeplini condiția ca $Z_f = 0$ pe prima armonică (f_0), iar pentru celelalte armonici Z_f să fie cît mai mare. În acest caz, pe frecvența de bază vom avea:

$$|\mu_n| \approx |\mu_{s1}|, \text{ iar pe armonici}$$

$$|\mu_n| \approx 1 \text{ și } |\mu_{sn}| \approx 0$$

Schema unor asemenea filtre este redată în fig. 7.13. a și b.

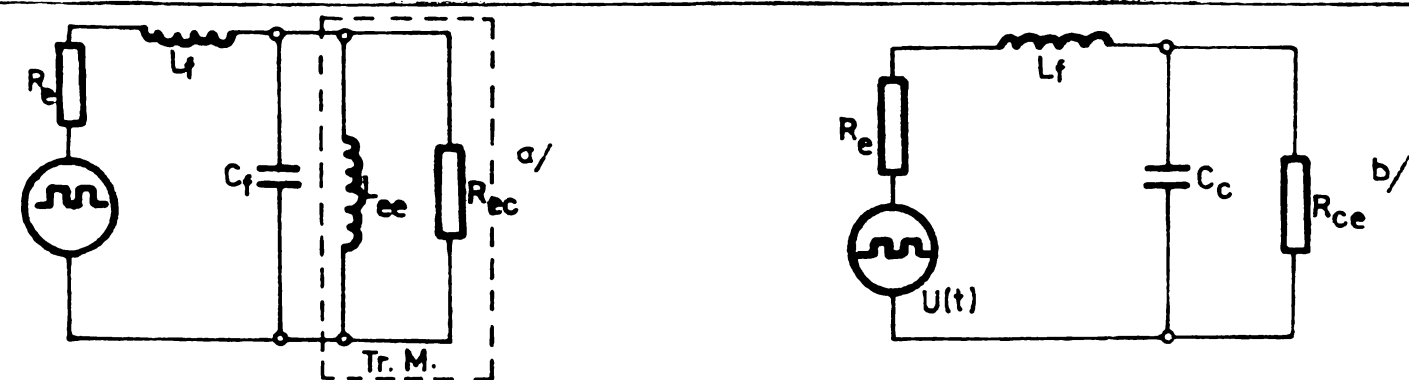


fig. 7.13 - Scheme practice de filtre atenuatoare

a/ pentru un transductor magnetostriactiv

b/ pentru un transductor electric

Pentru transductorul magnetostriactiv, C_f are rol și de capacitate de compensare, deci el trebuie astfel ales ca pe frecvența de bază circuitul $L_f C_f L_{ee}$ să prezinte o rezistență activă pură. Impedanța transductorului avînd un caracter inductiv, pentru orice frecvență f_0 , rezultă că pe armonicele superioare vom avea :

$$|\mu_{sn}| \approx 0 \text{ și } |\mu_n| \rightarrow 0, \text{ fapt ce permite obținerea unei tensiuni sinusoidale pe sarcină în condițiile formei dreptunghiu-}$$

lare la ieșirea generatorului. În aceste condiții, pe frecvență fundamentală, sarcina va prezenta o rezistență activă R_{sa}

$$R_{sa} = \frac{R_{ee}}{1 + \frac{R_{ee}^2}{\omega^2 L_{ee}^2} (1 - \omega^2 L_{ee} C_f)^2}$$

pe ea separîndu-se doar amplitudinea primei armonici, U_{el}

$$U_{el} = /f/ \cdot U_e, \text{ iar curentul în sarcină}$$

$$I_1 = \frac{U_{el}}{R_{sa}} = \frac{/f/ \cdot U_e}{R_{ee}} \left[1 + \frac{R_{ee}^2}{\omega^2 L_{ee}^2} (1 - \omega^2 L_{ee} C_f)^2 \right]$$

și puterea utilă debitată de generator:

$$P_1 = \frac{U_{el} \cdot I_1}{2} = \frac{/f/^2 \cdot U_e^2}{2 R_{ee}} \left[1 + \frac{R_{ee}^2}{\omega^2 L_{ee}^2} (1 - \omega^2 L_{ee} C_f)^2 \right]$$

Cunoscind parametrii transductorului magnetostriativ (R_{ee} , L_{ee}) și dînd o valoare lui C_f , din condiția ca $(\omega_1 \cdot C_f)^{-1} > \omega_1 \cdot L_{ee}$, se poate determina și valoarea inductanței L_f :

$$L_f = L_{ee} \frac{\omega^2 L_{ee} C_f - 1}{(\omega^2 L_{ee} C_f - 1)^2 + \frac{\omega^2 L_{ee}^2}{R_{ee}^2}}$$

In mod analog se calculează și elementele filtrului de atenuare pentru transductori piezoelectrici.

Din experiențe a reieșit că utilizarea filtrelor de suprimentare a armonicelor superioare la generatoarele ce funcționează în regim de comutație permit ridicarea randamentului la 85-90%, în condițiile în care în acest regim, față de cel sinusoidal, pierderile în generator și elementele de couplaj cu sarcina se micșorează de 3-5 ori.

1.3. PROCEDEE DE ADAPTARE A GENERATOARELOR DE ULTRASUNETE CU SARCINA VARIABILA

Metodele de adaptare a generatoarelor cu sarcina, descrise în paragrafele anterioare, nu s-au referit la limitările impuse de sarcina variabilă, toate considerațiile făcute fiind valabile în zona de rezonanță a transductorului, f_o .

In cazul preluorării cu ultrasunete, variația sarcinii se poate prezenta sub două forme: datorită divergilor factori per-

turbatori transductorul deviază de pe frecvență de rezonanță și atunci se schimbă caracterul sarcinii, apar componentele ei reactive X_L sau X_C care provoacă un defazaj între tensiunea U_e și curentul I_e de excitație, sau transductorul menținându-se în zona de rezonanță, sarcina își păstrează caracterul rezistiv dar se modifică valoarea ei datorită variației "impedanței" spațiul de prelucrat, modificare ce afectează direct asupra puterii furnizate de generator.

7.3.1. Funcționarea generatorului pe sarcină reactivă

Această situație apare în momentul cînd procesul de prelucrare este întrerupt, sarcina transductorului fiind "decuplată", generatorul debitînd în gol, sau în faza inițială de pornire, cînd transductorul nu a ajuns încă la rezonanță, prezentînd în acest caz o sarcină complexă.

Sarcina reactivă se manifestă și în cazul devierii transductorului de pe frecvență de rezonanță, dar această situație poate fi rezolvată cu ajutorul schemelor R.A.F. analizate în capituloanele anterioare.

In primul caz, pe lîngă utilizarea ineficientă a generatorului, funcționarea pe sarcină reactivă este realmente periculoasă deoarece săt solicitate peste limită etajele finale.

Este cunoscut faptul că la amplificatoarele de putere, punctul de funcționare nu descrie o dreaptă decît în cazuri particulare, ci o curbă complexă care (teoretic) poate fi determinată analitic prin rezolvarea sistemului :

$$U_{CE} = f_1(t); I_c = f_2(t).$$

Avînd în vedere doar aspectul calitativ, pentru un semnal de atac de formă descrisă în fig.7.14., curba dinamică de sarcină în cazul unui etaj final ce funcționează pe sarcină inductivă(transductorul magnetostriktiv în afara zonei de rezonanță) este ilustrată în fig.7.15.

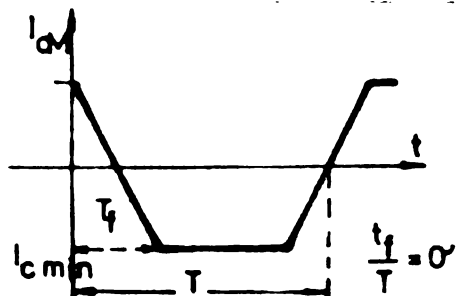


fig. 7.14_Semnal de atac pentru determinarea curbelor de sarcină

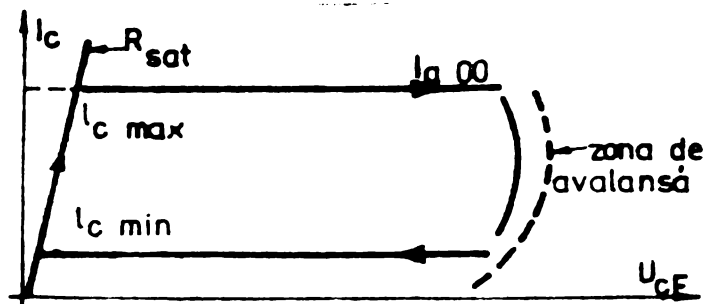


fig. 7.15_Curba reală de sarcină limitată de canalele de saturatie și avalansa

Pentru $C \rightarrow 0$ ($t_f \rightarrow 0$), în cazul sarcinii $Z = j\omega L$, vom avea :

$L \frac{d_i}{dt} \rightarrow \infty$, astfel încît curba de sarcină va fi reprezentată de două drepte paralele de coordonate I_{cmax} și I_{cmin} , ce se întind la ∞ . Deoarece pentru un tranzistor n.p.n. parametrii își pierd semnificația la $U_{CE} < 0$, dreptele vor fi limitate la stînga de caracteristica de saturatie, iar la dreapta de zona de avalanșă a tranzistorului. În aceleasi condiții, pentru $Z = R_{||jX_e}$ (transductorul piezoelectric în afara zonei de rezonanță), curba de sarcină se va dezvolta de-a lungul axei I_c .

Se observă că regimul cel mai periculos apare în cazul funcționării pe sarcini inductive, deoarece dezvoltarea curbei dinamice are loc pe axa tensiunilor cu riscul de a depăsi zonele de avalanșă. Eventuala depășire a lui I_{cmax} poate fi evitată prin limitarea acestuia cu dispozitive exterioare. Funcționarea pe sarcină inductivă este periculoasă chiar și în cazul cînd puterea dissipată poate să fie sub cea admisibilă, deoarece la trecerea din starea de conductie în cea de blocare, curentul prin tranzistoare nu poate scădea rapid (inductanța sarcinii se opune variațiilor de curent) și în această situație, tensiunea U_{CE} crește de la un ciclu de comutare la altul datorită transferului de energie reactivă între etajul final și sarcină. Această creștere a tensiunii U_{CE} duce la distrugerea tranzistoarelor finale prin fenomenul de "străpungeră secundară". Protecția etajelor finale în această situație se poate realiza cu ajutorul unei diode Zehner de putere (fig.7.16)

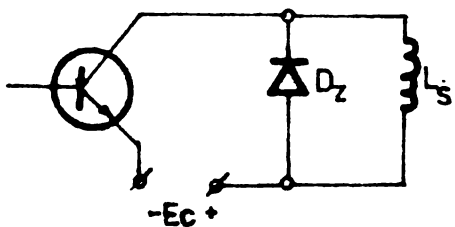


fig.7.16. Protecția etajelor finale
ce debitează pe sarcini inductive

conectată în paralel pe tranzistorul final, deschiderea diodei limitînd apariția tensiunilor periculoase.

Caracterul reactiv al sarcinii influențează negativ și asupra parametrilor energetici ai etajului final, datorită defazajului ce apare între curentul i_e și tensiunea u_e de excitație.

S-a văzut că în cazul unei sarcini rezistive, la maximul tensiunii pe sarcină corespunde și maximul de curent absorbit, iar pe tranzistorul final, puterea dissipată este minimă.

In cazul unui defazaj inductiv (transductorul magnetostrictiv) tensiunea pe sarcină devine mai mică, cea de pe tranzistorul final crește, astfel că pentru același curent de sarcină,

disipația etajului final este mai mare (fig.7.17.)

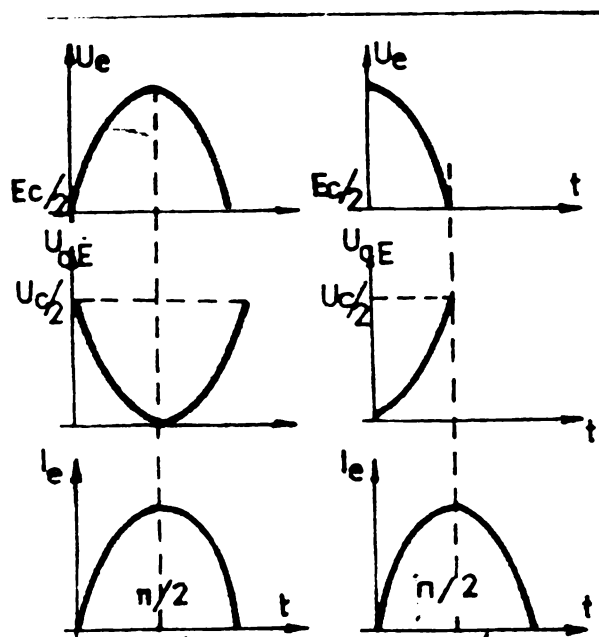


fig.7.17-Defazajul intre I_e si U_e in cazul sarcinii reactive

'La limită ($\varphi = \pi/2$), lui I_e maxim fi corespunde o tensiune U_e nulă, ceea ce reprezintă o disipație minimă pe sarcină și maximă pe tranzistoarele finale.

Analitic, aceste aprecieri pot fi analizate pornind de la expresia tensiunii și curentului în sarcină, care acum vor deveni :

$$u_e = U_e \sin(\omega t + \varphi) \quad (7.14)$$

$$i_e = I_e \sin \omega t$$

In acest caz, relațiile energetice (6.7.-6.9.) pentru un etaj clasă B în contratimp vor fi:

$$P_u = K^2 \frac{E_c^2}{2 R_s} \cdot \cos \varphi; \quad P_d = K \frac{E_c^2}{2 R_s} \left(\frac{4}{\pi} - K \cos \varphi \right) \quad (7.15)$$

$$P_c = K \frac{2 \cdot E_c^2}{\pi R_s}; \quad \gamma = \frac{\pi}{4} \cdot K \cos \varphi$$

Puterea maximă în sarcină (pentru $K = 1$) și cea disipată maximă (pentru $K = 2/\pi \cos \varphi$) vor fi :

$$P_u = \frac{E_c^2}{2 R_s} \cos \varphi; \quad P_{d,max.} = \frac{2 E_c^2}{\pi^2 R_s \cos \varphi} \quad (7.16.)$$

Din expresiile (6.7.) și (7.16), rezultă relația ce dă raportul dintre puterea maximă disipată de amplificatorul ce lucrează pe sarcină reactive și puterea maximă într-o sarcină rezistivă.

$$\frac{P_{d,max.} \varphi}{P_{u,max.}} = \frac{4}{\pi^2 \cdot \cos \varphi} = \frac{0,4}{\cos \varphi} \quad (7.17.)$$

relație a cărei reprezentare grafică este cea din fig.7.18.

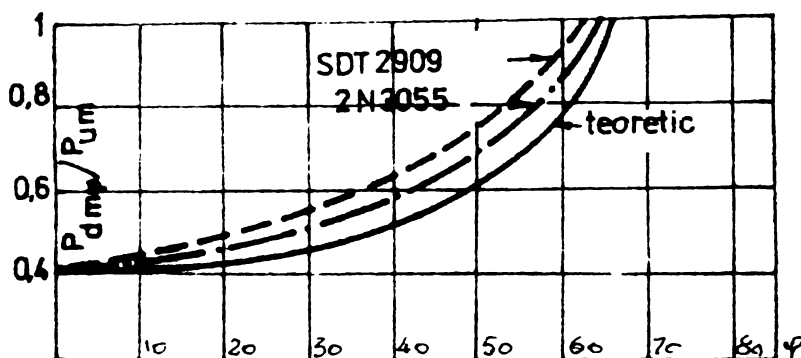


fig. 7.18 - Influenta unghiului de defazaj asupra puterii disipate

Din grafic se observă că pentru un defazaj $\varphi = 40-60^\circ$, care în practică poate survini curent, puterea dissipată pe etajele finale este de 1,3-2 ori mai mare decât în cazul unei sarcini rezistive și depinde de parametrii tranzistoarelor de putere. Experiențele au scos în evidență faptul că din punct de vedere al lucrului pe sarcină reactivă, este

preferabil să se lucreze cu tranzistorul 2N 3055 față de SDT 2909.

S-a constatat că radiatorul pe care sînt montați tranzistorii finali preia (și netezește) vîrfurile de putere dissipată, motiv pentru care, spre a se evita distrugerea tranzistoarelor prin depășirea valorii maxime admisibile a puterii dissipate, la proiectarea radiatorului extern trebuie luat în considerare și defazajul pe care-l poate introduce sarcina. O influență negativă o are defazajul introdus de sarcina reactivă și asupra randamentului etajelor finale și deci al generatorului, așa cum se poate observa și din fig.7.19., unde curbele au fost ridicate pe baza experiențelor efectuate cu un etaj final lucrînd

în clasă B și excitat cu oscilații sinusoidale și dreptunghiulare. Si în această situație se poate observa că pentru un defazaj de $40-60^\circ$, randamentul generatorului scade cu 25-30% în ambele regimuri de lucru. Acest lucru se explică atît prin scădereea puterii utile, cît și prin apariția pierderilor de putere pe tranzistoarele finale și în transductor. In ambele regimuri (sinusoidal și dreptunghiular), funcționarea generatorului pe sarcină reactivă duce la deformarea semnalului de ieșire, la apariția unor "circuite de sarcină" false, create de valoarea lui $X_L(X_C)$ a transductorului, cu capacitatele parazite ale legăturii generator-

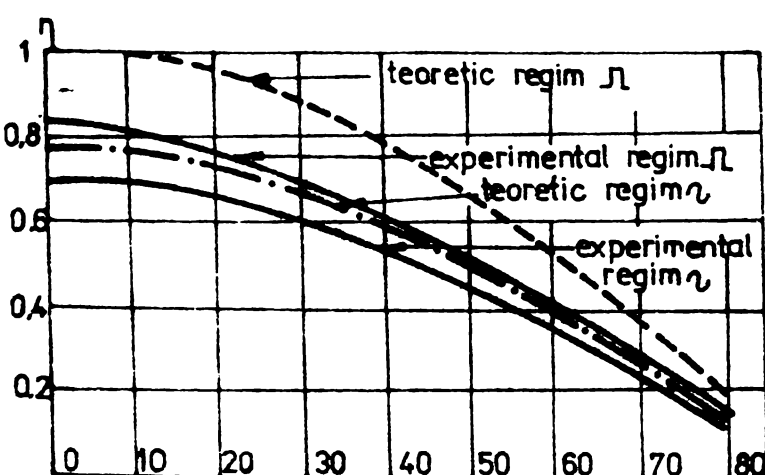


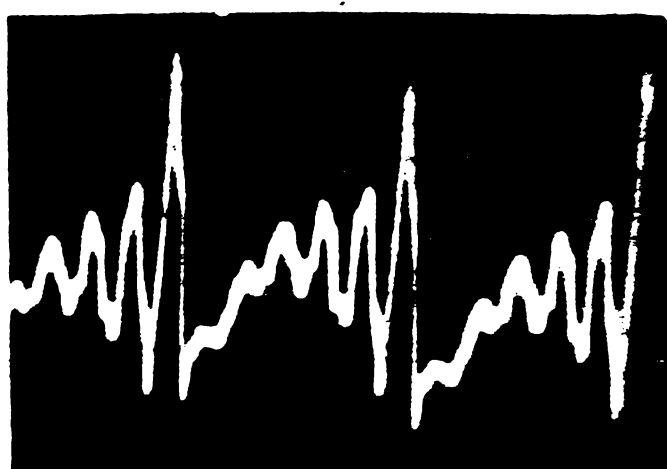
fig. 7.19 - Influenta sarcinii reactive asupra randamentului

muri (sinusoidal și dreptunghiular), funcționarea generatorului pe sarcină reactivă duce la deformarea semnalului de ieșire, la apariția unor "circuite de sarcină" false, create de valoarea lui $X_L(X_C)$ a transductorului, cu capacitatele parazite ale legăturii generator-

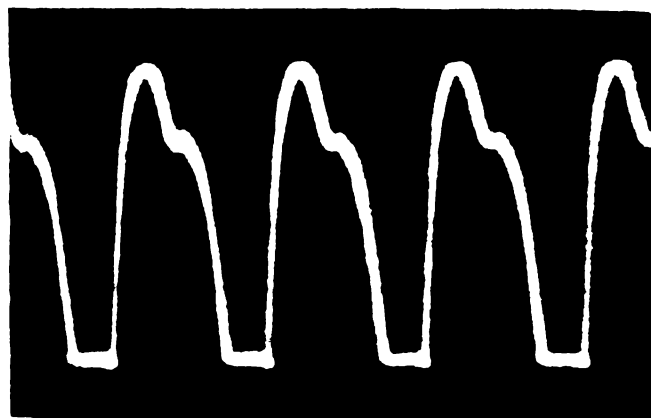
transductor, sau chiar ale transductorului însuși, așa cum se poate observa și din fig.7.20.a,b,c.



a



b



c

-fig.7.20.-Deformarea formei semnalului în funcționarea pe sarcină reactivă.-

die a puterii de ieșire, să strice fronturile impulsului, prin aceasta punind în real pericol etajele finale ale generatorului care lucrează în regim de comutatie.

Pe lîngă faptul că afectează negativ parametrii energetic ai generatorului, sarcina reactivă modifică în mod esențial și condițiile de lucru ale ansamblului transductor-concentrator. Analis-

In primul caz, datorită variației componente K_L a sarcinii în jurul valorii corespunzătoare frecvenței de rezonanță, peste semnalul de ieșire se suprapun o serie de oscilații producind în final o "modulare" a acestuia, cu consecințe nedorite asupra puterii și randamentului. In cel de-al doilea caz, datorită lipsei capacitaților de compensare, la cuplarea concentratorului cu transductorul, se compromite caracterul activ al sarcinii, chiar la frecvența de rezonanță, pe această frecvență se observă o oscilație mai proeminentă, în restul perioadei, energia semnalului sinusoidal este "dispersată" într-o serie de oscilații de mică amplitudine, care nu reușesc să excite transductorul, dar duc la mărirea pierderilor în el.

A treia situație o constituie limitarea și deformarea oscilației dreptunghiulare, datorită lucrului pe sarcină reactivă în apropierea zonei de rezonanță. De data aceasta, datorită spectrului energetic larg al impulsului, partea reactivă a sarcinii nu este capabilă să inducă o oscilație puternică așa ca în primul caz, ci doar să atenuze valoarea me-

zind mai în detaliu schema echivalentă a unui transductor magnetostrictiv cuplat cu concentratorul, aceasta poate fi reprezentată ca în fig. 7.21, unde:

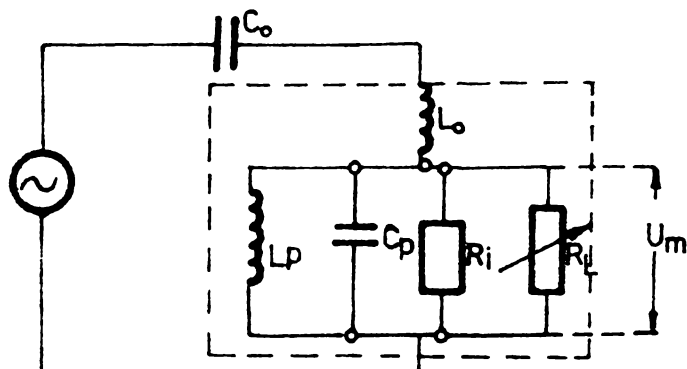


fig. 7.21. Schema echivalentă electrică a transductorului magnetostrictiv

R_L = rezistență de sarcină a transductorului, variabilă funcție de rezistență mecanică R_m pe care o "vede" permanent concentratorul.

$$R_L = \frac{1}{R_m} = \frac{\text{viteză}}{\text{forță}} \quad (7.18.)$$

L_p , C_p = constante mecanice ale transductorului, transformate în capacitați și inductanțe, pentru care la rezonanță se va îndeplini condiția $X_{L_p} = X_{C_p}$.

R_i = rezistență ohmică a înfășurărilor transductorului, constantă și independentă de factorii mecanici (presiune, forță, viteză, amplitudinea oscilațiilor mecanice etc.)

L_0 = inductanță transductorului independentă de parametrii mecanici.

C_0 = capacitatea de compensare, exterioară circuitului convertorului și este astfel aleasă încât la rezonanță să anihileze caracterul inductiv al transductorului.

Calitativ, impedanța Z a întregului transductor, puterea debitată în el funcție de valoarea sarcinii și mișcările mecanice a concentratorului sunt redată în fig. 7.22. /lo9/.

Z = impedanță transductorului cuplat cu concentratorul

ω_1 = frecvență de rezonanță electrică

ω_2 = frecvență de rezonanță mecanică.

$$P_i = \frac{U_m^2}{R_i} = \text{cst reprezintă pierderile în transductor.}$$

$$P_L = \frac{U_m^2}{R_L} = \text{puterea de la ieșirea transductorului, furnizată sarcinii } R_L.$$

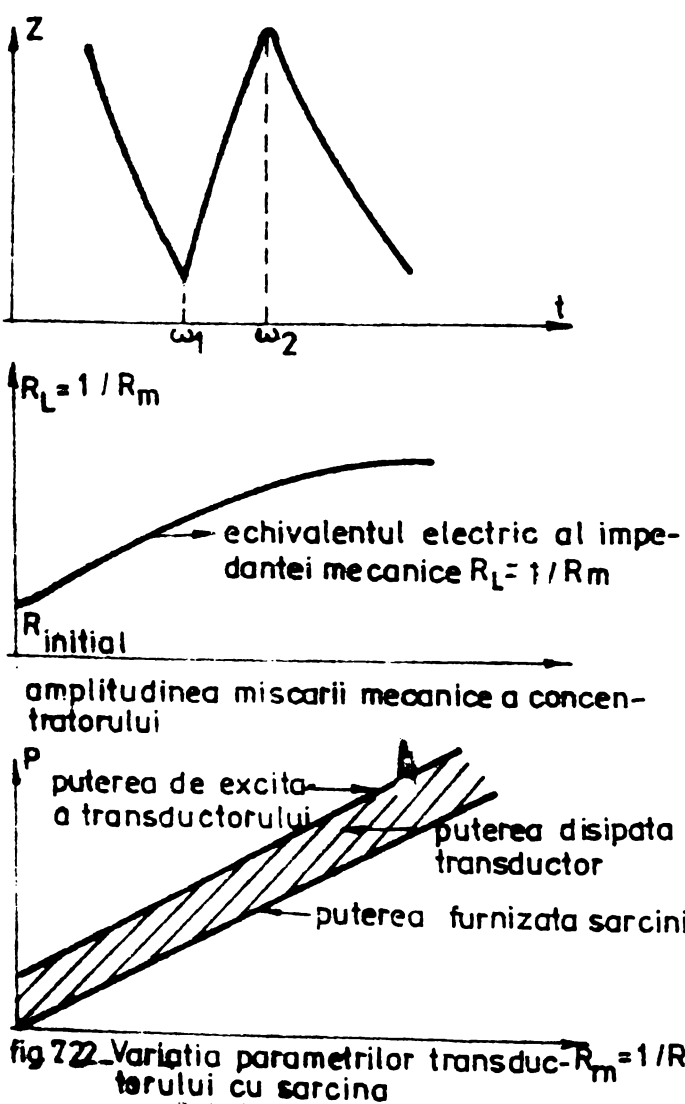


fig. 7.22. Variatia parametrilor transduc- $R_m = 1/R_L$

In cazul că se lucrează la frecvența de rezonanță, vom avea :

$$X_{L_p} = X_{C_p} \quad X_{L_o} = X_{C_o} \quad (7.19.)$$

și rezultă că oscilațiile generatorului se vor aplica efectiv circuitului R_i și R_L . Cum $R_i = cst$, dacă amplitudinea oscilațiilor este constantă, se poate deduce că puterea furnizată sarcinii depinde doar de R_L care este variabilă, aceasta reprezentând situația normală de lucru a generatorului și transductorului. În cazul apariției sarcinii reactive, nu mai avem împlinite condițiile (7.19) iar generatorul va debita pe un circuit R_i , R_L , X_r , unde aceasta din urmă va reprezenta inductanța sarcinii reactive. În acest caz, curentul la ieșirea generatorului va fi divizat între sarcina rezistivă și cea reactivă, ducind la micșorarea puterii active de excitare a transductorului.

În funcție de condițiile de lucru, sarcina reactivă poate avea :

- o valoare constantă, cînd la generator este cuplat alt transductor decît cel pentru care a fost acordat ;
- constant variabilă ($X_r \rightarrow 0$) din momentul cuplării și pînă în momentul cînd $f_o = f_g$;
- variabilă aleator, cînd transductorul deviază de pe frecvența de rezonanță datorită unor perturbații ale procesului de prelucrare.

În cursul cercetărilor, s-a acționat atît pe găsirea unor metode și procedee de anihilare a valorii sarcinii reactive, cît și pe anularea efectului ei, adică în condițiile existenței acestei sarcini reactive, puterea debitată spre transductor să depindă doar de R_L . În primul caz, la generatorul construit sau proiectat

'și' executat, așa numitele "blocuri de compensare" (fig. 7.23) care pe de o parte, pentru un transductor dat permit obținerea unui caracter rezistiv al sarcinii la rezonanță, iar pe de altă parte facilitează adaptarea unui generator cu 5-6 transductoare magnetostriuctive. În această schemă, secundul transformatorului .

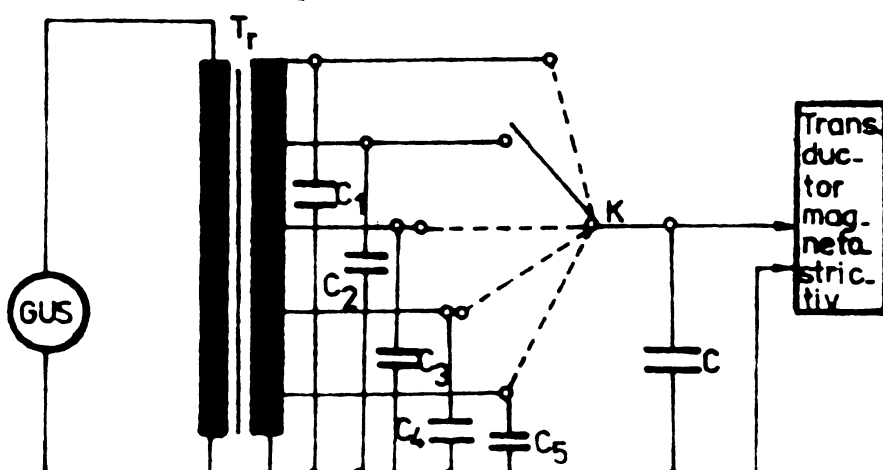


fig. 7.23 - Schema electrică a unui bloc de compensare

de ieșire al generatorului este prevăzut cu o serie de prize cu a-

ajutorul cărora se poate realiza o adaptare între rezistența de ieșire a generatorului și rezistențele înfășurărilor diferitelor transductoare. Condensatorul C de compensare este ales pe baza formulelor (7.6') și are rolul de a realiza o compensare mai brută a reactanței inductive a transductorului, valoarea lui fiind stabilă puțin mai mică decât cea necesară. Pentru fiecare tip de transductor în parte, compensarea fină se realizează cu unul din condensatoarele $C_1 - C_5$.

Influența blocului de compensare asupra formei și amplitudinii oscilațiilor de excitație a unui transductor magnetostrictiv este arătată în fig. 7.24., adaptarea optimă realizându-se pentru

'un transductor oarecare în condițiile în care $C = 0,47 \mu F$, iar rezistența de ieșire a generatorului $r_e = 1,4 \Omega$.

In primele două cazuri, cînd r și C sînt mai mari decât cele optime, pe lîngă reducerea frecvenței de rezonanță f_o a transductorului, se observă și o micșorare a amplitudinii oscilațiilor în condițiile unei deformări a formei semnalului, datorată influenței tot mai puternice a componentei reactive a sarcinii, pe măsură ce valoarea lui C crește.

In situația cînd r și C sînt mai mici decât valoarea optimă, frecvența f_o crește, se micșorează și acum amplitudinea oscilațiilor datorită însă lui r , pe cînd forma semnalului rămîne nedeformată, influența lui X_C scăzînd pe măsură ce se micșorează valoarea lui C . S-a observat că pentru $r = 0,2 \Omega$ oscilațiile nu mai sînt capabile să excite transductorul.

fig. 7.24. Influența blocului de compensare asupra procesului de adaptare a generatorului cu transducto-

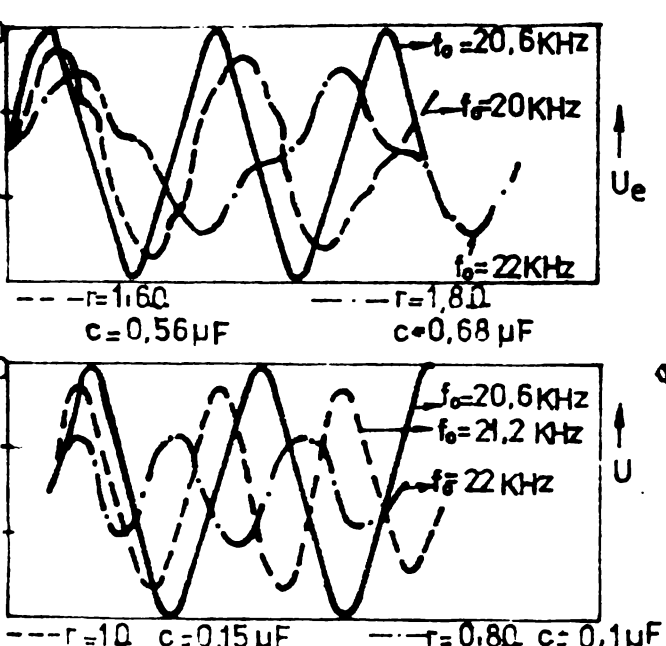


fig. 7.24. Influența blocului de compensare asupra procesului de adaptare a generatorului cu transducto-

ri

mici decât valoarea optimă, frecvența f_o crește, se micșorează și acum amplitudinea oscilațiilor datorită însă lui r , pe cînd forma semnalului rămîne nedeformată, influența lui X_C scăzînd pe măsură ce se micșorează valoarea lui C . S-a observat că pentru $r = 0,2 \Omega$ oscilațiile nu mai sînt capabile să excite transductorul.

Eliminarea influenței caracterului reactiv al sarcinii asupra funcționării optime a ansamblului generator-transductor se poate face atât cu ajutorul reacției inverse, cît și prin asigurarea unei independențe a puterii de excitație a transductorului de sarcină reactivă (fig.7.25).

Circuitul de reacție are rolul de a excita etajul final al generatorului,(care în acest caz poate fi un oscilator de putere) cu semnal în fază cu componenta rezistivă a tensiunii de pe

BUPT

transductor și poate fi luat atât de pe primarul transformatorului de ieșire (fig.7.25.a.), cît și din secundarul acestuia (fig.7.25.b)

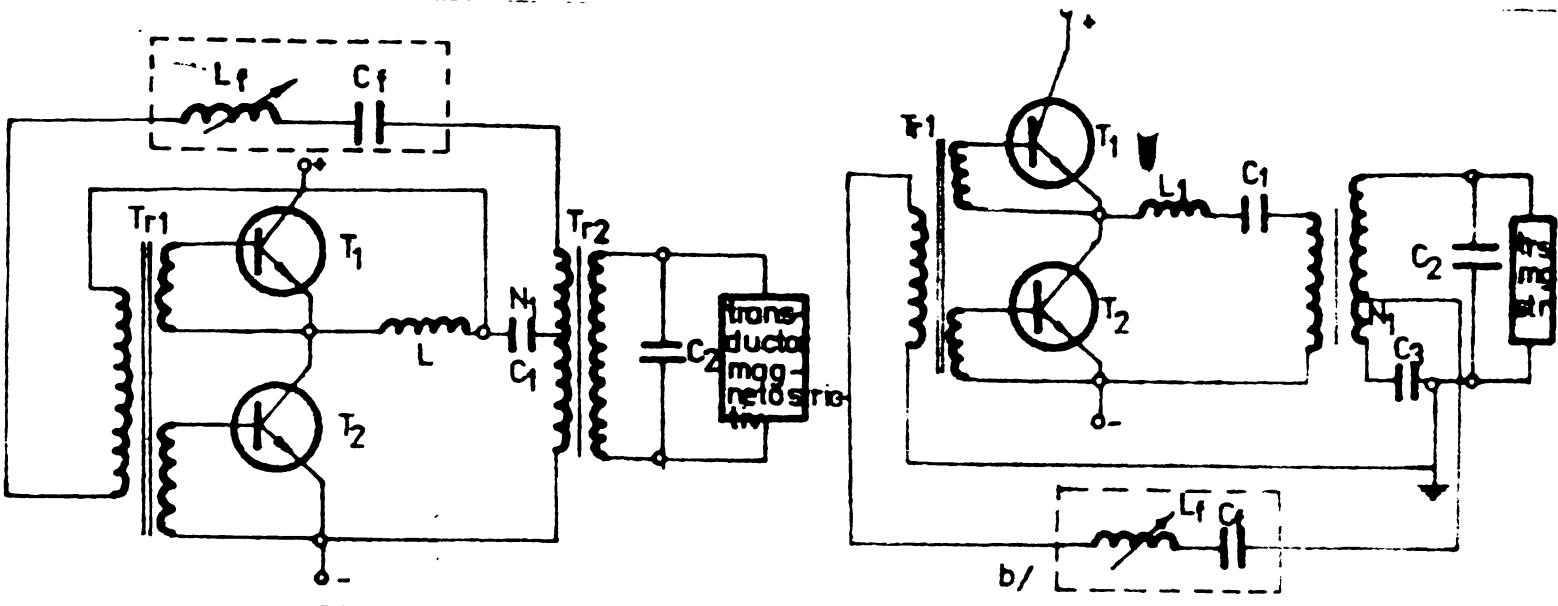


fig. 7.25_Scheme de reacție inversă pentru etajele finale

Faza semnalului de reacție este asigurată în cele două scheme de $C_1(C_3)$. El trebuie să asigure o reactanță care să compenseze reactanța totală a circuitului de sarcină, în care este inclus și condensatorul C_2 de compensare a caracterului inductiv.

Bobina L_1 trebuie astfel aleasă, încit să asigure o reactanță care la rezonanță să compenseze X_{C1} și reactanța inductivă a circuitului de sarcină reflectată în primar, în același timp contribuind și la suprimarea armonicelor superioare ale tensiunii dreptunghiulare de ieșire, pe transductor regăsindu-se doar oscilațiile sinusoidale. Prin faptul că $C_1(C_3)$ defazează semnalul de reacție format pe înfășurarea N_1 astfel încit să fie în fază cu componenta rezistivă a curentului din circuitul transductorului (determinată de R_1 și R_L), conform relațiilor (7.19), la rezonanță R_1 fiind constantă, valoarea acestui curent depinde doar de R_L și deci, puterea furnizată sarcinii este variabilă doar funcție de R_L și independentă de X_r . În scopul îmbunătățirii performanțelor schemei, se cuplază în circuitul de reacție și filtrul L_p și C_p care împreună cu rezistența de intrare a tranzistoarelor constituie față de primarul transformatorului de ieșire un circuit rezonant la frecvența f_o , adică un filtru care lasă să treacă spre bazele tranzistoarelor doar frecvența f_o .

Pe baza considerentelor teoretice și a rezultatelor experimentale, se poate concluziona că funcționarea generatorului pe sarcină reactivă este total neindicată, deoarece pe lîngă compromite-

rea principalilor parametrii energetici se poate ajunge la distrugerea etajelor de putere ale generatorului. Adaptarea generatorului cu sarcina este în această situație puternic afectată. Deoarece pentru transductoarele magnetostriuctive, chiar și în zona de rezonanță, se menține un caracter inductiv al sarcinii, este absolut necesar să se utilizeze capacitate de compensare. Din punct de vedere al adaptării, funcționarea ansamblului generator-transductor fără capacitate de compensare este sinonimă cu funcționarea generatorului în afara zonei de adaptare.

7.3.2. Funcționarea generatorului pe sarcină rezistivă dar variabilă

In acest caz, ansamblul generator-transductor se află la rezonanță, dar valoarea sarcinii - care acum are un caracter rezis-tiv - se poate modifica din diverse motive, fapt ce conduce la o variație a puterii de excitație a transductorului și în final, la modificarea amplitudinii oscilațiilor la capătul concentratorului, fenomen indezirabil deoarece în unele situații se ajunge la erori grave sau chiar compromiterea diferitelor procese de prelucrare cu ultrasunete.

In plus, odată realizată adaptarea, abaterea rezistenței de sarcină de la valoarea optimă conduce și la variația parametru- lor energetici ai generatorului, cu implicații directe asupra sta-bilității și fiabilității acestuia.

Modificarea valorii rezistenței de sarcină se poate dato-ra unor cauze diverse, cum ar fi:

- apariția pierderilor în transductor sau concentrator, care duc la încălzirea acestora și prin urmare, la modifi-carea frecvenței de rezonanță și deci a valorii rezis-tenței R_e (fig.5.12.);
- impedanța spațiului de lucru ^{nu} este aceeași pe tot par-cursul procesului de prelucrare, spre concentrator se "reflectă" o impedanță variabilă. Astfel, la pornirea ge-neratorului, această impedanță este mare și se micșorează pe măsură ce procesul de prelucrare intră în para-metrii ~~normali~~ ;
- utilizarea pe același transductor a mai multor forme sau tipuri de concentratoare, sau modificarea formei sculei la capătul concentratorului.

In toate aceste cazuri, rezistența de sarcină R_s poate fi mai mare sau mai mică decît rezistența R_{optim} . la care s-a realizat

adaptarea și poate avea o valoare constantă sau să varieze după o lege oarecare, ori aleator.

Valoarea constantă a rezistenței R_s , dar diferită de R_{optim} , poate apărea la schimbarea transductorului, concentratorului sau sculei. În acest caz, adaptarea se poate reface manual prin stabilirea poziției adecvate a medianei transformatorului de ieșire din blocul de compensare (fig.7.23.) În toate celelalte cazuri, o reglare manuală nu este posibilă, de aceea s-au experimentat procedee de anihilare a influenței negative ce o are asupra ansamblului generator-transductor variația rezistenței de sarcină R_s .

Astfel, o primă metodă constă în echiparea generatorului cu un mijloc auxiliar de modificare a rezistenței sarcinii generatorului, în timpul perioadei de pornire. Acest procedeu este dictat de faptul că în procesele ultrasonice, convertorul poate fi supus la sarcini acustice neliniare. Astfel, în cazul sudurii termoplastice, impedanța sarcinii mecanice inițiale, reflectate asupra convertorului, poate fi atât de mare încât să provoace o șuntare a generatorului, acesta nemaiputind să ajungă la parametrii nominali /110/. În acest caz, cum se observă și din fig.7.22., în perioada inițială R_L este atât de mic, încât poate face imposibilă generarea unor oscilații capabile să excite transductorul. Soluția imediată o constituie cuplarea în serie cu sarcina generatorului a unei rezistențe variabile, R_a , a cărei valoare să scadă pe măsură ce R_L crește, iar în momentul cînd generatorul ajunge la parametrii nominali, R_a să fie scoasă din circuit. Principal, schema generatorului, a sarcinii și rezistenței adiționale este redată în fig.7.26./108/.

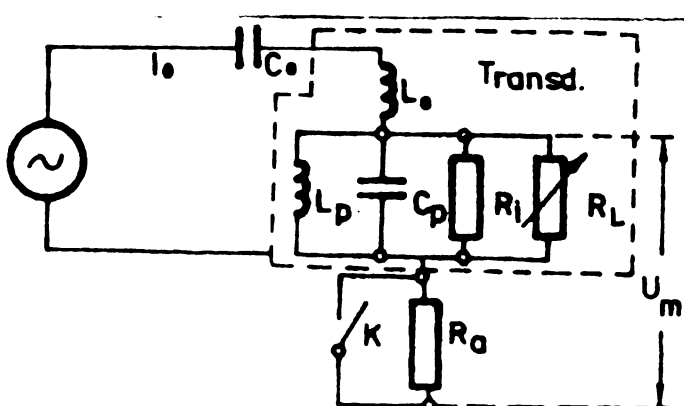


fig.7.26-Schema de montare a rezistenței adiționale.

astfel că în acest moment curentul prin transductor va fi: $I_o = U_M \cdot R_L^{-1}$ și deci, puterea furnizată este doar funcție de valoarea sarcinii.

Funcționarea schemei este următoarea: în perioada inițială, în serie cu R_L este cuplată R_a , iar valoarea curentului absorbit de transductor va fi: $I_o = U_M \cdot (R_L + R_a)^{-1}$, deoarece în comparație cu R_L, R_i este destul de mare pentru a putea fi neglijată. În momentul în care se ajunge la rezonanță, contactorul K va anclanșa și va șunta rezistența R_a ,

BUPT

Sub această formă, schema prezintă o serie de inconveniente ca:

- contactorul K suntează brusc rezistență, iar în cazul revenirii rezistenței R_L , dintr-un motiv oarecare, la o valoare apropiată de cea initială, rezistența R_a odată suntată nu-și mai poate aduce aportul în circuit;
- valoarea rezistenței R_a este fixă și nu variabilă progresiv cum ar fi de dorit.

Pentru înlăturarea acestor inconveniente, rezistența R_a ar putea fi constituită dintr-un material cu coeficient de rezistivitate electrică negativă, care determină scăderea rezistenței la creștere a temperaturii sau curentului electric, iar contactorul K poate fi înlocuit de unul electronic. Pe parcursul experiențelor, s-a conceput și verificat un montaj electronic care elimină toate dezavantajele schemei prezentate anterior, asigurând în plus o eficacitate sporită prin renunțarea la elementele mecanice. Prezentarea schemei este cea din fig.7.27.

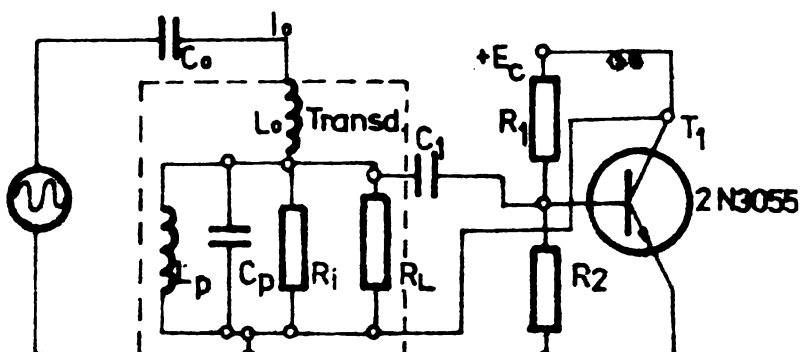


fig. 7.27. Amorsarea oscilațiilor generatorului cu un dispozitiv electronic

Rolul rezistenței R_a este îndeplinit acum de tranzistorul T_1 care, pe direcția C - E prezintă o rezistență variabilă, funcție de gradul de blocare pe bază.

In regim initial (R_L este mică) cu ajutorul rezistențelor de polarizare R_1 și R_2 , pe baza tranzistoru-

lui se stabilește un asemenea potențial, încât tranzistorul să fie ușor deschis, astfel că în serie cu R_1 se găsește R_{CE} a tranzistorului a cărei valoare poate fi reglată prin ajustarea adâncimii deschiderii tranzistorului. Pe baza tranzistorului, prin C_1 se aplică oscilațiile tensiunii de pe convertor. Pe măsură ce amplitudinea oscilațiilor crește, tranzistorul se deschide mai mult, rezistența jonctiunii C - E scade astfel că în zona de rezonanță tranzistorul este complet deschis, $R_{CE} \rightarrow 0$ și în circuit rămîne doar R_L .

Dacă dintr-o cauză oarecare R_L scade, se va micșora și amplitudinea oscilațiilor de pe baza tranzistorului, iar R_{CE} va crește, contribuind din nou la amorsarea oscilațiilor. Ca valori practice, schema acționează pentru $U_m = 6 - 70$ V, rezistența R_{CE} variind în acest caz între $140 - 0,8 \Omega$.

Un alt procedeu de anihilare a influenței variației sarcinii asupra parametrilor generatorului și a transferului maxim de putere

spre transductor, îl constituie menținerea constantă a curentului prin transductor, indiferent de valoarea sarcinii transductorului, adică de R_L /111/. Curentul menținându-se constant, puterea debitată în sarcină va fi: $P = I_c^2 \cdot R_L$

și va depinde doar de R_L .

Acest deziderat poate fi realizat prin mai multe metode, aşa cum se poate observa și din fig. 7.28.a,b,c. În primul caz, generatorul este cuplat cu transductorul printr-o rezistență de valoare mult mai mare decât suma pierderilor de energie din transductor și impedanța acustică pe care acesta trebuie să lucreze, materializată prin R_L . Cum curentul I_o este determinat în special de R , el va rămâne constant chiar dacă R_L se va modifica.

O altă cale similară de a menține pe I_o constant este conectarea rezistenței R_o prin transformator, prin aceasta R_o fiind adaptată doar cu R_{Lmax} . Astfel, în cazul că R_L este mai mic (faza inițială de pornire de exemplu), există o diferență mare față de valoarea lui R_o , adaptarea se strică iar puterea debitată spre transductor scade brusc. Pe măsură ce sarcina acustică crește, adaptarea se îmbunătățește și transferul de putere se mărește.

În cel de-al treilea procedeu, se stabilește funcționarea generatorului pe o frecvență f_g diferită de frecvența de rezonanță naturală f_o a transductorului. Pe frecvența f_g , acesta va prezenta o reactanță X_s (inductivă pentru transductorul magnetostrictiv), a cărei mărime crește în funcție dedezacordul $\Delta f = f_g - f_o$. Alegându-se $X_s \gg R_i + R_L$, curentul

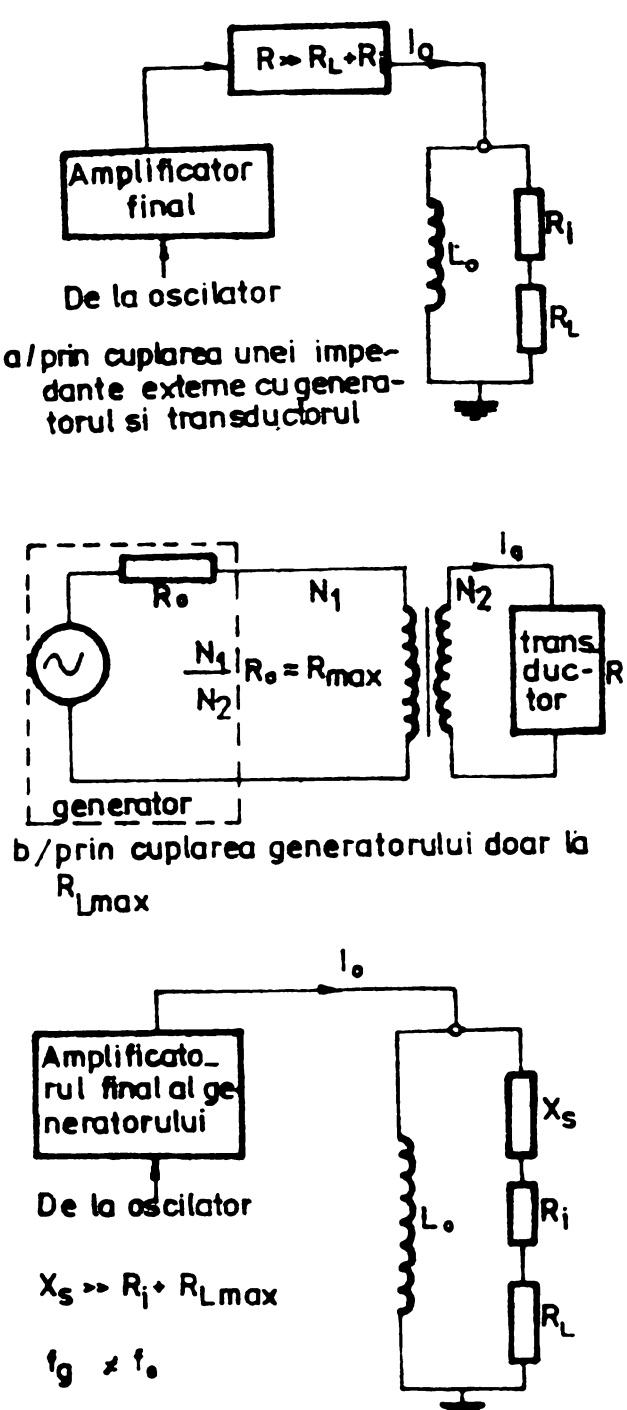


fig. 7.28 Scheme de menținere constantă a curentului prin transductor

se stabilește funcționarea generatorului pe o frecvență f_g diferită de frecvența de rezonanță naturală f_o a transductorului. Pe frecvența f_g , acesta va prezenta o reactanță X_s (inductivă pentru transductorul magnetostrictiv), a cărei mărime crește în funcție de dezacordul $\Delta f = f_g - f_o$. Alegându-se $X_s \gg R_i + R_L$, curentul

prin transductor va fi determinat doar de X_s și independent de sarcină.

Cu toate că aceste procedee "stabilizează" oarecum nivelul puterii de ieșire și reduc substanțial dependența acestia de variațiile sarcinii, ele prezintă și o serie de dezavantaje. Astfel, în primul caz, puterea este determinată de R indiferent dacă transductorul lucrează în gol sau în sarcină, motiv pentru care este necesar să se regleze un nivel mai mic al puterii de ieșire, spre a nu periclista transductorul. În cea de-a doua situație, se poate debita puterea maximă în sarcină cînd R_L este maxim, dar variațiile frecvenței în zona de rezonanță duc la o scădere bruscă a nivelului puterii.

Rezultate mai bune s-au obținut prin experimentarea unei combinații între această schemă și cea din fig. 7.27., reușindu-se ca în momentul inițial, sau cînd transductorul funcționează în gol, generatorul să furnizeze la ieșire doar o putere de 40 W, iar pe măsură ce impedanța acustică R_L crește, să se ajungă pînă la 300 W debitați în sarcină.

Privind lucrul generatorului pe o frecvență situată în afara zonei de rezonanță a transductorului, experimentările efectuate au permis desprinderea unor concluzii interesante.

Astfel, pentru un transductor cu frecvență de rezonanță $f_o = 20 \text{ KHz.}$, variația lui R_e și X_L în funcție de dezacordul față de frecvență de rezonanță este ilustrată de graficul din fig. 7.29.

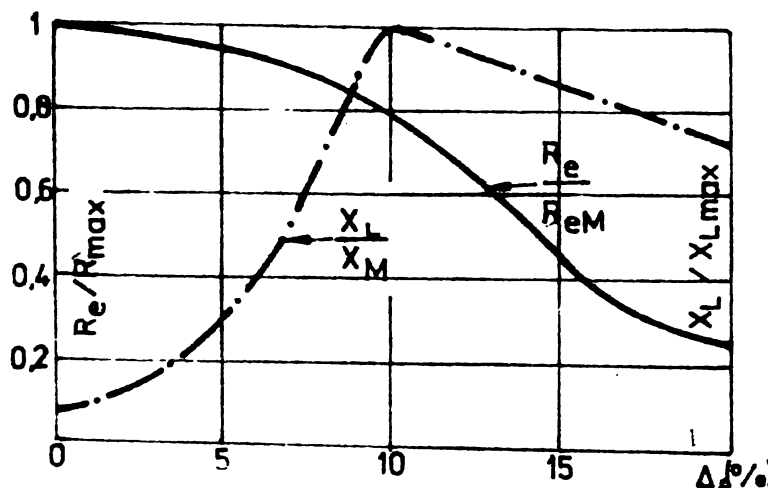


fig. 7.29 - Dependenta mărimilor R_e , X_L ale transduc- torului de la valoarea dezacordului Δf

Așa cum era de așteptat, în zona de rezonanță ($\Delta f = 0$) R_e este maximă, iar X_L minimă ($X_L \approx 0,8 \Omega$). Se observă că pentru un $\Delta f = 10\%$ (2 KHz.), în cazul nostru R_e scade cu 20%, iar X_L este maximă.

Pe baza afirmațiilor făcute în § 6.3. și a graficului din fig. 6.24., rezultă că în cazul funcționării generatorului pe o frecvență $f_g = f_o \pm 10\%$, puterea la ieșirea generatorului va scădea doar cu aproximativ 5%. Admitînd o micșorare a puterii pînă la 10%, valoarea rezistenței poate să scadă la 60% și în acest caz $X_L > R_e$.

Deci, dezideratul propus - acela de a menține constant curentul prin convertor prin lucru în afara rezonanței - se poate în-

deplini pe seama unei scăderi a puterii cu 10%. În această situație s-a experimentat și anularea lui X_L cu o capacitate de compensare situându-ne pe poziția de a lucra în afara rezonanței, dar pe sarcina rezistivă R_e , însă de data aceasta generatorul funcționează cu o rezistență de ieșire $R_g > R_e$ (spre deosebire de adaptare, cind $R_g = R_e$). În acest caz s-a obținut o creștere a randamentului generatorului cu 8-10% în cazul semnalului sinusoidal și cu 10-13% în cazul semnalului dreptunghiular la ieșire.

Această metodă are un avantaj în plus, deoarece lucrînd în afara zonei de rezonanță, nu se impune cu deosebită acuitate prezența unei scheme R.A.F. sau cel mult o schemă R.A.F. de precizie medie, care doar să mențină transductorul în zona de frecvență $f_0 + \Delta f$ ($\Delta f = 10-20\%$).

Dezavantajul schemei este acela că puterea de ieșire a generatorului nu are o bună stabilitate, nivelul acesteia modificându-se mereu; de aceea, ea se pretează în echiparea generatoarelor de ultrasunete utilizate în procese de prelucrare care admit erori sau în cele de activare ori curățire cu ultrasunete. În ultimul caz, datorită utilizării unui "mozaic" de transductor, fiecare cu un f_0 propriu, nu se mai poate vorbi de o frecvență de rezonanță ci de o "plajă de rezonanță", unde aceste scheme - fără a mai fi nevoie de un sistem R.A.F. - își pot dovedi eficacitatea.

In concluzie, se poate afirma că o bună adaptare a generatorului de ultrasunete cu sarcina este impusă doar de procesele de prelucrări cu un grad înalt de precizie, sau în cazul cind dorim ca generatorul să furnizeze la ieșire o putere maximă. În acest caz, este absolut obligatorie prezenta unei scheme R.A.F. care să mențină permanent frecvența generatorului egală cu frecvența de rezonanță a transductorului. Menținerea nivelului puterii de ieșire la cel stabilă nu se poate realiza prin adaptare, ci cu ajutorul unor scheme de reglare automată a puterii, care vor fi analizate în capitolul următor. Obținerea unui randament maxim implică funcționarea generatorului în afara zonei de adaptare și nu reclamă neapărat scheme R.A.F., în plus, diminuează influența variațiilor sarcinii asupra parametrilor energetici ai generatorului.



CAPITOLUL 8

CERCETARI EXPERIMENTALE PRIVIND POSIBILITATILE
DE RIDICARE A PARAMETRILOR ENERGETICI AI ANSAM-
BLULUI GENERATOR - SARCINA

Concluziile desprinse din literatura de specialitate, precum și rezultatele experimentale obținute îndreptățesc afirmația că puterea utilă debitată de generator în sarcină constituie parametrul principal atât al generatorului, cât și al întregului ansamblu de prelucrare, deoarece nivelul acesteia, eventualele variații față de valoarea stabilită influențează atât asupra celorlalți parametrii ai generatorului (randament, fiabilitate), cât și a blocului ultra-acustic (amplitudinea oscilațiilor la capătul concentratorului, coeficientul de transformare electro-acustică, încărcarea transductorului etc.)

Considerînd spre exemplificare doar procesul de sudare cu ultrasunete, nivelul puterii la ieșirea generatorului determină forța de apăsare și grosimea foliilor ce pot fi sudate, fapt ilustrat și de fig. 8.1. și 8.2.

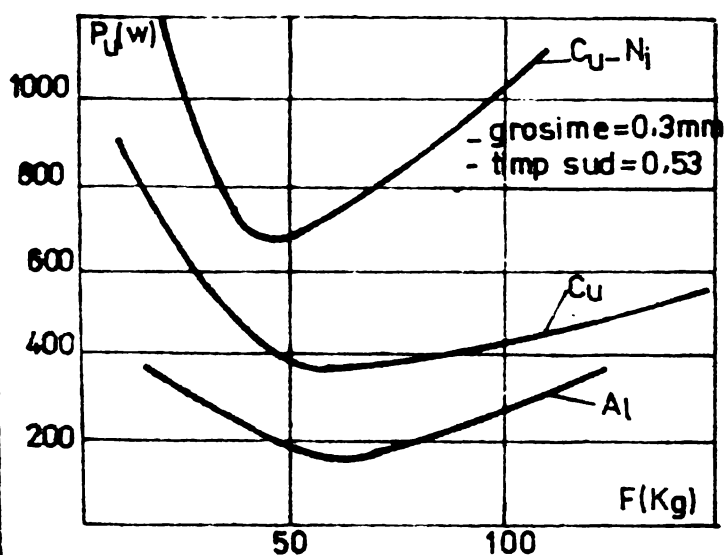


fig. 8.1 - Relatia dintre puterea generatorului și forța de apasare la diferite metale

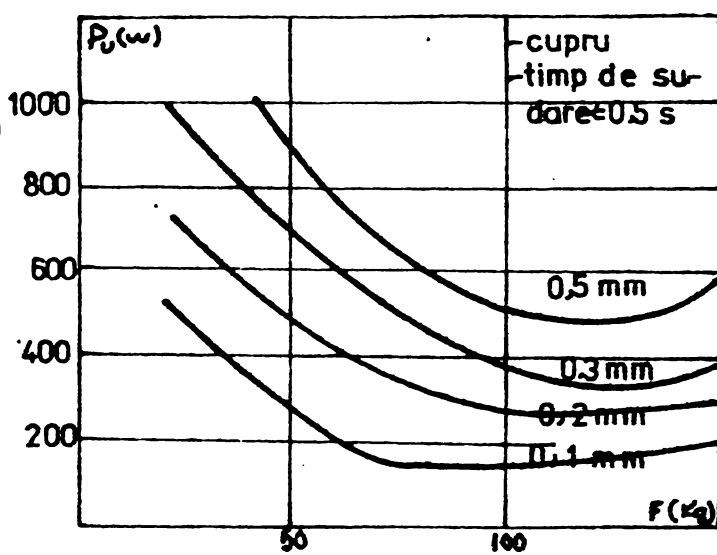


fig. 8.2 - Relatia dintre puterea generatorului și forța de apasare la sudarea cuprului la diferite grosimi

Se observă că variația puterii față de nivelul stabilit, în condițiile menținerii unei forțe de apăsare constantă, influențează asupra calității procesului de sudare, iar în unele situații, cînd generatorul are un nivel de putere mai mic iar forța de apăsare se stabilește automat, se poate ajunge chiar la neîndeplinirea condițiilor minime pentru realizarea sudării.

Așa cum s-a arătat, amplitudinea oscilațiilor mecanice la capătul concentratorului rămâne aproximativ constantă- funcție de putere- situație care constituie o premisă importantă pentru calitatea sudării și pentru reproductibilitatea acesteia. Un alt avantaj al amplitudinii constante a oscilațiilor rezidă în aceea că la o creștere a puterii generatorului, scula nu este supraîncărcată.

Față de aceste avantaje, există și inconvenientul că în cazul reglării electronice a amplitudinii oscilațiilor, se obțin rezultate mai puțin satisfăcătoare din punct de vedere al independenței amplitudinii oscilațiilor sculei funcție de variația de putere./50/.

Influența puterii de ieșire asupra celorlalți parametri ai generatorului (în special fiabilitatea) este atestată și de faptul că aproape toate firmele constructoare de generatoare prevăd echiparea acestora cu instalații de protecție care împiedică funcționarea generatorului la puterea maximă, în cazul deviațiilor mari față de frecvența de rezonanță a transductorului, sau la debitarea în gol.

Așa cum s-a mai arătat, între generator și transductor există o legătură biunivocă, iar experiențele efectuate au dovedit din plin acest lucru, în sensul că diferențele perturbații apărute în funcționarea transductorului sau a concentratorului afectau nemijlocit parametrii generatorului, ducind la micșorarea nivelului puterii acestuia și, implicit, la un transfer mai mic de energie către transductor. În decursul experiențelor nu au fost analizate în amănunt cauzele apariției perturbațiilor în funcționarea transductorului sau concentratorului, ci măsura în care acestea afectează parametrii generatorului; totuși, s-a studiat posibilitatea conservării acestor parametri și în situația apariției perturbațiilor fie în blocul ultrasonic, fie pe linia de legătură generator-concentrator.

În acest context, experiențele efectuate au fost axate pe obținerea unor rezultate bune privind :

- micșorarea pierderilor de putere ale generatorului în afară zonei de rezonanță a transductorului ;
- compensarea eventualelor pierderi de putere din zona de rezonanță (în cazul variațiilor lui R_s) ;
- stabilirea unui nivel al puterii de ieșire și menținerea automată a acestuia chiar în condițiile apariției unor factori destabilizaitori în sarcina generatorului ;
- ridicarea randamentului general al ansamblului generator-transductor.

8.1. FACTORI PERTURBATORI IN FUNCTIONAREA ANSAMBLU-LUI GENERATOR - SARCINA

In analiza influenței diversilor factori perturbatori asupra funcționării ansamblului generator-transductor, acesta din urmă a fost privit ca un cuadripol, având o intrare electrică caracterizată de parametrii P_u , I , U , f_g și una mecanică, caracterizată de F și V_m (fig. 8.3.) unde /1/ : $V_m =$ viteza de vibrație ; $-F =$ forța de excitație.

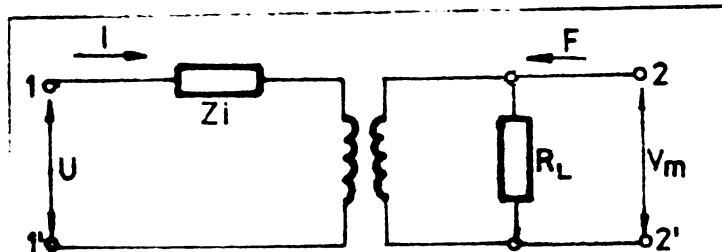


fig. 8.3 - Schema echivalentă a transductorului sub forma unui cuadripol

Acstea două mărimi determină de fapt rezistența de sarcină a transductorului, R_L , definită de relația (7.18), prin care se poate aprecia influența concentratorului și a sculei asupra funcționării transductorului.

Asimilînd din punct de vedere electric viteza de vibrație cu o tensiune, iar forța de excitație cu un curent, mărimile care descriu funcționarea sistemului vor fi, în acest caz:

$$I = Y_i U - Y_i V_m \quad (8.1.)$$

$$F = Y_i U + C_L \cdot V_m \quad \text{unde:}$$

$Y_i = (j\omega L_i)^{-1}$ reprezintă admitanța transductorului ;

$G_L = (R_L)^{-1}$ este conductanța echivalentă a concentratorului.

Puterea electrică, aplicată transductorului de la generator pentru obținerea unei puteri acustice P_{ac} de ieșire spre concentrator, este dată de relația :

$$P_u = \frac{P_{ac}}{\eta_{ea}} \quad (8.2.)$$

unde:

η_{ea} - reprezintă randamentul electroacoustic având valori cuprinse între 0,40... 0,55 (după Bergman) și este definit de relația:

$$\eta_{ea} = \eta_{em} \cdot \eta_{ma} \quad (8.3.)$$

η_{em} = randamentul de transformare a energiei electrice în energie mecanică ;

η_{ma} = randamentul de transformare a energiei mecanice în energie electrică.

Puterea utilă la ieșirea generatorului este legată de parametrii cuadripolului prin relația :

$$P_u = \frac{1}{2} I \cdot U \cdot \cos \varphi \quad (8.4.)$$

unde φ reprezintă -în cazul general- defazajul dintre curent și tensiune, datorat caracterului reactiv al sarcinii.

Din analiza relațiilor (8.1.) se poate observa că funcționarea ansamblului generator-transductor este influențată de o serie de parametrii de natură electrică și mecanică, cum ar fi :

- frecvența f_g a generatorului și f_o a transductorului, prin termenul Y_i ;
- dimensiunile și greutatea concentratorului atașat la transductor (prin R_L) ;
- parametrii electromecanici ai transductorului: formă, dimensiuni, înfășurări etc.

Variatia tuturor acestor parametrii are o acțiune convergentă asupra puterii de ieșire a generatorului, în sensul tendinței de micșorare a acesteia, precum și a randamentului general al ansamblului.

Pornind de la aceste date, în cursul experiențelor s-a urmărit influența asupra transferului maxim de energie către transductor și randamentului acestuia, a trei categorii de perturbații ce apar mai frecvent în funcționarea ansamblului generator-sarcină.

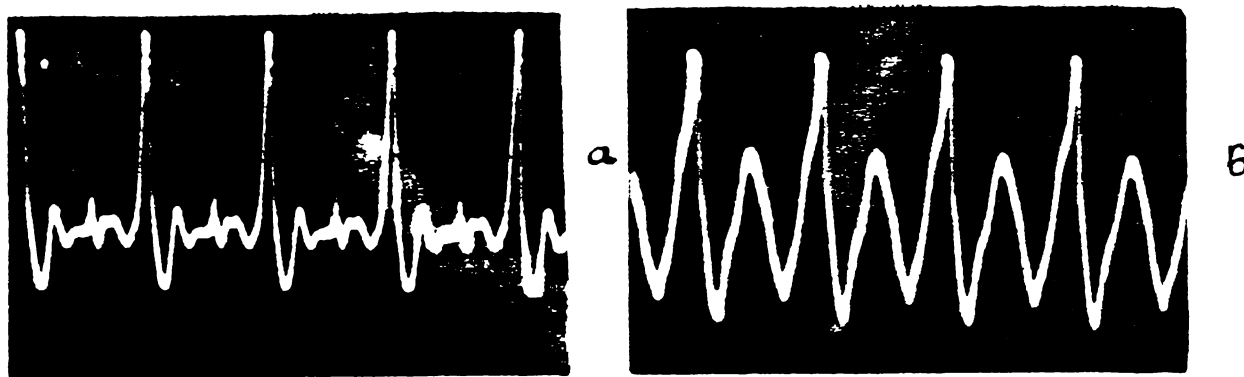
1. Variatia parametrilor generatorului (f_g , P_u , I , U)

In acest caz, s-a studiat comportarea întregului ansamblu precum și răspunsul sarcinii în situația cînd parametrii semnalului de excitație al transductorului nu se mențin la valoarea stabilită. Inițial, un transductor cu frecvență de rezonanță $f_o = 11,1$ KHz. a fost atașat cu un semnal avînd o putere constantă, dar frecvență diferită de f_o . S-au ales două cazuri limite: $f_{g1} = 20$ KHz. și $f_{g2} = 23$ KHz., astfel încît aceste puncte să intre în curba de selectivitate a circuitului oscilant echivalent al transductorului, dar să fie în afara zonei de acțiune a schemei R.A.F. (1 KHz.). Dacă forma semnalului de la ieșirea generatorului în gol, sau în situația $f_o = f_g$ este sinusoidală, cuplarea generatorului la transductor în punctele f_{g1} și f_{g2} conduce la o deformare a semnalului sinusoidal, a cărui formă este ilustrată în fig.8.4. a și b.

Această deformare este datorată răspunsului transductorului, deoarece acum ansamblul generator- transductor poate fi assimilat cu două circuite oscilante cuplate, fiecare avînd o altă frecvență de rezonanță.

In prima situație, cînd $f_g < f_o$, puterea stabilită inițial .

nu a fost suficientă pentru a excita transductorul. Mărind nivelul



-fig.8.4.- Deformarea semnalului de ieșire a generatorului în cazul cînd $f_g \neq f_o$.

puterii pînă la apariția oscilațiilor în transductor, reactanța acestuia va șunta rezistența de ieșire a generatorului, motiv pentru care semnalul este deformat și cu amplitudine mică (fig.8.4.a.)

In cazul $f_g > f_o$, puterea inițială a semnalului de ieșire este suficientă pentru a excita transductorul, deoarece crescînd f_g crește și inductanța mutuală între cele două circuite, adică $d\emptyset/dt$, deci și tensiunea electromotoare induată. In acest caz și reactanța circuitului este mai mare ($X_L = \omega L$), deci influența transductorului asupra generatorului este mai mică, de aceea nici semnalul nu este deformat atît de puternic (fig.8.4.b.)

Situația devine mai complicată și cu efecte mai mari în cazul excitării transductorului cu semnal dreptunghiular. Pornind de la relația 8.2., în această situație putem scrie :

$$P_{ac} = \gamma_{ea} \cdot P_{ul} , \text{ unde:}$$

P_{ul} reprezintă puterea debitată de generator pe prima armonică.

Rândamentul general al ansamblului devine:

$$\gamma_{ea} = \frac{P_{ac}}{\left[\sum_{n=1}^{\infty} P_u^{(n)} + \sum_{n=1}^{\infty} P_d^{(n)} \right]^{-1}} \quad (8.3.)$$

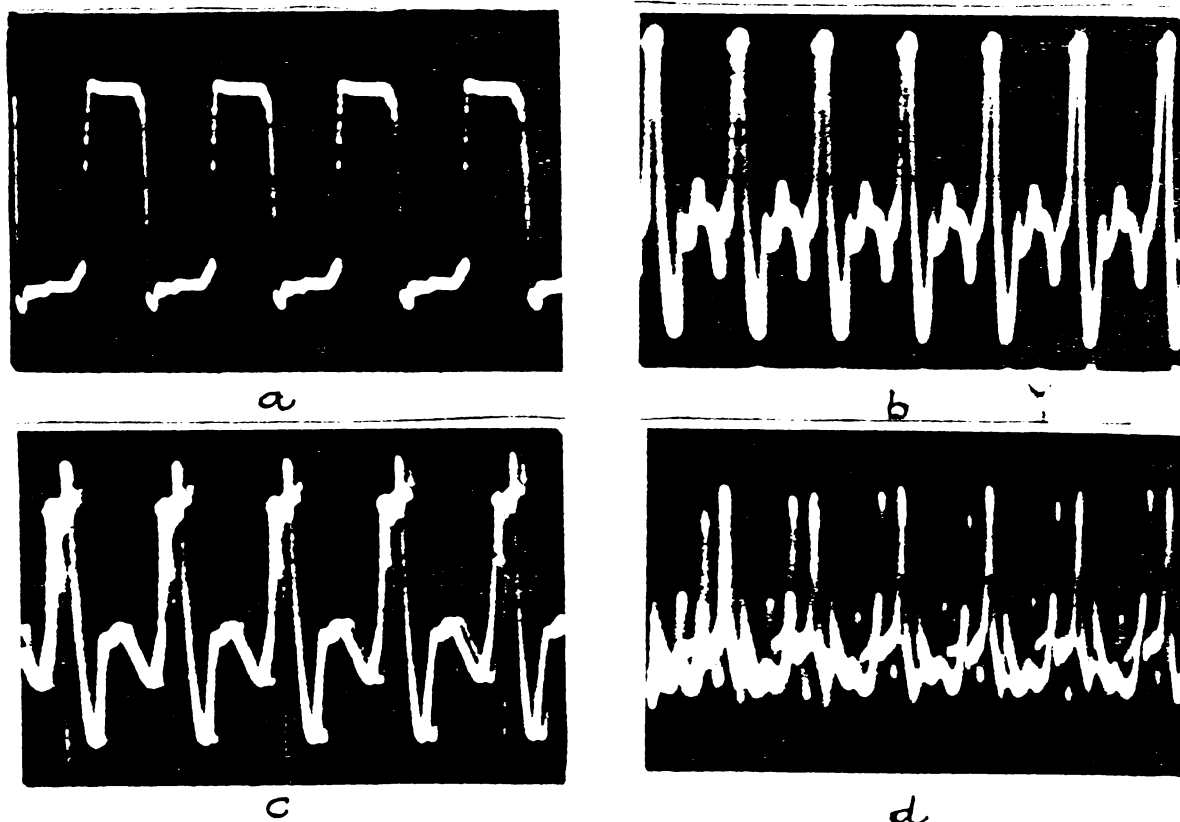
în care: $P_u^{(n)}$ = puterea generatorului pe armonica n

$P_d^{(n)}$ = puterea dissipată în transductor pe armonica n.

Datorită armonicelor din spectrul semnalului dreptunghiular, apar perturbații atît în modul de oscilare a transductorului, cît și pe traseul generator-transductor.

Același tip de transductor ca în cazul precedent a fost ataçat cu un semnal dreptunghiular ca cel din fig.8.5.a., cu urmă-

torii parametrii $f_r = f_o$; $\gamma = 0,5$ Tr. Răspunsul transductorului este ilustrat în fig.8.5.b,c,d.



-fig.8.5.- Forma semnalului de răspuns al transductorului magnetostrictiv la excitarea cu semnal dreptunghiular.

Schela cu ajutorul căreia s-a reușit afișarea semnalului de răspuns este prezentată în fig.8.6. Se poate observa că în primul caz, forma semnalului de răspuns este aproximativ sinusoidală (fig.8.5.b), ușoarele deformări ce apar în punctele de inflexiune ale sinusoidei fiind datorate formei imperfekte a semnalului de atac.

La variația frecvenței de repetiție, chiar și în limite mai mici decât în cazul semnalului sinusoidal ($f_{rl} = 20,5$ Hz., $f_{rp} = 22,5$ Hz.), transductorul încă poate fi excitat, dar forma semnalului de răspuns a oscilațiilor sale este puțin deformată (c,d.), amplitudinea lor scăde cu aproximativ 20-30%, apăr pierderi mari în transductor datorită armonicelor.

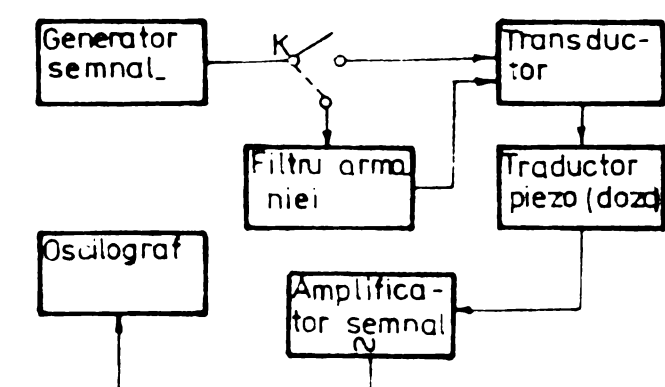
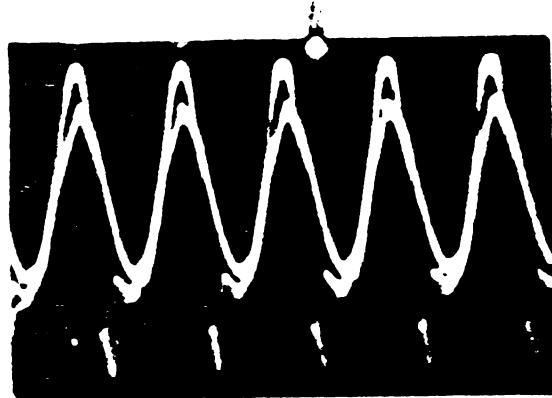


fig.8.6_Schela de afisare a răspunsului transductorului la excitarea cu semnal dreptunghiular.

Pe baza experimentelor efectuate, se poate concluziona că variația frecvenței generatorului nu influențează în condițiile în care transductorul își păstrăază frecvența de rezonanță -fig. - lucează la micșorarea performanțelor transductorului, ceea ce se dă - micșorarea parametrilor semnalului de ieșire ai generatorului(mieșo-

rarea puterii, randamentului). În cazul variației rapide a puterii de ieșire a generatorului, datorită unor cauze exterioare adaptării cu sarcina, de exemplu decuplarea accidentală a tensiunii de alimentare sau distrugerea unei celule a amplificatorului final, având în vedere caracterul activ-inductiv al sarcinii, peste semnalul normal de ieșire se suprapun unele eruptii (fig.8.7.) a căror amplitudine poate avea valori între (0,6-1,7) U_e și în majoritatea cazurilor conduc la distrugerea etajelor finale ale generatorului.



-fig.8.7.-Apariția eruptiilor în cazul variației rapide a puterii semnalului -

amplitudine a fost măsurată cu ajutorul unui oscilograf, pe baza acestor date ridicindu-se graficul din fig.8.8.

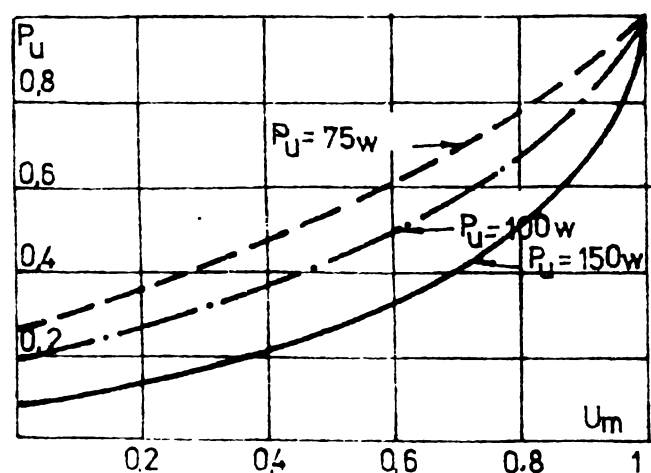


fig.8.8 _Influența puterii de ieșire asupra amplitudinii oscilațiilor transductorului

Pragul inițial de excitare a transductorului fiind de 20 W, se poate observa că în cazul unui nivel mare al puterii de ieșire, influența acesteia asupra amplitudinii oscilațiilor este mai mică, adică de la un anumit nivel al puterii de excitație, amplitudinea oscilațiilor mecanice se apropiă de U_m maxim, ca apoi, mărind mult puterea de ieșire, U_m să crească foarte puțin, acest fapt putând fi explicat prin aceea că

la un anumit nivel de excitație (90-100 W în cazul transductorului considerat), amplitudinea oscilațiilor intră în zona de "saturație", cind influența puterii asupra mărimii oscilațiilor transductorului este minimă. Această concluzie poate fi aplicată practic în sensul

că, dacă se cunoaște încărcarea maximă pe care o poate suporta un transductor, atunci excitarea optimă a lui trebuie să se facă cu 0,6- 0,7 din acest nivel maxim, situație în care se obține aproape aceeași valoare a amplitudinii oscilațiilor mecanice U_m , dar în condițiile unei încărcări mai lejere și unui randament sporit al generatorului (conform relației 6.7.)

Variatia curentului I de excitare a transductorului se repercuzează direct asupra randamentului electrostatic al acestuia, prin intermediul spirelor bobinajului și al solenăției.

Din graficul din fig.8.9. /1/, se poate observa că, cu cît solenăția este mai mare, cu atât randamentul electroacustic η_{ea}

' va scădea, ajungînd la valori cuprinse între 50-60%, funcție de tipul transductorului și numărul de spire al bobinajului. În plus, variația curentului în limite largi se resimte și în etajele finale ale generatorului, pe care le suprasolicita, motiv ce impune adoptarea unor măsuri de limitare a lui.

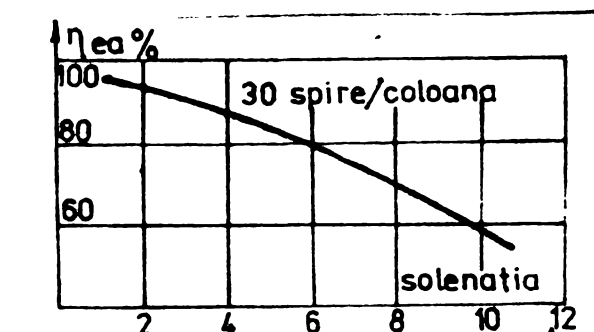


fig.8.9. Influenta variației curentului de excitare asupra η_{ea}

poate afirma că variația parametrilor elergetici ai generatorului de ultrasunete se răsfrînge atât asupra funcționării transductorului, cît și a generatorului însuși prin afectarea fiabilității, distorsiunilor semnalului de ieșire, scăderii randamentului etc.

2. Variatia parametrilor blocului ultrasonic

In capituloanele anterioare, s-a studiat influența parametrilor transductorului (f_0 , Z) asupra generatorului, ajungîndu-se la concluzia că variația atât a frecvenței de rezonanță, cît și a valoarei și caracterului impedanței are o influență negativă asupra adaptării generatorului cu sarcina și deci, a transferului de energie între aceste elemente. Dacă la rezonanță, impedanța transductorului are un caracter activ, prin cuplarea concentratorului acest caracter se modifică, concentratorul avînd un rol destabilizator asupra echilibrului energetic și funcțional al sistemului, în sensul modificării caracterului sarcinii și a devierii frecvenței de rezonanță. Odată cu concentratorul, influență destabilizatoare asupra sistemului au și parametrii spațiului de prelucrare care apar în schema electrică echivalentă a transductorului sub forma unor componente R_m , C_m , L_m dependente de mișcare, forță etc.

Experimental, s-a constată că într-un bloc ultrasonor pe lîngă vibrațiile longitudinale, apar și vibrații transversale sau radiale în care se pierde o parte din energia electroacustică, vibrații datorate atât factorului de amplificare A al concentratorului, cît și modului de prindere a acestuia la transductor. Dacă prinderea nu se execută într-un punct în care amplitudinea oscilației trece prin zero, pe traseul transductor-concentrator -sculă apar reflexii, se stabilește un regim de unde staționare, iar amplitudinea oscilațiilor sculei scade.

Tot experimental s-a constatat că o serie de factori, cum ar fi: calitatea lipirii concentratorului la transductor, masa sarcinii ce se fixează de transductor, presiunea de apăsare a sistemului concentrator- sculă, "impedanța" mecanică a spațiului de luncru, conduc la modificarea frecvenței de rezonanță, așa cum se poate observa și în tabelul 8.1. /40/, în sensul micșorării acesteia față de valoarea calculată. Modificarea frecvenței de rezonanță conduce implicit la dezadaptare cu generatorul, apariția de pierderi în transductor și concentrator, iar în final, la scăderea rădamentului blocului ultrasonic. Scăderea frecvenței de rezonanță față de cea calculată poate fi explicată prin aceea că toți acești factori contribuie la mărirea lungimii "electrice echivalente" a concentratorului.

Tabelul 8.1.

Nr. crt.	Tipul concentrator.	Lungime (mm)	Frecvența de calcul KHz.	Frecvența de rezonanță(KHz.)	Dezacord	Masa concentr.
1.	exponențial	174,58	20,0	19,52	480	0,519
2.	exponențial	178,97	19,5	18,92	680	0,720
3.	exponențial	188,64	18,5	17,66	900	0,916
4.	conic	174,58	20,0	19,26	740	1,060
5.	conic	178,97	19,5	18,49	1.010	1,100
6.	conic	188,64	18,5	17,30	1.200	1,200
7.	catenoidal	174,58	20,0	19,56	449	0,375
8.	catenoidal	178,97	19,5	18,92	580	0,490
9.	catenoidal	188,64	18,5	17,80	700	0,600

Din tabel se observă că majoritatea deviațiilor au valori care pot să conducă la scăderea puterii utile de ieșire a generatorului cu 15-25%, în cazul că nu se adoptă scheme de R.A.F. Eliminarea acestui factor perturbator se poate realiza prin introducerea unui coeficient de corecție în calculul concentratorului. Astfel, dacă

transductorului i se fixează o masă m_i cunoscută, a unui concentrator, pentru care se măsoară un dezacord Δf_i al blocului ultrasonor față de f_0 , o masă oarecare a unui concentrator va introduce undezacord Δf dat de relația /40/ :

$$\Delta f = \frac{\Delta f_i}{f_0} = (1 + \Delta f_i)^{-1} \cdot (m_i)^{-1/2} \cdot \\ \cdot \left[\Delta f_i^2 (m_i - m) + 2\Delta f_i (m_i - m) + m_i \right]^{1/2}$$

Cunoașterea dezacordului relativ este necesară, deoarece fiecare generator având o bandă de frecvență în care se asigură menținerea nivelului de putere stabilit, adică un dezacord Δf_g , se poate determina valoarea maximă a masei m_a pentru care $\Delta f < \Delta f_g$.

$$m_a = m_i \Delta f_g \cdot (2 + \Delta f_g) \cdot (\Delta f_i^2 + 2\Delta f_i)^{-1} \cdot (1 + \Delta f_i)^2 \cdot (1 + \Delta f_g)^{-2}$$

Rezultă:

$$m_a = m_i \cdot \Delta f_g \cdot \Delta f_i \cdot (2 + \Delta f_g) \cdot (2 + \Delta f_i)^{-1} \cdot (1 + \Delta f_i)^2 \cdot (1 + \Delta f_g)^{-2}$$

Se poate, deci, concluziona că variația parametrilor blocului ultrasonor (transductor-concentrator-sculă) are o influență directă asupra adaptării ansamblului generator-transductor și în ultimă instanță, asupra transferului de energie către sarcina generatorului.

3. Apariția perturbațiilor pe linia de legătură generator-transductor

In capitolul anterior s-a arătat că legătura între generator și sarcină nu se face direct, ci prin intermediul unor circuite sau elemente care au rolul - pe de o parte de a realiza o bună adaptare între cele două elemente, iar pe de altă parte de a proteja generatorul de eventualele accidente ce ar putea apărea în funcționarea blocului ultrasonor (ruperea concentratorului, fisurarea sau spargerea transductorului, mărirea peste limitele admise a dezacordului $\Delta f = f_0 - f_g$ etc). Totodată, la generatoarele moderne, pe această legătură se fixează și schemele R.A.F. sau R.A.P., deoarece în majoritatea cazurilor, principiul lor de funcționare se bazează pe culegerea unui semnal de la transductor, prelucrarea lui și, funcție de informație, se comandă funcționarea unor etaje ale

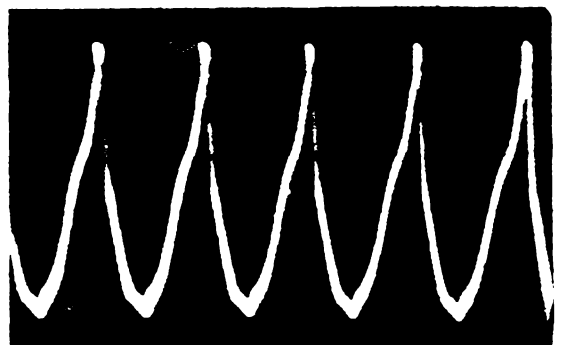
generatorului, ca oscilatorul de frecvență sau amplificatoarele finale.

Astfel, întreruperea unuia din condensatoarele C_1 , C_2 , C_c din fig.7.4. sau 7.5. duce la o deformare a semnalului sinusoidal de ieșire (fig.8.10.a.), iar defectarea unuia din elementele filtrului

'de atenuare a armonicelor în cazul semnalului dreptunghiular provoacă atât deformarea semnalului de excitație (b) datorită reacției transductorului, cît și apariția în acesta a oscilațiilor parazite (c) care produc o micșorare a randamentului blocului ultrasonor, creșterea pierderilor în transductor, iar în unele cazuri, chiar distrugerea prin fisurare la transductoarele cu ferită.

• In decursul experiențelor, a ieșit în evidență faptul că utilizarea schemelor R.A.P. și R.A.F. contribuie într-o oarecare măsură la micșorarea puterii utile de ieșire a generatorului, așa cum se observă și din fig.8.11 și 8.12., unde graficele au fost trasate pe baza rezultatelor experimentale..

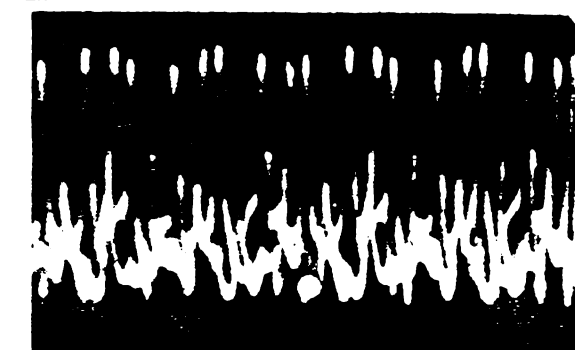
Acest fenomen se datorează faptului că în ambele situații, o parte din energia semnalului util



a



b



c

-fig.8.10.-Influența perturbațiilor datorate elementelor de cuplaj generator-sarcină.

tului că în ambele situații, o parte din energia semnalului util

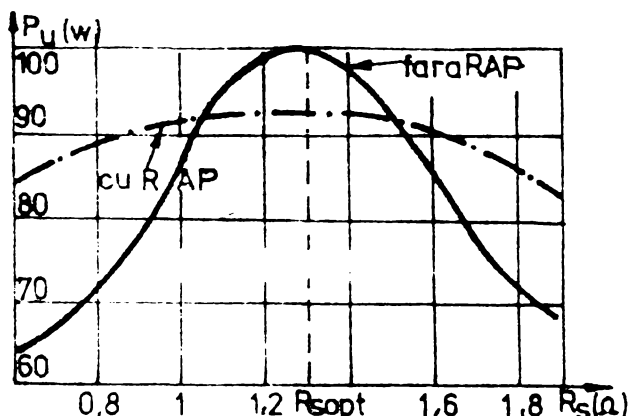


fig. 8.11-Influența cuplării schemei asupra puterii utile

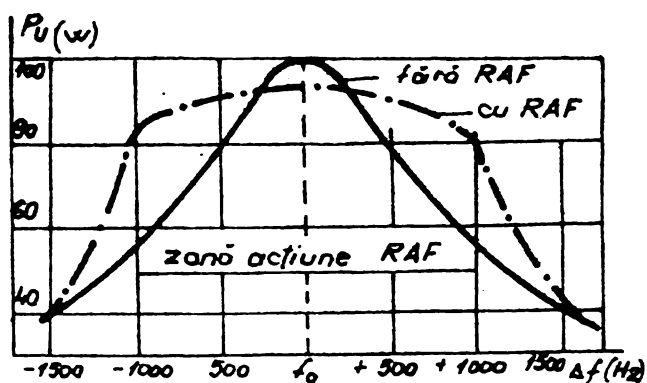


fig. 8.12 Influența cuplării schemei RAF asupra puterii utile.

este "prelucrată" de cele două scheme, în vederea obținerii de in-

formatii pentru elementele de execuție.

Analiza acestor categorii de perturbații a scos în evidență faptul că variația oricărui parametru al generatorului sau blocului ultrasonic are influență negativă asupra transferului maxim de energie de la generator către sarcină, a randamentului blocului ultrasonic, iar în cazuri extreme - cînd efectele tuturor acestor variații se cumulează - se poate ajunge la neîndeplinirea condițiilor necesare executării procesului de prelucrare sau degradării parametrilor ansamblului generator - transductor.

8.2. PROCEDEE DE MENTINERE A NIVELULUI PUTERII DE IESIRE A GENERATORULUI

Rezultatele experiențelor efectuate cu ansamblul generator - transductor în diverse condiții de lucru confirmă faptul că orice perturbație apărută în funcționarea acestui sistem afectează direct sau indirect puterea utilă la ieșirea generatorului, prin aceasta degradîndu-se atît parametrii energetici ai generatorului, cît și cei ai blocului ultrasonor. Astfel, menținerea unui nivel ridicat al puterii de excitație a transductorului, cînd acesta - datorită unei perturbații - nu poate transfera energie către concentrator, sau cînd concentratorul este decuplat de sarcină (întreruperea procesului de prelucrare) și lucrează în gol, conduce la dissiparea excesivă de putere în transductor și la distrugerea acestuia. Adoptarea unor mijloace manuale de stabilire a puterii de ieșire (nivele de putere în trepte) reprezintă o soluție incomodă, deoarece aprecierea gradului de transfer al energiei este lăsată la latitudinea operatorului, reclamînd atenția permanentă a acestuia. În acest context, se impune stabilirea automată a nivelului puterii de ieșire și menținerea acestuia în condițiile oricărora perturbații accidentale sau de durată, apărute în funcționarea sistemului. Acest deziderat poate fi asigurat atît prin controlul puterii de ieșire și eliminarea cauzelor care ar putea provoca variația puterii, cît și prin menținerea nivelului odată stabilit, indiferent de comportarea sarcinii.

8.2.1. Controlul puterii de ieșire a generatorului

În acest caz, se utilizează de obicei reacția negativă, în scopul de a menține nivelul puterii de excitație a transductorului proporțional cu impedanța concentratorului transferată în circuitul de sarcină a generatorului. Semnalul de reacție se poate lua chiar de pe transductor și cu el poate fi controlată fie încărcarea etajelor finale ale generatorului, fie funcționarea etajelor primare

ale acestuia /16, 51, 109/.

Astfel, în fig. 8.13., semnalul de reacție este utilizat pentru a controla cîstigul amplificatorului de putere. În această și -

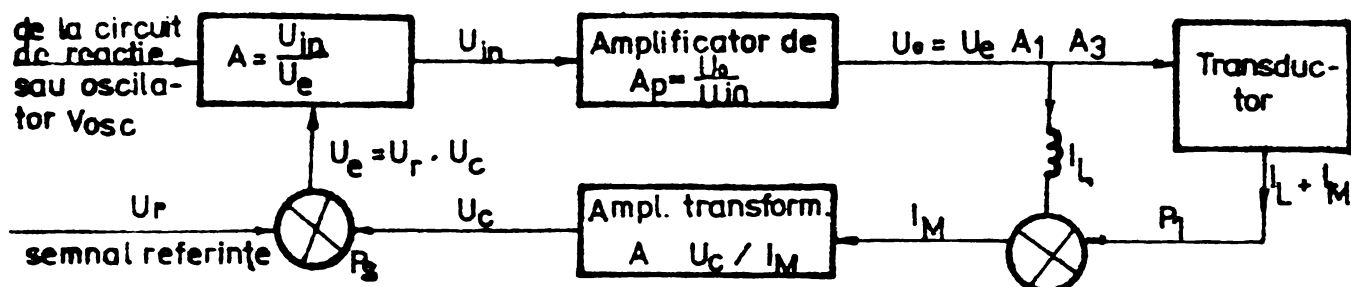


fig. 8.13 - Controlul cîstigului amplificatorului de putere cu ajutorul unei tensiuni de eroare .

tuație, în paralel cu transductorul magnetostriktiv, se couplează o inductanță de valoare egală cu inductanța pe care o prezintă acesta la rezonanță. Prin transductor va circula un curent constant determinat de X_L și un curent variabil I_M , a cărui valoare depinde de R_L definită de relația (7.18) și care este variabilă, funcție de încărcarea mecanică a concentratorului, deci I_M va depinde de parametrii procesului de prelucrare.

In punctul de însumare P_1 , cei doi curenți se scad și la intrarea amplificatorului A_2 apare doar I_M . La ieșirea acestui amplificator, va rezulta un semnal de eroare U_c proporțional cu I_M și care poate ataca amplificatorul liniar A_3 fie direct, fie după ce este comparat cu un semnal de referință și astfel, amplificatorul de putere va fi excitat cu un semnal proporțional cu eroarea, dar în sensul micșorării acestuia. Acest fapt poate fi scos în evidență scriind funcțiile de transfer ale elementelor schemei:

$$U_o = U_e \cdot A_1 \cdot A_3 \quad \text{dar} \quad U_e = U_r - U_c$$

$$U_o = A_1 \cdot A_3 (U_r - U_c) = A_1 \cdot A_3 \cdot U_r - A_1 \cdot A_3 \cdot U_c \quad \text{și cum } U_c = A_2 \cdot I_M \\ \text{va rezulta:}$$

$$U_o = A_1 \cdot A_3 \cdot U_r - A_1 \cdot A_2 \cdot A_3 \cdot I_M \quad \text{sau}$$

$$U_o = A_1 \cdot A_2 \cdot A_3 \left(\frac{U_r}{A_2} - I_M \right)$$

Amplificatorul liniar care este un montaj pretențios, poate fi în-

locuit cu o sursă controlată prin tensiune care alimentează amplificatorul de putere (fig.8.14.).

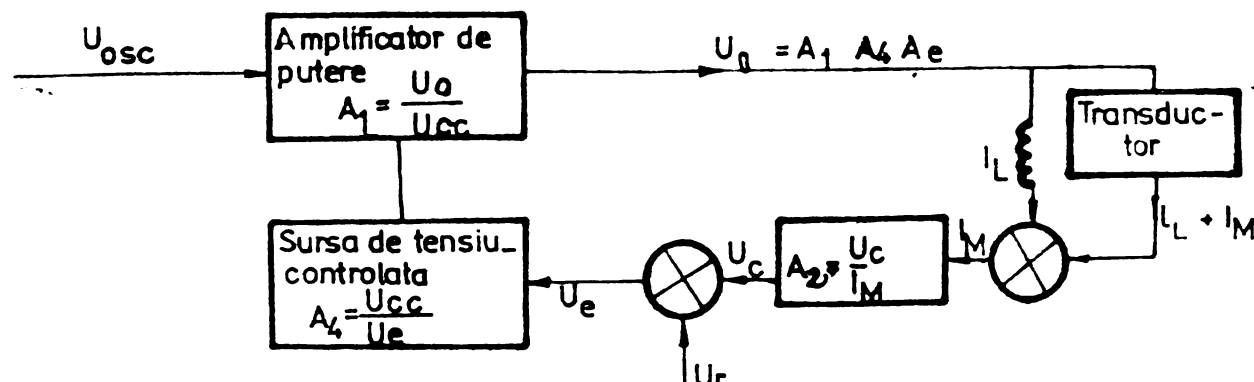


fig. 8.14_Reglarea cistigului amplificatorului de putere printr-o sursa de tensiune controlata

In acest caz, tensiunea de ieșire U_o va fi proporțională cu tensiunea U_{cc} de alimentare, care nu este constantă, ci proporțională cu semnalul de eroare U_e derivat de curentul I_M cu ajutorul amplificatorului transformator A_2 , a cărui amplificare este proporțională cu curentul I_M . Dezavantajul acestui procedeu îl constituie faptul că permanent amplificatorul de putere lucrează cu o rezervă și nu poate fi utilizat eficient. O variantă a acestor procedee este reprezentată în fig.8.15. pentru situația cînd semnalul la ieșirea amplificatorului este dreptunghiular.

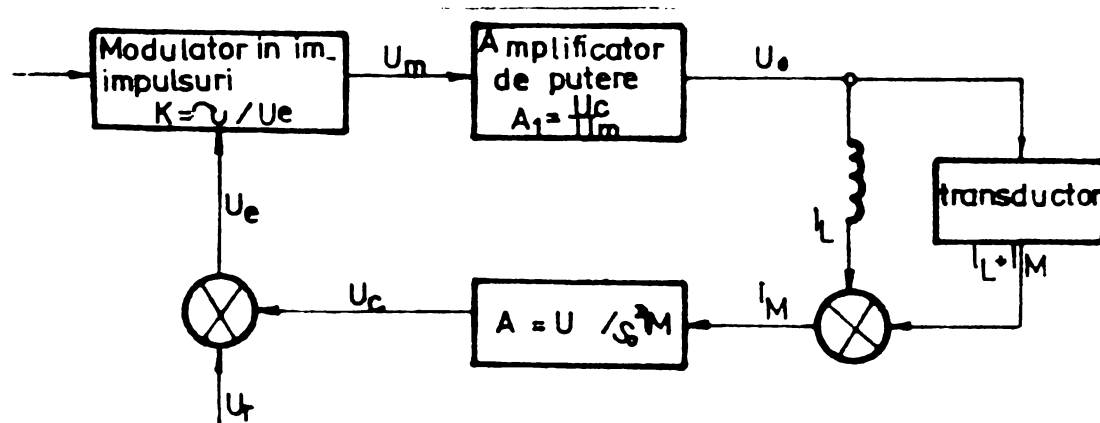


fig. Controlul amplificatorului de putere cu ajutorul unui 8.15 modulator de impulsuri

Timpul de lucru τ al modulatorului este acum proporțional cu semnalul de eroare al tensiunii U_e , timpul τ fiind egal cu funcția de transfer a modulatorului înmulțită cu tensiunea U_e . Valoarea tensiunii U_o va fi:

$$U_o = A_1 \cdot U_m = A_1 (K \cdot U_e) = A_1 \cdot K (U_r - U_c) \text{ sau}$$

$$U_o = A_1 \cdot (K \cdot U_r - K \cdot A_2 \int_0^T I_M \cdot dt) = A_1 \cdot A_2 \cdot K (U_r \cdot A_2^{-1} - \int_0^T I_M \cdot dt)$$

În fig. 8.16. este prezentată forma de variație a curentului, precum și timpul de lucru al amplificatorului de putere pentru două situații distincte. Astfel, cînd

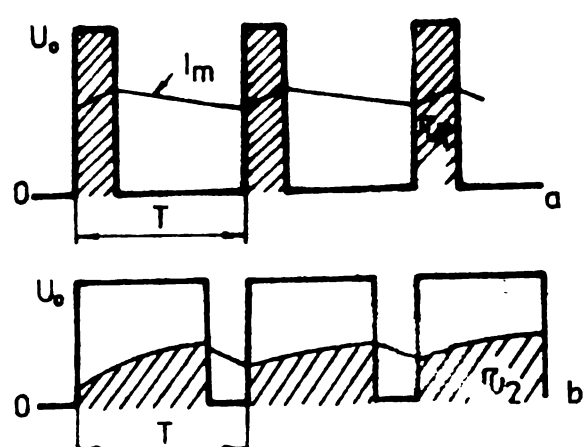


fig. 8.16. Variatia timpului de lucru
functie de curentul I_M

impedanța mecanică este mică și curentul tinde să crească mult, modulatorul va excita amplificatorul doar pe timpul τ_1 , scurt, astfel că valoarea lui I_M pe întreaga perioadă T rămîne constantă. În cazul în care, datorită dezadaptării, impedanța mecanică a transductorului crește brusc,

curentul va tinde să scadă și atunci modulatorul va porni amplificatorul de putere un timp mai îndelungat, astfel încît aria totală a integralei lui I_M rămîne aproximativ egală în cele două cazuri.

Dezavantajul schemei rezidă din faptul că forma envelopei curentului I_M în ambele cazuri depinde mult de rezistență internă a generatorului, în special dacă acesta are valori semnificative.

8.2.2. Scheme de reglare automată a nivelului puterii de ieșire

Spre deosebire de celelalte procedee, în acest caz nu se caută să se limiteze efectele perturbațiilor (este foarte greu de a se acționa asupra tuturor tipurilor de perturbații, unele avînd un caracter aleator), ci să se mențină constant nivelul puterii de ieșire, în orice condiții, prin "injectarea" spre sarcină a unei rezerve de putere.

În realizarea montajului s-a pornit de la faptul verificat experimental că în toate cazurile: neadaptare, deviația frecvenței de rezonanță a transductorului, apariția sarcinii reactive, puterea la ieșirea generatorului scade.

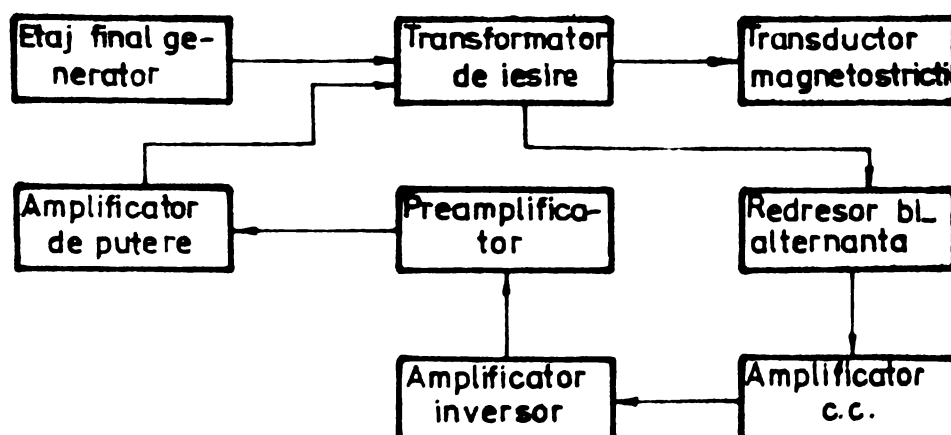


fig. 8.17. Schema de reglare automată a nivelului puterii de ieșire

Printr-o infășurare suplimentară a transformatorului de ieșire, o

fracțiune din puterea utilă a generatorului ($2-5\text{ W}$) este utilizată în aşa fel, ca o eventuală scădere a valorii P_u să provoace o creștere a tensiunii pozitive aplicate etajului preamplificator, permitând o mărire a amplificării acestuia și deci, un atac mai puternic al etajului final. Astfel, în momentul scăderii puterii în secundarul transformatorului de ieșire, scade și amplitudinea oscilațiilor dirijate spre redresor, micșorîndu-se nivelul tensiunii la ieșirea acestuia și a amplificatorului de C.C. Amplificatorul inversor fiind echipat cu tranzistoare p.n.p., această scădere a nivelului tensiunii de excitărie pe baza tranzistoarelor, provoacă o deschidere puternică a acestora și deci, creșterea amplificării, care conduce la mărirea excitării etajelor finale. În prima situație, acestea funcționează cu o ușoară negativare fixă care este anulată atunci cînd schema R.A.P. intră în funcțiune - de tensiunea de ieșire a preamplificatorului. În cel de-al doilea caz, amplificatorul final este echipat cu o celulă suplimentară acționată de schema R.A.P. și care poate furniza la ieșire o putere de $30-40\text{ W}$, compensind pierderea inițială de putere provocată de eventualele perturbații.

O variantă a acestei schme este cea din fig.8.18., în care însă se

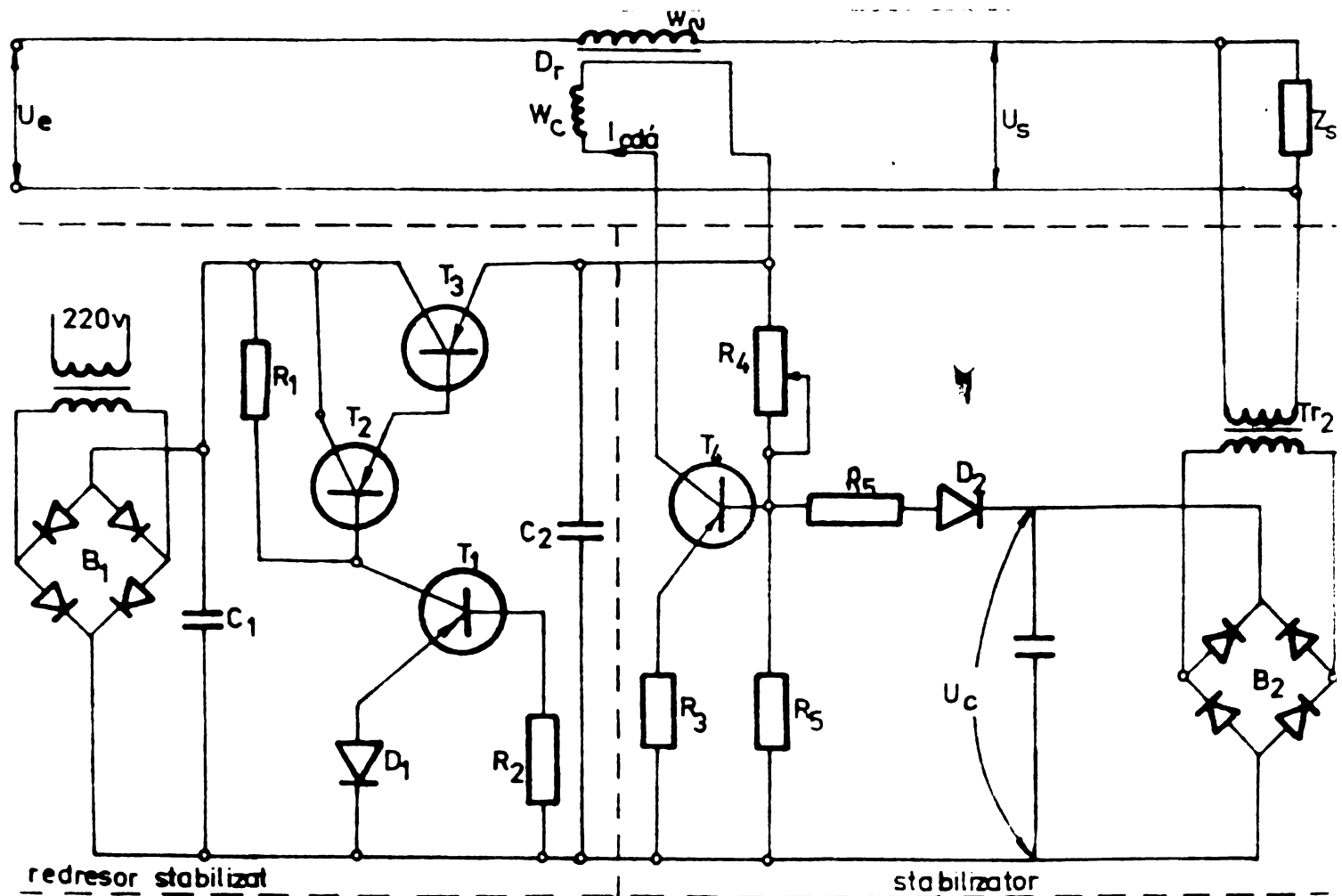


fig. 8.18. Schemă de stabilizare a amplitudinii oscilațiilor de la ieșirea generatorului

urmărește stabilizarea amplitudinii oscilațiilor la ieșirea generatorului funcție de variațiile sarcinii /31, 67/.

Această schemă folosește metoda de autocompensare a reglării tensiunii de ieșire U_e cu ajutorul unui drosel de comandă cuplat în circuitul de ieșire al generatorului, în serie cu sarcina și care lucrează pe porțiunea neliniară a caracteristicii, în apropierea zonei de saturatie. Comanda droselului se face în C.C., a cărui valoare depinde de variațiile tensiunii U_s de pe sarcină. Înfășurarea de c.a. a droselului este formată din două secțiuni dispuse pe cîte un miez și cuplate în aşa fel, încît să aibă loc o compensare reciprocă a fluxurilor alternative. Pentru obținerea semnalului de comandă, se folosește un amplificator de C.c. a cărui alimentare se face de la o sursă stabilizată, montată pe o schemă formată din T_1 , T_2 , T_3 . Sarcina amplificatorului o constituie înfășurările de comandă ale droselului, variația negativării tranzistorului T_4 făcindu-se de la redresorul B_2 a cărui tensiune de ieșire este proporțională cu U_s . În circuitul lui B_2 este cuplat stabilizatorul D_2 , care lucrează ca diodă de referință pe care se obține tensiunea redresată a semnalului. Astfel, cînd U_s crește, negativarea lui T_4 crește (spre 0°) și curentul tranzistorului (p.n.p.) scade brusc, fapt ce duce la micșorarea saturăției miezului și la creșterea inducției B , ce determină mărirea tensiunii în înfășurarea de comandă, compensînd creșterea lui U_s . Dacă U_s scade, tensiunea pe înfășurările de comandă ale droselului se micșorează, pe sarcină menținîndu-se o tensiune apropiată de valoarea ei nominală. Reglarea regimului se face din R_3 și R_4 . Schema asigură o stabilitate a tensiunii U_s de $\pm 2,5\%$ la o modificare a valorii lui Z_s de 10 - 15%.

Experiențele efectuate în cadrul laboratorului de ultrasunete al

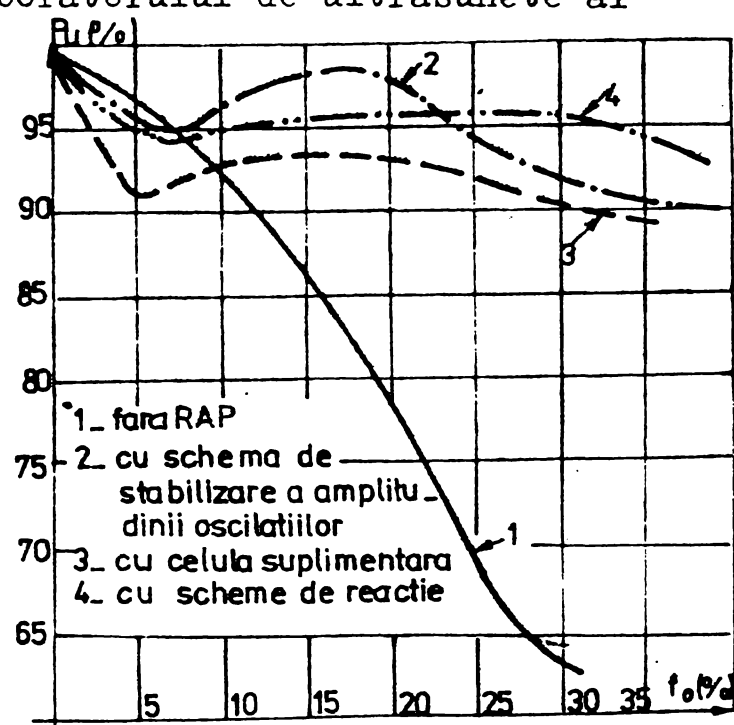
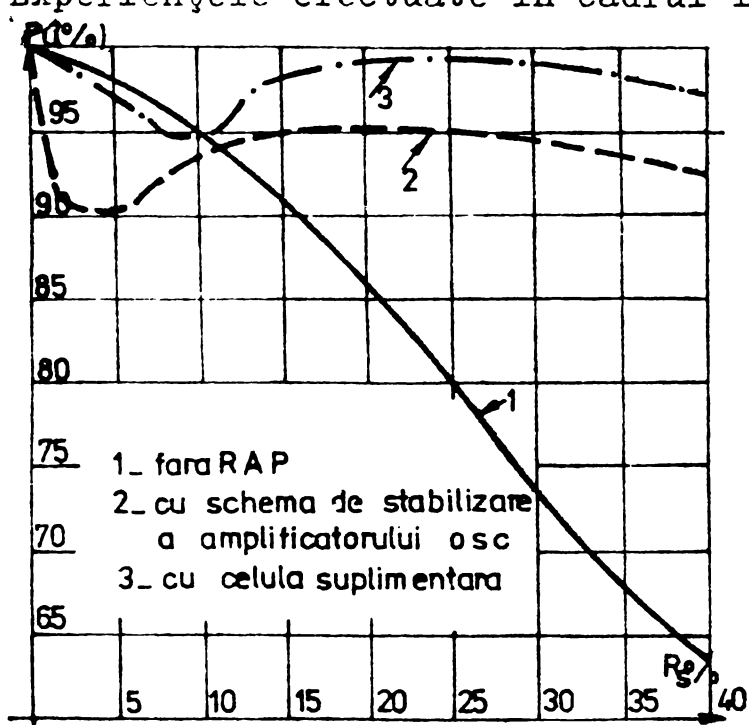


fig. 8.19_Gradul de eficacitate a schemelor de RAP în cazul variației R_s și f_0

Institutului Politehnic Timișoara privind eficacitatea acestor scheme a permis trasarea graficelor din fig.8.19.a și b, din care

se pot desprinde o serie de concluzii interesante. Experiențele s-au efectuat pentru o putere utilă $P_u = 200 \text{ W}$ și la variații ale lui R_s în sensul micșorării ei, iar pentru f_o , variații în stînga și în dreapta punctului de rezonanță $f_g = f_o$.

Din analiza graficelor, se poate observa că:

- nici una din scheme nu reduce puterea de ieșire la nivelul inițial, deoarece o fracțiune din această putere este utilizată pentru a forma semnalul de comandă a etajelor finale sau elementelor de reglare ;
- în cazul micșorării puterii datorită variației lui R_s (dar menținerii caracterului său activ), cele mai eficiente se dovedesc schemele de stabilizare a amplitudinii oscilațiilor, precum și de reglare automată a nivelului stabilit al puterii de ieșire ;
- modificarea caracterului sarcinii implică, pentru controlul puterii de ieșire a generatorului, fie utilizarea unor scheme R.A.F., fie a celor ce utilizează tehnici de reacție negativă, deoarece prelucrarea semnalului în acest caz elimină și eventualele defazaje ce apar între I_e și U_e , datorită caracterului reactiv al sarcinii ;
- toate tipurile de scheme micșorează pierderile de putere în afara zonei de rezonanță a ansamblului generator-transductor, prin aceea că sistemul funcționează scurt timp în această zonă, procedeele menționate fie că limitează influența factorilor ce scot sistemul din rezonanță, fie că în prezența acestor factori readuc ansamblul în condițiile initiale de funcționare.

8.3. MARIREA PUTERII SI RANDAMENTULUI GENERATORULUI PENTRU UN ANSAMBLU GENERATOR- TRANSDUCTOR

Pornind de la relațiile cunoscute ale puterii și randamentului etajelor finale, pe baza rezultatelor și concluziilor experimentale, s-a căutat mărirea acestor parametrii, în contextul funcționării generatorului pe o sarcină complexă- transductorul cuplat cu concentratorul- sarcină supusă unor variații datorită condițiilor concrete de lucru. În această situație, puterea de ieșire depinde și de o serie de factori ca: modul de cuplare a concentratorului, "impedanța" spațiului de lucru, amplitudinea oscilațiilor mecanice ale blocului ultrasonic, aceștia avînd o influență directă sau indirectă asupra valorii și caracterului sarcinii pe care este debi-

tată puterea generatorului. Datorită acestui motiv, în decursul experiențelor, pentru diferite blocuri ultrasonice s-a căutat modalități de obținere a unor puteri și randamente superioare în condiții reale.

8.3.1. Adoptarea formei optime a semnalului de excitare a transductorului

Din capitolele anterioare s-a văzut că nivelul puterii de ieșire la un generator de ultrasunete depinde, în mare măsură, de regimul de lucru al etajelor finale și forma semnalului de amplificat, puteri mai mari obținându-se în cazul funcționării în regim de comutație sau în impuls. În această idee a fost experimentată excitarea unui transductor cu diferite forme de semnal, urmărindu-se amplitudinea oscilațiilor acestuia, cît și randamentul întregului sistem. S-a căutat, de asemenea, forma de semnal pentru care se obțin puteri de ieșire și randamente cît mai mari. Cu ajutorul schemei din fig.8.6. s-a putut vizualiza forma și mărimea oscilațiilor transductorului pentru diferite semnale de excitare. Considerînd o celulă finală ca cea din fig.8.20, pentru aceasta puterea utilă și randamentul sănt descrise de graficele din fig.8.21.a,b.

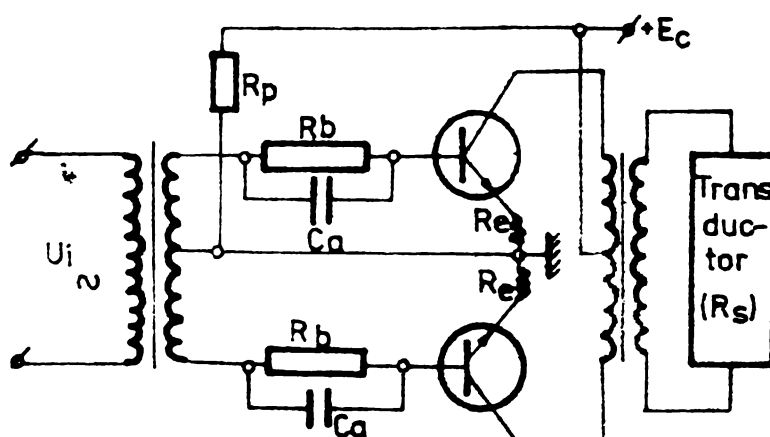
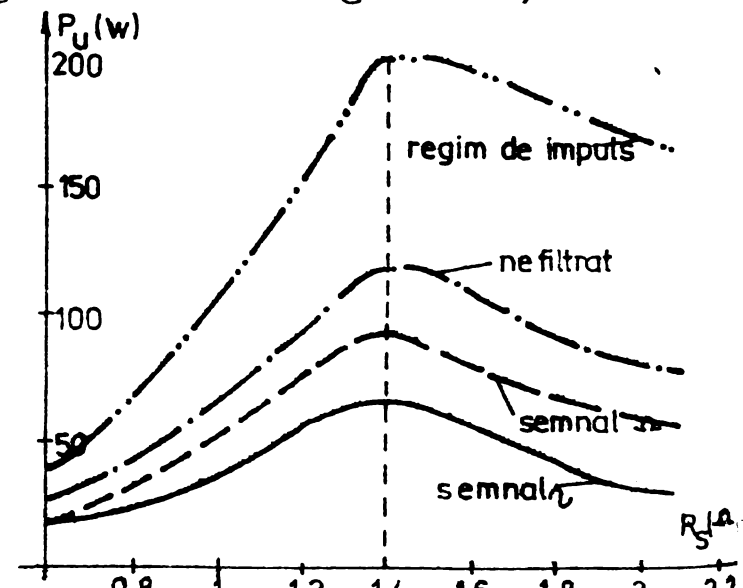


fig.8.20. Schema unei celule finale în con-tratimp



În toate cazurile, parametrii semnalului de ieșire au fost aleși cei optimi. Astfel, semnalul dreptunghiular este de tip "meandre" cu $f_n = 20,5$ KHz. (egală cu f_o a transductorului), iar la regimul în impuls, durata impulsului și intervalul dintre două impulsuri succesiive s-a stabilit astfel încât să se obțină o putere maximă. Dacă, aşa cum era de așteptat, din punct de vedere al generatorului, puterea utilă și randamentul sănt maxime pentru regimurile în impuls și de comutație, răspunsul transductorului este puțin dife-

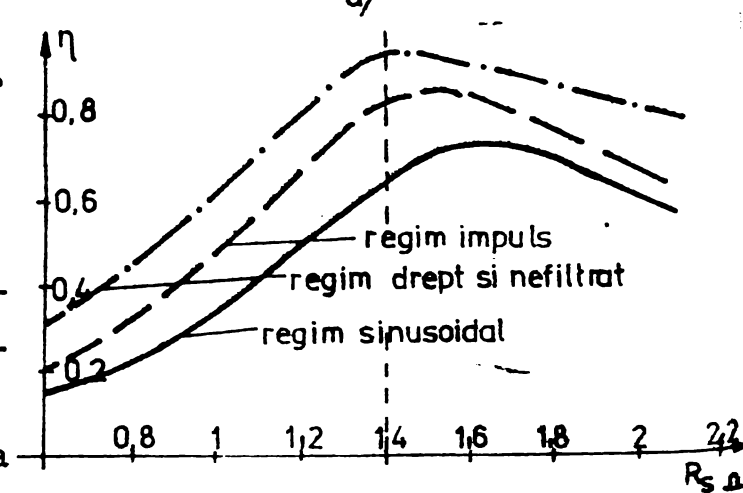


fig.8.21. Variatia puterii și randamentului pentru diferite regimuri de funcționare a etajului final

rit, în sensul că o funcționare stabilă cu un randament ridicat se obține totuși cu o excitație sinusoidală, cu o frecvență $f_g = f_o$. Astfel, aceeași valoare a amplitudinii oscilațiilor transductorului U_m se obține pentru nivele de puteri de excitație diferite, așa cum rezultă și din tabelul 8.2., din acest punct de vedere cel

mai eficace dovedindu-se regimul sinusoidal. Acest fapt se poate explica prin aceea că la funcționarea etajelor finale în regim de comutare, tensiunea pe transductor are o formă dreptunghiulară și doar prima armonică a acestei tensiuni - cea care are $f = f_o$ și a cărei amplitudine este aproximativ 0,65 din valoarea tensiunii dreptunghiulare - determină întrarea transductorului în oscilație, celelalte armonici contribuind la creșterea pierderilor în trans-

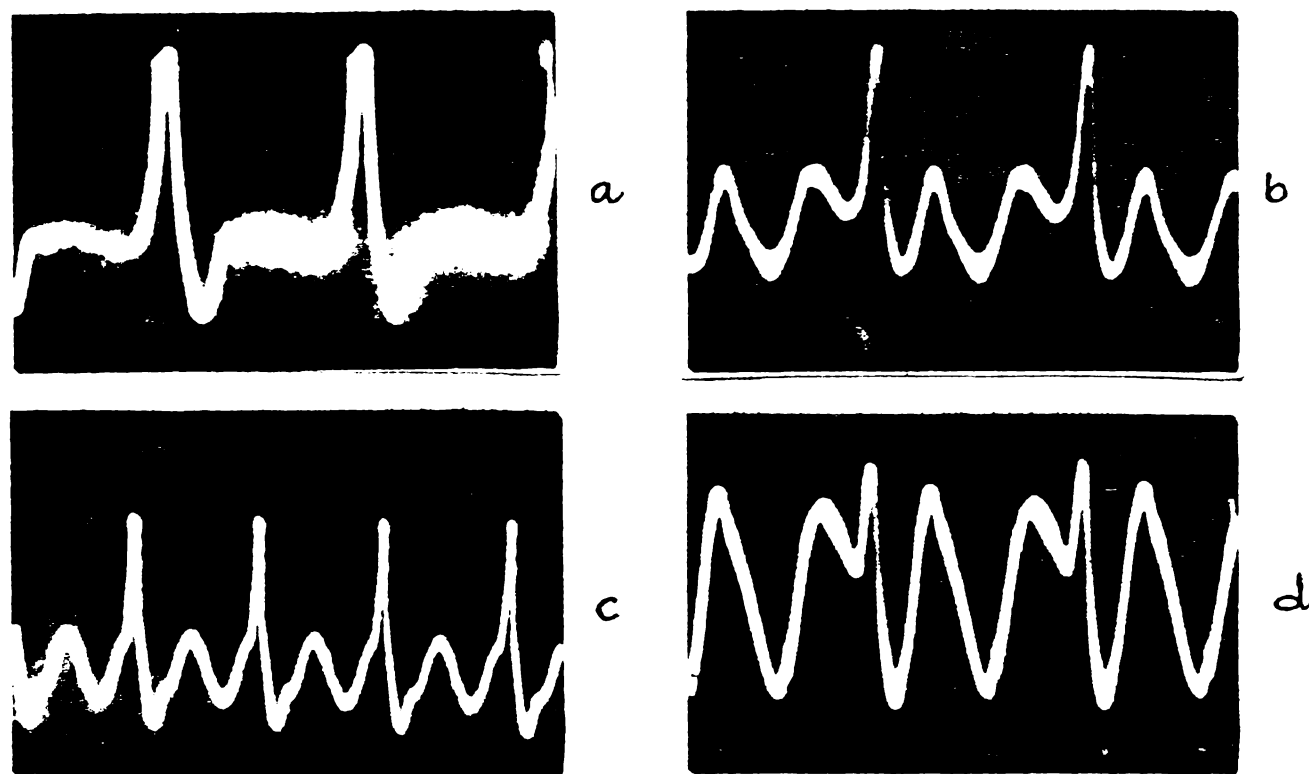
Tabelul 8.2.

Regimul de funcționare a etajului final	U_m (diviziuni oscilograf)	P_u (W)
-sinusoidal	lo	80
-sinusoidal cu tensiune de alimentare nefiltrată	lo	96
-comutare fără filtru de atenuare a armonicelor.	lo	135
-comutare cu filtru de atenuare a armonivelor.	lo	105
-impuls	lo	140

ductor. Utilizarea filtrelor de suprimare a armonicelor superioare duce la micșorarea considerabilă a acestor pierderi, însă în aceste filtre se consumă 20 - 25% din puterea semnalului de excitație.

Din analiza datelor cuprinse în tabel, se observă că și în cazul regimului sinusoidal, dar cu tensiune de alimentare nefiltrată, se impune o putere de excitație mai mare, fapt ce se explică prin pierderea unei părți a puterii utile în elementele reactive ale sarcinii care se reflectă în primarul transformatorului de adaptare, provocând variații de tensiune sau curent pe ele, care nu se anulează reciproc. Deși la prima vedere s-ar părea că regimul sinusoidal este cel mai avantajos, deoarece nu produce pierderi suplimentare în transductor, nu implică utilizarea de filtre speciale; trebuie ținut cont că în celelalte cazuri, deși se solicită nivele de putere mai mari, acestea se obțin relativ ușor, în regimuri termice mai lejere pentru etajele finale. Obținerea acestor parametrii în regim de comutare sau impuls impune însă o corelare strictă a duratei și frecvenței de repetiție a impulsurilor cu frecvența de oscilație a transductorului.

Astfel, în fig.8.22. sînt redate oscilațiile transductorului excitație cu semnal dreptunghiular cu ζ și f_r variabil. Dacă în cazul



- fig.8.22.- Deformarea oscilațiilor transductorului la variația parametrilor semnalului de excitație.

în care $f_r = f_o$ și $\zeta = 0,5 \text{ Tr}$ (a), oscilațiile transductorului sînt maxime pentru nivelul de putere stabilit, variația lui f_r duce atît la deformarea formei oscilațiilor, cît și la apariția de oscilații intermediare (b și c) ce produc pierderi în transductor și concentrator. Pentru anumite valori ale acestor parametrii, oscilațiile intermediare au amplitudini destul de mari (d), transductorul oscilînd "forțat" pe o frecvență diferită de frecvența sa naturală de oscilație, fapt ce duce la creșterea pierderilor și stricarea adaptării cu generatorul. Concluzii interesante s-au desprins și în urma testării transductorului la excitații cu impulsuri de tensiune obținute cu o schemă ca cea din fig.8.23.

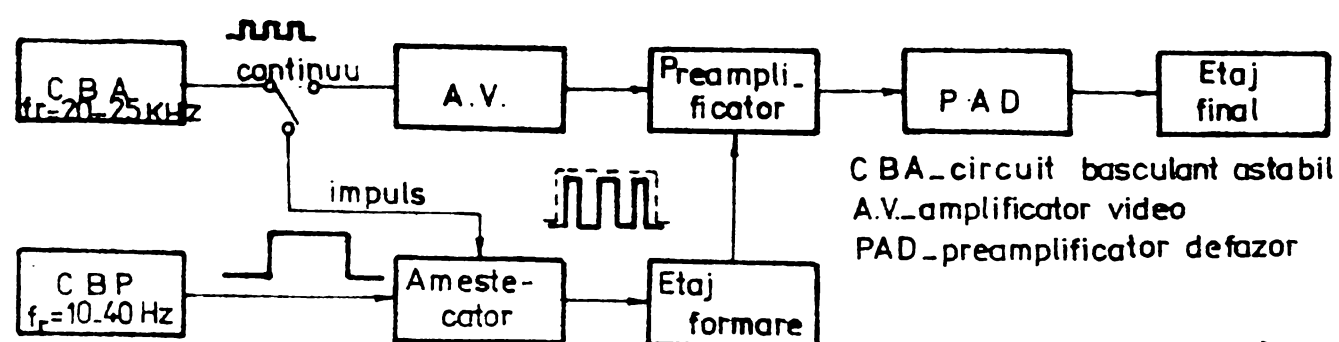


fig.8.23-Schema principială a unui generator de ultrasunete în impuls cu tranzistoare

La acest tip de montaj, în calitate de oscillator pilot este utilizat

un circuit basculant astabil, a cărui frecvență de oscilație poate fi modificată în limitele 20-25 KHz. La ieșirea lui rezultă impulsuri cu frecvență variabilă, care

sunt modulate de către altă serie de impulsuri, astfel că la ieșirea etajului de formare vom obține "pachete" de impulsuri cu o frecvență de 10-40 pachete pe secundă, fiecare pachet conținând impulsuri cu $f_r = 20-25\text{ KHz}$. Aceste pachete sunt amplificate și aplicate etajului final care lucrează în comutație. Funcționarea celulei în acest regim permite obținerea unor puteri în impuls de 400-500 W, în condițiile unei puteri medii de 20-30 W. Deci, la ieșirea generatorului apar impulsuri scurte de tensiune, cu putere mare, care excită în transductor oscilației cu caracter aperiodic (fig.8.24.a și b). Sub acțiunea impulsului, transductorul începe să oscileze liber pe frecvența sa proprie de rezonanță, oscilațiile atenuindu-se în timp. Dacă se regleză astfel perioada T_r încit cel de-al doilea impuls de excitație să nu găsească transductorul în momentul în care oscilațiile sale sunt atenuate complet, ci puțin înainte, se poate ajunge la o amplificare a oscilațiilor acestuia pînă la valoarea lor maximă (c).

-fig.8.24-Răspunsul transductorului la excitația în impuls.

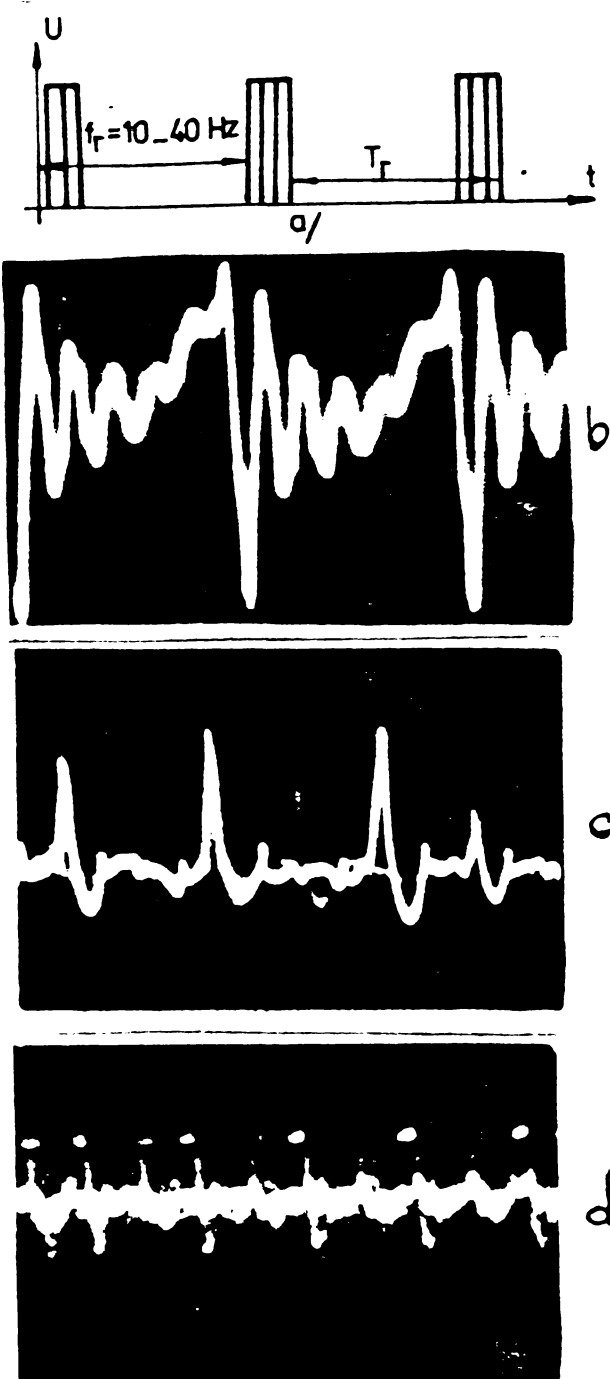
Considerîndu-se timpul de amortizare a oscilațiilor ζ_a timpul în care amplitudinea unei oscilații scade la $1/10$ din valoarea maximă, aceasta se poate calcula cu relația /23/.

$$0,1 U_{\max.} = U_n e^{-\alpha \zeta_a} \quad (8.5.)$$

Asimilînd transductorul cu un circuit oscilant $R L$ cu constante distribuite, α va reprezenta coeficientul de amortisare a oscilațiilor libere, fiind date de relația:

$$\alpha = \frac{r}{2L} = \frac{\omega_0}{2Q}$$

unde Q este factorul de calitate al circuitului. Transductorul de



ferită fiind un circuit oscilant de bună calitate, pentru el se poate estima $Q \approx 1000$.

Din relația (8.5) rezultă:

$$e^{-\alpha \zeta_a} = \frac{1}{lo} \quad \text{și} \quad -\alpha \cdot \zeta_a = -1 \ln lo = -2,3026$$

$$\zeta_a = \frac{2,3026}{\alpha} = 4,6 \frac{Q}{\omega_0} \quad (8.6.)$$

Pentru transductorul testat, frecvența de rezonanță fiind $f_o = 19,6$ KHz., din relația (8.6) rezultă $\zeta_a \approx 38$ ms. Deci, perioada între două impulsuri de excitare-pentru a nu găsi transductorul în momentul cînd oscilațiile sale sunt complet amortizate - ar putea fi $T_r = 34-35$ ms, ceea ce corespunde unei frecvențe de repetiție a pașchetelor de impulsuri de $f_r = 28-30$ Hz. Alegerea momentului excitării cu cel de-al doilea impuls trebuie făcută cu atenție, deoarece dacă acesta sosește atunci cînd oscilațiile transductorului au amplitudine mare, se poate ajunge la o amplificare în "avalansă" și la ruperea transductorului. Oscilațiile unui transductor magnetostrictiv imediat după fisurare sunt redate în fig.8.24.d.

Concluzionînd asupra rezultatelor obținute prin excitarea transductorului cu diferite forme de semnal, se poate afirma că:

- forma sinusoidală a semnalului se poate adopta în situațiile în care nu se cer puteri deosebit de mari și nici randamente peste 70 %, dar se impun distorsiuni minime.
Un alt avantaj al semnalului sinusoidal este acela că legătura generator - transductor se face direct prin transformator, fără dispozitive intermediare, în afară doar de elementul (L sau C) de compensare a caracterului reactiv al impedanței transductorului în apropierea zonei de rezonanță. Dacă se impune obținerea unor puteri mari, appropriate de performanțele maxime ale tranzistoarelor, este necesar să se adopte soluții constructive care să permită disiparea căldurii (radiatoare adecvate, sisteme de ventilare, dispozitive de protecție împotriva ambalării termice etc.), care duc la mărirea gabaritului și prețului de cost. Un alt dezavantaj al acestei soluții îl reprezintă faptul că parametrii energetici ai generatorului (P_u, γ) și ai ansamblului sunt puternic influențați de variațiile sarcinii ;



- tensiunea de excitație de formă dreptunghiulară se adoptă în cazul în care se dorește să se obțină puteri mari și un randament mai ridicat al generatorului decât în cazul formei sinusoidale. Prin adoptarea acestei situații, regimul termic al tranzistoarelor este mai lejer, sau pentru același regim termic ca și în cazul formei sinusoidale, se poate obține la ieșirea generatorului o putere utilă cu aproximativ 25-30 % mai mare, pe seama micșorării pierderilor pe colector, deoarece tranzistoarele finale lucrând în comutație, se permite utilizarea lor după I_{cmax} . și U_{cmax} .

Tensiunea fiind dreptunghiulară, adică:

$$u(t) = U \cos \omega t - \frac{U}{3} \cos 3\omega t + \frac{U}{5} \cos 5\omega t + \dots$$

apar armonici superioare al căror aport devine însemnat în excitația transductorului, dar nu pe frecvența de bază, ducând astfel la apariția pierderilor, fapt ce determină ca randamentul ansamblului generator - transductor să nu fie mai mare decât în regim sinusoidal, deși acesta din urmă este excitat cu puteri mai mari.

- excitarea transductorului cu impulsuri de tensiune sau curent oferă avantajul obținerii unor puteri mai mari și randament de 85-90 % pentru generator, în condiții ușoare de funcționare a etajelor finale. De asemenea, față de celealte soluții, crește și randamentul întregului ansamblu cu 5-10 %. Un avantaj însemnat al acestei soluții îl prezintă faptul că generatorul nu trebuie echipat cu scheme R,A.F. sau R.A.P. deoarece variațiile sarcinii de orice natură- nu influențează asupra parametrilor energetici ai generatorului, impulsurile acestuia fiind foarte "rare", majoritatea perioadelor în care parametrii sarcinii variază se produc în pauza dintre două impulsuri ale generatorului. Dezavantajul acestei metode de excitare a transductorului îl constituie faptul că oscilațiile sculei nu sunt constante, amplitudinea lor urmărind modul de oscilare a transductorului, deci această soluție nu poate fi aplicată în procesele de prelucrare în care se impune o amplitudine constantă a oscilațiilor la capătul concentratorului.

CAPITOLUL 9

STUDIUL FIABILITATII GENERATOARELOR DE ULTRASUNETE

Așa cum s-a mai arătat, fiabilitatea generatoarelor de ultrasunete reprezintă un parametru principal care este luat în considerare de către toate firmele constructoare, deoarece în prezent nu se pune numai problema ca generatorul să-și îndeplinească funcția sa în cadrul ansamblului de prelucrat cu ultrasunete, ci și ca această funcțiune să fie îndeplinită în timp cât mai îndelungat și în condiții de funcționare complexe, cu atât mai mult cu cât-spre deosebire de alte instalații - generatoarele de ultrasunete debitează permanent pe o sarcină a cărei valoare este puternic influențată de parametrii procesului de prelucrare. În acest context, între fiabilitate și ceilalți parametri ai generatorului există o legătură biunivocă, deoarece pe de o parte valoarea impusă (sau dorită) a fiabilității determină concepția de proiectare, alegerea schemei și prețul de cost al generatorului, iar pe de altă parte, regimul de lucru, destinația, numărul dispozitivelor auxiliare(RAF, RAP, bloc de compensare) influențează direct asupra siguranței în funcționare, cunoscut fiind faptul că, cu cât numărul componentelor unui montaj este mai mare, cu atât crește probabilitatea de defectare.

Pe parcursul evenimentelor, s-au studiat două aspecte ale fiabilității și anume: fiabilitatea intrinsecă care depinde de concepția generatorului (schema electrică, calitatea pieselor etc.) și fiabilitatea de exploatare care conține, printre altele, de condițiile de utilizare și întreținere a acestuia.

9.1. ANALIZA CONDIȚIILOR DE FIABILITATE

Studiind comportarea generatorului sub aspectul fiabilității, s-a căutat ca pe parcursul unui an de exploatare să se determine principalele cauze ale deranjamentelor apărute, iar în unele cazuri, au fost provocate intenționat unele deranjamente la piesele componente pentru a se observa influența acestora asupra siguranței generale în funcționare a generatorului. S-a constatat că, după natura defectiunilor- acestea se pot împărți în trei categorii:

- defectiuni intemperiente, a căror prevedere este de obicei imposibilă ;
- degradări- ieșirea din funcție a componentelor sau sub-



ansamblelor datorită unor modificări lente ale caracteristicilor principale ;

- defectiuni datorită exploatarii - au apărut în momentul cînd generatorul lucra în condiții de ambianță și regimuri de lucru ce depășeau pe cele maxim admisibile.

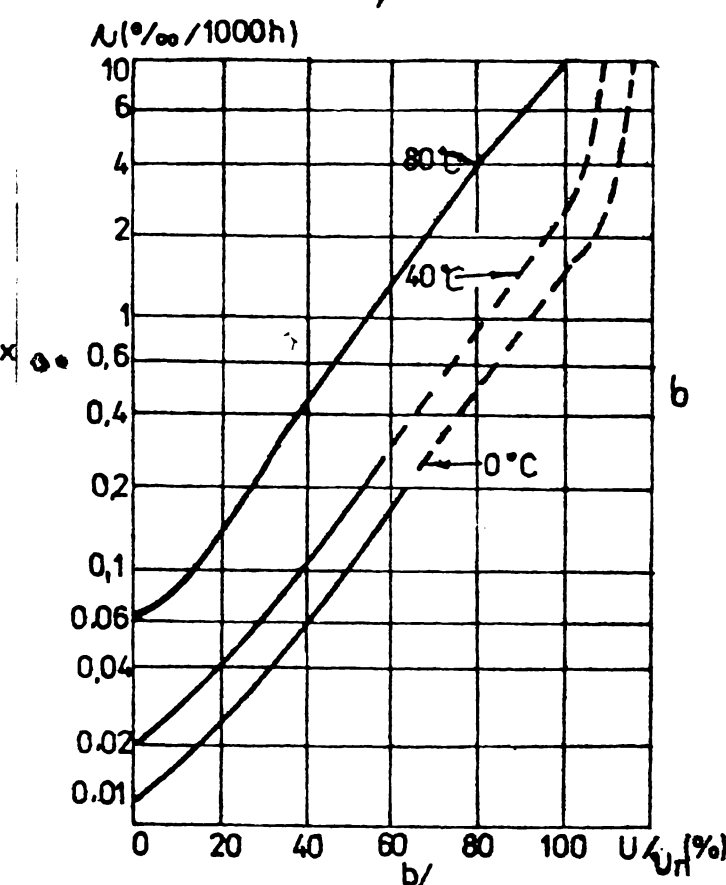
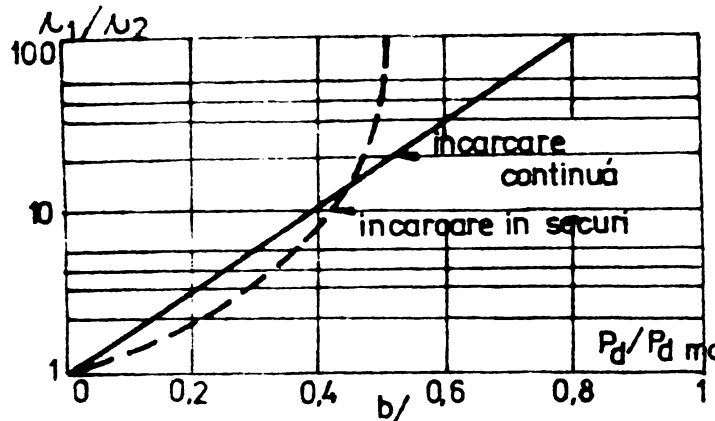
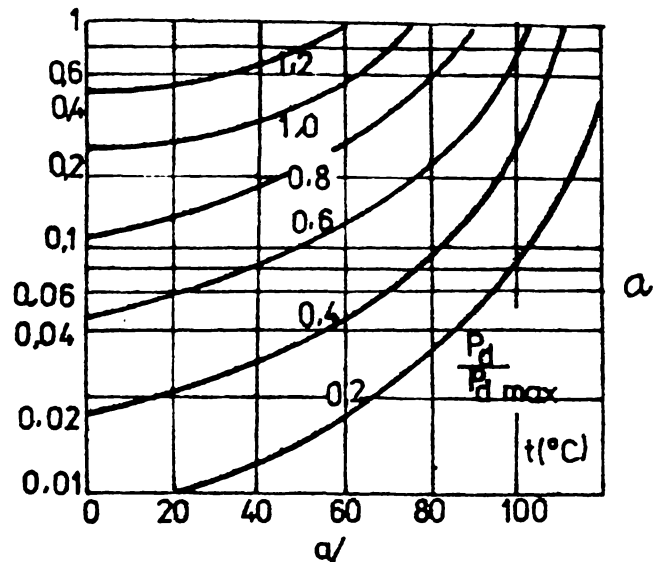
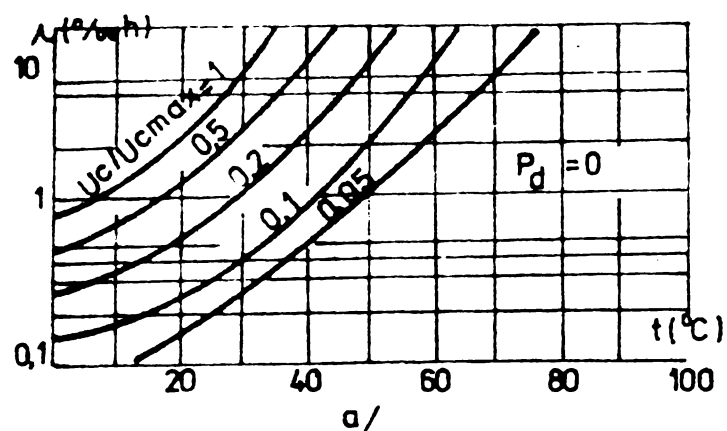
In tabelul 9.1. sănt sintetizate principalele defectiuni ale elementelor componente și cauzele care le-au generat, pe durata de 500 ore funcționare fără solicitări deosebite sau variații rapide de parametrii.

Tabelul 9.1.

Denumirea piesei	Nr.de buc. în montaj	Nr.de defecțiuni	Modul de defectare	Cauza defectării
Tranzistoare uzuale	6	1	scurtcircuit	supratensiune
Tranzistoare de putere	14	5	scurtcircuit sau întrerupere	supracurent ambalare termică
Diode redresoare	4	-	-	-
Diode Zehner	4	2	întrerupere	supratensiune încălzire
Condensatoare obișnuite	15	2	scurtcircuit	supratensiune, șocuri
Condensatoare electrolitice	6	3	întrerupere	supracircuit vibratii, șocuri
Rezistențe chimice de mică putere	37	2	întrerupere	supracurrent
Rezistențe de putere	10	4	întrerupere	supracurrent
Potențiometre	2	-	-	-
Transformatoare	2	1	arderea secundarului	scurtcircuit în sarcină
Siguranțe	2	11	întrerupere	supracurrent

Se poate observa că numărul cel mai mare de defectiuni l-au prezentat tranzistoarele de putere, la care vibrația regimului de lucru - datorită modificărilor sarcinii -, ambalarea termică, au provocat deteriorarea acestora. S-a observat, totuși, că viteza de defectare nu variază sensibil cu temperatura pînă la o anumită zonă critică a temperaturii. La toate tipurile de tranzistoare, intensitatea defectiunilor crește cînd converg influențele a trei factori: temperatura, puterea disipată și tensiunea U_{cz} , aşa cum se poate

observa și din fig.9.1.a și b. Analiza curbelor scoate în evidență



faptul că fiabilitatea tranzistorului crește mult dacă sînt micșorate solicitările lui în circuit și că pînă în jurul temperaturii de 40°C , dispersia parametrilor este redusă, iar numărul de defectiuni- neglijabil. Încărcarea tranzistoarelor duce la o creștere a frecvenței deranjamentelor (λ_1) față de situația funcționării în gol(λ_2). Așa cum era de prevăzut, s-a demonstrat și practic că pentru componente active ale generatorului este mult mai greu să funcționeze în șocuri decît sub un regim de încărcare continuă. Acești factori influențează și asupra fiabilității componentelor passive. Dacă la rezistență este periculos să se depășească puterea dissipată, pentru condensatoare parametrul important îl reprezintă tensiunea nominală de lucru (fig.9.2.a,b,c).

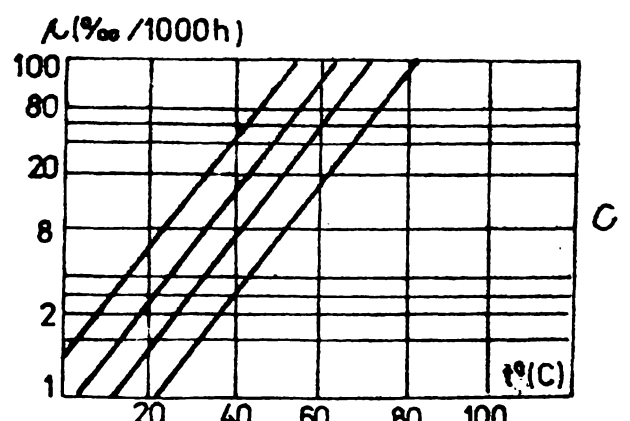


fig. 9.2. Viteza de defectare a rezistențelor(a)
condensatoarelor cu hirtie (b) și elec-
trolitice (c) funcție de puterea disipa-
tă, tensiune și temperatură.

Din cele trei grafice se poate observa că subîncărcarea componentelor pasive prelungeste durata de viață a acestora. Trebuie remarcat faptul că defectiunile componentelor pasive s-au datorat în cvasitotalitatea cazurilor nu viciilor de construcție, ci supraîncărcării regimului de funcționare. Astfel, la rezistențele de putere din emitorul etajelor finale, toate defectiunile s-au produs ca urmare a creșterii curentului I_c , datorită în special unor cauze exterioare generatorului (dezadaptarea cu sarcina, modificarea valorilor sarcinii, străpungerea condensatoarelor de compensare).

Dacă în unele cazuri tranzistoarele finale au rezistat datorită faptului că funcționau cu o rezervă de curent de 30-50 %, componente pasive s-au deteriorat, motiv ce a determinat adaptarea ulterioară a unor dispozitive de limitare a curentului de colector, sau chiar de întrerupere a funcționării generatorului în momentul cînd I_c tinde să depășească valoarea critică.

Un alt aspect care s-a studiat a fost regimul de lucru al generatorului pentru care numărul deranjamentelor este cel mai mic, în contextul obținerii unor parametri energetici maximi. În această situație, generatorul a fost lăsat să funcționeze în gol, pe sarcină rezistivă constantă, sau avînd ca sarcină complexă blocul ultrasonic, în toate aceste situații provocîndu-se brusc variații ale sarcinii și regimului de încărcare a etajelor finale.

S-a experimentat funcționarea generatorului în aceste condiții timp de 300 ore (cu intermitențe), rezultatele încercărilor, adică variația în timp a defectiunilor apărute fiind cea din tabelul 9.2.

Tabelul 9.2.

Regimul de lucru	Natura sarcinii	Defectiuni apărute după:							
		cuplare	2h.	4h.	6h.	8h.	10h.	12h.	15h.
Sinusoidal clasa B	în gol	1	-	-	-	-	1	-	-
	constantă	-	1	1	1	-	1	-	-
	variabilă	1	3	2	2	3	1	4	3
Dreptunghiu-lar clasa B	în gol	1	-	-	1	-	-	-	-
	constantă	-	1	-	-	1	-	-	-
	variabilă	2	1	-	1	1	1	2	1
Comutăție	în gol	-	-	-	1	-	-	-	-
	constantă	1	-	1	1	-	-	-	-
	variabilă	1	1	-	-	1	-	2	-

Trebuie menționat faptul că în toate regimurile de funcționare, variația parametrilor pentru a se "provoca" defectiunea s-a făcut în aceleasi limite. Si cu această ocazie, a ieșit în evidență avantajul funcționării etajelor finale ale generatorului, în regim de comu-

tație. Dacă la cuplare, în toate regimurile, au apărut defectiuni minore (în special arderea siguranței) - care în general sînt cauzate de traversarea regimurilor tranzistorii de către elemente active, din tabelele 9.2 și 9.3 - ridicate pe baza rezultatelor experimentale - se poate observa că sarcina variabilă afectează toate regimurile de lucru, dar este suportată cel mai greu de cel sinusoidal, deoarece în acest caz, pentru obținerea unor puteri și randamente sporite, etajele finale funcționează în regimuri termice mai încărcate.

Tabel 9.3.

Componența defectată	Sinusoidal			Dreptunghiu-lar			Comutatie		
	G	C	V	G	C	V	G	C	V
Tranzistoare uzuale	-	-	1	-	-	-	-	1	-
Tranzistoare de putere	-	-	4	-	-	2	-	-	2
Diode redresoare	-	-	2	-	-	-	-	-	-
Diode Zehner	-	-	3	-	1	1	-	-	-
Condensatoare electr.	-	-	2	-	-	1	-	-	-
Rezistență de putere	-	1	3	-	1	-	-	-	2
Siguranță	2	-	1	1	-	2	1	-	-
Transformatoare	-	-	-	-	-	1	-	-	-
Circuit integrat	-	-	1	-	-	-	-	-	-
Comutatoare	-	1	-	-	-	-	-	-	-
Instrument de măsură	-	-	-	-	-	-	-	-	1
Drosele filtraj	-	-	1	-	-	1	-	-	-
Rezistențe uzuale	-	1	-	-	-	1	-	-	-
Condensatoare uzuale	-	1	-	-	-	-	-	1	-
Lipituri, cablaj etc.	-	-	1	1	-	-	-	1	-

G = funcționare în gol ; C = funcționare pe sarcină constantă;

V = funcționare pe sarcină variabilă.

De altfel, din cele 19 defectiuni apărute în acest regim, 11 s-au produs în etajul final (tranzistoare de putere, rezistențe de wataj, drosele și diode de stabilizare a tensiunii pe colector).

Deoarece majoritatea defectiunilor - în toate regimurile de lucru - au apărut în etajele finale și cele de alimentare (stabilizatoarele de tensiune), pe parcursul experiențelor, s-a căutat să se stabilească limitele în care pot varia parametrii acestor etaje, fără a scoate din funcțiune generatorul. Pentru etajul final, s-a luat ca parametru de control R_s și funcție de valoarea acestu-

ia s-a reprezentat variația lui I_c și U_c pînă în apropierea zonei în care etajul final încă își mai îndeplinește funcția de amplificator de putere (fig.9.3.a și b), iar în unele cazuri, pînă la apariția simptomului de deranjament.

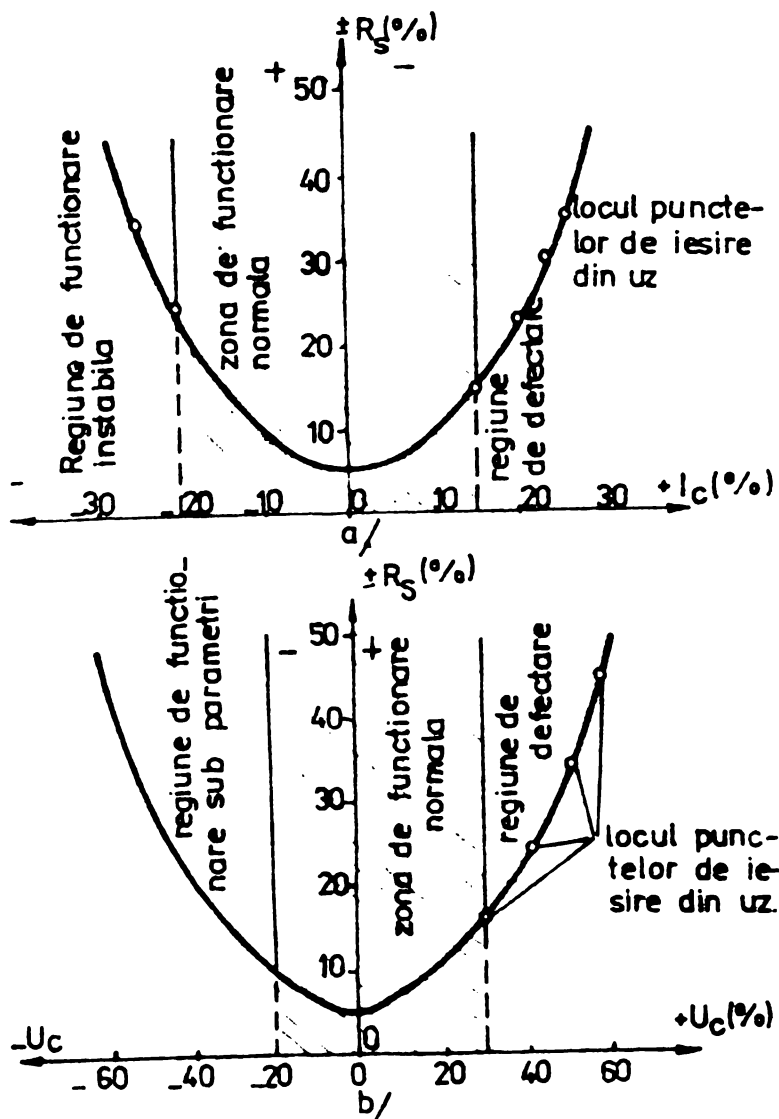


fig.9.3 - Limitele de variație nepericuloasă a curentului I_c (a) și tensiunii de ieșire U_c (b) pentru un etaj final

La ridicarea graficului, s-a considerat originea ca punctul unde valoarea lui R_s este optimă și pentru care etajul funcționează la parametrii calculați ($I_c = 6$ A). Pentru ambi parametrii, variația lui R_s dă naștere la două zone: cea de funcționare instabilă, sub valorile calculate ale lui I_c și U_c și cea de defectare. Astfel, la o creștere a curentului peste 15% pentru montajul experimentat, în regim sinusoidal apare pericolul străpungerii tranzistoarelor finale și arderii rezistențelor de putere R_e (fig.8.2o). La o micșorare a curentului sub 20% din valoarea calculată, nu se mai poate asigura nivelul necesar al puterii de ieșire. Din punct de vedere al amplitudinii tensiunii de ieșire, variațiile rapide ale sarcinii (chiar în limitele mai mici) provoacă eruptii pe etajele finale (datorită transformatorului final), care distrug tranzistoarele finale prin fenomenul de "breakdown". Si în acest caz, scăderea amplitudinii sub 15-20% nu mai asigură nivelul stabilit al puterii de ieșire. Pentru regimul de lucru în comutare, zona de funcționare normală se mărește în dreapta cu aproximativ 30-40% deoarece variațiile sarcinii influențează direct asupra lui I_{cmax} și U_{cmax} , iar deteriorarea tranzistoarelor și rezistențelor de putere este provocată de creșterea peste valoarea admisă a valorii medii a acestor parametrii.

mici) provoacă eruptii pe etajele finale (datorită transformatorului final), care distrug tranzistoarele finale prin fenomenul de "breakdown". Si în acest caz, scăderea amplitudinii sub 15-20% nu mai asigură nivelul stabilit al puterii de ieșire. Pentru regimul de lucru în comutare, zona de funcționare normală se mărește în dreapta cu aproximativ 30-40% deoarece variațiile sarcinii influențează direct asupra lui I_{cmax} și U_{cmax} , iar deteriorarea tranzistoarelor și rezistențelor de putere este provocată de creșterea peste valoarea admisă a valorii medii a acestor parametrii.

Pe baza acestor rezultate experimentale, în interiorul zonei hașurate se poate alege valoarea nominală optimă și toleranțele admisibile pentru schema dată, evaluindu-se astfel marginea de siguranță pînă la ieșirea din funcțiune a generatorului.

Pornind de la considerente teoretice, pe parcursul experiențelor s-a studiat influența coeficientului de sarcină K_s (ce caracterizează durata de viață a unei componente funcție de încărcarea sa) asupra intensității defectiunilor. În cazul componentelor principale ale etajului final, durata de viață se exprimă prin următoarele relații : /9, 45/

$$- \text{pentru rezistențe} \quad K_{SR} = \frac{P_{dr}}{P_{do}} \quad \text{unde: } P_{do} - \text{puterea disipată nominală}$$

$$P_{dr} - \text{puterea disipată reală, în condițiile de funcționare}$$

$$- \text{pentru tranzistoare} \quad K_{SR} = \frac{P_{cr} + P_{br}}{P_{cmax} + P_{bo}} \quad \text{unde:}$$

P_c și P_b reprezintă puterile disipate pe colector și bază în condițiile reale (r) și nominale (o). În fig.9.4. este reprezentată variația intensității defecțiunilor pe parcursul a 150 ore în funcție de încărcarea componentelor etajului final.

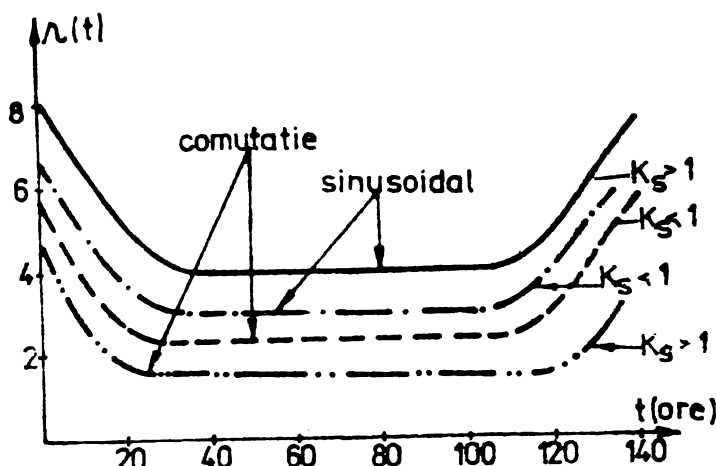


fig.9.4. Variatia lui $\lambda(t)$ corespunzatoare celor două regimuri de incarcare

ie la creșterea durei de funcționare a componentelor și deci, la fiabilitatea generatorului.

Distribuția lui λ arată că în regimul de comutare, la același nivel de încărcare a componentelor etajului final, numărul deranjamentelor este mai redus, deoarece la tranzistoarele funcționând în comutare este preferabil să se atace cu semnal mare, fiind că-asa cum s-a arătat în capitolul 6- puterea disipată este maximă pentru o amplitudine a semnalului de atac egală cu $0,64 U_{max}$.

variația intensității defecțiunilor pe parcursul a 150 ore în funcție de încărcarea componentelor etajului final. În ambele regimuri, etajul a lucrat pe sarcină variabilă cu decuplări repetitive ale sarcinii, fapt ce a favorizat apariția deranjamentelor. Se poate observa că regimul de lucru descărcat contribu-

9.2. PROIECTAREA OPTIMA A GENERATOARELOR DE ULTRASU- NETE SUB ASPECTUL FIABILITATII

Având în vedere destinația și condițiile de lucru ale generatoarelor de ultrasunete, încă din faza de proiectare a acestora, obținerea unei fiabilități ridicate trebuie să constituie un obiectiv principal.

Asigurarea acestui deziderat este posibilă doar în cazul în care, încă din faza inițială a proiectării, se ține cont de o serie de reguli reiesește atât din calculele privind siguranța în funcționare, cît mai ales din experiența practică privind funcționarea și exploatarea generatoarelor de ultrasunete. Astfel:

1. Alegerea schemei generatorului trebuie să fie cît mai simplă, cu condiția de a se obține însă parametrii energetici impuși. Creșterea numărului de elemente ale schemei duce la scăderea siguranței în funcționare, deoarece considerind că defectarea oricarei piese poate scoate din funcțiune generatorul, siguranța globală va fi :

$$S = \prod_1^n s_i = \exp \left(- \sum_{i=1}^n K_i \cdot t \right).$$

unde: s_i = siguranța unei piese ; K_i - coeficientul de încărcare (regimul de funcționare); n = numărul de piese. Cunoscind piesele care provoacă cele mai multe defectiuni, se poate mări siguranța în funcționare reducind numărul acestora, solicitarea la care sunt supuse, eventual înlocuindu-le cu altele mai sigure. Echiparea generatoarelor de ultrasunete cu scheme R.A.F., R.A.P. etc. contribuie la micșorarea siguranței în funcționare atât prin faptul că se mărește numărul de piese din montaj, cît și datorită faptului că aceste scheme constituie căi de reacție prin care se transmit spre etajele generatorului perturbațiile de pe linia generator-transductor.

2. Pretutindeni unde este posibil, se recomandă utilizarea unor scheme standard bine studiate, care dacă sunt larg folosite beneficiază și de avantajul productiei de serie.

3. Încă din etapele inițiale ale proiectării, este bine să se determine teoretic siguranța generatorului. Pe schema funcțională, subblucurilor li se calculează siguranța pornind de la componente, evaluindu-se apoi fiabilitatea generatorului. Rezulta-

tele acestui calcul permit înlăturarea unor sisteme nesigure, economii de timp și bani etc.

4. Peste tot unde se permite, circuitele electronice și componentele să funcționeze la solicitări mai mici decât cele normale, micșorîndu-se astfel viteza de defectare globală.

5. Metoda "rezervării" aparaturii (introducerea unor elemente sau ansamble de rezervă în paralel cu cele de bază) oferă, în principiu, perspective de mărire a fiabilității. Astfel, în cazul rezervării de "m" ori a fiecărui ansamblu, dintr-un aparat format din "n" ansamble identice, cu siguranța "s" fiabilitatea globală devine:

$$S = \{ 1 - (1 - s)^{m+1} \}^n$$

Această metodă conduce, însă, la mărirea prețului de cost al generatorului.

6. Intreținerea și repararea generatorului trebuie să se poată face cât mai ușor, deoarece complexitatea lui reclamă și un personal de deservire cu înaltă calificare. Se impune, deci, utilizarea unor sisteme de construcție moderne: ansamble sub formă de module interschimbabile, cablaje imprimate, încapsularea unor elemente etc., toate aceste procedee mărind și siguranța intrinsecă a echipamentului de prelucrat.

9.3. PROCEDEE DE MARIRE A FIABILITATII

Pe lîngă cerințele impuse în echiparea, construcția și exploatarea generatoarelor de ultrasunete, care în unele situații au un rol hotărîtor în ceea ce privește siguranța în funcționare, majoritatea firmelor constructoare adoptă soluții de prevenire a defectării generatoarelor sau, cînd acest lucru nu este posibil, de limitare la maximum a efectelor ieșirii din funcțiune a unor componente pasive sau active din compunerea schemei generatorului. Astfel, la toate tipurile de generatoare se pune în special problema protecției etajelor finale, unde regimurile de lucru accidentale (scurtcircuit în sarcină, oscilații parazite, șocuri de curent sau tensiune) pot duce la distrugerea instantanee sau în timp a tranzistoarelor de putere. Echiparea schemelor de montaj cu siguranțe normale sau ultrarapide nu este întotdeauna suficientă, deoarece și acestea acționează destul de lent în raport cu valoarea vitezei de variație a constantelor termice de timp ale joncțiunilor.

Asigurarea unei protecții eficiente presupune luarea unor măsuri care să :

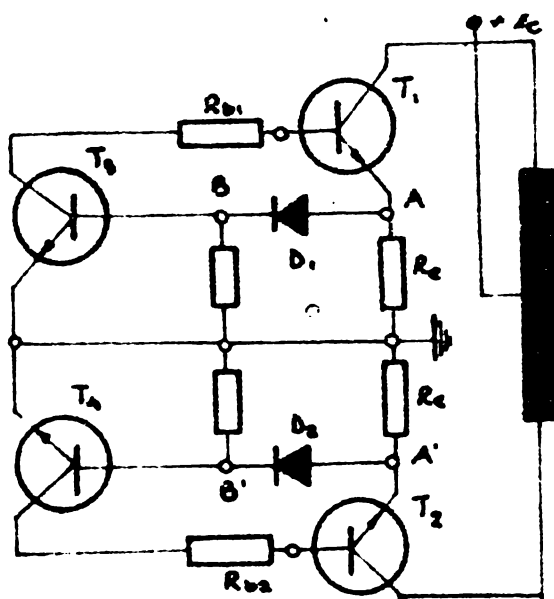
- poată limita curentul din dispozitivele finale, la valori acceptabile de către acestea ;
- ducă la declanșarea automată a alimentării, realizabilă electronic în cazul șocurilor de tensiune ;
- evite intrarea tranzistoarelor finale în regimul de "străpungere secundară".

In vederea realizării practice a acestor măsuri, s-au experimentat unele scheme destul de simple și cu o eficiență satisfăcătoare.

a) - Scheme de limitare a curentului

Sunt destinate să permită funcționarea etajului final la curentul prescris și să-l blocheze sau să scadă amplificarea etajului, în cazul cînd curentul de colector tinde să crească spre o valoare periculoasă.

In fig.9.5. este redată principal o asemenea schemă, ai cărei pa-



T_1, T_2 - tranzistoarele etajului final
 T_3, T_4 - tranzistoarele schemei de limitare

Fig. 9.5 Schemă de limitare a curentului

rametrii sunt astfel calculați, încît pentru valori ale lui I_c care nu depășesc valoarea stabilită prin proiecțare, diodele D_1 și D_2 sunt blocate, menținînd în această stare și tranzistoarele T_3 și T_4 .

Cînd I_c crește peste o anumită valoare, potențialele din punctele A și A' cresc, diodele se deschid, fapt ce provoacă intrarea în conducție a tranzistoarelor T_3 și T_4 , care are drept rezultat scăderea potențialelor punctelor B și B' și deci, descreșterea curentului prin tranzistoarele finale.

b) - Scheme de protecție la șocurile de tensiune

Deoarece în capitolele anterioare s-au analizat unele metode și procedee de evitare a intrării tranzistoarelor în fenomenul de străpungere secundară, în fig. 9.6. se prezintă un circuit de protecție împotriva șocurilor de tensiune ale sursei de alimentare.

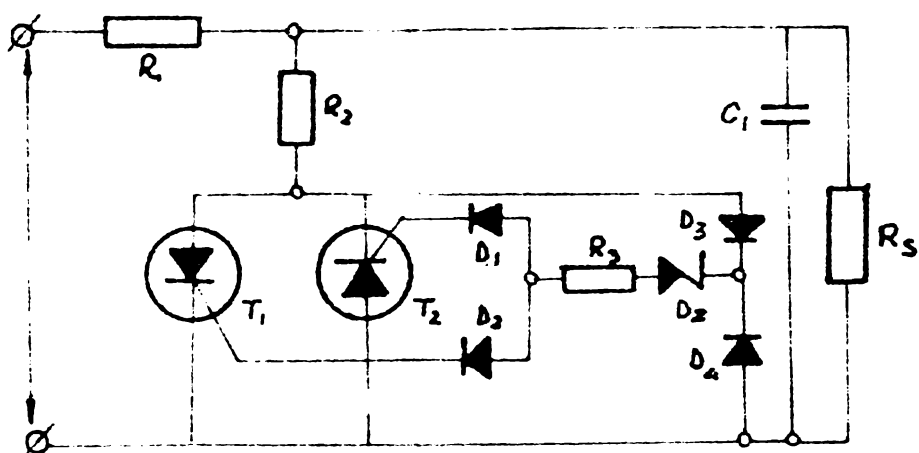


fig. 9.6. Circuit de protecție împotriva șocurilor de tensiune.

Pentru protecție, tensiunea de avalanșă a diodei Zehner D_Z se alege egală cu tensiunea minimă la care protecția trebuie să fie eficace. Dacă această tensiune apare pozitivă, se va închide circuitul de poartă al tiristorului T_1 , amorsindu-l. Dacă tensiunea este negativă, se

va produce amorsarea lui T_2 . Amorsarea tiristoarelor fiind foarte rapidă datorită lui Z_s și R_1 , va apărea un efect de divizare a șocurilor de tensiune, înainte ca ele să atingă valori periculoase pentru sarcină. La sfîrșitul semialternanței care a produs amorsarea unui tiristor, acesta își va recăpăta funcțiunea de blocare a tensiunii de alimentare. Un asemenea tip de schemă se montează în serie cu etajele finale din punct de vedere al tensiunii de alimentare.

Considerațiile teoretice, precum și rezultatele experimentale relevă faptul că obținerea unor valori satisfăcătoare ale fiabilității reclamă c serie de măsuri începînd cu faza de proiectare a generatorului și terminînd cu modul de exploatare a acestuia.

Asigurarea unei fiabilități ridicate a generatoarelor de ultrasunete reclamă, pe lîngă măsurile analizate anterior, și o serie de condiții cum ar fi :

- exploatarea generatoarelor de ultrasunete de către un personal care să aibă o sumă de cunoștințe în domeniul electronicii, automaticii etc.;
- utilizarea generatoarelor de ultrasunete doar pentru operațiunile destinate prin proiectare și, pe cît posibil, pe același tip de sarcină, deoarece variația parametrilor procesului de prelucrare contribuie în mod hotărîtor la apariția perturbațiilor în funcțiune și deci, la scăderea fiabilității ;

CAPITOLUL 10
REZULTATE PRACTICE

In baza considerentelor teoretice, ținind seama și de rezultatele cercetărilor experimentale efectuate, s-au proiectat și realizat două generatoare de mică și medie putere, destinate efectuării studiilor de laborator în vederea realizării unor prototipuri de generatoare pentru uz industrial. Pe aceste generatoare au fost testate diferite blocuri ultrasonice atât sub aspectul comportării acestora în condiții complexe de funcționare, cît și a influenței lor asupra parametrilor energetici ai generatorului.

In proiectarea și construcția generatoarelor s-a pornit de la necesitatea experimentării mai multor variante de scheme în scopul adoptării celor mai eficiente soluții, precum și de la imperativul funcționării generatoarelor cu diverse tipuri de sarcini, pentru a se desprinde concluzii edificate privind interacțiunea generator-transductor.

Un alt obiectiv care s-a urmărit în realizarea schemelor practice a fost echiparea acestora numai cu componente active și pasive de producție românească. Caracteristicile și particularitățile constructive se prezintă în mod succint în cele ce urmează:

10.1. Generator de ultrasunete de 300 W

A fost conceput inițial ca un instrument de laborator în vederea testării modului de comportare și răspunsului sarcinii, de aici derivând și unele particularități privind parametrii electrici cum ar fi: frecvența variabilă în bandă largă, reglarea puterii de ieșire atât în trepte cît și fin, forme diferite ale semnalului de ieșire etc.

Schema bloc a generatorului este redată în fig.10.1.

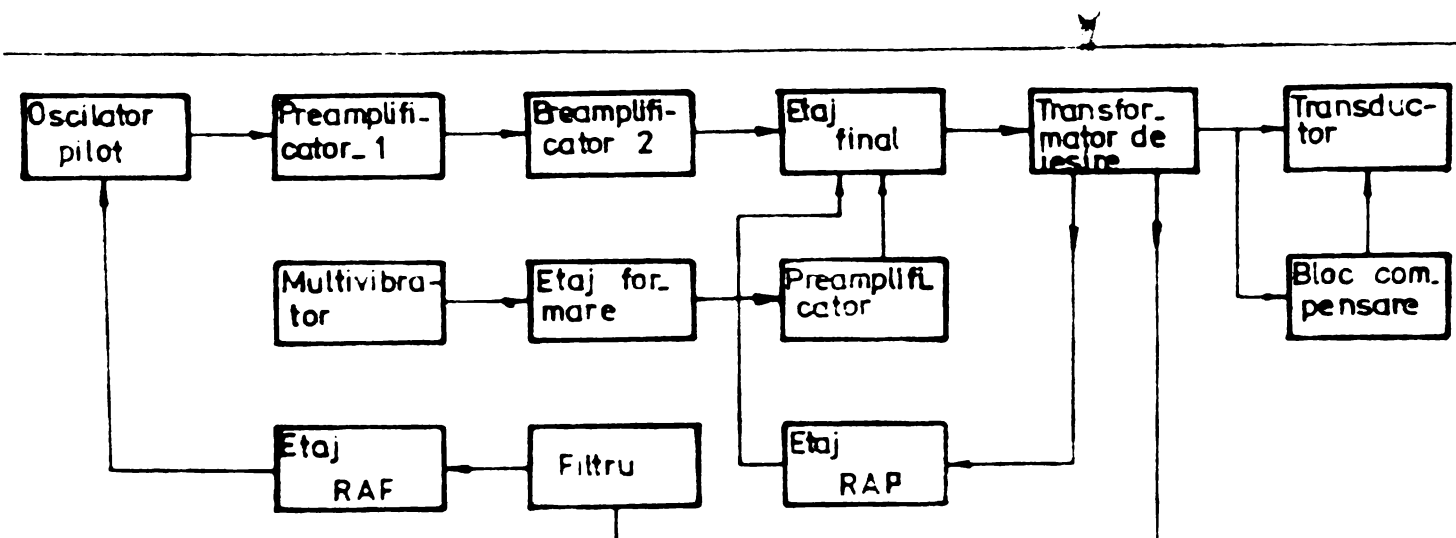


fig.10.1_ Schema funcțională a generatorului de 300 w

Principalele caracteristici ale acestui generator sunt:

- gamma de frecvențe : 19 - 30 KHz. +
- puterea de ieșire maximă : 300 W;
- nivelul puterii de ieșire : 10-300 W în 4 trepte ;
- forma semnalului de ieșire: sinusoidală sau dreptunghiulară;
- modul de lucru: continuu sau intermitent.

Din analiza schemei funcționale se observă că generatorul dispune de două canale:

- canalul semnalului sinusoidal, format dintr-un oscilator pilot, două etaje preamplificatoare și un etaj final, compus din 4 celule amplificatoare în contratimp, clasă B ;
- canalul semnalului dreptunghiular, format dintr-un multivibrator astabil, echipat cu un circuit integrat de tip "SI-NU" cu legături de reacție adecvate, un etaj de formare și un preamplificator. Etajul final este comun ambelor canale.

Transformatorul de ieșire este cuplat cu un bloc de compensare care permite adaptarea generatorului cu 5 transductoare diferite ca rezistență de sarcină.

În vederea protejării etajelor finale ale generatorului împotriva curentilor de suprasarcină, s-au adoptat două măsuri:

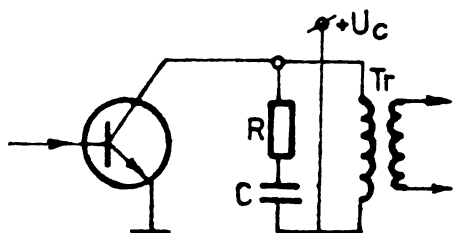


fig.10.2_ Rețea de protecție a etajelor finale

- introducerea regimului de lucru "intermitent" care permite generaarea oscilațiilor doar pe o perioadă scurtă, la dorința operatorului ;
- echiparea etajelor finale cu o rețea RC (fig.10.2) care nu dă posibilitatea acestor etaje să intre în fenomenul de străpungere secundară, atunci cînd generatorul debitează pe o sarcină inductivă, situație ce apare cînd ansamblul generator-transductor nu se află în rezonanță.

Generatorul mai este echipat cu scheme de reglare automată a frecvenței și puterii (fig.10.3 și 10.4.) al căror principiu a fost explicat în capitolele anterioare.

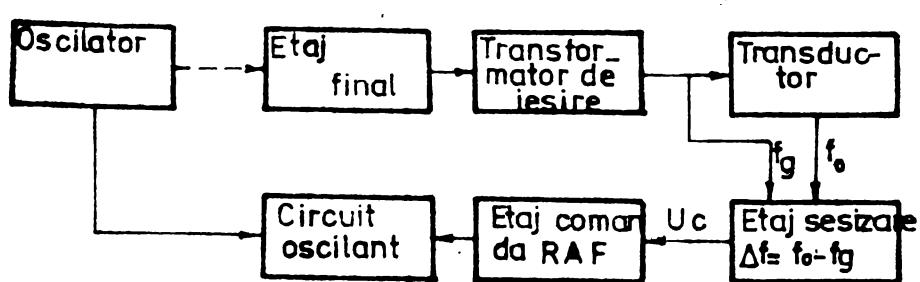


fig.10.3_ Schema RAF

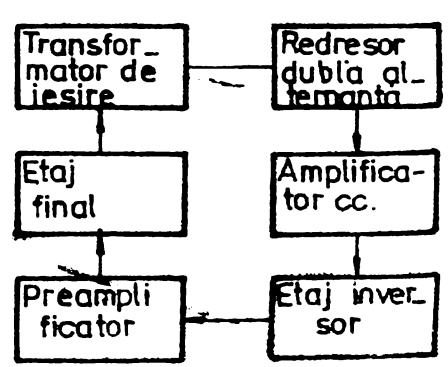


fig.10.4_ Schema RAP

Schema R.A.F. asigură aducerea ansamblului la rezonanță pentru un dezacord $\Delta f = \pm 1 \text{ KHz.}$, iar reglarea automată a puterii este asigurată pentru o variație de cel puțin 5 % a puterii de ieșire.

Cu ajutorul generatorului s-a putut studia comportarea diferitelor tipuri de transductoare magnetostrictive la regimuri de lucru variate, cît și posibilitățile de încărcare a feritelor românești. A fost utilizat în cadrul Institutului Politehnic Timișoara la sudarea foliilor de plastic, fiind compatibil în acest sens cu generatoarele similare din import, prezentând față de acestea avantajul unui preț de cost mai redus. Dispunerea pieselor în montaj (fig.10.5.) și construcția (fig.10.6.) au fost concepute astfel, încât să aibă un gabarit redus și un design la nivelul cerințelor.

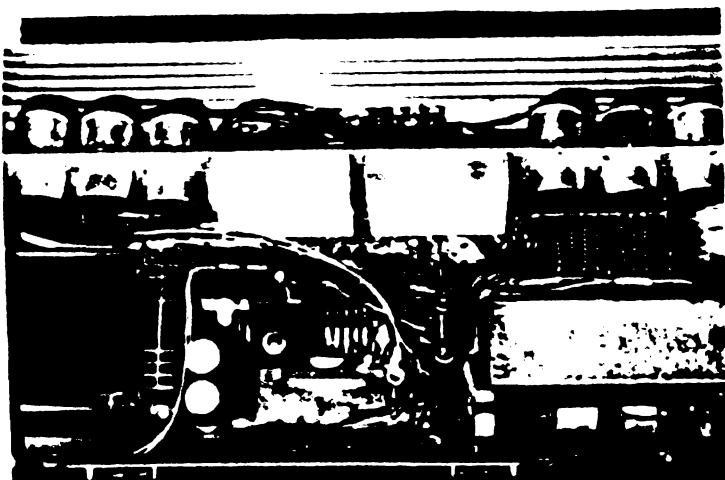


fig 10.5

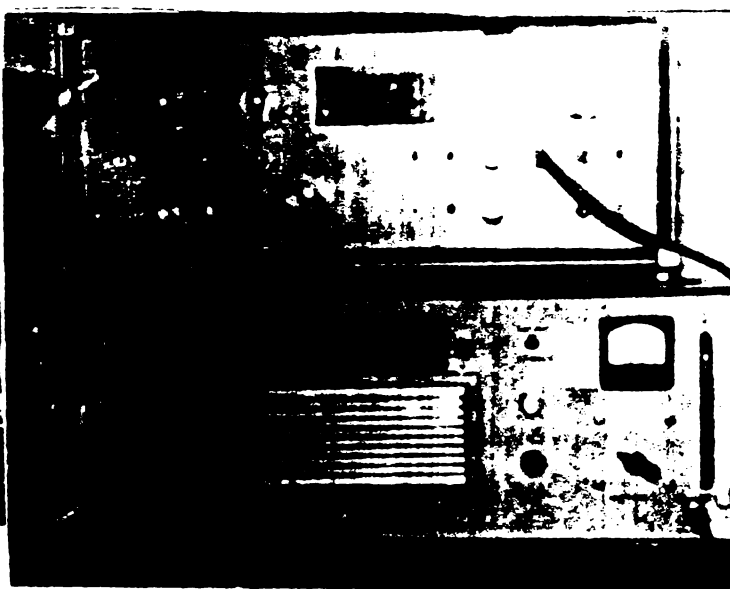


fig 10.6.

Proiectarea generatorului nu reclamă condiții restrictive în ceea ce privește exploatarea sau regimul termic, în decursul experiențelor nivelul puterii de ieșire s-a menținut aproximativ constant pînă la o temperatură de 50- 55°C a capsulelor tranzistoarelor finale.

10.2. Generator de ultrasunete de 1000 W

A fost proiectat în scopul de a constitui un eventual punct de plecare pentru construcția unor viitoare generatoare de medie și mare putere, cît și pentru utilizarea în laboratorul de ultrasunete al Institutului Politehnic Timișoara în vederea testării blocurilor ultrasonice pe bază de nichel.

De data aceasta, parametrul principal l-a constituit puterea utilă la ieșire, obiectiv de care s-a ținut cont în alegerea

schemai funcționale (fig.10.7.). Pentru obținerea puterii necesare

în condițiile unui randament bun, etajul final echipat cu 4 celule amplificatoare lucrează în regim de comutație, asigurîndu-se cu fiecare celulă o putere de 250 W.

Ca oscilator pilot este utilizat un multivibrator astabil integrat, în scopul obținerii unei stabilități ridicate a frecvenței.

Schema oscilatorului este astfel concepută încît a-

-fig.10.7.- Schema funcțională a generatorului de 1000 W -

tunci cînd se impune, el poate trece din regimul de lucru independent în cel "comandat", oscilînd în acest caz pe o frecvență exterioară.

In vederea obținerii unui bun regim de comutație a tranzistoarelor finale, s-a acordat o deosebită atenție comenzii pe bază a acestora.

In bucla de reacție este cuprinsă atît schema R.A.F., cît și cea de reglare automată a nivelului puterii, informația de la ieșirea transformatorului de adaptare sau blocului de compensare fiind prelucrată și funcție de natura perturbației care produce dezadaptarea, comanda de reglare este transmisă fie la oscilator (modificîndu-i frecvența), fie spre etajul final (modificîndu-i amplificarea).

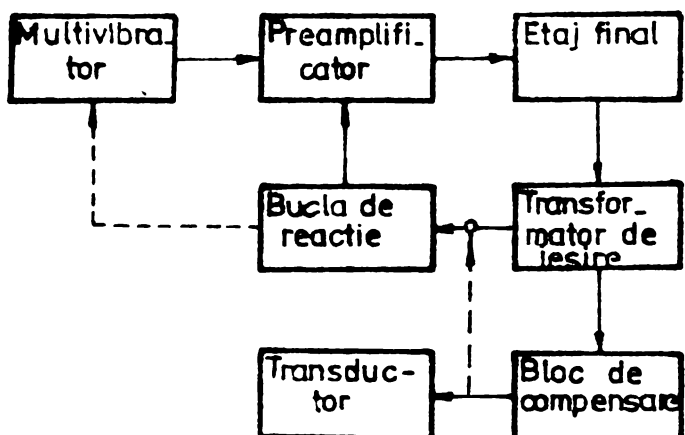
Principalii parametrii ai generatorului sănt:

- frecvența de lucru : 19-25 KHz.;
- puterea maximă de ieșire : 1000 W în 4 trepte ;
- randamentul : 83-85 % ;
- forma semnalului de ieșire : dreptunghiulară ;
- posibilități de adaptare : cu 6 tipuri de transductoare.

Spre deosebire de schema anterioară, blocul de compensare cuprinde și filtrul de atenuare a armonicelor superioare.

Generatorul a fost prevăzut cu posibilitatea decuplării schemelelor R.A.F. și R.A.P., în cazul în care parametrii și condițiile de prelucrare nu reclamă utilizarea acestora, mărindu-se astfel puterea utilă și randamentul.

Impotriva regimurilor accidentale, generatorul a fost prevăzut cu protecție atît prin limitarea curentului tranzistoarelor fi-



nale la $I_{c,max.} = 6 A$, cît și prin stabilirea unui nivel maxim de putere de 40 W, pentru situația decuplării sarcinii și funcționării în gol.

Sub forma în care este construit, generatorul poate servi pentru încercări de laborator sau echiparea unor mașini de prelucrat. De asemenea, cu modificări neesențiale, el poate constitui un prim modul pentru generatoare de 2-5 KW.

In construcția ambelor generatoare s-a urmărit:

- echiparea în totalitate cu componente active și passive de producție românească ;
- obținerea parametrilor de bază, cu ajutorul unor scheme cît mai eficiente sub aspectul fiabilității și prețului de cost ;
- eliminarea pe cît posibil a elementelor electromecanice (relee, traductoare) care pe lîngă inerții mai mari ca a celor electronice, prezintă și o fiabilitate scăzută;
- posibilitatea ca unele elemente, scheme sau părți ale generatoarelor să poată fi aplicate în construcția unor viitoare generatoare de uz industrial ;
- să poată fi utilizate în cadrul diverselor tipuri de cercetări, în acest scop fiind echipate cu diferite scheme și subblocuri care să permită cuplarea la generatoare a mai multor tipuri de transductoare.

CAPITOLUL 11

CONCLUZII FINALE

Pornind de la obiectivul central al cercetărilor, acela de a se asigura un transfer maxim de energie de la generator spre sarcina ultrasonică, experiențele și studiile efectuate au fost axate pe unele direcții prioritare, cum ar fi :

- proiectarea și experimentarea unor scheme de generatoare de ultrasunete, ținând cont de posibilitățile industriei noastre privind echiparea acestora cu componente active și pasive de performanțe ridicate ;
- creșterea parametrilor energetici ai generatorului în condițiile unor scheme date ;
- influența derivei parametrilor generatorului asupra funcționării blocului ultrasonic ;
- studiul perturbațiilor ce apar în funcționarea blocului ultrasonic și modul de reflectare a acestora spre circuitele de ieșire ale generatorului ; ..
- eliminarea sau diminuarea influenței factorilor perturbatori asupra funcționării ansamblului generator-transductor, în scopul creșterii coeficientului electroacustic și a randamentului global al sistemului ;
- conceperea unor dispozitive auxiliare (scheme R.A.F., R.A.P., blocuri de compensare) cu o eficiență ridicată care să permită utilizarea unui generator la mai multe tipuri de prelucrări și cu transductoare diferite.

Din analiza rezultatelor experimentale privind funcționarea generatorului și transductorului, se poate trage o concluzie generală, aceea că generatorul de ultrasunete nu poate fi privit ca o unitate independentă, de sine stătătoare, ci ca un element al ansamblului de prelucrat, cu legături reversibile între el și blocul ultrasonic.

Privind contextul interacțiunii dintre aceste două elemente, cercetările au scos în evidență o serie de concluzii care, pe de o parte confirmă unele considerente teoretice, iar pe de altă parte, au un caracter inedit. Astfel:

1. Stabilitatea frecvenței generatorului de ultrasunete este influențată atât de factori proprii generatorului, cât și de sarcina acestuia, deoarece toate variațiile sarcinii pe axa frecvențelor sunt reflectate prin circuitele de ieșire ale generatoru-

lui, spre oscilator, modificîndu-i regimul de lucru.

Dacă la ora actuală, datorită tehnologiilor avansate, alegerii adecvate a schemei și regimului de lucru al oscilatorului, factorii interni ce produc instabilitatea frecvenței pot fi anulați, efectul destabilizator al variațiilor caracterului, sarcinii poate fi eliminat sau atenuat doar cu ajutorul capacităților de compensare.

Pe de altă parte, în literatura de specialitate, acestui parametru i se acordă o importanță oarecum exagerată, atât sub aspectul influenței lui asupra productivității și preciziei prelucrării, cît și a posibilității obținerii unor coeficienți de stabilitate de ordinul lo^{-4} - lo^{-5} , pentru generatoare de uz industrial.

Datorită progreselor tehnologice din ultimii ani, acest ordin de mărime și chiar superior se poate obține destul de ușor cu oscilatoare integrate, scheme echipate cu tranzistoare FET și MOS, în condițiile unui preț de cost acceptabil și a unei fiabilități ridicate.

2. Frecvența de rezonanță naturală f_o a transductorului, deși reprezintă un parametru intrinsec al acestuia, are implicații atât asupra puterii de ieșire a generatorului, cît și a randamentului întregului ansamblu.

Cercetările au scos în evidență faptul că în majoritatea cazurilor, variația acestei frecvențe se produce în sensul micșorării ei, deoarece toți factorii perturbatori ce acționează asupra transductorului produc în acesta pierderi energetice care conduc la încălzirea și dilatarea lui și deci, la scăderea frecvenței f_o .

Deoarece din punct de vedere practic nu se pot concepe scheme de menținere constantă a frecvenței f_o , unii dintre factorii destabilizatori având caracter aleator, majoritatea generatoarelor sănt echipate cu scheme R.A.F. care mențin permanent rezonanța generator-transductor. În literatura de specialitate, acestor scheme li se acordă o importanță deosebită, considerîndu-se că ele rezolvă majoritatea problemelor legate de transferul maxim de energie de la generator către sarcină. Din analiza eficienței acestor scheme în contextul funcționării întregului ansamblu de prelucrat, cercetările au scos în evidență faptul că:

- schemele R.A.F. nu asigură reducerea frecvenței de rezonanță a transductorului la cea naturală - cînd de la generator se absoarbe puterea maximă, ele asigurînd doar egalitatea $f_g = f_{transd.}$;

- utilizarea fără discernămînt a acestor scheme poate duce la micșorarea puterii utile și fiabilității generatorului;
- nu întotdeauna aceste scheme sunt oportune, deoarece în multe cazuri, cînd alți parametrii ai generatorului devin prioritari, se caută chiar să se lucreze în afara zonei de rezonanță.

In această idee, este recomandabil să se utilizeze schemele R.A.F. doar în procesele de prelucrare în care se impune o strică adaptare (unde sarcina generatorului rămîne aproximativ constantă) sau acolo unde frecvența f_o variază permanent dar nu în limite largi (curba de rezonanță nu scade sub 0,7 din valoarea maximă).

Experiențele au demonstrat că este preferabil să se adopte scheme R.A.F. cu o viteză de urmărire mărită, chiar în detrimentul preciziei, deoarece o alunecare cu 25-50 Hz. în jurul frecvenței f_o nu influențează în măsură hotărîtoare asupra celorlalți parametrii.

In comparație cu schemele clasice prezentate în literatura de specialitate, schema R.A.F. cu prelucrarea informației propusă de autor, oferă avantajul unui timp de reacție mic, readucerea ansamblului la parametrii inițiali, indiferent dacă perturbația a apărut în generator sau în blocul ultrasonic, posibilitatea funcționării cu orice tip de transductor.

3. Puterea utilă la ieșirea generatorului reprezintă unul din parametrii principali ai întregii instalații de prelucrat cu ultrasunete, valoarea ei determinînd destinația generatorului, sarcina care poate fi conectată, productivitatea procesului de prelucrare.

Obținerea unor puteri mari în sarcină presupune:

- alegerea unei scheme adecvate, funcție de destinația generatorului. Astfel, în procesele în care se impune o productivitate mărită, fără o precizie deosebită, este recomandabil să se utilizeze scheme funcționînd în regim de impuls, echipate cu tiristoare, acestea permitînd obținerea unor puteri ridicate, de ordinul 500 - 2000 W, în condiții obișnuite. Dacă se pretinde și o bună precizie în prelucrare, este necesar ca pentru regimul în impuls să se utilizeze tranzistoare de putere, în acest caz impulsurile avînd o formă mai "curată";

- excitarea etajelor finale cu semnal mare, puterea de ieșire depinzînd de valoarea excitării ($P_u = \text{max.}$ pentru $K = 1$).

Acest regim se obține mai ușor în cazul funcționării etajelor finale în comutație, cînd dreapta de sarcină traversează rapid zona de disipație. Totodată, în acest regim, tranzistoarele de putere sunt utilizate aproape de valorile lor limită unde P_d este minim, aceasta apropiindu-se de valoarea maximă la o putere utilă P_u $0,6 P_{umax}$;

- funcționarea generatorului pe o rezistență de sarcină optimă. Rezultatele experimentale au dovedit că valoarea acesteia nu este deosebit de critică, variația lui R_s cu 15-20 % în jurul valorii optime, provoacă doar o micșorare a puterii utile cu 5-8%, situație acceptabilă în majoritatea cazurilor.

Ca și frecvența f_g , puterea de ieșire este puternic influențată de variațiile sarcinii, deosebit de periculoase dovedindu-se sarcinile reactive care, pe lîngă micșorarea puterii utile, pot provoca distrugerea etajelor finale. În literatura de specialitate se oferă unele soluții privind evitarea funcționării pe sarcină reactivă, asigurarea unei oarecare independențe a puterii de excitație de variațiile sarcinii, soluții care nu rezolvă însă problema de fond- menținerea constantă a nivelului puterii de ieșire în condițiile unei sarcini variabile. Schemele de R.A.P. propuse în cuprinsul lucrării asigură acest deziderat, oferind în același timp și o protecție a etajelor finale față de sarcina reactivă.

4. Variația sarcinii generatorului atât din punct de vedere al caracterului ei, cât și a valorii, are o influență negativă asupra tuturor parametrilor ansamblului generator - transductor. Astfel:

- sarcina inductivă care apare atunci cînd generatorul lucrează în gol sau la variații mari ale frecvenței f_0 , provoacă micșorarea puterii utile, datorită apariției unui defazaj între tensiunea și curentul debitat în sarcină. În plus, pe acest tip de sarcină apar eruptii de tensiune ce conduc la străpungerea tranzistoarelor de putere din etajele finale ;

- caracterul reactiv al sarcinii permite apariția unor circuite false, nementionate în literatura de specialitate, create de valoarea lui $X_L(X_C)$ și capacitatele (inductanțele) liniei de legătură, în care se pierde o parte din puterea utilă. Tot datorită acestor circuite, forma semnalului este deformată, apare undezacord între generator și transductor;

- modificarea valorii sarcinii în limite largi are implicații asupra amplitudinii oscilațiilor la capitolul concentratorului, cât și în adaptarea generatorului cu transductorul. În ca-

zuri extreme (la întreruperea procesului de prelucrare), cînd generatorul lucrează în gol, se pot distruge etajele finale deoarece toată puterea se disipă pe ele.

Variatia sarcinii generatorului fiind determinată de o mulțime de factori, este lipsit de sens să se caute procedeele tehnice de înlăturare sau control al acestui fenomen. Se impune însă cunoașterea modului în care aceste variații afectează parametrii energetici ai generatorului și adoptarea unor măsuri de conservare a acestor parametrii în condițiile unor sarcini complexe.

5. Tinînd cont de particularitățile sarcinii generatoarelor de ultrasunete, de faptul că aceasta își poate modifica simultan și caracterul și valoarea, în condiții reale de lucru, din punct de vedere practic nu se poate realiza o adaptare perfectă între generator și sarcină, decât în cazuri cu totul particulare, unde atât f_o cât și R_s rămân constante pe toată durata procesului. În celealte procese, unde sarcina își schimbă permanent valoarea, este lipsit de sens să se ~~vorbească~~ de o adaptare între generator și transductor, atributile acesteia fiind îndeplinite de schemele R.A.P. care pot menține constant nivelul stabilit al puterii de ieșire, la variații ale sarcinii între 5 - 40 %. Se poate aduce totuși generatorul și transductorul într-o "zonă de adaptare"- noțiune mai apropiată de realitatea funcționării generatorului cu o sarcină complexă din toate punctele de vedere prin utilizarea blocurilor de compensare, dispozitiv conceput în vederea funcționării unui generator cu mai multe tipuri de transductoare.

Cu ajutorul acestora se poate realiza în regim static (înaintea începerii procesului de prelucrare) o egalitate între rezistență echivalentă de ieșire a generatorului R_g și cea a transductorului R_s .

Pentru cazurile limită (perioada de pornire a generatorului) cînd R_s fiind foarte mică poate sunta generatorul, nepermittînd amorsarea oscilațiilor iar schemele R.A.P. nu pot acționa (deoarece $\Delta R_s > 40\%$) este absolut obligatoriu să se obțină o creștere a lui R_s prin unul din procedeele descrise la capitolul 7.

Rezultatele cercetărilor evidențiază faptul că o adaptare strictă este foarte greu de realizat și nici nu constituie o condiție esențială în funcționarea cu un randament ridicat a ansamblului generator - transductor.

6. Toți factorii perturbatori (variațiile lui f_o , f_g , R_s etc.) au în final influență asupra puterii de ieșire a generatorului determinând micșorarea acesteia. Din acest punct de vedere, este mai important ca generatorul să fie echipat cu scheme R.A.P. și nu R.A.F., în special la procesele de prelucrare în care datorită variațiilor sarcinii nu se poate realiza o bună adaptare, cu atât mai mult cu cât caracterul reactiv al sarcinii nu poate fi anulat cu scheme R.A.F., sarcina prezintă rezistență activă doar pe frecvența f_o și nu la rezonanță generator - transductor (deziderat asigurat de schemele R.A.F.) care se poate realiza și pe o altă frecvență diferită de f_o . Cumularea efectelor tuturor factorilor perturbatori poate conduce la neîndeplinirea condițiilor necesare executării procesului de prelucrare, motiv pentru ca încă din faza de proiectare generatoarele de uz industrial să fie prevăzute cu scheme R.A.P. sau variante ale acestora, care să asigure o independentă a puterii de excitație a transducto-rului de variațiile sarcinii.

7. Influența variațiilor de orice natură ale sarcinii asupra puterii utile nu poate fi eliminată definitiv nici prin adaptare, nici cu ajutorul schemelor R.A.F., deoarece nici unul din aceste procedee nu acționează asupra cauzelor care determină variația sarcinii. Realizarea în aceste condiții a unui transfer cât mai mare de energie de la generator spre sarcină presupune:

- în zona de rezonanță - eliminarea caracterului reactiv al sarcinii - care se poate realiza cu ajutorul capacităților de compensare. Alegerea corectă a acestora contribuie la creșterea randamentului generatorului cu 5-6%. Deoarece în această zonă sarcina își poate modifica valoarea, se impune obligatoriu pre- unei scheme R.A.P.;

- în afara zonei de rezonanță - asigurarea unei independențe a puterii de ieșire față de variațiile sarcinii. Acest deziderat poate fi asigurat prin funcționarea generatorului pe o frecvență $f_g \neq f_o$. Pe această frecvență, transductorul prezintă o reacțanță X_S (inductivă) a cărei valoare depinde de dezacordul

$\Delta_f = f_g - f_o$. Dacă se alege pentru X_S o valoare adecvată mai mare ca R_g (ceea ce presupune $f_g > f_o$), se asigură o independentă a puterii de ieșire față de componenta activă R_S a sarcinii. Cele două frecvențe fiind diferite, nu se mai impune echiparea generatorului cu scheme R.A.P.

In practică, la un transductor având $f_o = 20$ KHz., funcționarea generatorului pe o frecvență $f_g = 22$ KHz. ($\Delta_f = 10\%$), a per-

mis creșterea randamentului cu 8-10% în regim sinusoidal, 10-12% în regim de comutație, a stabilității nivelului puterii de ieșire cu 18-20%, pe seama scăderii puterii utile cu 5-7% (datorită micșorării lui R_S pe noua frecvență).

8. Cunoașterea parametrilor transductorului are o mare influență asupra funcționării în bune condiții atât a generatorului, cât și a întregului ansamblu ultrasonic.

Tinând cont de faptul că indiferent de forma semnalului de excitație, oscilațiile U_m ale transductorului sunt sinusoidale, este preferabil din acest punct de vedere atacarea transductorului cu impulsuri de tensiune sau curent, soluție care prezintă o serie de avantaje:

- creșterea randamentului ansamblului generator - transductor cu 5-10% ;

- eliminarea schemelor R.A.F. și R.A.P. din compunerea generatorului, variațiile sarcinii influențând într-o foarte mică măsură asupr parametrilor energetici ai generatorului ;

- funcționarea etajelor finale ale generatorului în regimuri neîncărcate și deci, creșterea fiabilității lor.

Cercetările au scos în evidență faptul că atacarea transductorului cu impulsuri având f_r ceva mai mare decât cea recomandată de literatura de specialitate (14-18 Hz.) duce la creșterea eficientului electroacustic și randamentului. Empiric, între cele două frecvențe s-a stabilit relația $f_r \approx 1,2 \cdot 10^{-3} f_0$, pentru care amplitudinea U_m este maximă.

Funcție de parametrii transductorului, se poate stabili și nivelul optim al puterii de excitație, tinând cont de faptul că:

- amplitudinea U_m a oscilațiilor transductorului este direct proporțională cu puterea utilă doar pînă în apropierea zonei în care $U_m = 0,9 U_{max}$. Peste această limită, creșterea amplitudinii oscilațiilor pînă la valoarea de rupere a transductorului cu ferită, se obține pe seama unei creșteri însemnate a puterii de excitație;

- injectarea unui nivel de putere mare solicită etajele finale, fără a se obține și o creștere corespunzătoare a amplitudinii U_m , după ce s-a depășit pragul optim care este de aproximativ 0,6 - 0,7 din puterea de excitație pentru care transductorul se fisurează.

9. Variația parametrilor generatorului, transductorului, perturbațiile apărute pe linia de legătură între aceste elemente au efect negativ atât asupra transferului de energie de la generator spre sarcină, cît și în ceea ce privește coeficientul electroacustic și randamentul întregului sistem. Datorită faptului că multe din aceste perturbații nu pot fi controlate, se impune ca încă din faza de proiectare- cunoscînd destinația generatorului- să se adopte o serie de procedee prin care cel puțin unul din parametrii generatorului , considerat prioritar, să fie protejat de influența factorilor perturbatori.

Prin tematica abordată, rezultatele și concluziile cercetărilor, autorul consideră că și-a adus o modestă contribuție în elucidarea unor aspecte privind funcționarea generatorului de ultrasunete în contextul complexului tehnologic de prelucrări cu ultrasunete. Din punct de vedere teoretic, a fost abordat dintr-un unghi nou rolul și locul generatorului de ultrasunete, au fost evidențiate aspecte inedite în ceea ce privește reglarea automată a frecvenței și puterii, s-a studiat influența convergentă a factorilor perturbatori asupra parametrilor energetici ai generatorului. Au fost propuse noțiuni și procedee noi, nesemnalizate în literatura de specialitate, a fost reevaluat rolul adaptării generatorului cu sarcina.

In domeniul cercetării practice au fost proiectate și realizate scheme de mărire a parametrilor energetici ai generatorului - unele în curs de brevetare - , de limitare a influenței factorilor perturbatori și protecție la regimuri accidentale. Au fost calculate și construite pentru prima oară în țară blocurile de compensare și schemele R.A.P. care permit funcționarea generatorului cu mai multe tipuri de sarcină și asigură menținerea constantă a nivelului puterii de ieșire în condițiile unor sarcini variabile.

Toate aceste metode și procedee au fost încorporate în construcția celor două generatoare de ultrasunete, dovedindu-și viabilitatea în cadrul experiențelor și încercărilor cu caracter industrial.-

B I B L I O G R A F I E :

1. Amza Gh. - Contribuții la studiul fenomenelor de deformare plastică în cîmp ultrasonor. Teză de doctorat. București, 1979.
2. Anderson W.D - Proiectarea cu circuite integrate T.T.L., editura tehnică, București, 1974.
Dance A.G.
Grimes R.G.
3. Astaseev V.K. Cercetări experimentale privind dinamica sistemului vibratelor al utilajelor cu ultrasunete (traducere lb.rusă) Mașinovedenie nr.4, 1967, URSS.
Sacoian A.R.
4. Atanasiu N. - Trefilarea sîrmelor și tragerea barelor în cîmp ultrasonor. In Prelucrarea materialelor prin tehnologii neconvenționale nr.3, 1972, ODPT.
5. Atanasiu N. - Aspecte fundamentale ale deformării plastice a metalelor cu ultrasunete, în Prelucrarea metalelor prin tehnologii neconvenționale nr.2/1972, ODPT.
6. Atanasiu N. - Contribuții privind calculul și construcția concentratoarelor de energie ultrasonică, în :Construcția de mașini nr.2/1971.
Amza Gh.
7. Augusto D.Fillipi - Prelucrarea cu ajutorul ultrasunetelor, București, 1969.
8. A.E.G. Telefunker - Laistungs transistoren, 1975, 1977.
9. Bărbat B. - Amplificatoare de audiofrecvență, editura tehnică, București, 1972.
10. Bărbat B. - Transformatoare de joasă frecvență, editura tehnică, București, 1967.
11. Bezlodnov N.L. - Proiectirovanie tranzistorh usiliteli zvukov ceastotí Moskva, 1978.
12. Bogorodzki N.P. Pasînkov VV - Materiale folosite în radioelectronică, editura tehnică, București, 1963.
13. Bădărău E. Grumăzescu M - Ultraacustica fizică și tehnică, editura tehnică, București, 1967.
14. Boțan N.V. Boțan C. - Actionări și automatizări, editura didactică și pedagogică, București, 1980.
15. Botezatu V. Damian D. Dumitrescu M - Generator de ultrasunete pentru încercări experimentale. In: A III-a Conferință de procese și prelucrări la rece, Timișoara, 1978.
16. Buchy F. - Aplicațiile industriale ale ultrasunetelor (traducere lb.franceză) în Buletinul de informare tehnică în energetică nr.4/1968.
17. Băjen Gh. Stancu Gh. - Generatoare de semnale sinusoidale, editura tehnică, București, 1979.
18. Cătunescu V. Iancu O. - Materiale și componente electronice, editura tehnică, București, 1972.

19. Cartianu Gh.
Săvescu M.
Constantin I.
20. Castiner E.
21. Călin I.
Dumitrache S.
Dima P.
22. Cojoc D.
23. Constantinescu St.
24. Constantinescu St.
25. Conrad H.
Finner K.
26. Crawford A.E.
27. Crawford A.E.
28. Csapo Gh.
Amza Gh.
29. Csapo Gh.
Amza Gh.
30. x x x
31. x x x
32. Damachii E.
Dănilă Th.
33. Damian D.
34. Damian D.
35. Damian D.
- Semnale, circuite și sisteme, editura didactică și pedagogică, București, 1980.
 - Circuite de radiofrecvență, editura tehnică, București, 1968.
 - Automatizări electronice, editura didactică și pedagogică, București, 1971.
 - Amplificatoare de frecvență intermediară și detectoare de impulsuri, editura militară, București, 1973.
 - Radiotehnica teoretică și practică, editura tehnică, București, 1961.
 - Manual de proiectare a instalațiilor de emisie, editura militară, București, 1970.
 - Ondulor cu tiristoare pentru producerea ultrasunetelor, în: Electrie, R.F.G. nr.4/ 1969, pag.145-148.
 - A modular ultrasonic cleaner, în: Ultrasonix octomber, 1964.
 - Ultrasonic generator using thyristores, în Electronic Enginering, U.S.A.nr.480/1968.
 - Calculul și construcția blocurilor ultrasonic pe bază de ferite. Sesiunea "Tehnologii moderne în construcția de mașini", Galați, 1977.
 - Cercetări teoretice și experimentale privind calculul și construcția ansamblului transductor-concentrator, Sesiunea "Tehnologii moderne în construcția de mașini", Galați, 1977.
 - Catalog de ferite românești, I.C.E.București 1979.
 - Circuit pentru stabilizarea valorii eficace a tensiunii, în Electronic Enginering, vol. 44, Anglia, 1972, pg. 86-88.
 - Amplificatoare și detectoare de videofrecvență, editura tehnică, București, 1969.
 - Realizări și perspective în construcția generatoarelor de ultrasunete pentru prelucrări industriale, Referat nr.1, Catedra T.C.M., Timișoara, 1978.
 - Studiu privind condițiile limitative în adaptarea generatoarelor de ultrasunete cu sarcina, Referat nr.2, Catedra T.C.M., Timișoara, 1979.
 - Cercetări privind construcția și mijloacele de ridicare a parametrilor funcționali pentru generatoarele de mică și medie putere, Referat nr.3, Catedra T.C.M., Timișoara, 1979.

36. Damian D. - Condiții restrictive în funcționarea optimă a ansamblului generator-transductor de ultrasunete. Sesiunea "Aspecte teoretice și aplicative ale acusticii" a Comisiei de acustică a Academiei R.S.R., Caiet 17, București, 1979.
37. Damian D. - Cercetări privind posibilitățile de transfer maxim a energiei generatoarelor de ultrasunete către sarcină. A IV-a Conferință de procese și prelucrări la rece, Timișoara, 1981.
38. Damian D. Dumitrescu M. Savi G. - Criterii constructive pentru generatoarele ultrasonice de uz industrial. A III-a Conferință de procese și prelucrări la rece, Timișoara, 1978.
39. Damian D. Dumitrescu M. - Cercetări privind menținerea parametrilor energetici ai generatoarelor de ultrasunete în condițiile unor sarcini variabile. Sesiunea de comunicări științifice a Academiei militare. București, 1980.
40. Damian D. Botezatu V. - Studiu privind utilizarea impulsurilor dreptunghiulare de tensiune în generarea undelor ultrasonice. Sesiunea de comunicări științifice a Academiei militare, București, 1980.
41. Drimer D. Savii G. - Utilizarea ultrasunetelor în prelucrarea materialelor, editura ICPTCM, București, 1975.
42. Drimer D. Amza Gh. Csapo Gh. - Contribuții privind calculul și construcția blocurilor ultrasonice din instalațiile de prelucrat cu ultrasunete, în : Tehnologii moderne în industria constructoare de mașini, Brăila, 1977.
43. Dumitrescu M. - Comportarea transductorului cu ferită la excitații variabile ca formă și frecvență. Sesiunea "Aspecte teoretice și practice ale acusticii" a Comisiei de acustică a Academiei R.S.R., Caiet 17, București, 1980.
44. Drăgan A. Petruță I. - Probleme de tehnică a impulsurilor, editura militară, București, 1973.
45. Felea I. (coordonator) - Circuite cu tranzistoare în industrie, vol.I, editura tehnică, București, 1964.
46. Felea I. - Circuite cu tranzistoare în industrie, vol. II, București, 1968.
47. Florea I. (coordonator) - Electronică industrială și automatizări, editura didactică și pedagogică, București, 1980.
48. Fischer G. - La pratique des industries mécaniques, nr.5, 1964, pg.129-133.
49. x x x - Folosirea aparaturii de ultrasunete pentru prelucrarea pieselor de consolidare și finisare (tr.lb.rusă) în : "Buletin tehnica-economiceșii informației", URSS, nr.6, vol.23/1970.
50. Florescu I. - Progrese în tehnologia procedeeelor neconvenționale de prelucrare a metalelor, I.N.I.D., 1978, București.

51. Gherskal A. Fridman V. - Aparatură tehnologică cu ultrasunete(tr.lb. ruse), editura tehnică, Bucureşti, 1966.
52. Gherskal A. Fridman V. - Ultrazvukovaia Tehnologiceskaia Aparatura; Moskva, 1976.
53. Gherasimov S.M. - Osnovî teorii i rasceta tranzistornih shem Izd. Sovetkoie radio, Moskva, 1966.
54. Groszkowsky J. - Generarea oscilațiilor de înaltă frecvență și stabilizarea frecvenței (tr.lb.pol.)1959.
55. Goldemberg L.M. - Teoria și calculul circuitelor de impulsuri (tr.lb.rusă) Editura tehnică, Bucureşti, 1972.
56. Gray E.P. Campbell L.I. - Bazele electronicii moderne, editura tehnică, Bucureşti, 1973.
57. Greaves R.W. - Traductoare magnetostrictive și piezoelectrică și aplicațiile lor, în: Electronic Equipment, Anglia, 1975, pg.24-26.
58. Herșcovici H. - Circuite integrate în aparatura de automatizare, editura tehnică, Bucureşti, 1976.
59. Huble H. - Sudarea prin ultrasunete azi, în: Industrie Anzeiger, R.F.G., nr.41/1975, pg.810-813.
60. Iahimovici D.F. - Obosnovanie trebovani o stabilnosti ciastotí generatora ultrazvucovo stanca, în: Electrofiziceskie i electrohimiceskie metodí obrobki, URSS, 1971, pg.11.
61. Inclăzan T. - Cercetări asupra parametrilor constructivi și funcționali la mașinile de prelucrat cu ultrasunete, Teză de doctorat, Timișoara, 1975.
62. Inclăzan T. - Realizări în tehnica prelucrării materialelor prin ultrasunete (Referat intern) I.P. Timișoara, 1974.
63. Iudici M.Z. - Shemî tranzistornoi electroniki Izd.Energhia, Moskva, 1966.
64. x x x - Instalație de curățire cu ultrasunete. Firma ULTRASONS ANEMASE, Franța.
65. x x x - Instalație de sudare prin ultrasunete, în: Industrie anzeigher, R.F.G. nr.5/1977, pag. 85-86.
66. Kazantev V. - Dependența productivității ultrasonice de regimul de lucru (tr.lb.rusă), Stanki i instrument nr.3, 1963.
67. Keller O.K. - Ultrazvucovîie generatorî dlia electrotehnologiskih ustavovoc. Izd. Energhia, Moskva, 1969.
68. Kikuchi Y. - Performances of magnetostRICTIVE transducers, IASA, 569-573, 1967.
69. Kitaygorodsky Y.I. Kogan M.G. - A generator for high powel magnetostriiction transducers în: Electrichestvo nr.2, 1966, U.R.S.S.
70. Kulikovski A.A. - Indreptar de radioelectronică, editura tehnică, Bucureşti, 1963.

71. Kellemen A.
Imex M.
72. Lebedee N.A.
Neusicov A.V.
73. Leung W.C.
74. Lisicikin D.A.
75. Liubotin C.
Tanasiciuc C.
76. Maiorov F.V.
77. Marcov I.A.
78. Miller G.E.
79. Mourier G.
80. Montaigne P.
81. Nanu A.
82. Nicolaenco I.S.
83. Nicolau E.
(coordonator)
84. Oancea M.R.
85. Penescu C.
Călin S.
86. Perkins J.P.
87. Pignet J.L.
88. Ponner I.
- Mutatoare, editura didactică și pedagogică, București, 1978.
 - The design of ultrasonic generators, în: The application of ultrasonics the investigation of materials, NOPI, nr.X.pg.61-63, 1960.
 - Here's a way to increase power transistor switching efficiency, în: "E.D.N.", Anglia, nr.11/1975.
 - Tranzistorii usiliteli și obratnici sviazî, Izd."Energhia", Moskva, 1966.
 - Comutăția statică în automatică, București, editura tehnica, 1970.
 - Regulatoare electronice, editura tehnica, București, 1960.
 - Ultrasonic machining of intractable materials, London, 1962.
 - Teoria specială a prelucrării ultrasonice, în :Journal of apllied Phisics", Anglia, nr.10, 1972.
 - Optimizarea comenzi de bază a tranzistorelor de putere în regim de comutăție, Toute l'Electronique, Franța, nr.442, apr. 1979, pg.65-67.
 - Montages amplificateurs de forte puissance în: Toute l'Electronique, Franța nr.336, iun.1971, pg.67-72.
 - Perspectivele tehnologiilor neconvenționale în industrie. Conferința "Dezvoltarea industrială a tehnologiilor neconvenționale, București, 1977.
 - Dinamiceskoie karakteristiki poluprovodnikovih triodov i rascet usiliteli nizkoi ciastotî, Poluprovodnikoe priborî i ikh pri-menenie, Moskva, 1966.
 - Manualul inginerului electronist, Măsuri electronice, editura tehnica, București, 1979.
 - Radiolegături la distanțe mari, editura militară, București, 1976.
 - Protecția prin releele electronice ale sistemelor electrice, editura tehnica, 1969, București.
 - Analysis of piezomagnetic vibrators. Ultrasonics nr.4, oct.1964.
 - Aplications des ultrasons. Revue de métallurgie nr.54, 1957, pg.734-744.
 - Electronică industrială, editura didactică și pedagogică, București, 1972.

89. Petrenco S.V.
Severdenko V.P. - Influența oscilațiilor ultrasonore asupra parametrilor și fomei la contractie (tr. lb.rusă) în: Cuznecino- Stampovocinoie proizvedenie, U.R.S.S. nr.4/1971.
90. x x x - Prelucrarea metalelor cu ajutorul ultrasuinetelor, în: Wire Industry, Anglia, 1971, pg.336-341.
91. x x x - Procedeu și generator pentru producerea undelor acustice, Brevet 52188/1970, Franța, Buletin pentru inventii și mărci nr.9/1970.
92. x x x - Prelucrarea metalelor cu ultrasunete, INID, Culegere de material documentar, București, 1966.
93. x x x - Prelucrarea metalelor prin tehnologii neconvenționale. Buletin pentru informare tehnică pentru ingineri nr.2/1972.
94. Pop V.
Popovici V. - Circuite de comutare aplicate în calculatoarele electronice, editura Facla, 1970.
95. Preda M.
Cristea P. - Analiza și sinteza circuitelor electrice, editura tehnică, București, 1968.
96. Rulea G. - Tehnica frecvențelor foarte finale, editura tehnică, București, 1966.
97. x x x - Roll ultraschall- transistor generatoren.
98. x x x - R.C.A. Technical manuals, U.S.A., 1976.
99. Racoveanu N.
Dumitrescu I. - Electrotehnică și electronică, editura didactică și pedagogică, 1965.
100. Savii Gh.
Inclăanzan T. - Studiul experimental comparativ al blocurilor ultraacustice destinate instalațiilor tehnologice cu ultrasunete, Buletinul I-P., Timișoara, tom.18(32), fasc.1/1973.
101. Savii Gh.
Inclăanzan T. - Curățirea cu ultrasunete în industrie. A II-a conferință de prelucrări la rece, Timișoara, 1973.
102. Savii Gh.
Inclăanzan T. - Contribuții la studiul mașinilor ultrasonice pentru prelucrarea materialelor. A IV-a Conferință de acustică, Caiet 14, vol.II. B., Academia R.S.R., București, 1973.
103. Savii Gh.
Damian D.
Botezatu V. - Cercetări experimentale privind funcționarea unor transductoare magnetostrictive folosite la instalațiile de ultrasunete. Sesiunea "Aspecte teoretice și aplicative ale acusticii. Comisia de acustică a Academiei R.S.R. Caiet 17, București, 1980.
104. Savii Gh.
Inclăanzan T. - Unele considerații asupra aplicării vibrațiilor ultrasonice în industrie. Conferința "Vibrații în construcția de mașini", 1975, Timișoara.
105. Savii Gh.
Inclăanzan T.
Ignea A. - Echipamente tehnologice cu ultrasunete pentru utilizări industriale. Sesiunea "Aspecte teoretice și aplicative ale acusticii. Comisia de acustică a Academiei R.S.R., caiet 17, București, 1980.

106. Săvescu M. - Circuite electronice vol.I-III-III, editura tehnică, Bucureşti, 1974.
Popovici A.
Popescu M.
107. Sirotiuc M.G. - A high- output laboratory type generator for suppling quartz and magnetostriction ultrasonic transducers, Branch of VINITI, M-59, 279/3, URSS, 1959.
108. Sîmbotin C. - Comutăția statică în automatică, Bucureşti, editura tehnică, 1970.
Tanasiciuc C.
109. Shoh A. - Oscilatory Lood Circuit. U.S.A. PATENT OFICE ian.1970.
110. Shoh A. - Oscilatory for electroacoustic converter U.S.A. PATENT OFICE, martie 1969.
111. Shoh A. - Aparatura for controlling the power suplied to on ultrasonic transducer, U.S.A. PATENT OFICE, ian.1970.
112. Săvescu M. - Radiorelee și radiocomunicații, editura didactică și pedagogică, Bucureşti, 1976.
113. Spătaru A. - Teoria transmiterii informației. Semnale și perturbații, editura tehnică, 1966.
114. Strand I. - Electronică tehnică, Bucureşti, editura tehnică, 1969.
115. x x x - Toute l'Electronique nr.365/1971, pg.67-72, Franța.
116. x x x - Studiul de oportunitate privind introducerea ultrasunetelor în țara noastră. Contractul nr.127/1975, IPB- ICPTCM.
117. x x x - Ultraschallgenerator în: Designer' s Handbook U.S.A., Westinhause Electric Corporation, 1973.
118. x x x - Ultrasonix nr.2/1964, pg.167-173.
119. x x x - Ultrasonix nr.5/1971, pg.368-372.
120. Vabre J. - Fiabilitatea componentelor și asistemelor electronice, în: Nucleus, Franța nr.6/1978, pag.395-410.
121. Vătășescu A. - Dispozitive semiconductoare. Manual de utilizare, editura tehnică, Bucureşti, 1976.
122. Vătășescu A. - Circuite cu semiconductoare în industrie. Amplificatoare și oscilatoare, editura tehnică, Bucureşti, 1971.
(coordonator)
123. Vătășescu A. - Circuite integrate liniare. Manual de utilizare, editura tehnică, Bucureşti, 1979.
(coordonator)
124. Vătășescu A. - Catalogul de dispozitive semiconductoare, editura tehnică, Bucureşti, 1969.
Epure S.
125. Zaslavsky V.I. - Low- frequency (18-25 Kc/s) industrial ultrasonics generator, TSITEIN.M.-59-481/41, URSS, 1959.
Insarsky G.A.
126. x x x - The Electronics Designer' S Casebook, vol. I-II, pg.24,32,39-40,165-169, New-York, U.S.A., 1975.